

საქართველოს განათლებისა და მეცნიერების  
სამინისტრო  
ტყაღთა მეზრეობის ინსტიტუტი  
გარემოს დაცვის ეკოცენტრი



## გივი გავარდაშვილი

გუნდერივი და ტეჩნოგენური  
პატასტროზებისას მთის ლანდშაფტების  
ჟაზონისობის ღონისძიებები



თბილისი  
2011

საქართველოს განათლებისა და მეცნიერების  
სამინისტრო  
მეცნიერებების ინსტიტუტი  
გარემოს დაცვის ეკოლოგიური

### გიგი გავარდაშვილი

ბუნებრივი და ტექნოგენური  
კატასტროზებისას მთის ლანდშაფტების  
უსაფრთხოების ღონისძიებები

თბილისი  
2011



**551.311.21 : 627.141.1**

**საქართველოს განათლებისა და მეცნიერების სამინისტრო  
წყალთა მეურნეობის ინსტიტუტი  
გარემოს დაცვის ეკოცენტრი**

**ბუნებრივი და ტექნოგენური კატასტროზებისას  
მთის დაცვაზაფხულის შესაზღვრულობის  
ღონისძიებები**

**გ ი გ ი      გ ა გ ა რ დ ა შ ვ ი ლ ი**  
ტექნიკის მეცნიერებათა დოქტორი, პროფესორი

ნაშრომში განხილულია საქართველოში 2008 წლის აგვისტოში საომარი მოქმედებების შედეგად გადამწვარი ტყის მასივების ეკოლოგიურ-ეკონომიკური ზარალის შეფასებისა და მთის ფერდობებზე ნიადაგის ეროვნისაგან დამცავი დონისძიებები.

2005-2010 წწ. ჩატარებული სავალუ-საექსპედიციო კვლევების ანალიზის საფუძველზე წარმოდგენილია მდინარე არაგვის წყალშემკრებ აუზში ეროზიულ-დგარცოფული პროცესების პროგნოზირება და მათი შეფასება მდინარე დუშეთის ხევისა და მდეოთის ხევის მაგალითზე.

განხორციელებულია ლენტებისა და ცაგერის რაიონებში ეროზიულ-დგარცოფული პროცესებისა და წყალდიდობების საწინააღმდეგო საინჟინრო და ფიტომედიორაციული ღონისძიებები.

საიმედოობისა და რისკის თეორიის გამოყენებით შეფასებულია ტრამპლინის ტიპის ახალი კონსტრუქციების სამედოობა და მწყობრიდან გამოსვლის რისკი, დგარცოფის დინამიკური დარტყმის ძალისა და დგარცოფული მასით გამოწვეული წონით დატვირთვით, ნაგებობაზე ცალ-ცალკე და ერთდროულად მოქმედების შემთხვევაში; დამუშავებული და განხორციელებულია სოფელ ჯვარბოსლის (მთათუშეთი)

მიმდებარე ეროდირებული მთის ფერდობის სარეაბილი-  
ტაციი კომპლექსური დონისძიებები.

სხვადასხვა უზრუნველყოფის რისკის მხედველობაში  
მიღებით შემუშავებულია საქართველოს მაღლივი კაშხლე-  
ბის შესაძლო ავარიის შემთხვევაში წარმოშობილი წყალდი-  
დობების მათემატიკური იმიტაცია ჟინვალის, სიონის, ლაჯა-  
ნურის, ენგურის და შაორის კაშხლების მაგალითებზე.

კატასტროფების თეორიის გამოყენებით შეფასებულია  
მცირე სიმძლავრის მეწყრისა და თოვლის ზვავის მოძრაო-  
ბის დაწყების ხარისხობრივი ანალიზი, რომელიც აღნიშნუ-  
ლი პროცესების პროგნოზირების საშუალებას იძლევა.

სამუშაო ეხმიანება კატასტროფების შემცირების საერ-  
თაშორისო სტრატეგიის (ISDR) 2005-2015 წლის პიოგოს ჩარჩო  
დოკუმენტს.

ნაშრომი შეფასებული და რეკომენდებულია გამოსაცე-  
მად სსიპ წყალთა მეურნეობის ინსტიტუტის სამეცნიერო  
საბჭოს მიერ (ოქმი №21, 2010 წლის 19 ნოემბერი).

**რედაქტორი:**

**თეიმურაზ გველესიანი**

ტექნიკის მეცნიერებათა დოქტორი,  
პროფესორი

**რეცენზენტი:**

**გიორგი სელიძე**

ტექნიკის მეცნიერებათა დოქტორი,  
პროფესორი

© გ. გ. გავარდაშვილი  
თბილისი 2010

**ISSN 1512-2344**

**MINISTRY OF SCIENCE AND EDUCATION OF GEORGIA  
INSTITUTE OF WATER MANAGEMENT  
ECOCENTER FOR ENVIRONMENTAL PROTECTION**

**MEASURES FOR THE SAFETY OF MOUNTAIN LANDSCAPES  
DURING NATURAL AND TEHNOGENIC DISASTERS**

**Givi Gavardashvili**  
*Doctor of Technical Sciences, Professor*

The paper considers the estimation of ecological and economic damage to the forest tracts burnt as a result of the hostilities in August 2008 and measures for the protection of soil on mountain slopes.

The prediction of erosion and mudflow processes in the Aragvi catchment basin and their assessment as exemplified by the rivers Dushetis-khevi and Mletis-khevi is presented on the basis of an analysis of the field-expeditional studies carried out in 2005-2010. Engineering and phytoameliorative measures against erosion and mudflow processes in Lentekhi and Tsageri districts are presented.

Using the theory of reliability and risk, the reliability and the risk of breakdown of spring-board type new constructions are assessed in the case of separate and simultaneous action on the structure by the dynamic impact force of mudflow and the weight load caused by the mudflow mass.

Complex measures have been worked out and implemented for the rehabilitation of the eroded mountain slope adjoining v. Jvarboseli (Mtatusheti)

Taking into account risks of various provisions, a mathematical imitation of high waters in the case of possible breakdown of

Georgia's high dams has been worked out using the cases of Zhinvali, Sioni, Lajanuri, Enguri and Shaori dams.

Using mathematical theory of catastrophe the variability of potential energy of avalanche, which is in boundary equilibrium has been determined. It has been established that the exist from boundary equilibrium of the avalanche accumulated on mountain slope is described by the catastrophe of the fold. This makes possible to determine the peculiarity of the onset of avalanche motion with account of algebraic coordinates.

The work echoes the Hyogo framework document of the International Strategy of Disaster Reduction (ISDR) 2005-2015.

The work has been assessed and recommended for publication by the Scientific Council of the Institute of Water Management (minutes № 21, 19 November 2010).

**Editor:** **Teimuraz Gvelesiani**

Doctor of Technical Sciences, Professor

**Reviewer:** **Giorgi Khelidze**

Doctor of Technical Sciences, Professor

**551.311.21 : 627.141.1**

**МИНИСТЕРСТВО ОБРАЗОВАНИЯ И НАУКИ ГРУЗИИ  
ИНСТИТУТ ВОДНОГО ХОЗЯЙСТВА  
ЭКОЦЕНТР ОХРАНЫ ОКРУЖАЮЩЕЙ СРЕДЫ**

**МЕРОПРИЯТИЯ ПО БЕЗОПАСНОСТИ ГОРНЫХ  
ЛАНДШАФТОВ ПРИ ПРИРОДНЫХ И  
ТЕХНОГЕННЫХ КАТАСТРОФАХ**

**Гиви Гавардашвили**  
*Доктор технических наук, профессор*

В работе рассматриваются экологически-экономическая оценка ущерба сожженных лесных массивов в результате военных действий в Грузии в августе 2008 года и защитные мероприятия от эрозии почв на горных склонах.

На основе анализа полево-экспедиционных исследований, проведенных в 2005-2010 гг., представлено прогнозирование эрозионно-селевых процессов в водосборном бассейне реки Арагви и их оценка на примере ущелий рек Душети и Млета.

Представлены инженерные и фитомелиоративные мероприятия по борьбе с эрозионно-селевыми процессами и наводнениями в Лентехском и Цагерском районах.

С использованием теории надежности и риска произведена оценка надежности и риска выхода из строя конструкции силой динамического удара селя и селевой массы, вызванных весовой нагрузкой селя в случае действия их новые конструкции трамплинного типа – раздельно и одновременно.

Разработаны и осуществлены реабилитационные комплексные мероприятия эродированного горного склона в окрестностях села Джварбосели (Мтатушети).

Принимая во внимание риск разной обеспеченности, разработана математическая имитация наводнений, образованных в случае возможных аварий высоких плотин Грузии на примере плотин Жинвали, Сиони, Ладжанури, Ингурис и Шаори.

С помощью математической теории катастроф определены критериальные значения сдвига маломощных оползней и снежных лавин, которые дают возможность прогнозировать вышеуказанные процессы.

Работаозвучна международной стратегии (ISDR) по сокращению катастроф Рамочного документа Хиого 2005-2015 гг.

Работа оценена и рекомендована к изданию Ученым Советом Института водного хозяйства (протокол №21, 19 ноября, 2010 года).

**Редактор:** Теймураз Гвелесиани

Доктор технических наук, профессор

**Рецензент:** Георгий Хелидзе

Доктор технических наук, профессор

## რედაქტორისაბან

წინამდებარე მონოგრაფიაში განხილულია მეტად აქტუალური და მნიშვნელოვანი საკითხები, რომლებიც შექმნა უმთავრესად, სტიქიური მოვლენებისაგან გარემოს, მათ შორის მთის ლანდშაფტების უსაფრთხოების უზრუნველყოფას სპეციალური საინჟინრო-ეკოლოგიური ღონისძიებების განხორციელებით.

ნაშრომში შემოთავაზებულია ნიადაგის ეროზიის საწინააღმდეგო რესურსმზოგი ახალი კონსტრუქციები და მათი დაპროექტებისათვის გაანგარიშების მეთოდოლოგია. მოცუმელია ფიტომედიორაციული საშუალებები ღვარცოფებისა და წევალდიდობების გარეშეზე ნებატიური ზემოქმედების ინტენსივობის შემცირების მიზნით. ადსანიშნავია, რომ აღნიშნულმა ღონისძიებებმა, რომლებიც ბოლო წლებში განხორციელდა როგორც ბორჯომის რაიონში (2008 წლის აგვისტოს თვეში საომარი მოქმედებების შედეგად გადამწვარი ტყის მთის ფერდობებზე ეროზიის მიმართ სენსიტიურ უბნებზე), ასევე საქართველოს სხვადასხვა რეგიონებში (ლეჩიეხი, ცაგერი, დუშეთი, ახმეტა და სხვ). დაადასტურეს თავისი ევაქტურობა.

ნაშრომში წარმოდგენილია აგრევოვე, საქართველოს რიგი კაშხლების შესაძლო ავარიის შემთხვევაში ფორმირებული წყალდიდობის სააგარიშო (კომპიუტერული იმიტაცია) მეთოდიების გამოყენებით მიღებული პროგნოზირების მიახლოებითი შედეგები, რომლებიც მნიშვნელოვანია არა მხოლოდ პიდროკვანძების მიმდებარე ტერიტორიების (ქვედა ბიუფის) უსაფრთხოების არევენციული ღონისძიებების შერჩევის, არამედ საქართველოში დამუშავებული, უფრო ზუსტი კომპიუტერული პროგრამის (DBW) საფუძველზე შესაბამისი ტესტური გათვალების ჩატარების მიზნით.

წიგნი უდაგოდ საინტერესო იქნება პიდროსაინჟინრო და გარემოს დაცვის დარგებში მომუშავე მეცნიერ-სპეციალისტებისათვის, რომლებსაც შესაძლებლობა ექნებათ შემოთავაზებული ორიგინალური მეთოდოლოგიის გამოყენების საფუძველზე მომავალში საქართველოს სხვადასხვა რეგიონში, შესაძლო საგანგებო პირებებში განახორციელონ მთის ლანდშაფტების და პიდროკვანძების ქვედა ბიუფის უსაფრთხოების უზრუნველყოფის საინჟინრო-ეკოლოგიური და სხვა სახის ღონისძიებები.

## თემურაზ გველესიანი

საქართველოს ტექნიკური უნივერსიტეტის  
სრული პროფესორი, ტექნიკის მეცნიერებათა  
დოქტორი, საქართველოს ენერგეტიკის  
აკადემიის აკადემიკოსი

## **FROM THE EDITOR**

The present monograph deals with urgent and important questions – largely with ensuring the security of the environment from natural disasters, including mountain landscapes by implementing special engineering-ecological measures.

New resource-saving structures are proposed in the work to combat soil erosion, and the methodology is presented for designing them. Phyto-reclamation means are given, aimed at reducing the intensity of the negative impact of mudflows and high waters on the environment. It should be noted that these measures that were implemented in recent years in Borjomi district (on plots of mountain slopes sensitive to erosion, involving forests burnt as a result of the hostilities of August 2008), as well as in various regions of Georgia (Lentekhi, Tsageri, Dusheti, Akhmeta, etc.), have proved their effectiveness.

Presented in the work are approximate results of prediction of floods formed in the case of possible accidents at a number of dams in Georgia, obtained by methods of calculation (computer simulation). These findings are important not only in selecting preventive measures of the safety of the territories adjoining hydroelectric stations (tailrace), but also for carrying out appropriate test calculations on the basis of a more precise computer program (DBW) developed in Georgia.

The book will doubtless be of interest for scientists-specialists working in the fields of hydraulic engineering and environmental protection. They will be enabled, using the proposed original methodology, to carry out engineering-ecological and other measures towards the safety of mountain landscapes and tailraces of hydroelectric stations in various regions of Georgia in emergency conditions.

**Teimuraz Gvelesiani**

Full Professor of the Georgian Technical University,  
Doctor of Technical Sciences,  
Academician of the Georgian Power Academy

# შ ი ნ ა ა რ ს ი

|   |    |
|---|----|
| თავი 1. საქართველოში 2008 წლის აგვისტოში საომარი<br>მოქმედების შედეგად გადამწვარი ტყის მასივე-<br>ბის ეკოლოგიურ-ეკონომიკური ზარალის შეფა-<br>სება და მთის ფერდობებზე ნიადაგის ეროზიი-<br>საგან დამცავი ღონისძიებები ..... | 14 |
| 1.1. გადამწვარი ტყის მასივების საერთო შეფასება ..   | 14 |
| 1.2. ბორჯომისა და გორის რაიონებში ტყის მასივე-<br>ბის გადაწყისას ტერიტორიის ეკოლოგიურ-ეკო-<br>ნომიკური ზარალის კომპლექსური შეფასება ..  | 18 |
| 1.3. ბორჯომის ხეობაში ეკონომიკური ზარალის<br>გაანგარიშება .....   | 20 |
| 1.4. გორის რაიონში ეკონომიკური ზარალის<br>გაანგარიშება .....  | 21 |
| 1.5. გადამწვარ ტერიტორიებზე ნიადაგის<br>ეროზიული პროცესების პროგნოზირება .....  | 22 |
| 1.6. ეროზიის საწინააღმდეგო რესურსმზოგი ახალი<br>კონსტრუქციები და მათი დაპროექტების მეთოდები..   | 29 |
| 1.7. ბორჯომის მუნიციპალიტეტის დაბა წალკის<br>ტერიტორიაზე გადამწვარი ტყის მასივების<br>მთის ფერდობებზე 2010 წლის არსებული<br>მდგომარეობის შეფასება .....   | 35 |
| თავი 2. მდინარე არაგვის წყალშემკრებ აუზში ერო-<br>ზიულ-ღვარცოფული პროცესების პროგნოზი-<br>რება და მათი შეფასება .....   | 43 |
| 2.1. მდინარე დუშეთის ხევის ეკოლოგიური<br>შეფასება .....   | 44 |

|   |           |
|---|-----------|
| 2.2. მლეთის ხევის კალაპოტში მიმდინარე ეროზი-<br>ულ-დვარცოფული პროცესების პროგნოზირება ..  | 51        |
| 2.3. ღვარცოფების რეგულირების თანამედროვე<br>ღონისძიებები .....  | 63        |
| 2.3.1. ტრამპლინის ტიპის ღვარცოფსაწინააღმდეგო<br>ნაგებობა .....  | 64        |
| 2.3.2. ტრამპლინის ტიპის ღვარცოფსაწინააღმდეგო<br>ნაგებობის ჰიდრავლიკური გაანგარიშება .....   | 66        |
| 2.3.3. ღვარცოფსაწინააღმდეგო კაშხლის ზედა<br>ბიეფის ფორმირების ზოგადი საკითხი .....  | 69        |
| 2.3.4. ღვარცოფსაწინააღმდეგო ტრამპლინის ტიპის<br>კაშხლის საიმედოობის შეფასება .....  | 71        |
| <b>თავი 3. ლენტებისა და ცაგერის რაიონებში ეროზიულ-<br/>ღვარცოფული პროცესებისა და წყალდიდობების საწინააღმდეგო ფიტომედიორაციული და<br/>საინჟინრო ღონისძიებები .....</b> | <b>76</b> |
| 3.1. ლენტებში, მდინარე ტუმბრას მარცხენა ეროზი-<br>რებულ-დამეწყრილ ფერდობზე ბუშლაგების<br>მოწყობა .....  | 76        |
| 3.2. მდინარე ტუმბრას მარჯვენა შენაკადზე ხევის<br>კალაპოტის სტაბილიზაცია ხის ბარაჟების<br>მოწყობით .....   | 82        |
| 3.3. ლენტებისა და ცაგერის რაიონებში წყალდიდო-<br>ბის საწინააღმდეგო საინჟინრო ღონისძიებები .....   | 85        |
| <b>თავი 4. სოფელ ჯგარბოსლის (მთათუშეთი) მიმდებარე<br/>ეროზირებული მთის ფერდობის სარეაბილიტა-<br/>ციო კომპლექსური ღონისძიებები .....</b>                               | <b>88</b> |
| 4.1. საკვლევი ტერიტორიის კომპლექსური შეფასება..   | 88        |
| 4.2. ხევის ჰიდროლოგიური გაანგარიშება .....  | 93        |
| 4.3. ხევის ჰიდრავლიკური გაანგარიშება.....   | 95        |

|   |            |
|---|------------|
| 4.4. ხევის ეროვნის საწინააღმდეგო დონისძიებები.....  | 100        |
| <b>თავი 5. საქართველოს მაღლივი კაშხლების შესაძლო<br/>აგარის შემთხვევაში წარმოშობილი წყალდი-<br/>დობების მათემატიკური იმიტაცია .....</b> | <b>105</b> |
| 5.1. მსოფლიოში კაშხლების ავარიის მოკლე<br>მიმოხილვა .....   | 105        |
| 5.2. კაშხლების შესაძლო ავარიის პროგნოზირების<br>მეთოდოლოგია .....   | 107        |
| 5.3. ჟინგალის კაშხლის შესაძლო ავარიის პროგნო-<br>ზირება სხვადასხვა უზრუნველყოფის რისკის<br>მხედველობაში მიღებით .....                   | 110        |
| 5.4. სიონის კაშხლის შესაძლო ავარიის<br>პროგნოზირება .....   | 142        |
| 5.5. შაორის კაშხლის შესაძლო ავარიის<br>პროგნოზირება .....   | 174        |
| 5.6. ლაჯანურის კაშხლის შესაძლო ავარიის<br>პროგნოზირება .....  | 183        |
| 5.7. ენგურის კაშხლის შესაძლო ავარიის<br>პროგნოზირება .....  | 190        |
| <b>თავი 6. მეწყრული პროცესებისა და თოვლის ზვავის<br/>მოძრაობის დაწყების ანალიზი კატასტროფების<br/>თეორიის მიხედვით .....</b>            | <b>201</b> |
| 6.1. მცირე სიმძლავრის მეწყრის ანალიზი .....   | 201        |
| 6.2. თოვლის ზვავის მოძრაობის დაწყების ანალიზი<br>კატასტროფების მათემატიკური თეორიის<br>გამოყენებით .....                                | 204        |
| ძირითადი დასკვნები და რეკომენდაციები .....  | 213        |
| რეზიუმე .....   | 221        |
| ლიტერატურა .....  | 228        |

**თავი 1. საქართველოში 2008 წლის აბგისტოში  
საომარი მოქმედებების შეღებად გადამყვარი  
ტყის მასივების ეკოლოგიურ-ეკონომიკური  
ზარალის შეფასება და მთის ურდღობებზე  
ნიადაგის ეროვნისაბან დამცავი ღონისძიებები**

### **1.1. გადამწვარი ტყის მასივების საერთო შეფასება**

საქართველოში 2008 წლის აგვისტოს თვეში საომარი მოქმედებების შედეგად ბორჯომისა და გორის რაიონებში გამოწვეულმა ხანძრებმა, რომლებმაც მოიცვა თითქმის 1003 პა ტყის მასივი, გამოიწვია ბუნებრივი პირობებისა და ნიადაგის წყალ-ფიზიკური თვისებების კატასტროფული გაუარესება, ზოგ შემთხვევაში მისი პუმუსოვანი 2-10 სმ ფენის პრაქტიკულად მთლიანი გამოწვა. შეიქმნა ეროზიული პროცესების, ნაღვარევების, ხევების, მეწყრების წარმოშობის საშიშროება, დვარცოფებისა და წყალდიდობების წარმოქმნის საუკეთესო პირობები, მკვეთრად გაუარესდა გარემოს მდგრადობა.

როგორც ცნობილია, ჩენების პლანეტაზე ტყე გავრცელებულია ყველა კონტინენტზე და მას უკავია ხმელეთის 30%. რაც შექება საქართველოს, იგი ევროპაში ერთ-ერთ ტყიან ქვეყნად ითვლება (საქართველოში ტყე განთავსებულია მთლიანი ტერიტორიის 39,8 %-ზე) და მას მეოთხე ადგილი უკავია ფინეთის (71%), შვედეთის (51%) და ლიბერიის (44%) შემდეგ [31,42].

მეცნიერებმა დაადგინეს, რომ ტყის 1 პა ფართობს შეუძლია შთანთქოს 13-17 ტონა ნახშირორჟანგი და

გამოიმუშავოს 10-15 ტონა ჟანგბადი.

ამასთან ერთად აუცილებელია ავდნიშნოთ, რომ 1 ჰა ტყე წელიწადში მოიხმარს 13-18 მ<sup>3</sup> წყალს, ნიადაგში აბრუნებს 40-51 მ<sup>3</sup>-ს და შეიცავს 150 მ<sup>3</sup> ხე-ტყის მარაგს. საინტერესო ის ფაქტიც, რომ ერთი თანამედროვე ტიპის თვითმფრინავი 8-10 საათის ფრენის დროს შთანთქავს 35 ტ ჟანგბადს, რასაც გამოყოფს 1 ჰა ტყე მთელი წლის განვითარებაში [31].

საქართველოში საომარი მოქმედებების შედეგად ტყეში გაჩენილი ხანძრები უახლოეს 2-3 წელიწადში გავლენას იქნიებს არა მარტო მინერალური, არამედ იმ წყაროების წყლის დებეტზეც, რომლებიც მონაწილეობენ ადგილობრივი მდინარეების ხარჯის ფორმირებაში.

უკლავერმა ამან ერთად მკვეთრად გააუარესა რეგიონის რეკრეაციული პირობები, გამოიწვია მნიშვნელოვანი ეკოლოგიური, სოციალური და ეკონომიკური ზარალი.

ფოტოზე 1.1 ნაჩვენებია გორის მიმდებარე ტერიტორიაზე გადამწვარ ტყეში ფიჭვის ნარგავები, ფოტოზე 1.2-წაღვერის მიმდებარე ტერიტორიაზე, სოფ. დაბას ტყეში დამწვარი ხის ნარჩენები; ფოტოზე 1.3 – სოფ. დაბაში გადამწვარი ტყის მასივები, ხოლო ფოტოზე 1.4 – ამავე ტყეში დამწვარი ნიადაგის ნიმუშის აღება.

საქართველოს პრემიერ-მინისტრის 2008 წლის 29 აგვისტოს №252 ბრძანებულების თანახმად, წყალთა მეურნეობის ინსტიტუტი აქტიურად იყო ჩართული საქართველოში საომარი მოქმედებების შედეგად გარემოსათვის მიუენებული ზარალის დადგენის საქმეში.



სურ. 1.1. გორის მიმდებარე ტერიტორია ხანძრის შემდეგ



სურ. 1.2. დამწვარი ხის ნარჩენები სოფელ დაბას ტყეში



სურ. 1.3.. სოფელ დაბას (წალევი) მიმდებარე ტერიტორია  
სანდრის შემდეგ



სურ. 14. დამწვარი ნიადაგის ნიმუშის აღება სოფელ დაბას  
ტყეში (მარჯვნიდან პროფ. თ. ურუშაძე,  
პროფ. გ. გაგარდაშვილი)

1.2. ბორჯომისა და გორის რაიონებში ტყის  
მასივების გადაწვისას ტერიტორიის ეკოლოგიურ-  
ეკონომიკური ზარალის კომპლექსური შეფასება

ტყის სანძრის შედეგად გამოწვეული ეკონომიკური  
ზარალის დადგენის მიზნით გამოიყენება შემდეგი სამეც-  
ნიერო ლიტერატურა: [29, 31, 46, 47]. ტყის და ნიადაგის  
ჰუმუსოვანი ფენის განადგურების შედეგად, ასევე წყლის  
რესურსების შემცირებით გამოწვეული დანაკარგები განი-  
საზღვრება პირდაპირი გადაანგარიშებით (განად-  
გურებული რესურსების რაოდენობის ნამრავლით მის  
ღირებულებაზე).

რაც შეეხება ბუნებრივი ტყის დანდშაფტის რეკრეაციული შესაძლებლობების მკვეთრი გაუარესების შედეგად გამოწვეულ დანაკარგებს, მათი სიდიდე ჯამდება 50-100 წლის განმავლობაში, რაც აუცილებელია ადრე არსებული ტყიანი საფარის ბუნებრივი აღდგენისათვის. აღნიშნული სიდიდე შეიძლება განისაზღვროს შემდეგი ფორმულით [29, 62]:

$$Y = \frac{\Pi \cdot S}{E}, \quad (\text{მდნ. დარი}) \quad (1.1)$$

სადაც  $Y$  არის სანიტარულ-საკურორტო მეურნეობის ზარალი;  $\Pi$  – რეკრეაციული ობიექტის ფუნქციონირების შედეგად მიღებული შემოსაგალი;  $S$  – შემოსავლების სიდიდეში რეკრეაციული ბუნებრივი ფაქტორების შეტანის მახასიათებელი კოეფიციენტი;  $E$  – დროის ფაქტორის აღწერის ნორმა (დისკონტის ნორმა) –  $1/\sqrt{e} \approx 0.63$ .

П სიდიდე განისაზღვრება გამოსახულებით [29]:

$$\Pi = I \times P \times Z \times T, \quad (1.2)$$

სადაც  $I$  რეკრეაციული ობიექტის მომსახურების ფასში მოგების წილია;  $P$  – დამსვენებელთა საშუალო რაოდენობა დღეში;  $Z$  – რეკრეაციული ობიექტის მომსახურების ფასი;  $T$  – რეკრეაციულ ობიექტზე დამსვენებლის ყოფნის დროის პერიოდი.

უპონომიკურ ზარალთან ერთად, აუცილებელია გათვალისწინებულ იქნეს სოციალური ზარალიც, რომელიც გამოწვეულია საპაერო აუზის ქიმიური დაბინძურებით და დანდშაფტების ესთეტიკური ფასეულობების გაუარესებით.

მიუხედავად იმისა, რომ სოციალური ზარალის რაოდენობრივ შეფასებას განსაკუთრებული მნიშვნელობა აქვს, დღემდე არ არის მიღებული მისი გამოთვლის მეორდიკა.

დღესდღეობით, სოციალური დანაკარგი (ზარალი) შეიძლება განისაზღვროს პირდაპირ ჯანმრთელობაზე განხორციელებული სარჯების ზრდით და გამოითვლება ფორმულით [29, 61]

$$Y_{\text{ხოც}} = \frac{\alpha \cdot N \cdot K}{E} \quad (\text{მლნ. ლარი}), \quad (1.3)$$

სადაც  $\alpha$  ჯანმრთელობაზე დანახარჯების კოეფიციენტია;  $N$  – ადგილობრივ მცხოვრებთა რაოდენობა;  $K$  – საშუალო დანახარჯი მოსახლეობის ჯანმრთელობაზე წლის განმავლობაში, ლარი/კაცი;  $E$  – დისკონტის ნორმა.

### 1.3. ბორჯომის ხეობაში ეკონომიკური ზარალის გაანგარიშება

- ხანძრის შედეგად დაზიანდა ტყის 950 ჰა, მათ შორის მთლიანად დაიწვა 250 ჰა. განადგურდა 290 ათასი  $\text{მ}^3$  ხე-ტყე, რამაც განსაზღვრა ზარალი

$$Y_s = 290,0 \text{ ათასი } \text{მ}^3 \times 500 \text{ ლარი/მ}^3 = 145,0 \text{ მლნ. ლარი} \quad (1.4)$$

სადაც 500 ლარი/მ<sup>3</sup> ხე-ტყის რესურსული ფასია;

- 950 ჰა ფართობზე მთლიანად ან ნაწილობრივ დაიწვა საშუალოდ 0.2 მ სისქის ნიადაგი. პუმუსოვანი ფენის დაკარგვით გამოწვეული ზარალი საორიენტაციო მონაცემებით შეადგენს

$$Y_3 = 9\,500\,000 \text{ } \text{m}^2 \times 0,2 \text{ } \text{m} \times 100 \text{ } \text{mm} / \text{m}^3 = 190,0 \text{ } \text{mm}^3 \text{.mm} \text{.mm}; \quad (1.5)$$

- წყლის რესურსების შემცირებით გამოწვეული ზარალი შეადგენს:

$$Y_3 = 50 \text{ } \text{m}^3 \times 850 \text{ } \text{t} \times 4,965 \text{ } \text{mm} / \text{m}^3 = 0,235 \text{ } \text{mm}^3 \text{.mm} \text{.mm}; \quad (1.6)$$

სადაც 4,965 ლარი 1  $\text{m}^3$  წყლის რესურსული ფასია;

- სანიტარულ-საკურორტო მეურნეობის ზარალი, რომელიც გამოითვლება (1.1) და (1.2) ფორმულებით, შეადგენს:

$$Y_{b3} = 0,3 \times 5,0 \text{ } \text{ათ. ადამ.} \times 50 \text{ } \text{ლარი} \times 90 \text{ } \text{დღე} \times 1,0 : 0,01 = \\ = 675,0 \text{ } \text{მლნ.ლარი} \quad (1.7)$$

სიციალური ზარალის სიდიდე განისაზღვრება ფორმულით:

$$Y_{b_{b3}} = 0,3 \times 5000 \text{ } \text{კაცი} \times 150 \text{ } \text{ლარი} : 0,02 = \\ = 11.250 \text{ } \text{მლნ.ლარი} \quad (1.8)$$

ამრიგად, ბორჯომის ხეობაში ტყის განადგურების შედეგად გამოწვეული ჯამური ზარალი შეადგენს 1 021 485 მლნ ლარს.

#### 1.4. გორის რაიონში ეკონომიკური ზარალის გაანგარიშება

- გორის რაიონში ხანძრის შედეგად დაზიანდა დაახლოებით ტყის 53 ჰა (მათ შორის, 50 ჰა ატენის ხეობაში). განადგურდა 16 ათასი  $\text{m}^3$  ხე-ტყე, რამაც განსაზღვრა ზარალი:

$$Y_3 = 16,0 \text{ } \text{ათასი} \times 500 \text{ } \text{ლარი} / \text{m}^3 = 8,0 \text{ } \text{მლნ.ლარი}; \quad (1.9)$$

- 53 ჰა ფართობზე მთლიანად ან ნაწილობრივ დაიწვა

21

საშუალოდ 0,2 მ სისქის ნიადაგი. პუმუსოვანი ფენის დაკარგვით გამოწვეული ზარალი საორიენტაციო მონაცემებით შეადგენს

$$Y_3 = 530\,000 \cdot 0,2 \cdot 0,1 \cdot 100 \text{ ლარი} / 0,2^3 = 10,6 \text{ მლნ. ლარი}; \quad (1.10)$$

- წყლის რესურსების შემცირებით გამოწვეული ზარალი შეადგენს

$$Y_3 = 50 \cdot 0,2^3 \cdot 53 \cdot 0,1 \cdot 4,95 \text{ ლარი} / 0,2^3 = 0,013 \text{ მლნ. ლარი}; \quad (1.11)$$

- სანიტარულ-საკურორტო მეურნეობის ზარალი, რომელიც გამოითვლება (1.1) და (1.2) ფორმულებით, შეადგენს:

$$Y_{b_3} = 0,3 \cdot 1,0 \cdot 0,1 \cdot 50 \text{ ლარი} \times 90 \cdot 0,013 \cdot 1,0 : 0,01 = \\ = 135,0 \text{ მლნ. ლარი}. \quad (1.12)$$

სოციალური ზარალის სიდიდე იანგარიშება (1.3) ფორმულით და შეადგენს

$$Y = \frac{0,1 \cdot 50000 \cdot 0,1 \cdot 150 \text{ ლარი}}{0,02} = 37,5 \text{ მლნ ლარი}. \quad (1.13)$$

ამგვარად, გორის რაიონში ტყის განადგურების შედეგად გამოწვეული ჯამური ზარალი შეადგენს 191,113 მლნ ლარს.

## 1.5. გადამწვარ ტერიტორიებზე ნიადაგის ეროზიული პროცესების პროგნოზირება

ბორჯომისა და გორის რაიონებში გადამწვარი ნიადაგის გეოეკოლოგიური შეფასების მიზნით, წყალთა მეურნეობის ინსტიტუტის მეცნიერ-თანამშრომლების მიერ განხორციელდა ექსპედიციები 2008 წლის აგვისტო-ნოემბერში. ადგილზე აღებულ იქნა გადამწვარი ნიადაგის

სინჯები (სურ. 1.5, 1.6) და ინსტიტუტში ჩატარებული ლაბორატორიული კვლევის ანალიზის საფუძველზე დადგინდა:

ბორჯომის ხეობაში (წალკერი-დაბის ტერიტორიაზე) მომხდარი ხანძრის შემდგომ მდგომარეობის შესწავლის მიზნით, განხორციელდა ნიმუშიდან გამონაწურის ქიმიური ანალიზი, რომლის მონაცემებიც აღასტურებს, რომ ნიმუშში ადვილად ხსნადი მარილების საერთო რაოდენობა ნიადაგის ზედა ფენებში შეადგენს 2%-ს; პუმუსის შემცველობა ძალიან მცირეა და 1.25%-ს აღწევს. ნიადაგი უმეტესად კარბონატულია და დარიბია საკვები ელემენტებით. შთანთქმული *Na*-ის რაოდენობა ტევადობის 2.34%-ს შეადგენს, რაც დასაშვებ ნორმაზე მეტია. ნიადაგებისათვის დამახასიათებელია მცირე რაოდენობით სოდის შემცველობა, საერთო ტუტიანობა საკმაოდ მაღალია და ტოქსიკურ ზღვარს აღწევს; ქლორის შემცველობა სიღრმით მატულობს და მცენარეებისათვის საშიშ ზღვარზე მეტია. ამ მონაცემებიდან გამომდინარე, შესწავლით ნიადაგს დაკარგული აქვს სტრუქტურა და ხასიათდება წყლისა და ქარისმიერი ეროზიის მიმართ დიდი სენსიტიურობით.

ეროზიული პროცესების შესწავლის მიზნით გამოქვეყნებული სამეცნიერო ლიტერატურის ანალიზის შედეგად დადგინდა, რომ წალკერის მიმდებარე ტერიტორიაზე, სოფ. დაბაში მდ. ნიადვრის დელქს, ე.წ. მტს-ის დელქს და რუსის დელქს წყალშემკრებ აუზებში ნალექების წლიური მაქსიმალური მაჩვენებელი იცვლება 600-800 მმ/წელიწადში, ხოლო ბორჯომის რაიონში ნალექების

განაწილება თვეების მიხედვით მოცემულია პირველ  
ცხრილში, ნალექების განაწილების ციკლოგრამა კი – 1.7  
სურათზე.



სურ. 1.5. გორის მიმდებარე ტერიტორიაზე გადამწვარი  
ნიადაგის ზედაპირი

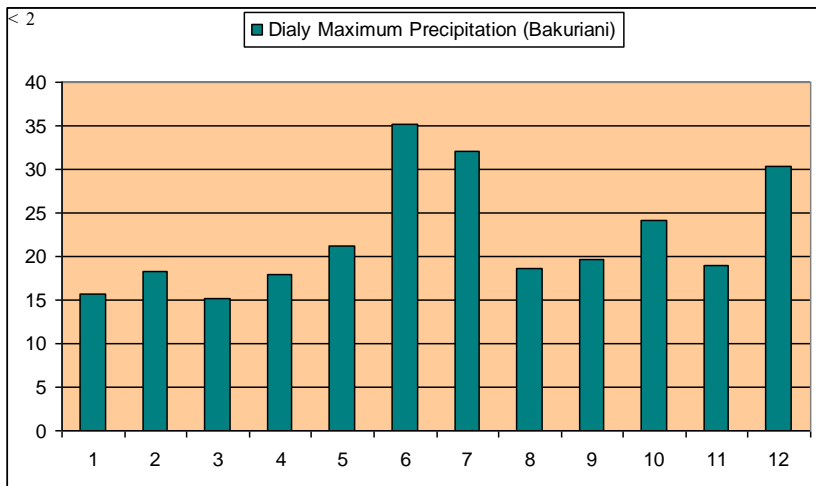


სურ. 1.6. სოფელ დაბაში გადამწვარი ნიადაგის ზედაპირი

## ცხრილი 1.1

### წლიური მაქსიმალური ნალექების განაწილება თვეების მიხედვით

| საღვურის<br>დასახელება | 1    | 2    | 3    | 4    | 5    | 6    | 7  | 8    | 9    | 10   | 11   | 12   |
|------------------------|------|------|------|------|------|------|----|------|------|------|------|------|
| ბაკურიანი              | 15,7 | 18,2 | 15,2 | 17,9 | 21,2 | 35,2 | 32 | 18,7 | 19,7 | 24,2 | 18,9 | 30,3 |



სურ. 1.7. ნალექების განაწილების ციკლოგრამა

საველე გამოკვლევებისა და ტოპოგრაფიული რუკის გამოყენებით (სურ. 1.8) დადგინდა, რომ მდ. ნადვარევის წყლის წყალშემკრები აუზის მთლიანი ფართობი არის  $F_0 = 4.313 \text{ } \text{კმ}^2$ , გადამწვარი ფართობისა კი -  $F_1 = 1,25 \text{ } \text{კმ}^2$ , ხოლო სენსიტიური ფართობი -  $F_2 = 0,95 \text{ } \text{კმ}^2$ . ანალოგიური მაჩვენებლები კ.წ. მგს-ის ხევისათვის -  $F_0 = 1.656 \text{ } \text{კმ}^2$ ,  $F_1 = 0.52 \text{ } \text{კმ}^2$ ,  $F_2 = 0.41 \text{ } \text{კმ}^2$ , ხოლო რუსის დელეს შემთხვევაში -  $F_0 = 2.375 \text{ } \text{კმ}^2$ ,  $F_1 = 0.66 \text{ } \text{კმ}^2$  და  $F_2 = 0.44 \text{ } \text{კმ}^2$ .



სურ. 1.8. ტოპოგრაფიული რუკა

ამრიგად, ბორჯომის რაიონში ჩატარებული საველუსარეკონსცირებო კვლევების ანალიზის შედეგად შეიძლება გავაკეთოთ შემდეგი დასკვნა: ბორჯომის რაიონში მდ. ნაღვარევის, მდ. მტბ-ის დელესა და მდ. რუსის დელეს წყალშემკრებ აუზში ხანძრისაგან დაიწვა 950 ჰა ტყის მასივი, აქედან მთლიანად გადამწვარი ტყის 250 ჰა ( $2,50 \text{ ჰ}^2$ ) ფართობიდან სენსიტიურ უბნებად დაგაფიქსირეთ 191 ჰა ( $1.91 \text{ ჰ}^2$ ), ე.ი. მთლიანი გადამწვარი ფართობის 84% (ცხრ. 1.2).

## ცხრილი 1.2

### მთის ფერდობების გეომეტრიული მაჩვენებლები

| წყალშემკრები<br>აუზის<br>დასახელება | ფერდის<br>პროექცია | ფერდის დაწ-<br>ყებისა და<br>დამთავრების<br>ნიშნული<br>ზღვის<br>დონიდან (მ) | ფერდის<br>სიგრძე<br>(მ) | ფერდის<br>ქანობი | ფერდის<br>დახრის<br>გუთხე<br>(გრად) |
|-------------------------------------|--------------------|--|-------------------------|------------------|-------------------------------------|
| ნაღვარევის<br>დელე                  | მარჯვენა           | 1475   | 1105                    | 875              | 0,423 $25^0\ 00'$                   |
|                                     | მარცხენა           | 1375   | 1105                    | 625              | 0,432 $25^0\ 40'$                   |
| მტხ-ის<br>დელე                      | მარჯვენა           | 1375   | 1125                    | 500              | 0,500 $30^0\ 00'$                   |
|                                     | მარცხენა           | 1425   | 1125                    | 375              | 0,733 $47^0\ 10'$                   |
| რუსის<br>დელე                       | მარჯვენა           | 1588   | 1250                    | 575              | 0,587 $36^0\ 00'$                   |
|                                     | მარცხენა           | 1450   | 1250                    | 360              | 0,555 $33^0\ 40'$                   |

ერთზის კოეფიციენტის ( $E$ ) დასადგენად გსარგებლობით შემდეგი დამოკიდებულებით [10,14]:

$$E = [0,58 + 1,40(F_2 / F_1)](t/T)^{0,21}, \quad (1.14)$$

სადაც  $F_1$  არის წყალშემკრები აუზის გადამწვარი ფართობი ( $\text{კმ}^2$ );  $F_0$  – მთლიანი წყალშემკრები აუზის ფართობი ( $\text{კმ}^2$ );  $t$  – საანგარიშო დროის ელემენტარული პერიოდი (წელი);  $T$  – საპროგნოზო დროის მთლიანი პერიოდი (წელი).

(1.14) დამოკიდებულებისა და ინგლისელი მეცნიერის, პროფ. რ. მორგანის [54] ერთზის სკალის გამოყენებით მიღებული გაანგარიშების შედეგები მოცემულია ცხრილში 1.3.

### ცხრილი 1.3

#### ეროვნის პროგნოზი

| ეროვნის<br>კოეფიციენტის<br>მნიშვნელობა (E)     | 2009 | 2010 | 2011 | 2012 | 2013 | ეროვნის კლასი<br>რ. მორგანის<br>გთხვებით [16] | ეროვნის ინტენსი-<br>გობა წელიწადში<br>(ტ/ჰა) |
|--|------|------|------|------|------|---|--|
| მდ. ნადვარევის<br>წყლის წყალშემკ-<br>რები აუზი | 0,95 | 1,11 | 1,21 | 1,27 | 1,34 | 3   | 5÷10   |
| მდ. მტს-ის ღელეს<br>წყალშემკრები<br>აუზი       | 0,56 | 0,65 | 0,71 | 0,75 | 0,79 | 2   | 2÷5  |
| მდ. რუსის ღელეს<br>წყალშემკრები<br>აუზი        | 0,47 | 0,56 | 0,60 | 0,64 | 0,67 | 2   | 2÷5  |

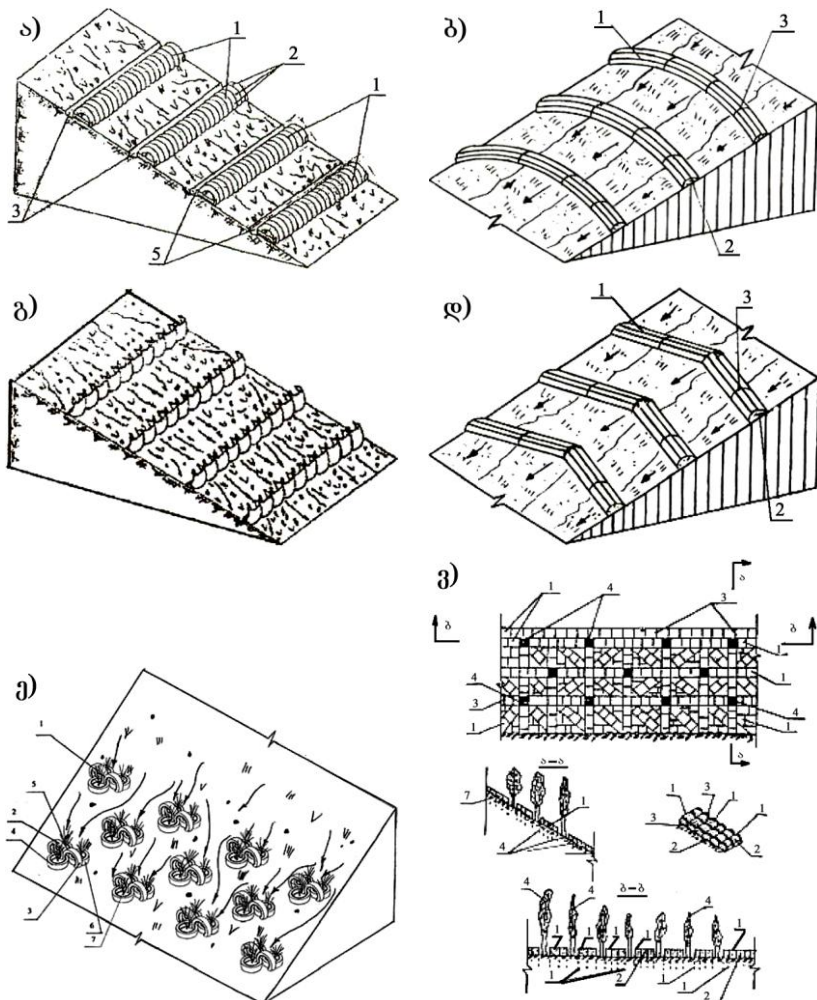
ეროვნის კლასი ამჯერად მეორე რიგისაა (პროფ. რ. მორგანის სკალის მიხედვით), რომლის შესაბამისი ეროვნის ინტენსივობა წელიწადში ჯერჯერობით ნაკლებია  $2\div 5$  ტ/ჰა-ზე. ამ რეგიონში ინტენსიური წვიმების გათვალისწინებით (პროგნოზით წვიმის მაქსიმალური ინტენსივობა უტოლდება  $K = 0,195$  მმ/წმ), შესაძლებელია უფრო გაძლიერდეს ნიადაგის წყლისმიერი ეროვნიული პროცესები, რაც კიდევ უფრო დაამძიმებს იქ არსებულ ეკოლოგიურ მდგომარეობას.

## 1.6. ეროვნის საწინააღმდეგო რესურსმთხოვი ახალი კონსტრუქციები და მათი დაპროექტების მეთოდები

ეროვნიული პროცესების პროგნოზირებისა და მათი საწინააღმდეგო დონისძიებების დაპროექტებისათვის მეთოდოლოგიის დამუშავებას ყოფილ საბჭოთა კავშირში, და მათ შორის საქართველოშიც, საფუძველი ჩაუყარა მსოფლიოში ცნობილმა მეცნიერმა, აკადემიკოსმა ცოტნე მირცხულავამ [50 ,51, 53]. განსაკუთრებით უნდა აღინიშნოს, დამოუკიდებელ საქართველოში (1992 წ.) წყალთა მეურნეობის ინსტიტუტში მისი ხელმძღვანელობითა და უშუალო მონაწილეობით „საქართველოს ნიადაგების ეროვნისაგან დაცვის სახელმწიფო მიზნობრივი პროგრამის“ დამუშავება, რომელიც დამტკიცებულია საქართველოს პრეზიდენტის შესაბამისი ბრძანებულებით.

ბორჯომის რაიონში ხანძრის ზონებში ჩატარებულმა ექსპედიციურმა გამოკვლევებმა დაადასტურა, რომ რეგიონი განთავსებულია ტყის ზედა სარტყლის ლანდშაფტში, გარშემორტყმულია საშუალო სიმაღლის მთებით და დაფარულია რცხილნარ-წიფლნარი და ზოგან ფიჭვნარი ტყით. რაც შეეხება ნიადაგებს, აქ ძირითადად გავრცელებულია ლია და გაეწრებული საშუალო და მცირე სისქის ტყის ყომრალი ნიადაგი.

საველე და კარტოგრაფიული მონაცემების ერთობლივი დამუშავებით დადგინდა მდ. ნაღვარევის დელის, მდ. მტხ-ის დელისა და მდ. რუსის დელის წყალშემკრები აუზის გადამწვარ ფართობებზე განთავსებული მთის ფერდობების დახრის კუთხის მნიშვნელობები, რომელთა მაჩვენებლებიც მოცემულია ცხრილში 1.3.



სურ. 1.9. ეროზიის საწინააღმდეგო ახალი კონსტრუქციები

წყალთა მეურნეობის ინსტიტუტში დამუშავებულია მთელი რიგი წყლისმიერი ეროზიის საწინააღმდეგო რესურსდამზოგი ახალი კონსტრუქციები, რომელთა მეცნიერულ-ტექნიკური სიახლის პროცესი დამოწმებიც დამოწმებულია

საქართველოსა და საზღვარგარეთის საპატიო მოწმობებით [2, 4, 12, 13, 24].

მთის ფერდობის ეროზიის საწინააღმდეგო ნაგებობა (სურ. 1.9, ა) წარმოადგენს მთის ფერდობის მთელ სიგანეზე რიგებად დამორჩავებულ ავტომობილის ამორტიზებული საბურავებისაგან შედგენილ სექციებს; გამოყენებული საბურავები განხდაგებულია გვერდითი ზედაპირებით ერთმანეთზე მიჯრით, ჩალაგებულია გრუნტის თხრილში და ჭიდროდაა დაკავშირებული ერთმანეთთან ლითონის ბაგირებით, რომლებიც გატარებულია საბურავებში წინასწარ გაკეთებულ ნახვრებებში, შემოხვეულია სექციის ერთ ბოლოზე მიმაგრებულ ლითონის II-სებრ ელემენტზე და ბოლოები ხისტადაა ჩამაგრებული სექციის მეორე ბოლოზე დაყენებულ II-სებრ ელემენტზე ქანჩითა და ჭანჭიკით; ამასთან, ნაგებობიდან წყლის ნაკადის გაყვანის მიზნით, ნაგებობის ზედა ბიეფში მოწყობილია წყალამრიდი არხები [12].

ეროზიის საწინააღმდეგო ზეინულები (სურ. 1.9, ბ და 1.9, დ), რომლებიც შედგება მიწის ტომრებისაგან, მთის ფერდობზე განლაგებულია სხვადასხვა კონფიგურაციით, რაც უზრუნველყოფს ინტენსიური წვიმების შედეგად წარმოშობილი წყლის ზედაპირული ნაკადების კინეტიკური ენერგიის ჩაქრობას. მიწის ზეინულებს შორის მანძილი და მათ შორის მცენარეული საფარის განახლება ხორციელდება ქვემოთ განხილული შესაბამისი მეორდოლოგით [13].

მთის ფერდობის ეროზიის საწინააღმდეგო ნაგებობა (სურ. 1.9, გ) შედგება ავტომობილის ამორტიზებული, დიამეტრზე გაკვეთილი საბურავებისაგან, რომლებიც

ერთი ბოლოთი გრუნტში ხისტადაა ჩამაგრებული ერთმანეთთან მიჯრით, ხოლო მეორე, ნიადაგის ზემოთ დარჩენილი ნაწილი მიმართულია მთის ფერდობზე მოსული ინტენსიური წვიმების შედეგად წარმოშობილი წყლის-მიერი ზედაპირული ეროზიის საწინააღმდეგოდ [22].

მთის ფერდობის ეროზიის საწინააღმდეგო ნაგებობა (სურ. 1.9, ე) შედგება ჭადრაკულად განლაგებული ავტომობილის ამორტიზებული საბურავებით შედგენილი სექციებისაგან, რომელთაგან ორი ჩამაგრებულია დიამეტრის სიგრძის დაახლოებით 1/3 ნაწილით და მუშა ზედაპირებით ერთმანეთთან მიჯრით დაკავშირებულია ისე, რომ მათი დიაგრამი მართობული იყოს ფერდობის სიბრტყისადმი, ხოლო მესამე განთავსებულია ნიადაგის ზედაპირზე და გაყრილია ნიადაგში ჩამაგრებული საბურავების დრუ ტანში, დანარჩენი საბურავები კი განლაგებულია გვერდითი ზედაპირების ერთმანეთთან მიჯრით ნიადაგის სიბრტყეზე ისე, რომ მათი მუშა ზედაპირები მოთავსებულია ნიადაგში ჩამონტაჟებული საბურავების შიგა მხარეს. მთის ფერდობის ზედაპირზე განლაგებულ საბურავებში სექციების მდგრადობის გასაძლიერებლად ჩარგულია მცენარეები.

მთის ფერდობის ეროზიის საწინააღმდეგო ახალი მოწყობილობა (სურ. 1.9, ვ) უზრუნველყოფს გრუნტის ნაწილაკების ადგილზე შეკავებას, ეწინააღმდეგება ეროზიის გავრცელებას მთის ფერდობზე, ქმნის მცენარისათვის ნორმალურ ეკოლოგიურ გარემოს და ხასიათდება დაბალი სამშენებლო და სამონტაჟო ხარჯებით [3]. ნაგებობა შედგება პოლიეთილენის ტომრებისაგან, რომლებიც შევებულია ადგილობრივი გრუნტით. ტომრები გრუნტის

ზედაპირზე დამაგრებულია ლითონის სამაგრებით, ხოლო თავისუფალ ადგილებში ჭადრაკულადაა დარგული მცენარეები.

წარმოდგენილი ახალი კონსტრუქციები შესაძლებელია გამოყენებულ იქნეს როგორც წყალამრიდი ზენიულების, ისე სხვადასხვა ცალკეული ღონისძიებების სახით; ხოლო ერთზიულ ფართობებზე, სენისტიური უბნების დადგენის შემდეგ შეირჩევა, თუ რომელ კონსტრუქციას გაეწიოს რეკომენდაცია და შემდეგ ეტაპზე ხორციელდება მისი დაპროექტება.

მთის ფერდობის ტოპოგრაფიული, გეოლოგიური, ნიადაგობრივი, კლიმატური, ჰიდროლოგიური და ფერდობზე ფორმირებული ზედაპირული წყლის ნაკადის ჰიდრავლიკური პარამეტრების მხედველობაში მიღებით, აკად, ც. მირცხულავას [50, 51, 52, 53] მეთოდოლოგიის გამოყენებით წყალთა მეურნეობის ინსტიტუტში დადგინდა ზგინულებს შორის ის კრიტიკული ურთიერთდაშორება (მანძილი)  $X_0$ , რომელიც უზრუნველყოფს ნიადაგის დაცვას წყლისმიერი ერთზიული პროცესებისაგან [55]:

$$X_0 = \frac{V_{\Delta 0}^{5,4} (BH_0 + 1)^{2,7} n^{4,4} \sqrt{\alpha^2 + \beta^2}}{2,25 \ln^2(1-R) dtg^{0,8} sq}, \quad (3) \quad (1.15)$$

სადაც  $V_{\Delta 0}$  ნიადაგის ზღვრული (არაგამრეცხი) ფსკერული სიჩქარეა ( $\text{მ}/\text{წ}$ );  $B$  – ფერდობის სიგანე, რომელიც იანგარიშება შემდეგი ფორმულით:

$$B = \frac{156250}{w dt}, \quad (1.16)$$

სადაც  $w$  ნაკადის პულსაციის სიხშირის საშუალო

მნიშვნელობაა (1/მ);  $d$  – ნიადაგის მოწყვეტილი ნაწილაკის ზომა ( $d=0,0004 \text{ მ}$ );  $t$  – მოცემული ინტენსივობის წვიმის ხანგრძლივობა, წმ;  $H_0$  – ნაკარგულის ფსკერის წარეცხვის დასაშვები სიმაღლე, მ;  $n$  – ფერდობის ხორჯლიანობის კოეფიციენტი;  $\alpha, \beta$  – ფერდობის ზედაპირის უსწორობის მახასიათებელი კოეფიციენტები (მოხსული ნიადაგისათვის  $\alpha=13,4$ ;  $\beta=17,6$ );  $R$  – ეროზის თვალსაზრისით ფერდობის სამედოობა;  $s$  – ფერდობის დახრის კუთხე (გრადუსი);  $q$  – ფერდობის ჩამონადენი (მ/წმ).

თუ გავითვალისწინებთ აკად. ც. მირცხულავას მიერ რეკომენდებულ არაგამრეცხი ფსკერული სიჩქარეების მნიშვნელობებს: ქვიშნარი ნიადაგებისათვის – 0,11 მ/წმ, თიხნარებისათვის – 0,115 მ/წმ, ხოლო თიხებისათვის – 0,12, მაშინ (1.15) დამოკიდებულებით გამოთვლილი ეროზის საწინააღმდეგო ზვინულებს შორის მანძილის ოპტიმალური მნიშვნელობები მოყვანილია 1.4 ცხრილში [55]. მიღებული მონაცემები შედარებულ იქნა მცენარეული საფარის არმქონე ფერდობებზე ქვიშნარი ნიადაგის პირობებისათვის, მსოფლიოში ცნობილი მეცნიერების რ. მორგანის [54], რ. მარშალის [45] და USLE-ის მონაცემებთან. ანალიზით დადგინდა, რომ აკად. ც. მირცხულავას [50, 55] მეთოდოლოგია უფრო მისაღებია, რადგან, გარდა ეროზის განმსაზღვრელი ძირითადი პარამეტრებისა, ანგარიშში გათვალისწინებულია ეროზიული პროცესების ალბათური ხასიათიც.

რაც შექება ეროზის საწინააღმდეგო ნაგებობების სამშენებლო-სამონტაჟო დირექტულებას, იგი წინასწარი

გაანგარიშებით, ერთი გრძივი მეტრის მოწყობისას არ აღემატება  $12 \div 25$  ლარს.

#### ცხრილი 1.4

ეროზიის საწინააღმდეგო ზოინულებს შორის მანძილი (მ)

| ფერდობის<br>ქანობი<br>(გრადუსი) | ქვიშნარი                            |          | თიხნარი                              |          | თიხები                              |          |
|---------------------------------|-------------------------------------|----------|--------------------------------------|----------|-------------------------------------|----------|
|                                 | $V_{\Delta 0} = 0,11 (\text{მ/წმ})$ |          | $V_{\Delta 0} = 0,115 (\text{მ/წმ})$ |          | $V_{\Delta 0} = 0,12 (\text{მ/წმ})$ |          |
|                                 | $R=0,95$                            | $R=0,99$ | $R=0,95$                             | $R=0,99$ | $R=0,95$                            | $R=0,99$ |
| 5                               | 39,1                                | 16,6     | 49,7                                 | 21,1     | 62,6                                | 26,6     |
| 10                              | 22,5                                | 9,5      | 28,6                                 | 12,1     | 35,9                                | 15,3     |
| 15                              | 16,2                                | 6,9      | 20,6                                 | 8,8      | 26,0                                | 11,0     |
| 20                              | 12,9                                | 5,5      | 16,4                                 | 7,0      | 20,6                                | 8,8      |
| 30                              | 9,3                                 | 4,0      | 11,9                                 | 5,0      | 14,9                                | 6,3      |
| 40                              | 7,4                                 | 3,1      | 9,4                                  | 4,0      | 11,9                                | 5,0      |
| 50                              | 6,2                                 | 2,6      | 7,9                                  | 3,3      | 9,9                                 | 4,2      |
| 60                              | 5,4                                 | 2,3      | 6,8                                  | 2,9      | 8,6                                 | 3,6      |
| 70                              | 4,7                                 | 2,0      | 6,0                                  | 2,6      | 7,6                                 | 3,2      |

1.7. ბორჯომის მუნიციპალიტეტის დაბა წალკის ტერიტორიაზე გადამწვარი ტყის მასივების მთის ფერდობებზე 2010 წლის არსებული მდგომარეობის შეფასება

საქართველოს გარემოს დაცვისა და ბუნებრივი რესურსების მინისტრის 2010 წლის 20 აგვისტოს ბრძანების (№ 427) თანახმად, რომელიც დაკავშირებულია 2008 წლის აგვისტოს ოვეში რუსეთის სამხედრო აგრესიის შედეგად ბორჯომის მუნიციპალიტეტის დაბა წალკის ტერიტორიაზე გადამწვარი ტყის მასივების მთის ფერდობებზე არსებული მდგომარეობის შეფასებასთან, 2010

წლის 23 აგვისტოს საქართველოს გარემოს დაცვისა და ბუნებრივი რესურსების მინისტრის მიერ შექმნილი კომისიის წევრების მიერ განხორციელდა მივლინება დაბა წალკერში.

აღგილზე ჩატარებული საველე-სარეკოგნოსციოებო კვლევებისა და გადამწვარ ტყის ფერდობებზე 2008-2010 წწ. ნიადაგის ზედაპირიდან აღებული ნიმუშების ლაბორატორიული გამოკვლევების შემდეგ შეიძლება ავღნიშნოთ:

1. ბორჯომის მუნიციპალიტეტის სოფელ დაბასა და მის მიმდებარე ტერიტორიაზე მდ. გუჯარეთის წყალშემკრებ აუზში მთის ფერდობების საერთო მდგომარეობა მოცემულია 1.10 და 1.11 სურათებზე.



სურ. 1.10. 2008 წლის სექტემბერი



სურ. 1.11. 2010 წლის 23 აგვისტო

2. 2008 წლის სექტემბერსა და 2010 წლის 23 აგვისტოში ხოფ. დაბის მიმდებარე ტერიტორიაზე აღებული ნიადაგის ქიმიური ანალიზის შედეგებიდან შეიძლება დავასკვნათ: ანთონებიდან №1 და №3 ნიმუში ყველაზე დიდი რაოდენობითაა მოდის  $SO_4^{2-}$  ( $67,58\div 69,58\%$ ), ხოლო №2 ნიმუში  $Cl^-$  ( $69,5\%$ ). მომდევნო ადგილი №1 და №3 ნიმუში  $Cl^-$ -ს უკავია. ამდენად ნიადაგის ზედაპირი სულფატურ-ქლორიდული, პრაქტიკულად არადამლაშებული ხასიათისაა. კათიონებიდან წყლის გამონაწურში წამყვანი ადგილი  $Na^+$ -ს უკავია. ამდენად მთის ფერდობის ნიადაგის ზედაპირის დამლაშება გამოწვეულია ძირითადად გლაუბერის მარილით და ქლორიდებით. ნიადაგი ბიცობებს განეკუთვნება. ბიცობები შთანთქმული  $Na^+$ -ის გავლენით არამტკიცე სტრუქტურით ხასიათდება და ყოველი წვიმის შემდეგ იკეთებს ქერქს, რაც ცუდად მოქმედებს მცენარეებზე, იწვევს მცენარის მექანიკურ დაზიანებას. გარდა ამისა, ფერდობის ზედაპირზე ქერქის გაჩენა აძლიერებს წყლის ზედაპირულ აორთქლებას, ყოველივე

ეს კი ზრდის მთის ფერდობზე ეროზიული პროცესების გააქტიურებას;

3. მთის ფერდობის ეროზიული პროცესების პროგნოზირების მიზნით გამოყენებულია აკადემიკოს ც. მირცხულავას, ინგლისელი პროფესორის რ. მორგანის და წინამდებარე მონოგრაფიის ავტორის მეთოდოლოგია, რომლის რიცხობრივი მაჩვენებლებიც მოცემულია 1.5 ცხრილში.

ეროზიის კლასი ამჯერად მეორე რიგისაა (პროფ. რ. მორგანის მიხედვით), რომლის შესაბამისი ეროზის ინტენსივობა წელიწადში ჯერჯერობით ნაკლებია  $2 \div 5$  ტ/ჰა-ზე. ამ რეგიონში ინტენსიური წვიმების გათვალისწინებით (პროგნოზით წვიმის მაქსიმალური ინტენსივობა უტოლდება 0,195 მმ/წთ-ს), შესაძლებელია უფრო გაძლიერდეს ნიადაგის წყლისმიერი ეროზიული პროცესები, რაც კიდევ უფრო დაამძიმებს იქ არსებულ ეკოლოგიურ მდგომარეობას.

4. სამწუხაროდ, ჩვენს მიერ ჩატარებული 2008 და 2009 წლის მეცნიერული კვლევების საფუძველზე არ განხორციელდა შესაბამისი პრევენციული ღონისძიებები, რის შედეგადაც 2010 წლის გაზაფხულზე, ეროზიული პროცესების გააქტიურების შედეგად მდ. ნაღვარევის წყლის წყალშემკრებ აუზში განხორციელდა მთის ფერდობების ჩამონგრევა-ჩამოშვავება და ზედაპირული წყლის ნაკადების მიერ ტრანპორტირებულ იქნა დამწვარი და წაქცეული ხის ნარჩენები (სურ. 1.12;1.13;1.14;1.15), რის შედეგადაც ჩამოყალიბდა სხვადასხვა სიმძლავრის ღვარცოვები. ამჟამად ღვარცოვული მასით მთლიანად არის შევსებული მდ. ნაღვარევის წყლის კალაპოტი და საშიშროების წინაშე დგას მთლიანად სოფელ დაბის მოსახლეობა.

## ცხრილი 1.5

### ეროზიული პროცესების პროგნოზი

| ეროზიის<br>კოეფიციენტის<br>მნიშვნელობა ( $E$ ) | 2009 | 2010 | 2011 | 2012 | 2013 | ეროზიის გლასი<br>რ. მორგანის<br>გიბედვით [16] | ეროზიის ინტენ-<br>სიტობა წელი-<br>წალში (ტპ) |
|--|------|------|------|------|------|---|--|
| მდ. ნაღვარევის<br>წყლის წყალ-<br>შემკრები აუზი | 0,95 | 1,11 | 1,21 | 1,27 | 1,34 | 3   | 5 - 10                                       |
| მდ. მტბ-ის დელეს<br>წყალშემკრები<br>აუზი       | 0,56 | 0,65 | 0,71 | 0,75 | 0,79 | 2   | 2 - 5  |
| მდ. რუსის დელეს<br>წყალშემკრები<br>აუზი        | 0,47 | 0,56 | 0,60 | 0,64 | 0,67 | 2   | 2 - 5  |



სურ. 1.12. მთის ფერდის ჩამონგრევა-ჩამოშვავება.  
2010 წლის 23 აგვისტო



სურ. 1.13. დგარცოფული მასა მდ. ნადგარევის  
წყლის კალაპოტში



სურ. 1.14. მდინარის კალაპოტში ტრანსპორტირებული  
ხის ნარჩენები (23.08.2010)



სურ. 1.15. მდ. ნაღვარევის წყლის კალაპოტში (23.08.2010)

წინასწარი გაანგარიშებით მდ. ნაღვარევის წყლის კალაპოტი ღვარცოფული მასით სიგრძეზე შევსებულია 1,5 კმ მანძილზე, მდინარის საშუალო განივი კვეთის ფართობით 8 მ<sup>2</sup>. შესაბამისად ღვარცოფის მიერ გამოტანილი ინერტული მასის საორიენტაციო მოცულობამ შეადგინა – 12000 მ<sup>3</sup>.

თუ ჩავატარებთ მიღებული მონაცემების ანალიზს, დავრწმუნდებით რომ ეროზიული პროცესების გააქტიურებით უკვე ჩამოყალიბდა მთის ფერდობების ისეთი დესტრუქციული პროცესები, როგორიცაა ფერდობის ჩამონგრევა-ჩამოშვავება და აქედან გამომდინარე, ღვარცოფული პროცესების ფორმირება.

ამრიგად, ბორჯომის მუნიციპალიტეტის დაბა წაღვრის ტერიტორიაზე გადამწვარ ტყის მასივებში ფორმირებული ბუნების სტიქიური მოვლენების რეგულირების

მიზნით აუცილებელია განხორციელდეს ეროვნიულ-დგარ-ცოფული პროცესების საწინააღმდეგო პრევენციული საინჟინრო-ეკოლოგიური, სატყეო-მელიორაციული და კომპლექსური სახის ლონისძიებები, წინააღმდეგ შემთხვევაში საშიშროება დაემუქრება არა მარტო დაბა წალკერის ტერიტორიაზე გადამწვარი ტყის ლანდშაფტებში განთავსებული მთის ფერდობების ეკოლოგიურ მდგრადობას, ასევე ამ სოფელში და მიმდებარე ტერიტორიაზე განთავსებული მოსახლეობის სიცოცხლეს.

## **თავი 2. მდინარე არაგვის წყალშემპრეზე აუზში ეროვნულ-ღვარცოფული პროცესების პროგნოზირება და მათი შეფასება**

წარმოდგენილი მასალა ეფუძნება წყალთა მეურნეობის ინსტიტუტში 25 წლის განმავლობაში განხორციელებული თეორიული და სავალე კვლევის შედეგებს [7, 9, 14, 16, 18, 20, 21, 28, 30], რაც განპირობებული იყო ბოლო წლებში მსოფლიოში და მათ შორის საქართველოში, ბუნების სტიქიური მოვლენების – წყალდიდობების, წყალმოვარდნების, ეროზიულ-ღვარცოფული პროცესების, მეწყერების და ა.შ. განსაკუთრებული გააქტიურებით.

მდინარე არაგვის წყალშემკრებ აუზში, მაგ., მდინარე დუშეთის ხევში 2003 – 2005 წწ. მნიშვნელოვნად გახშირდა წყალდიდობები, ხოლო მდებარეობის ხევის წყალშემკრებ აუზში ღვარცოფული პროცესები, რომლებმაც დიდი ზიანი მიაყენა არა მარტო მდებარე 1876 წელს აშენებულ წმინდა გიორგის ეკლესიას, საქართველოს სამხედრო გზის მონაკვეთსა და სოფელ ქვემო მდებარე, ასევე მდ. დუშეთის ხევის წყალმოვარდნებისა და ღვარცოფების გავლისას დუშეთში დაინგრა საცხოვრებელი სახლები და დაზიანდა საავტომობილო გზები. სამწუხაროდ, იყო ადამიანთა მსხვერპლიც.

ნაშრომში განხილული მეცნიერული კვლევის შედეგები მოხსენებული იყო 2006 წლის ივნის-ივლისში გერმანიაში, ჰესენის უნივერსიტეტში [16], ხოლო 2007 წლის მარტ-აპრილში ჩინეთში: ჩინეთის ცენტრალურ ნორმალის უნივერსიტეტში (ქ. ვუჰანი), ვუჰანის უნივერსიტეტში, ჩინეთის მეცნიერებათა აკადემიის გეოდეზიისა და

გეოფიზიკის ინსტიტუტში (პუბეის პროვინცია) და ძიუ-ძიანგის უნივერსიტეტში (ჯიან-ჯის პროვინცია), რამაც სპეციალისტთა დიდი ინტერესი გამოიწვია.

სამეცნიერო ნაშრომში დამუშავებული საპროექტო წინადადებები გადაეცა სრულიად საქართველოს კათოლიკოს პატრიარქს, უწმინდესსა და უნეტარეს ილია მეორეს.

## 2.1. მდინარე დუშეთის ხევის ეკოლოგიური შეფასება

დუშეთის ხევი სათავეს იღებს ზღვის დონიდან 1260 მ სიმაღლეზე, სოფელ რბოეთის მიმდებარე ტერიტორიიდან, რომელიც არაგვს ერთვის 640 მ ნიშნულზე. დუშეთის ხევის ძირითადი ჰიდრომორფოლებრული სიდიდეები ასეთია: წყალშემკრები აუზის ფართობი – 36,72 ( $\text{კმ}^2$ ), ეროდირებული ფართობი – 11,16 ( $\text{კმ}^2$ ), მდინარის სიგრძე – 13,2 (კმ), კალაპოტის საშუალო ქანობი – 0,047 [20].

2005 წლის 10–15 ივნისს დუშეთის რაიონში ინტენსიური წვიმების შედეგად ფორმირებულმა ზედაპირული წყლის ნაკადებმა, თავის მხრივ, გამოიწვია დუშეთისა და ფოტეს ხევების კალაპოტში დგარცოფების გაგლა, რამაც დიდი ზიანი მიაყენა არა მარტო დუშეთის რაიონს, არა-მედ მწყობრიდან გამოიყვანა ჟინგალის წყალსაცავიდან გამომავალი თბილისისათვის სასმელი წყლის მომწოდებელი გვირაბი. სამწუხაროდ, სტიქიას აქაც ადამიანის მსხვერპლის გარეშე არ ჩაუვლია [20].

განხორციელებული კვლევებისას განსაკუთრებული ყურადღება მიექცა დუშეთის ხევის კალაპოტში რამდენიმე ადგილზე წარმოშობილი ბუნებრივი ზღუდარის შექმნას, რაც გამოწვეული იყო კალაპოტის ფერდობების

ჩამონგრევა-ჩამოშვავებით და რამაც ხელი შეუწყო მდინარის კალაპოტურ ეროზიას. ამას ემატებოდა მეწყრული პროცესები, რომლებიც დაფიქსირდა სოფელ ამილახვრიანთ კართან (სურ. 2.1) და დუშეთის ხევის სათავეებში.



სურ. 2.1. დამეწყრილი ტერიტორია სოფელ ამილახვრიანთ კართან, 2005 წ. 31 ივლისი

დვარცოფის სიმძლავრეზე ისიც მიუთითებს, რომ დუშეთისა და სოფელ ამილახვრიანთ კარის შემაერთებელ ხიდთან მდინარის კალაპოტში ნაკადმა 100 მ მანძილზე ჩამოიტანა 30 ტ წონის ამწე [20].

დუშეთიდან 3 კმ-ის დაშორებით (მდ. დუშეთის ხევის სათავის მიმართულებით), სოფელ ახალ ტონჩაში წყალდიდობამ და დვარცოფმა მთლიანად დაანგრია ამ სოფლისა და სოფელ ჭონტილს შორის დამაკავშირებელი ხიდი, რომელიც წარმოადგენდა ოთხი 12 მ სიგრძის

ლითონის მიღება დიამეტრით 1200 მმ. ხიდს ზევიდან დაყრილი ჰქონდა ადგილობრივი გრუნტი და წარმოადგენდა მიღხიდის კონსტრუქციას. ლვარცოფმა გაანგრია გრუნტის ყრილი და ლითონის მიღსაღენები გადაიტანა 100-300 მ-ის მოშორებით. ამჟამად გზა დანგრეულია 15 მ სიგრძეზე.

წყალდიდობამ და ლვარცოფმა დიდი ზიანი მიაყენა აგრეთვე მოსახლეობის საკარმილო ნაკვეთებს: სტიქიამ წარიტაცა ხეხილის ბაღები; კალაპოტი 6 მ სიღრმეზე გარეცხა, რასაც მდინარის ორივე ნაპირზე მოჰყვა ფერდების ჩამონგრევა-ჩამოშვავება და სხვადასხვა სიმაღლის ზღუდარების წარმოშობა.

მდინარის კალაპოტში შექმნილი ბუნებრივი კაშხლების (ზღუდარების) განგრევის შედეგად წარმოიშვა ლვარცოფი. ანალოგიური შემთხვევები დუშეთის ხევის კალაპოტში რამდენიმე ადგილზე დაფიქსირდა.

დუშეთისა და სოფ. ამილახვრიანთ კარის დამაკავშირებელ ხიდთან ჩატარებულმა გამოკვლევამ ცხადყო, რომ კალაპოტის სიგანე ამ ადგილას 41 მ-ია; ხიდი წარმოადგენს კოჭოვან კონსტრუქციას ორი ბურჯით (სურ. 2.2).

ამ ადგილზე ლვარცოფის გავლის კვალი დაფიქსირებულია 4 მ სიმაღლეზე; კალაპოტის ქანობი 5-7-ის ფარგლებში მერყეობს. ჩატარებული გამოთვლებით დადგინდა, რომ ლვარცოფის ხარჯის პიკურმა სიდიდემ 492 მ<sup>3</sup>/წმ შეადგინა.

დამუშავებული მეთოდიკით [20] მდინარე დუშეთის ხევის კალაპოტის პიდრომორფომეტრული მაჩვენებლების მხედველობაში მიღებით გაანგარიშებულ იქნა ლვარცო-

ფის ის მაქსიმალური ხარჯი, რომელმაც  $475,5 \text{ } \text{მ}^3/\text{წ}\text{მ}$  შეადგინა, რაც შეესაბამება  $1\%-იანი$  უზრუნველყოფის ხარჯს. აღნიშნული სიდიდე წარმოადგენს დვარცოფის იმ მაქსიმალური ხარჯის მნიშვნელობას, რომელიც დუშეთის ხევის კალაპოტში უნდა წარმოიშვას  $100 \text{ } \text{წ}\text{წ}\text{ლიწადში}$  ერთხელ.



**სურ. 2.2. დუშეთისა და სოფ. ამილახვრიანთ კარის შემაერთებელი ხიდის საერთო ხედი, 2005 წ. 31 ივლისი სხვადასხვა უზრუნველყოფის დვარცოფის მაქსიმალური ხარჯის მნიშვნელობა გაანგარიშებულ იქნა შემდეგი ფორმულით [3, 23]:**

$$Q_{\max} = A(34 + 400i)F_0^{0.61} \text{ } \text{მ}^3/\text{წ}\text{მ}, \quad (2.1)$$

სადაც  $A$  არის წყალდიდობის ხარჯის კოეფიციენტი, რომლის ცვლილება უზრუნველყოფის კოეფიციენტთან  $P(\%)$  მოყვანილია  $2.1$  ცხრილში.



**სურ. 2.3. დგარცოფის მიერ დუშეთის ხევის 6 მ სიღრმეზე  
გარეცხილი კალაპოტი, 2005 წ. 31 ივნისი**

### **ცხრილი 2.1**

**A კოეფიციენტსა და უზრუნველყოფის კოეფიციენტს P(%)  
შორის კავშირი**

| <b>უზრუნველყოფის<br/>კოეფიციენტი (%)</b> | 0,1 | 1   | 3   | 5   | 10  | 25  |
|--|-----|-----|-----|-----|-----|-----|
| <b>A - კოეფიციენტი</b>                   | 2,4 | 1,0 | 0,7 | 0,6 | 0,5 | 0,3 |

დუშეთის ხევის კალაპოტისათვის აღნიშნული მეოთ-  
დით განხორციელებული მაქსიმალური ხარჯების გაანგა-  
რიშების შედეგები მოცემულია 2.2 ცხრილში.

მდინარე დუშეთის ხევის წყალშემკრებ აუზში ეროზი-  
ის კოეფიციენტის მნიშვნელობები დადგენილია შემდეგი  
ფორმულით [5]:

$$E = \left[ 0.58 + 1.40 \left( F_1 / F_0 \right) \cdot \left( t / T \right)^{0.21} \right], \quad (2.2)$$

სადაც  $F_1$  – არის მდინარის წყალშემკრებ აუზში ეროზიოგ-  
ბული ფართობი ( $\text{კმ}^2$ );  $F_0$  – მდინარის წყალშემკრე-  
ბი აუზის მთლიანი ფართობი ( $\text{კმ}^2$ );  $t$  – დროის პე-  
რიოდი, წელი;  $T$  – მთლიანი დაკვირვების პერიოდი,  
წელი; გაანგარიშების შედეგები მოყვანილია 2.3  
ცხრილში.

### ცხრილი 2.2

**დუშეთის ხევის კალაპოტში ღვარცოფის სხვადასხვა  
უზრუნველყოფის მაქსიმალური ხარჯები**

| უზრუნველყოფის<br>კოეფიციენტი (%)              | 0,1    | 1     | 3     | 5     | 10    | 25    |
|---|--------|-------|-------|-------|-------|-------|
| ღვარცოფის<br>ხარჯი ( $\text{მ}^3/\text{წთ}$ ) | 1141,1 | 475,5 | 332,8 | 285,3 | 237,7 | 142,6 |

### ცხრილი 2.3

**ეროზიის კოეფიციენტის მნიშვნელობები  
წლების მიხედვით**

| წელი                             | 1985 | 1990 | 1995 | 2000 | 2005 | 2010 |
|----------------------------------|------|------|------|------|------|------|
| ეროზიის კოე-<br>ფიციენტი ( $E$ ) | 0,51 | 0,72 | 0,83 | 0,90 | 0,96 | 1,01 |

თუ გამოვიყენებთ ცნობილი ინგლისელი მეცნიერის, პროფესორ რ. მორგანის [56] კლასიფიკაციას, მაშინ 2005 წელს დუშეთის ხევის წყალშემკრები აუზის მდგომარეობა ეროზიული პროცესების მიხედვით შეესაბამება მეორე კლასს, რომლის დაზიანების რიცხვითი მაჩვენებელია 5-10 ტ/ჰა წელიწადში, ხოლო 2010 წელს იქნება მესამე

კლასი – მნიშვნელოვანი დაზიანების ხარისხით 10–50 ტ/ჰა-ზე წელიწადში, ე.ი. დუშეთის ხევის წყალშემკრები აუზის ეროზირებული ფერდობებიდან მდინარის კალაპოტში 1 ჰა-დან წელიწადში დაგროვდება 10-50 ტ ეროზირებული გრუნტის ნაწილაკები, რომლებიც ინტენსიურ ნალექებთან ერთად ღვარცოფული მასის წარმოშობის ერთ-ერთ მთავარ კომპონენტს წარმოადგენს.

ღვარცოფის წარმოშობის ხელშემწყობი ფაქტორები, რომლებსაც ადგილი ჰქონდა დუშეთის ხევის კალაპოტში და არა მარტო აქ, შეიძლება ითქვას მთლიანად ანალოგიურია საქართველოს დიდი და პატარა მდინარეთა კალაპოტებისათვის. ესენია: ტყის ინტენსიური ჭრა, შედეგი – მთის ფერდობებისა და მდინარის კალაპოტების გაძლიერებული ეროზია; დუშეთის ხევის კალაპოტის უკანონო ათვისება (კალაპოტის შევიწროება); წყალდიდობებისა და ღვარცოფსაწინააღმდეგო ღონისძიებების ჩაუტარებლობა; კალაპოტის გამწმენდი სამუშაოების შეჩერება, მისი ჩახერგვა და მისი ამოვსება საყოფაცხოვრებო ნარჩენებით; ქ. დუშეთში სანიაღვრე არხების ავარიულობა და სხვ. ზემოთ აღნიშნულ ფაქტორებს ემატება რეგიონის კლიმატური მაჩვენებლებიც; მაგალითად, ქ. დუშეთის მეტეოროლოგიური სადგურის მონაცემებით, 2005 წლის მაისი-ივნისის თვეებში მოსული ნალექების რაოდენობამ შესაბამისად შეადგინა 220 და 206 მმ, რომელიც იანვარი-აპრილის თვეებში მოსული ნალექების ჯამურ რაოდენობას თითქმის ორჯერ აღემატება.

დუშეთის ხევის ანალოგიურად, სოფელ არაგვისპირის მოსახლეობას დიდი ზარალი მიაქვნა მდ. ფოტეს კალაპოტში ფორმირებულმა ღვარცოფმა. ნაკადმა დაანგრია

სათავო ნაგებობები და დვარცოფული მასით შეავსო მოსახლეობის საცხოვრებელი სახლების პირველი სართული. საბედნიეროდ, სტიქიას აქ ადამიანის მსხვერპლი არ მოჰყოლია.

ჩატარებული დაპკირვებების ანალიზის შედეგები საშუალებას გვაძლევს დღის წესრიგში დავაყენოთ დუშეთის ხევის კალაპოტის აუცილებელი და გადაუდებელი რეგულირების საკითხი. წინააღმდეგ შემთხვევაში, დიდი საშიშროების წინაშე დადგება არა მარტო ქალაქ დუშეთისა და მისი რაიონის მოსახლეობა, არამედ სტიქიის განმეორების შემთხვევაში, არსებობს დიდი რისკი, ხელახლა მწყობრიდან გამოიყვანოს ან მთლიანად დაანგრიოს ჟინვალ-ბოდორნას წყალსაცავების დამაკავშირებელი წყალსადენი გვირაბის მონაკვეთი დუშეთის ხევის გადაკვეთის ადგილზე, რაც ქ. თბილისის მოსახლეობას სასმელი წყლის გარეშე დატოვებს. უნდა ითქვას, რომ მიღებული შედეგები 2005 წელს გამოყენებულ იქნა საქციდრო-პროექტის ინსტიტუტის მიერ დუშეთის ხევის კალაპოტის რეგულირების პროექტში, რომლის დაპროექტება და მშენებლობა განხორციელდა მსოფლიო ბანკის დაფინანსებით.

## **2.2. მლეთის ხევის კალაპოტში მიმდინარე ეროზიულ-დვარცოფული პროცესების პროგნოზირება**

მდინარე თეთრი არაგვის წყალშემკრებ აუზში დვარცოფების წარმოშობის ალბათობა უკავშირდება არა მარტო ამ ტერიტორიაზე მიმდინარე ეროზიული პროცესების გაძლიერებას [7, 9, 18], არამედ აქ მოსული ნალექების

ზღვრული ნორმის გადაჭარბებას და, რა თქმა უნდა, წვიმის გაძლიერებულ ინტენსივობას. კვლევის ობიექტად შერჩეული იყო მდინარე მლეთის ხევი (მდ. თეთრი არაგვის მარჯვენა შენაკადი), რადგან, გარდა იმისა, რომ მდინარის კალაპოტში ბოლო წლებში დაფიქსირებულია დიდი სიმძლავრის დგარცოფების გავლა (1953, 1981, 1982, 1983, 1985, 1987, 1989, 2001, 2003, 2005 წწ.), ასევე 2003, 2005, 2007, 2009 და 2010 წლებში შეიმჩნევა დგარცოფების წარმოშობის სიხშირის ზრდაც (2–3 მძლავრი ნაკადის გავლა წელიწადში). ჩატარებულმა გამოკვლევამ ცხადყო, რომ გაიზარდა არა მარტო დგარცოფის წარმოშობის სიხშირე, არამედ დგარცოფის მიერ გამოტანილი მყარი მასის მოცულობაც.

2001 წლის 13 სექტემბერს, 2003 წლის 3 მაისს და 2005 წლის 26 აპრილს მლეთის ხევის კალაპოტში დაფიქსირდა მძლავრი დგარცოფების გავლა, რომლებმაც შესაბამისად გამოიტანა 65 780 მ<sup>3</sup>, 110 000 მ<sup>3</sup>, 95 700 მ<sup>3</sup> მოცულობის ინერტული მასა. 1897 წლიდან 2007 წლამდე, ე.ო. 110 წლის პერიოდში გავლილი კატასტროფული დგარცოფების რაოდენობამ 150-ს გადააჭარბა.

უნდა აღინიშნოს ისიც, რომ 2003 წელს მლეთის ხევის კალაპოტში წამოსულმა დგარცოფმა 20 წელის განმავლობაში გადაკეტა მდინარე თეთრი არაგვის კალაპოტი, ხოლო 2005 წელს სტიქია მდვინვარებდა 25 წელი.

2.4 სურათზე ნაჩვენებია 2003 წელს მდინარე მლეთის ხევის კალაპოტში წამოსული დგარცოფის კვალი, 2.5 სურათზე – მდინარის კალაპოტში გაჩერებული დგარცოფი, ხოლო 2.6 სურათზე კი - მლეთის ხევის წყალ-შემკრები აუზის გეგმა [16].



სურ. 2.4. მლეთის ხევის გამოტანის ქონუსის საერთო ხედი  
(2003 წ. 3 მაისი)



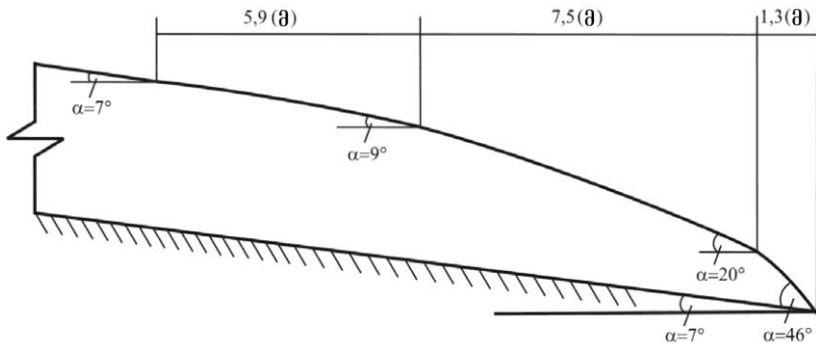
სურ. 2.5. მლეთის ხევის კალაპოტში გაჩერებული  
ღვარცოფი (2003 წ. 30 ოგლისი)



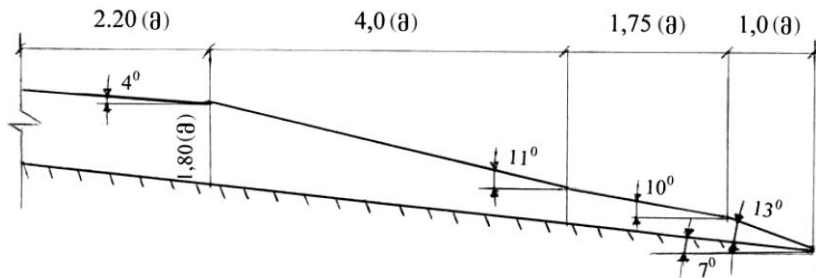
**სურ. 2.6. მდებოს ხევის წყალშემკრები აუზის გეგმა**

მდებოს ხევის კალაპოტში 2003 წელს გამოტანის კონუსზე გაჩერებული ღვარცოფის ფრონტის გრძივი პროფილის სქემა ნაჩვენებია 2.7 სურათზე, ხოლო 2005 წელს ღვარცოფის ფრონტის გრძივი პროფილის სქემა კი 2.8 სურათზე.

ღვარცოფის გავლამდე მდებოს ეკლესიის ეზოს საერთო ხედი ნაჩვენებია 2.9 სურათზე, ხოლო ღვარცოფის მოქმედებით მდებოს წმინდა გიორგის ეკლესიაზე მიყენებული ზარალი - 2.10 სურათზე. რაც შეეხება ეკლესიის ეზოში ღვარცოფული მასის სიმაღლეს, მისი მნიშვნელობა იცვლებოდა 2,5 – 5,5 მ-დე. ღვარცოფული მასით იყო შევსებული ეკლესიის შიგა სივრცეც, სადაც ინერტული მასის სიმაღლემ 2,2 მ-ს მიაღწია. სტიქიამ დააზიანა ეკლესიის კედლებზე მოხატული ფრესკები და ხატები.



სურ. 2.7. 2003 წელს გამოტანის კონუსზე გაჩერებული  
დგარცოფის ფრონტის გრძივი პროფილის სქემა



სურ. 2.8. 2005 წელს გამოტანის კონუსზე გაჩერებული  
დგარცოფის ფრონტის გრძივი პროფილის სქემა

მდევთის ხევში ფორმირებული დგარცოფების რეგულირების მიზნით, წყალთა მეურნეობის ონსტიტუტში არსებული სამეცნიერო ლიტერატურის [5, 7, 14, 16-21, 23, 28], აგრეთვე (2.1) და (2.2) დამოკიდებულებების გამოყენებით, მდინარე თეთრი არაგვის წყალშემკრებ აუზში არსებული აქტიური დგარცოფული ტიპის შენაკადებზე შეფასებულია ერთხიულ-დგარცოფული პროცესები, რომელთა რიცხობრივი მაჩვენებლებიც მოყვანილია 2.4 ცხრილში.



სურ. 2.9. ეპლესიის საერთო ხედი დგარცოფის გავლამდე  
(2003 წ. 26 მაისი)



სურ. 2.10. ეპლესიის ეზო დგარცოფის გავლის შემდეგ  
(2005 წ. 22 აპრილი)

## ცხრილი 2.4

**მდინარე ოეთრი არაგვის წყალშემკრებ აუზში  
ღვარცოფული ტიპის შენაკადების  
ძირითადი მონაცემები**

| Nº | მდინარის<br>დასახელება | წყლიშემკრები<br>აუზის ფართი<br>$F_0$ ( $\text{km}^2$ ) | მდინარის გალაპოგოს<br>ქანი, (i) | მთის ფერდობის<br>კომისიის გრაფიკი<br>(E) | ეროზის ქლეინი,<br>პროფ. რ. მორგანის<br>სკალის მიხედვით | დაზიანების ხარისხი<br>(ტერმინული დაზიანები)<br>(ტერმინული დაზიანები) | დაზიანების 1% მაქს.<br>(ტ/მ³) 0,05-0,1<br>(ტ/მ³) |
|----|------------------------|--|---------------------------------|--|--|--|--|
| 1  | მდებოს ხევი            | 1,28   | 0,260                           | 1,13                                     | მეოთხე   | 10-50  | 131,0  |
| 2  | წისქვილთ<br>ხევი       | 1,50   | 0,251                           | 0,89                                     | მესამე   | 5-10   | 87,0   |
| 3  | კოტორას<br>ხევი        | 0,62   | 0,290                           | 1,62                                     | მეხუთე   | 50-100   | 98,0   |
| 4  | არახვეთის<br>ხევი      | 1,45   | 0,216                           | 0,96                                     | მესამე   | 5-10   | 109,0  |
| 5  | ქიმბარიანის<br>ხევი    | 0,60   | 0,220                           | 0,95                                     | მესამე   | 5-10   | 70,0   |
| 6  | ნაღვარევის<br>ხევი     | 6,50   | 0,247                           | 1,00                                     | მეოთხე   | 10-50  | 387,0  |
| 7  | ჩოხელთ<br>ხევი         | 6,96   | 0,290                           | 0,95                                     | მესამე   | 5-10   | 550,0  |
| 8  | ზემო ამირთ<br>ხევი     | 1,87   | 0,264                           | 0,92                                     | მესამე   | 5-10   | 200,0  |
| 9  | ქვემო ამირთ<br>ხევი    | 0,96   | 0,310                           | 0,73                                     | მეორე  | 2-5  | 140,0  |
| 10 | ჩადისციხის<br>ხევი     | 1,30   | 0,360                           | 1,17                                     | მეოთხე   | 10-50  | 141,0  |

2010 წლის 24 აპრილს არაგვის ხეობაში, მლეთის ხევის კალაპოტში ინტენსიური წვიმების შედეგად ფორმირებულ იქნა ტურბულენტური დგარცოფი. ჩვენს მიერ დამუშავებული მეთოდოლოგიით დადგინდა, რომ დგარცოფის ხარჯმა შეადგინა  $37.5 \text{ } \text{მ}^3/\text{წმ}$ , ხოლო გამოტანილი ინერტული მასის მოცულობამ –  $45\,000 \text{ } \text{მ}^3$ . ზემოხსენებულმა მასამ გადაკეტა მდ. თეთრი არაგვის კალაპოტი და ბუნებრივი ზღუდარის მიერ შეგუბებულმა წყალმა დატბორა ზემო მლეთის 8 ოჯახი, რომლებიც ექვემდებარება გასახლებას (სურ. 2.11, 2.12).



სურ. 2.11. 2009 წ. მლეთის ხევის დგარცოფით გადაკეტილი  
არაგვის კალაპოტი

პრობლემა, რომელიც მლეთის ხევს შეეხება, კომპლექსურია: 1. საშიშროებას უქმნის ზემო და ქვემო მლეთის მოსახლეობას; 2. ნგრევის საშიშროების წინაშეა 1876 წელს აშენებული მლეთის წმინდა გიორგის ეკლესია;

3. გაზრდილია საქართველოს სამხედრო გზის მიწის ვაკისის მარცხენა ფერდის ჩამონგრევა-ჩამოშვავების საშიშროება; 4. ასევე დიდია მდ. თეთრ არაგვზე გადებული რკინა-ბეტონის კაპიტალური ხიდის მწყობრიდან გამოსვლის რისკი, რასაც ადასტურებს ინსტიტუტის მიერ მღეთის ხევზე ჩატარებული საველე-სარეკოგნოსცირებო სამუშაოები; 5. ღვარცოფული გამონატანით ინტენსიურად იზრდება ჟინვალის წყალსაცავის მკვდარი მოცულობა, რომელიც შესაბამისად ამცირებს მის სასარგებლო მოცულობას.



**სურ. 2.12. 24.04.2010 წ. წყლით დატბორილი  
სოფელ ზემო მლეთის 8 ოჯახი**

წყალთა მეურნეობის ინსტიტუტში უკვე დამუშავებულია პრობლემის კომპლექსური გადაწყვეტის სქემა შესაბამისი თანამედროვე საინჟინრო-ეკოლოგიური მეთოდოლოგიის გამოყენებით. სამშენებლო მასალად გამოყენებულ

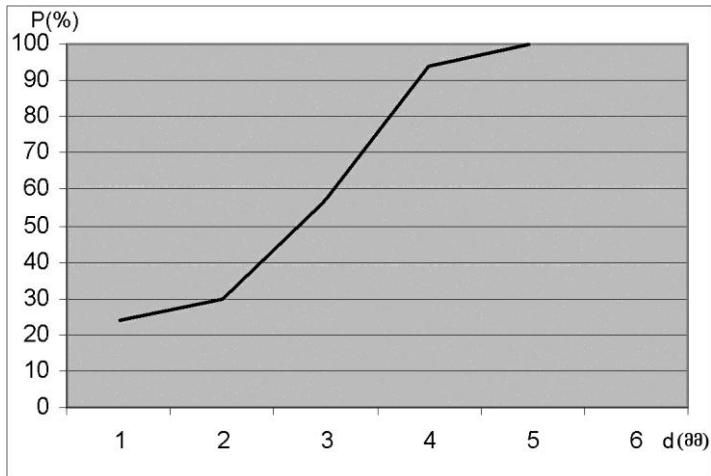


სურ. 2.13. 2010 წლის 24  
აპრილს სტიქიის დორს  
მლეთის ხევის წყალშემგრები  
აუზი

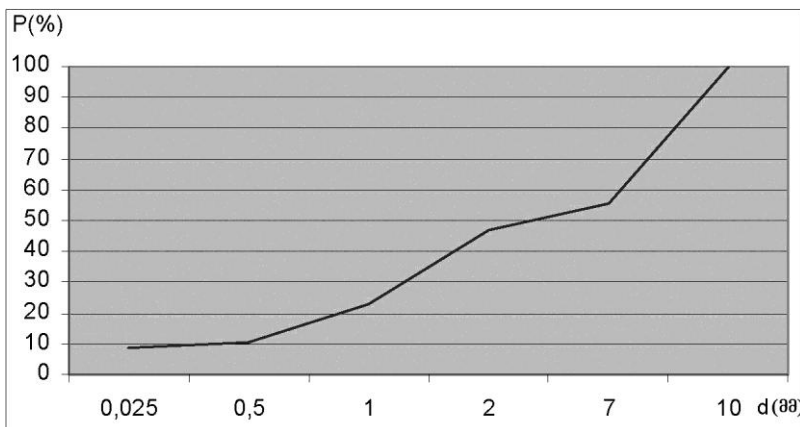
აღნიშნული პრობლემის გადაწყვეტის შესახებ ცნობა საქართველოს რეგიონალური და ინფრასტრუქტურის განვითარების სამინისტროს (წყალთა მეურნეობის ინსტიტუტის წერილი 2010 წლის 13 მაისი №01-15/146). ღვარცოფის მიერ ტრანსპორტირებული მყარი ნატანის ოდენობის დადგენის მიზნით, ჩატარდა საველე-ექსპედიციური გამოკვლევა და დადგინდა, რომ ნაკადის მიერ ტრანსპორტირებული მყარი ფრაქციების საშუალო დიამეტრი იცვლებოდა 15-45 სმ-ის ფარგლებში, რაც შეეხება ღვარცოფულ მასასა და მდინარის კალაპოტში დაფიქსირებულ კონგლომერატებში წვრილმარცვლოვანი ფრაქციების შემცველობას, მათი გრანულომეტრიული მრუდები მოცემულია 2.14 სურათზე.

იქნება მლეთის ხევის წყალშემგრები აუზიდან გამოტანილი ინერტული მასალა, დარეგულირდება მდ. მლეთის გამოტანის კონუსი კაპიტალური ნაგებობებით, ხოლო ტრანზიტულ მცირე სიგრძის უბანზე განსაზღვრულია ბარაჟების მოწყობა, რომელიც საშუალებას მოგვცემს ინერტული მასალის დაახლოებით 70% გაჩერდეს ადგილზე ეროზიულ ღრანტევებში. პროექტში განსაზღვრულია ასევე ადგილობრივი მოსახლეობის დასაქმება 100 კაცამდე.

ა)



ბ)



სურ. 2.14. ეპლენის ეზოში დაფიქსირებული ღვარცოფული  
მასის გრანულომეტრიული მრუდები

ა) წგრილმარცვლოვანი ფრაქცია, ბ) კონგლომერატი

მდეთის ხევის გამოტანის კონუსზე ღვარცოფულ  
მასაში დაფიქსირებული იყო სხვადასხვა ფერის მყარი  
მასა, რომლის შემადგენლობის დადგენის მიზნით

წყალთა მეურნეობის ინსტიტუტის ქიმიურ ლაბორატორიაში ჩატარდა ღვარცოფული მასის ქიმიური ანალიზი სამი ტიპის ნიმუშზე: კონგლომერატი, სილა და ნატანებიანი ფრაქცია, რომელთა რიცხვითი მაჩვენებლები მოცემულია 2.5 ცხრილში.

### ცხრილი 2.5

#### ღვარცოფული გამონატანის ქიმიური ანალიზი

| ნიმუშის<br>ნომერი | ნიმუშის ტიპი | ქიმიური ნაერთების<br>შემცველობა მილიგრამებში,<br>100 გრამიანი წონის ნიმუშებში |                  |                 |       |       |
|-------------------|--------------|---|------------------|-----------------|-------|-------|
|                   |              | P <sub>H</sub>  | HCO <sub>3</sub> | SO <sub>4</sub> | Na+K  | Ca    |
| 1                 | კონგლომერატი | 7,4   | 0,426            | 0,374           | 0,052 | 0,748 |
| 2                 | ქვიშა        | 7,4   | 0,377            | 0,416           | 0,294 | 0,499 |
| 3                 | ფრაქციები    | 7,4   | 0,377            | 0,436           | 0,499 | 0,499 |

პროგნოზი, რომელიც ზემოთ ჩატარებული მეცნიერული კვლევების შედეგებს ეფუძნება, საგანგაშოა, რადგან მდინარე მლეთის ხევის კალაპოტში მიმდინარე ეროზიულ-ღვარცოფული პროცესების გააქტიურება სულ უფრო ნათელი ხდება; ამიტომ, თუ დროზე არ ჩატარდა შესაბამისი ეროზიული და ღვარცოფსაწინააღმდეგო საინჟინრო-ეკოლოგიური დონისმიერები, შემდეგი სტიქია, ღვარცოფის ან წყალდიდობის სახით, მთლიანად დაანგრევს მდებარეობის 1876 წ. აშენებულ წმინდა გიორგის ეკლესიას.

წყალთა მეურნეობის ინსტიტუტის ხელმძღვანელობაში სრულიად საქართველოს კათოლიკოს-პატრიარქს, მცხეთა-თბილისის მთავარეპისკოპოსს, ბიჭვინთისა და ცხუმ-აფხაზეთის მიტროპოლიტს, უწმინდესსა და

უნეტარეს ილია II –ს წარუდგინა ეკლესიის გადარჩენის საპროექტო წინადადება.

ინსტიტუტის სამეცნიერო პერსონალი ვალდებულებას იღებს მადალ დონეზე განახორციელოს პროექტი, ხოლო მშენებლობის პროცესში ექსპერტისა ჩაატაროს ყოველ-გვარი დაფინანსების გარეშე.

## **23. ლვარცოფების რეგულირების თანამედროვე ლონისძიებები**

ბოლო წლებში მსოფლიოში, და მათ შორის საქართველოშიც, განსაკუთრებით გააქტიურდა ბუნებრივი კატასტროფები, რომელთაგან წყალდიდობებთან ერთად ყურადსალებია ლვარცოფები, რადგან საქართველოს მთლიანი ტერიტორიის 45%-ზე მეტი უკვე ლვარცოფების ზემოქმედების ზონაში იმყოფება [10, 38, 56, 57, 58].

XXI საუკუნის დასაწყისში, საქართველოში ფორმირებულმა ბუნების სტიქიურმა მოვლენებმა, მიერნებული ზარალის მიხედვით, კულმინაციას 2005 წელს მიაღწია. აქედან წყალმოვარდნებზე, წყალდიდობებსა და ლვარცოფებზე მოდის მთლიანი ზარალის 70%-ზე მეტი.

ქვემის მასშტაბით საშიშროების რისკის ზონაში მოქმედი 190-მდე დასახლებული პუნქტი: დაზარალებული მოსახლეობის რაოდენობა – 880 ოჯახი, დაღუპულ ადამიანთა რაოდენობა – 35, დაშავებულ ადამიანთა რაოდენობა – 213, დანგრეული და დაზიანებული გზებისა და ხიდების რაოდენობა – 111 კმ გზა და 69 ხიდი, ექსპლუატაციიდან ამოვარდნილია სასოფლო-სამეურნეო სავარგულები 9610 ჰა. სტიქიური მოვლენების გამო, 2005 წელს საქართველოში 86-ჯერ გამოცხადდა საგანგებო მდგომარეობა.

ანალოგიური სიხშირის ხედიქიური მოვლენები საქართველოში დაფიქსირდა 2006-2010 წლებშიც.

საქართველოში ბოლო წლებში ჩატარებულმა მეცნიერულმა დაკვირვებებმა ცხადყო, რომ სულ უფრო იზრდება დვარცოფების ზემოქმედებით გამოწვეული ზარალი, ამიტომ მეცნიერების წინაშე დგება პრობლემა, რომელიც ითვალისწინებს როგორც დვარცოფების დაზუსტებული პროგნოზირებისათვის მეთოდოლოგიის სრულყოფას, ასევე მათ წინააღმდეგ ბრძოლის უფრო ეფექტური და საიმედო კონსტრუქციების დამუშავებას [3, 32, 38, 58, 63].

ზემოაღნიშნულის გათვალისწინებით, საქართველოს წყალთა მეურნეობის ინსტიტუტში ავტორის მიერ დამუშავებულია რიგი დვარცოფსაწინააღმდეგო ტრამპლინის ტიპის ნაგებობებისა, რომელთა მეცნიერული სიახლის პრიორიტეტებიც დამოწმებულია როგორც საქართველოს, ასევე საზღვარგარეთის პატენტის მოწმობებით [4].

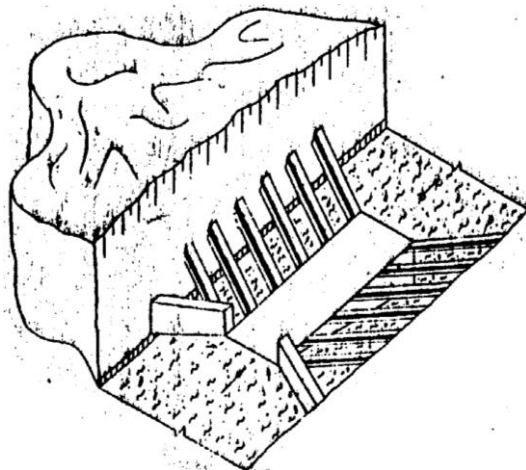
### **2.3.1. ტრამპლინის ტიპის დვარცოფსაწინააღმდეგო ნაგებობა**

დვარცოფსაწინააღმდეგო გამჭოლი ტრამპლინის ტიპის კაშხლების დანიშნულებას წარმოადგენს კონსტრუქციაზე ნაკადის დარტყმის ძალის შემცირება, განსაკუთრებით დვარცოფის პარამეტრების კატასტროფული მნიშვნელობებისას, აგრეთვე კონსტრუქციის გამარტივება-გაიაფება [3-7].

განხილული ტრამპლინის ტიპის ტრაპეციული ფორმის დვარცოფსაწინააღმდეგო კაშხლის (სურ. 2.15) უპირატესობა არსებულთან შედარებით შემდეგშია:

- ნაგებობის საიმედო და ხანგრძლივი მუშაობა;
- მთის

მდინარეების კალაპოტის ეფექტური სტაბილიზაცია, მდინარის კალაპოტში კონსტრუქციების კასკადურად განლაგების შემთხვევაში და გ) დიდი ეკონომიკური ეფექტი – წარმოდგენილი ნაგებობები შენდება რკინა-ბეტონისა და მეორადი მასალისაგან (ჩამოწერილი რკინის რელსები, და ა.შ.), რომელთა რაოდენობა მოლიანი სამშენებლო მასალის 50-80%-ს შეადგენს [2, 3].



სურ. 2.15. ტრაპეციული ფორმის ნაგებობა

კონსტრუქცია [2], რომელიც ნაჩვენებია 2.15 სურათზე, წარმოადგენს ტრაპეციული ფორმის დარს ნაკადმიმართ-ველი რკინა-ბეტონის კედლებით; ნაგებობის ფერდები დაკავშირებულია მდინარის კალაპოტის (ხეობის) გვერ-დებთან რომელთა კუთხის მნიშვნელობაც იცვლება 110- 160°-ის ფარგლებში.

ნაგებობის ფერდები წარმოადგენს რკინის კოჭებს, რომლებიც ერთმანეთთან ქმნიან მართკუთხა ფორმის დრეჩოებს. ნაგებობის ცენტრში მოთავსებულია რკინა-

ბეტონის საძირკველი, რომელსაც აქვს ტრამპლინის ფორმა და რომელზეც მოძრაობს ღვარცოფი.

ნაგებობის ტრაპეციული ფორმა, ნაკადმიმმართველი კედლებით, საშუალებას გვაძლევს შევამციროთ, როგორც ნაკადის დარტყმის ძალის მნიშვნელობა, ასევე ნაგებობაზე მოქმედი ნატანების ანუ ღვარცოფული მასის გრავიტაციული (წონითი) დაწოლა, რომელიც ნაგებობის საიმედო მუშაობის გარანტიას იძლევა [6].

### 2.3.2. ტრამპლინის ტიპის ღვარცოფსაწინააღმდეგო

#### ნაგებობის ჰიდრავლიკური გაანგარიშება

ტრამპლინის ტიპის ღვარცოფსაწინააღმდეგო ნაგებობის ჰიდრავლიკური გაანგარიშებისათვის ინსტიტუტის ჰიდროტექნიკურ ლაბორატორიაში ჩატარდა ლაბორატორიული კვლევები, სადაც მოდელზე დაცული იყო მოდელირების შემდეგი პარამეტრები: დინამიკური მსგავსება (ფრუდის რიცხვი)  $Fr = idem$ ; გეომეტრიული მსგავსება (ქანობი) –  $i = idem$ ; ნატანების მოძრაობა (წყლისა და ნატანების სიჩქარეთა ფარდობა):  $V / V_s = idem$ ; კალაპოტის ფსკერის წინააღმდეგობის მსგავსება (შეზის კოეფიციენტი) –  $C = idem$ ; ცდების დროს ლაბორატორიაში ნატანების საშუალო დიამეტრის ზომა იცლებოდა შემდეგ საზღვრებში:  $d = 0,75; 2,25; 3,75; 5,25; 6,25$  მმ [30, 32].

ცდებით მიღებული სტატისტიკური რიგის დამუშავების შემდეგ ნაგებობის ზედა ბიეფში დაგროვილი მყარი ფრაქციების გამაწონასწორებელი ქანობის მნიშვნელობა ( $i_0$ ) პირველი მიახლოებით იანგარიშება შემდეგი დამოკიდებულებით [32]:

$$i_0 = 9,29 \left( q_s / q_w \right)^{1,53}, \quad (2.3)$$

სადაც  $q_s$  და  $q_w$  – შესაბამისად, მყარი ფრაქციებისა და წყლის ნაკადის ხვედრითი ხარჯია.

იგივე მნიშვნელობა ( $i_0$ ) დროის ფაქტორის, ნაგებობის გამჭვილიანობისა და მდინარის კალაპოტის ქანობის ( $i$ ) მხედველობაში მიღებით ტოლია [34]:

$$i_0 = \frac{0,29i}{(d / \Delta^{0,27}) \cdot (t / T)^{0,25}}, \quad (2.4)$$

სადაც  $\Delta$  – ნაგებობის ფერდებზე კოჭებს შორის ღრეულს სიგანეა (მმ).

ტრამპლინის ტიპის ტრაპეციული ფორმის დგარცოფ-საწინააღმდეგო ნაგებობის ზედა ბიეფში დაგროვილი მყარი ნატანის გამაწონასწორებელი ქანობის მნიშვნელობა, მდინარის კალაპოტის ქანობის ( $i$ ) გათვალისწინებით, იანგარიშება დამოკიდებულებით [3]:

$$i_0 = 0,76 \cdot i. \quad (2.5)$$

მდინარის კალაპოტში ტურბულენტური დგარცოფის ფორმირების შემთხვევაში ნაკადის მიერ ტრანსპორტირებული მყარი ფრაქციების ხვედრითი ხარჯი ( $q_s$ ) იანგარიშება შემდეგი ფორმულით [34]:

$$q_s = 0,20 \cdot C \cdot i^{1,13} h^{1,15} \left( k_t / d \right), \quad (2.6)$$

სადაც  $k_t$  – მდინარის კალაპოტის სიმქისის შვერილების სიმაღლეა (მმ).

მიღებული დამოკიდებულების მუშაობის საიმედოობის დასადგენად შედარებულ იქნა ცნობილი მეცნიერების რ. ასატრიანის, ვ. კნოროზის, ა. კუპრინის, შვეიცარიელი

მკვლევარის რ. პერდოლის, ასევე ნ. რუხაძის მიერ დამუშავებულ ბუნებრივ მონაცემებთან, თანხვედრა მათ შორის, 0,95%-იანი უზრუნველყოფის ალბათობით 90%-ია რაც ჰიდრავლიკური გაანგარიშებისათვის მაღალი შედეგია.

ბუნებრივ მონაცემებზე დაყრდნობით დვარცოფის მიერ ტრანსპორტირებული მყარი ფრაქციების საშუალო დიამეტრი ტოლია [32]:

$$d = (0,02 + 6,55i^{2,73}) \cdot Q_{\max}^{0,64}, \quad (2.7)$$

სადაც  $Q_{\max}$  – დვარცოფის მაქსიმალური ხარჯია ( $\text{მ}^3/\text{წ}\text{წ}$ )

ლაბორატორიაში ჩატარებული კვლევების, საქართველოში დვარცოფული ტიპის მდინარეებზე გაზომილი მაქსიმალური ხარჯებისა ( $Q_{\max}$ ) და იაპონიაში დაფიქსირებულ ბუნებრივ მონაცემებზე დაყრდნობით, დვარცოფის 0,1%-იანი უზრუნველყოფის მაქსიმალური ხარჯი იანგარიშება დამოკიდებულებით [10]:

$$Q_{0,1\%} = 2,4(34 + 400i)F^{0,61}, \quad (\text{მ}^3/\text{წ}\text{წ}) \quad (2.8)$$

სადაც  $F$  – მდინარის წყალშემპრები აუზის ფართობია ( $\text{კმ}^2$ ).

ტრამპლინის ტიპის დვარცოფსაწინააღმდეგო ნაგებობაზე დინამიკური დარტყმის ძალის გასანგარიშებლად აუცილებელია გიცოდეთ ტურბულენტური დვარცოფის მაქსიმალური სიჩქარე ( $V$ ), რომლის მნიშვნელობაც, ლაბორატორიული ცდების მიხედვით, ტოლია [32]:

$$V = V_w (0,60 + 7,60i - 1,2d/h), \quad (\text{მ}/\text{წ}\text{წ}) \quad (2.9)$$

სადაც  $V_w$  – წყლის ნაკადის მაქსიმალური სიჩქარეა ( $\text{მ}/\text{წ}\text{წ}$ );

$h$  – ტურბულენტური დვარცოფის სიღრმე ( $\text{მ}$ ).

ტრამპლინის ტიპის დვარცოფსაწინააღმდეგო ნაგებობის

სიმაღლე  $(H)$  ტოლია [3]:

$$H = h[1,80 + 52 \cdot i - 50(q_s / q_w)], \quad (2.10)$$

ნაგებობის მიერ ნატანდაჭერის ეფექტი, დროის ფაქტორის მხედველობაში მიღებით, ტოლია [32]:

$$W_t / W_T = [0,90 + 0,1(d/\Delta)^{1,51}] \cdot (t/T)^{2,34}, \quad (2.11)$$

სადაც  $W_t$  და  $W_T$  არის შესაბამისად ნაგებობის მიერ  $t$  დროში შეკავებული ნატანებისა და კონსტრუქციის მიერ  $T$  დროში შეჩერებული ნატანის მოლიანი მოცულობა ( $\text{მ}^3$ ).

ამრიგად, წარმოდგენილი მეთოდოლოგიით, პირველი მიახლოებით შესაძლებელია ტრამპლინის ტიპის ღვარცოფსაწინააღმდეგო ნაგებობის ჰიდრავლიკური გაანგარიშება, რომლის გამოყენებითაც შემდეგ ეტაპზე აუცილებელია ჩატარდეს ნაგებობის გაანგარიშება მდგრადობაზე, ღვარცოფის სტატიკური და დინამიკური ძალების ცალკედონობა და ხდომილებების ერთდროულად მოქმედების შემთხვევაში [10].

### 2.3.3. ღვარცოფსაწინააღმდეგო კაშხლის ზედა ბიეფის ფორმირების ზოგადი საკითხი

ტრაპეციული ფორმის ნაგებობის ზედა ბიეფში დაგროვილი ღვარცოფული მასის გამაწონასწორებელი ქანობის ( $i_0$ ) მნიშვნელობა იანგარიშება შემდეგი ემპირიული დამოკიდებულებით [19, 32]:

$$i_0 = \frac{0,29 i}{(d/\Delta)^{0,27} \cdot (t/T)^{0,25}}, \quad (2.12)$$

სადაც  $i$  – არის მდინარის კალაპოტის ქანობი,  $d$  – მყარი ნატანის საშუალო დიამეტრი (სმ),  $\Delta$  – ნაგებობის კოჭებს შორის ღრებოს სიგანე (სმ)  $t$  – ნაგებობის მუშაობის საკვლევი დროის მონაკვეთი (წმ),  $T$  – ნაგებობის ზედა ბიეფის შეგსების მთლიანი დროის პერიოდი (წმ); პირველი დამოკიდებულების მუშაობის ზღვრებია:  $(d/\Delta) = 0,125 - 1,125$  და  $(t/T) = 0,1 - 0,9$ ; კაშხლის მიერ 90%-იანი ქვების ჩანართების დაჭერის შემთხვევაში ლგარცოფის კონცენტრაცია  $(S')$  იანგარიშება შემდეგი დამოკიდებულებით [30]:

$$S' = S - \frac{90 \cdot S}{100}; \quad (2.13)$$

სადაც  $S$  არის ლგარცოფის საწყისი კონცენტრაცია (%). ლგარცოფის ნაგებობაში გავლის შემდეგ ნაგადის მოცულობითი წონა ( $\gamma'$ ) იქნება [30]:

$$\gamma' = \gamma_1 + S(\gamma_2 - 1) \cdot 6/3^3; \quad (2.14)$$

სადაც  $\gamma_1$  – წყლის მოცულობითი წონა ( $\gamma_1 = 1,0 \cdot 6/3^3$ );  $\gamma_2$  – ქვის მოცულობითი წონა ( $\gamma_2 = 2,65 \cdot 6/3^3$ ); კაშხლის მიერ შეკავებული ლგარცოფული მასის მოცულობა იანგარიშება შემდეგი დამოკიდებულებით [32]:

$$W_T = \frac{S \cdot Q_{\max}}{[0.95 + 0.05(d/\Delta)] \cdot (t/T)^{0.58}} \quad (\text{მ}^3), \quad (2.15)$$

სადაც  $Q_{\max}$  არის ლგარცოფის მაქსიმალური ხარჯის მნიშვნელობა ( $\text{მ}^3/\text{წმ}$ ).

### **2.3.4. დვარცოფსაწინააღმდეგო ტრამპლინის ტიპის კაშხლის საიმედოობის შეფასება**

ტრამპლინის ტიპის ტრაპეციული ფორმის დვარცოფსაწინააღმდეგო კაშხლის საიმედოობის დადგენის მიზნით წყალთა მეურნეობის ინსტიტუტის ჰიდროტექნიკურ ლაბორატორიაში ჩატარდა ლაბორატორიული ცდები.

ექსპერიმენტის ჩატარების პროცესში განხილული იყო დვარცოფსაწინააღმდეგო ნაგებობის, როგორც ზედა ბიეფის ფორმირების პროცესი, ასევე ნაგებობის ზედა ბიეფში დვარცოფული მასის წონითი დატვირთვისა და დვარცოფის დინამიკური დარტყმის ძალის ცვლილების ხასიათი.

ლაბორატორიული ცდების ჩატარების პროცესში ყურადღება აგრეთვე გამახვილებული იყო ნაკადში მყარი ფრაქციების კონცენტრაციაზე, ნატანის საშუალო დიამეტრის ზომაზე, ჰიდრავლიკური დარის ქანობზე, ტურბულენტური დვარცოფის სიჩქარისა და მყარი ფრაქციების ხარჯის ცვლილებაზე.

ტრამპლინის ტიპის, დვარცოფსაწინააღმდეგო ნაგებობაზე მყარი ფრაქციების წონითი დატვირთვის  $W_p$  სტატისტიკური მაჩვენებლები ინტერვალებში და შესაბამისი სიხშირის მაჩვენებლები მოცემულია ცხრილში (ცხრ. 2.6), სადაც  $(m_i)$  არის ინტერვალებში განმეორებადობის რაოდენობა,  $P_i$  – განმეორებადობის სიხშირე ( $P_i = m_i/n$ ), სადაც  $n$  – სტატისტიკური რიგის რაოდენობა ( $n = 41$ );  $A_i = (p_i/j)$ , სადაც  $j$  ინტერვალების მნიშვნელობებია.

## ცხრილი 2.6

მყარი ფრაქციების წონითი დატვირთვის მნიშვნელობები

| $j \cdot 10^{-2}$ | 0-15  | 15-30 | 30-45 | 45-60 | 60-75 | 75-90 | 90-105 | 105-120 |
|-------------------|-------|-------|-------|-------|-------|-------|--------|---------|
| $m_i$             | 21    | 5     | 4     | 3     | 2     | 3     | 1      | 1       |
| $P_i$             | 0.51  | 0.12  | 0.09  | 0.07  | 0.05  | 0.07  | 0.02   | 0.02    |
| $A_i$             | 3.40  | 0.80  | 0.60  | 0.46  | 0.33  | 0.46  | 0.13   | 0.13    |
| $W_i$             | 0.428 | 0.279 | 0.182 | 0.118 | 0.078 | 0.051 | 0.033  | 0.014   |
| $n \cdot W_i$     | 17.55 | 11.44 | 7.46  | 4.84  | 3.19  | 2.09  | 1.35   | 0.57    |

2.6 ცხრილის მონაცემების გამოყენებით აგებულ იქნა წონითი დატვირთვის ფუნქციის განაწილების მრავდი, რომელსაც შეესაბამება ექსპონენციალური განაწილება და იგი მათემატიკურად ასე გამოისახება [32]:

$$f(W_p) = 2.857 \exp(-2.857W_p); \quad (2.16)$$

ამ შემთხვევაში პირსონის კრიტერიუმი ტოლია  $\chi^2 = 8.71$ , თავისუფლების ხარისხი კი -  $N=6$ ; გაანგარიშებული იყო თეორიულ განაწილებასა და პისტოგრამის მონაცემებს შორის თანხვედრის მაჩვენებელი, რომელმაც 95%-იანი ალბათობით 80% შეადგინა.

დგარცოფსაწინააღმდეგო ტრამპლინის ტიპის საიმპ-დოობა ნაგებობის ზედა ბიეფის დგარცოფული მასის შევსებამდე შეადგინა:

$$P_1(W_p) = \int_0^l f(W_p) dW_p = \int_0^{0.61} 2.857 e^{-2.857W_p} dW_p = 0.825; \quad (2.17)$$

ნაგებობის მწყობრიდან გამოსვლის რისკი ( $R_1$ ) კონსტ-რუქციის ზედა ბიეფის დგარცოფული მასის წონითი

დატვირთვის შემთხვევაში ტოლია:

$$R_1 = 1 - P_1(W_p) = 1 - 0.825 = 0.175. \quad (2.18)$$

დგარცოფსაწინააღმდეგო ტრამპლინის ტიპის ნაგებობაზე დგარცოფის დინამიკური დარტყმის ძალის მნიშვნელობა  $F$ - გაანგარიშებულ იქნა პროფესორ მ. გაგოშიძის [30] მიერ მიღებული დამოკიდებულებით, რომელსაც აქვს შემდეგი სახე:

$$F = K\rho\omega V^2 \sin \alpha, (\text{ნ}/\text{მ}^2) \quad (2.19)$$

სადაც  $K$  არის კოეფიციენტი, რომელიც ტოლია  $K = 4,5$

(წყლის ნაკადისათვის ეს მაჩვენებელი ტოლია  $K = 1,0$ , ხოლო თოვლის ზვავისათვის კი  $K = 1,5$ ),  $\rho$  – დგარცოფის სიმკვრივეა ( $\text{კგ}/\text{მ}^3$ ),  $\omega$  – ნაგებობის ის ფართობი, რომელზეც მოქმედებს დგარცოფი ( $\text{მ}^2$ ),  $V$  – დგარცოფის საშუალო სიჩქარე ( $\text{მ}/\text{წ}$ ),  $\alpha$  – ტრამპლინის ტიპის ნაგებობის მდინარის კალაპოტში დახრის გუთხე (გრადუსი).

ტრამპლინის ტიპის დგარცოფსაწინააღმდეგო ნაგებობაზე დგარცოფის დინამიკური დარტყმის ძალის განაწილების ფუნქციის დადგენის მიზნით გამოყენებულ იქნა როგორც ლაბორატორიული მონაცემები, ასევე ბუნებაში დგარცოფის გავლის სტატისტიკური რიგი, რომლის რაოდენობამაც შეადგინა 55 წერტილი. დგარცოფის ნაგებობაზე დინამიკური დარტყმის ძალის მნიშვნელობები იცვლებოდა 3.88-3024.8 ( $\text{ნ}/\text{მ}^2$ ) საზღვრებში [56-58].

ბუნებრივი მონაცემების გამოყენებით, რომელთა მნიშვნელობებიც მოცემულია 2.7 ცხრილში, აგებულ იქნა პისტოგრამა; მათემატიკური დოდინი ტოლია  $m_* = 437,45$ ,

ხოლო ექსპონენციალური განაწილების ხარისხის მაჩვენებელი ტოლია:  $\lambda = -1/m_* = -0,0023$  [32].

### ცხრილი 2.7

#### დვარცოფის დინამიკური დარტყმის ძალის მნიშვნელობები

| <b>FFi·102<br/>(N/m<sup>2</sup>)</b> | 0-3   | 3-6   | 6-9   | 9-12  | 12-15 | 15-18 | 18-21 |
|--------------------------------------|-------|-------|-------|-------|-------|-------|-------|
| <b>m<sub>i</sub></b>                 | 31    | 12    | 3     | 5     | 1     | 1     | 1     |
| <b>f(F<sub>i</sub>)</b>              | 0.564 | 0.218 | 0.055 | 0.091 | 0.018 | 0.018 | 0.018 |

ტრამპლინის ტიპის დვარცოფსაწინააღმდეგო ნაგებობაზე დვარცოფის დინამიკური დარტყმის ძალის განაწილებას აქვთ შემდეგი სახე [32]:

$$f(F_i) = 0.0023 \exp(-0.0023 F_i); \quad (2.20)$$

მიღებული (2.20) გამოსახულება შეესაბამება ექსპონენციალურ განაწილებას, ხოლო თანხვედრამ თეორიულ განაწილებასა და ჰისტოგრამის მონაცემებს შორის პირსონის კრიტერიუმის  $\chi^2$ -ის მიხედვით [1, 60] 70% შეადგინა.

დვარცოფსაწინააღმდეგო ნაგებობის საიმედოობა დვარცოფის დინამიკური ძალის მხედველობაში მიღებით ტოლია [32]:

$$P_2(F_i) = \int_0^l f(F_i) dF_i = \int_0^{0.61} 0.0023 e^{-0.0023} dF_i = 0.928; \quad (2.21)$$

ტრამპლინის ტიპის თაღოვანი და საფეხურებიანი ფორმის დვარცოფსაწინააღმდეგო ნაგებობის მწყობრიდან

გამოსვლის რისკი, კონსტრუქციაზე ღვარცოფის დინამიკური დარტყმის ძალის მხედველობაში მიღებით, ტოლია:

$$R_2 = 1 - P_2(F_i) = 1 - 0.928 = 0.072 \quad (2.22)$$

ბუნებაში ღვარცოფის ნაგებობაზე ზემოქმედების შემთხვევაში, პარალელურად მიმდინარეობს როგორც დინამიკური, ასევე სტატიკური ძალების მოქმედება, ამიტომ ხდომილებების ზედდების შემთხვევაში ნაგებობის სრული საიმედოობა ( $P_0$ ) ტოლია:

$$P_0 = P_1(W_P) \cdot P_2(F_i) = 0.825 \cdot 0.928 = 0.766, \quad (2.24)$$

ხოლო ნაგებობის მწყობრიდან გამოსვლის რისკი ( $R_0$ ) ხდომილებების ზედდების შემთხვევაში ტოლია:

$$R_0 = 1 - P_o = 1 - 0.766 = 0.234 \quad (2.25)$$

თუ განვიხილავთ მიღებული შედეგების ანალიზს დავრწმუნდებით, რომ წარმოდგენილი ტრამპლინის ტიპის ახალი ნაგებობები, არსებულთან შედარებით, ხასიათდება მაღალი საიმედოობით, რაც ძირითადად განპირობებულია კონსტრუქციული გადაწყვეტით.

**თავი 3. ლენტებისა და ცაბმრის რაიონებში  
ეროზიულ-ღვარცოფული პროცესებისა და  
ყელლების საჭირალოებო ზოტო-  
მელიორაციული და საინიციალო ღონისძიებები**

**3.1. ლენტებში, მდინარე ტუმბრას მარცხენა  
ეროზირებულ-დამეწყრილ ფერდობზე  
ბუშლაგების მოწყობა**

ლენტებისა და ცაგერის რაიონებში ეროზიულ-ღვარ-  
ცოფული პროცესებისა და წყალდიდობების საწინააღმ-  
დებო ფიტომელიორაციული და საინჟინრო ღონისძიებები  
განხორციელდა 2008 წლის ზაფხულის პერიოდში ინსტი-  
ტუტის მიერ შვეიცარიის განვითარებისა და თანამშრომ-  
ლობის სააგენტოსთან (SDC) ერთად, თუმცა აღნიშნულ  
რეგიონში ინსტიტუტის მიერ განხორციელებული სამეც-  
ნიერო-კვლევითი სამუშაოების ისტორია ითვლის მრავალ  
ათეულ წელს (1970-2010 წწ.).

კვლევის ობიექტს წარმოადგენდა ლენტებში მდინარე  
ტუმბრას მარცხენა ეროზირებულ-დამეწყრილი ფერდობი,  
რომლის გეომეტრიული ზომებია: სიგრძე - 78 მ, სიგანე -  
15 მ, ხოლო ქანობი, გამომდინარე ფერდობის ტოპოგრა-  
ფიიდან, იცვლებოდა  $24\text{--}65^{\circ}$ -ის ფარგლებში (სურ.3.1).

დაზიანებული, გაშიშვლებული ფერდობის გამაგრების  
მიზნით პრაქტიკაში ერთ-ერთ ეფექტურ მეთოდს ტირიფის  
ტოტების (კალმების) გამოყენებით მცირე ტერასების ე.წ.  
ბუშლაგების (Buschlage – გერმანული სიტყვაა და  
ბუჩქების განლაგებას, წყობას ან ჩალაგებას ნიშნავს)  
შექმნა წარმოადგენს.



**სურ. 3.1. მდ. ტუშებრას მარცხენა ეროზირებულ-დამეწყრილი ფერდობის საერთო ხედი**

ამ ღონისძიების მთავარი მიზანია ეროზიის განვითარების შეჩერება და ამით სამყოფელის შესაბამისი მცენარეული ოანასაზოგადოების თვითადდგენის პროცესის სტიმულირება. ღონისძიების ჩასატარებლად მცენარის მოსვენების პერიოდში (გაზაფხულზე ფოთლების გამოტანამდე, ან შემოდგომით ფოთოლცვენის შემდეგ) იჭრება 60-70 სმ სიგრძის ლეროს კალმები (ტოტები). მცენარის წყლის ხარჯის შესამცირებლად უმჯობესია ახალგაზრდა ტოტების გამოყენება (გვალვისას პირველ წელს საჭიროა „ბუშლაგების“ პერიოდული რწყვა). შემდგომ ეროზიულ ფერდობზე იქმნება 40-50 სმ სიღრძის ტერასისმაგვარი ჭრილი, სადაც ლაგდება კალმები (1 მ ჭრილი – 20 ტოტი: 10 – დიაგონალურად მარჯვნივ, 10 – მარცხნივ, რაც ჯვარედინ-ბადისებრ ფორმას ქმნის) (სურ. 3.2).



გალმების (ტოტების) განლაგების სქემა



გალმების მოწყობისას  
სურ. 3.2

„ბუშლაგების“ ტერასები ფერდობის ქვედა მხრიდან თანმიმდევრობით (ზევით) ეწყობა, რაც ციცაბო ფერდობზე აადვილებს სამუშაოებს: ბუშლაგების ჩამწყობი დგება ქვედა ტერასაზე და ასე თხრის შემდგომ ტერასას, ამოთხრილ მიწას კი ქვედა „ბუშლაგს“ (ტირიფის კალმებს) აყრის. ნაყარი მიწა კარგად უნდა დაიტკეპნოს. ამ დროს შეიძლება გამოვიყენოთ „კარნიზების“ ჩამოჭრისას ადრე დაცურებული კორდები, რომლებიც „ბუშლაგების“ ტერასაზე ლაგდება, რაც ერთი მხრივ, მეტ სიმყარეს სძენს მათ, ხოლო მეორე მხრივ, ბალახნარის აღდგენას უწყობს ხელს. ჭრილში ჩაწყობისას კალმები მიწის გარეთ 20 სმ-ზე მეტად არ უნდა იყოს ამოშვერილი, ზედმეტი ნაწილი უნდა წაიჭრას. ამასთან, მნიშვნელოვანია, რომ კალმების მიწის გარეთ დარჩენილი ნაწილი ზევით იყოს მიმართული (კალმები ძალზე დიდი არ უნდა იყოს). ვიწრო ერთზიულ ფერდობზე „ბუშლაგებს“ შორის ინტერვალი დაახლოებით 2 მ-ია, ფართო ფერდობზე – 3-4 მ. ამასთან, არ არის აუცილებელი „ბუშლაგების“ უწყვეტი რიგის შექმნა. იქ, სადაც შერჩენილია კორდი, ან ადგილი ბუნებრივად ძლიერ ქვიანია და მისი ქვებისაგან გაწმენდა მნელია, „ბუშლაგები“ შეიძლება წყვეტილად განლაგდეს.

სამუშაო განხორციელდა 2008 წლის ოქტომბრის მეორე ნახევარი–ნოემბრის დასაწყისში ზემოაღნიშნული მეთოდოლოგიის გამოყენებით. კალმების (ტოტების) მასალად გამოყენებული იყო ადგილობრივი სახეობის ტირიფისა და თხმელის კალმები, შემდეგი საპოვექტო მონაცემებით:

- კალმების (უმჯობესია ახალგაზრდა ტოტების გამოყენება) სიგრძე – 60-70 სმ;

- „ბუშლაგების” საფეხურების სიგანე – 40-50 სმ;
- კალმები გარეთ არ უნდა იყოს გამოსული 20 სმ-ზე მეტ სიგრძეზე;
- 1 მ სიგრძეზე ჭრილში ეწყობა 20 ტოტი: 10 – დიაგონალურად მარჯვნივ, 10 – მარცხნივ, რაც ჯვარედინ – ბადისებრ ფორმას ქმნის;
- „ბუშლაგების” ტერასები ფერდობის ქვედა მხრიდან თანმიმდევრობით (ზევით) ეწყობა, რაც ციცაბო ფერდობზე ააღვილებს სამუშაოებს;
- მომწყობი ქვედა ტერასაზე დგება და ასე თხრის შემდგომ ტერასას, ამოთხრილ მიწას კი ქვედა „ბუშლაგებს“ (ტირიფის კალმებს) აყრის;
- ნაყარი მიწა კარგად უნდა დაიტკეპნოს;
- „ბუშლაგებს“ შორის ინტერვალი დაახლოებით 2 მ-ია, ფართო ფერდობებზე კი – 3-4 მ;
- მთის ფერდობზე ბუშლაგების ტერასებზე რეკომენდულია ორგანული სასუქის შეტანა;
- ტერასების სრული მომზადების შემდეგ რეკომენდულია კალმების პერიოდული მორწყვა.

სამუშაოს ჯამური შედეგები მოცემულია 3.1 ცხრილში.

პირველ და მეორე ტერასებს შორის განხორციელდა ბუჩქოვანი მცენარეების დარგვა, მათ შორის ვეტივერი – 30 ნერგი და პამპასების ბალახი – 20 ნერგი.

3.3 სურათზე ნაჩვენებია მდ. ტუმბრას მარცხენა ერთზირებულ-დამეწყრილი ფერდობის საერთო ხედი ბუშლაგებით გამაგრების შემდეგ.

ცხრილი 3.1

**ჯამური საპროექტო მონაცემები**

| Nº   | იარუსის<br>ნომერი | იარუსის<br>სიგრძე<br>(θ) | ტერასის<br>დახრის<br>გუთხე<br>(α°) | ხის<br>გალმების<br>დასახელება | გალმების<br>რაოდენობა<br>(ცალი) |
|--|-------------------|--------------------------|------------------------------------|-------------------------------|---------------------------------|
| 1  | 2                 | 3                        | 4                                  | 5                             | 6                               |
| 1  | პირველი           | 45.0                     | 35°                                | თხმელა                        | 900                             |
| 2  | მეორე             | 40.0                     | 51°                                | ტირიფი                        | 800                             |
| 3  | მესამე            | 33.0                     | 36°                                | თხმელა                        | 660                             |
| 4  | მეოთხე            | 27.0                     | 21°                                | თხმელა                        | 540                             |
| 5  | მეხუთე            | 7.70                     | 10°                                | ტირიფი                        | 154                             |
|  |                   | 15.30                    | 10°                                | თხმელა                        | 306                             |
| <b>სულ დაირგო 3206 თხმელა და 954 ტირიფი.</b> |                   |                          |                                    |                               |                                 |



სურ. 3.3. ბუშლაგებით გამაგრებული მთის ფერდობი  
2008 წლის 30 ივნისი

### **3.2. მდინარე ტუმბრას მარჯვენა შენაკადზე ხევის კალაპოტის სტაბილიზაცია ხის ბარაჟების მოწყობით**

მდ. ტუმბრას მარჯვენა შენაკადზე ეროზიულ-დევარცო-ფული პროცესების რეგულირებისა და გრძივი პროცესის ქანობის სტაბილიზაციის მიზნით წყალთა მეურნეობის ინსტიტუტი დამუშავებული მეთოდოლოგიის გათვალისწინებით [6] წყალსაღინარში მოწყო თხმელის ხის ტოტების წნულებისაგან დამზადებული 0.90 მ სიმაღლის ექვსი ბარაჟი (სურ. 3.4), ხოლო სურ. 3.5-ზე მოცემულია ბარაჟების მუშაობის ამსახველი ფოტო-მასალა 2 წლის შემდეგ (2010 წლის ივლისი).

სურათზე კი ნაჩვენებია ხევის კალაპოტი ერთი ბარაჟის მიერ შეკავებული ეროზირებული ნაწილაკებით შევსებული ნაგებობის ზედა ბიეფი.



a)



ბ)

სურ. 3.4. დარეგულირებული ხევის კალაპოტის საერთო ხედი  
ა) 2008 წლის 30 ივნისი; ბ) 2010 წლის 30 ივნისი



სურ. 3.5. ეროდირებული ნაწილაკებით შევსებული ბარაჟის  
საერთო ხედი (2010 წლის 30 ივლისი)

ამრიგად წარმოდგენილი მეთოდოლოგიითა და საინ-ჟინრო დონისძიებებით განხორციელებული ეროზიულ-დგარცოფული პროცესების საწინააღმდეგო ფიტომელიორაციული და საინჟინრო დონისძიებების ეფექტურობა სახეზეა და მათ შესაძლებელია გავუწიოთ რეკომენდაცია საქართველოს სხვადასხვა მთიან რეგიონებში ბუნების სტიქიური მოვლენების – ეროზიულ-დგარცოფული პროცესების სტაბილიზაციისათვის.

### 3.3. ლენტეხისა და ცაგერის რაიონებში წყალდიდობის საწინააღმდეგო საინჟინრო ლონისძიებები

ცაგერის რაიონის სოფელ ჭალისთავში, მდინარე ცხენისწყალზე, წყალდიდობის საწინააღმდეგო ღონისძიებები განხორციელდა წყალთა მეურნეობის ინსტიტუტისა და გარემოს დაცვის ეკოცენტრის მიერ შვეიცარიის განვითარებისა და დახმარების სააგენტოს დაკვეთით (SDC).

სამუშაოს მიზანი იყო ცაგერის რაიონის სოფელ ჭალისთავში, მდინარე ცხენისწყლის მარჯვენა ნაპირზე, მოსახლეობისა და სასოფლო-სამეურნეო სავარგულების დაცვა მდინარის კალაპოტში ფორმირებული წყალმოვარდნებისა და წყალდიდობებისაგან.

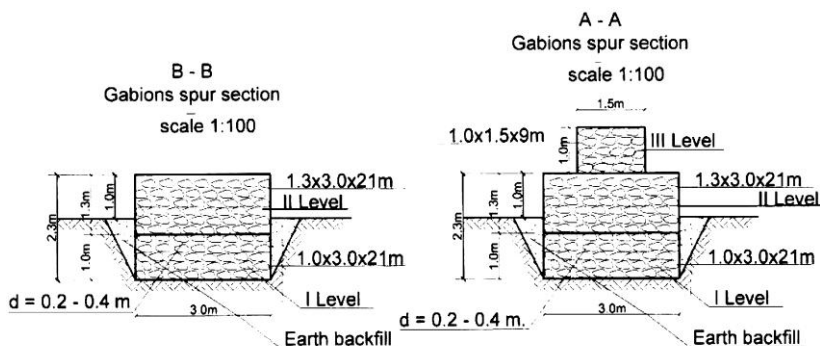
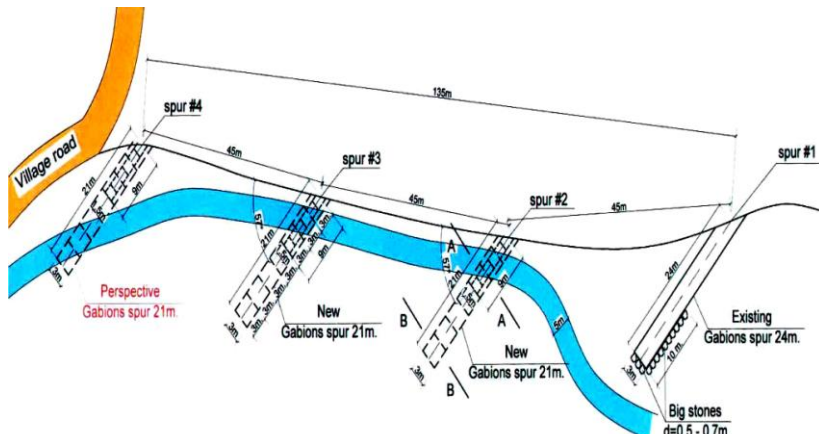
არსებული სამეცნიერო და ტექნიკური [36] ლიტერატურის გამოყენებით დადგინდა, რომ მდინარე ცხენისწყლის პიდროლოგიური მაჩვენებლები ცაგერის პიდრომეტეოროლოგიურ საგუშავოსთან შემდეგია: მდინარის წყალშემკრები აუზის ფართობია  $F = 14703 \text{ გ}^2$ ; კალაპოტის საშუალო ქანობი –  $i = 0,0075$ .

მდინარე ცხენისწყლის აუზში სხვადასხვა უზრუნველყოფის წყალდიდობის ხარჯი დადგინდა (2.1) დამოკიდებულებით [34], რომლის გამოყენებით საპროექტო უბანზე წყალდიდობის საანგარიშო ხარჯი ( $(P\%) = 0,1$ ) იქნება:

$$Q_{\max} = A \cdot (34 + 400 \cdot i) \cdot F^{0,61} = \\ = 2,4(34 + 400 \cdot 0,0075) \cdot 1430,3^{0,61} = 3111,80 \text{ გ}^3/\text{წ} \quad (3.2)$$

წყალდიდობის საანგარიშო ხარჯისა და არსებული

მეთოდოლოგიის გამოყენებით დაპროექტებულია მდინარის ნაპირდამცავი გაბიონები და დეზები, რომლის საანგარიშო სქემა ნაჩვენებია 3.6 სურათზე, ხოლო დეზების საერთო ხედი კი 3.7 სურათზე.



სურ. 3.6. წყალდიღობის საწინააღმდეგო დეზების  
საანგარიშო სქემა



### სურ. 3.7. წყალდიდობის საწინააღმდეგო

#### ქვის დეზების საერთო ხედი

ამრიგად, ცაგერის რაიონის სოფელ ჭალისთავში მდინარე ცხენისწყლის მარჯვენა ნაპირზე მოსახლეობისა და სასოფლო სამეურნეო საგარეულების წყალმოვარდნებისა და წყალდიდობებისაგან დაცვის მიზნით დაპროექტებული და აშენებულია ქვის გაბიონები და დეზები, რაც ადგილობრივი ტერიტორიის ეკოლოგიური უსაფრთხოების გარანტიას იძლევა.

**თავი 4. სოფელ ჯვარბოსჭის (მთათუშეთი)  
მიმდებარე ეროზირებული მთის ფერდობის  
სარჩაბილითაციო პომპლექსური ღონისძიებები**

**4.1. საკვლევი ტერიტორიის კომპლექსური შეფასება**

სამუშაო შესრულებულია გარემოს დაცვისა და ბუნებრივი რესურსების სამინისტროს მდგრადი განვითარების პროექტების განმახორციელებული სააგენტოს დაკვეთით (დამფინანსებელი მსოფლიო ბანკი, კონტრაქტი №SDPIA/PADC/CQ-07) და იგი ითვალისწინებს მთათუშეთის სოფ. ჯვარბოსლის მიმდებარე ტერიტორიაზე წარმოშობილი ხევისა და ფერდობის გამაგრებას საინჟინრო და ფიტომელიორაციული მეთოდებით. ამ მიზნით განხორციელდა ტერიტორიის საინჟინრო-გეოლოგიური, ჰიდროლოგიური და სატყეო-მელიორაციული შეფასება. ხევის სტაბილიზაციის მიზნით გათვალისწინებულია ბეტონის მცირე სიმაღლის კაშხლების (ბარაჟები) დაპროექტების მეთოდოლოგიის დამუშავება.

სოფელი ჯვარბოსელი მდებარეობს ზღვის დონიდან 1904 მ-ზე. საკვლევი ტერიტორიის წყალშემკრები აუზის ფართობი შეადგენს  $0,0325 \text{ კმ}^2$ -ს, ხოლო სიგრძე –  $0,4 \text{ კმ}$ -ს. საკვლევი ხრამის სათვალე მდებარეობს ზღვის დონიდან 2012 მ-ზე, ხოლო მდინარე თუშეთის შესართავი ალაზანთან –  $1835 \text{ მ-ზე}$ .

სოფელ ჯვარბოსლის რელიეფი და მისი ძირითადი ტიპები ჩამოყალიბებულია მეოთხეული პერიოდის გერტიკალური მოძრაობებით, გამყინვარებით, მდინარეული ეროზითა და მექანიკური გამოფიტვით. ფერდობის

სამხრეთი ექსპოზიცია დღე-დამური და სეზონური ტემპერატურების ცვლილებით მნიშვნელოვნად უწყობს ხელს ეროზიული პროცესების განვითარებას.

სოფელ ჯვარბოსელში პავა ციკია და განეკუთვნება ალპური პავის ზოლს. მთელი წლის განმავლობაში ამინდები გრილია (წლის საშუალო ტემპერატურა  $5^{\circ}\text{C}$ -ია). ზამთარში სუსტიანი და თოვლიან-ყინვიანი. იანვრის ტემპერატურა მინუს  $12^{\circ}\text{C}$ -დან  $18^{\circ}\text{C}$ -მდე აღწევს და მთის მდინარე ალაზანიც კი იყინება. გაზაფხული გვიან დგება, შემოდგომა ადრე. ხშირად სექტემბერში თოვლი მოდის. ზაფხული გრილია (ივლისის ტემპერატურა  $10^{\circ}\text{C}$ -დან  $14^{\circ}\text{C}$ -მდე), მოკლე და ნესტიანი.

იანვარ-თებერვალში პაერის საშუალო ტემპერატურა მინუს  $13-15^{\circ}$ -ზე დაბლა არ ჩამოდის, თოვლის საფარის სანგრძლივობა 5-6 თვეა, ხოლო ივლის-აგვისტოში პაერის საშუალო ტემპერატურა პლუს  $14-15$  გრადუსია.

სოფელ ჯვარბოსელში ნალექების რაოდენობა წელიწადში მერყეობს 450-900 მმ-ს შორის, საშუალო მრავალწლიური კი 770 მმ-ია. აქედან ნალექების 69% მოდის თბილ პერიოდში – აპრილიდან სექტემბრის ჩათვლით, 31% კი დანარჩენ 6 თვეში - მყარი სახით. თოვლის საფარის მაქსიმალური სისქე 2 მ-ს აღწევს, მინიმალური - 0,3 მ-ს.

პავა კონტინენტურია. დრუბლიან დდეთა რაოდენობა, საშუალოდ, თვეში  $5.5$ -ია. სოფელ ჯვარბოსელში სეტყვა იშვიათი მოვლენაა. აქ საშუალო სიჩქარის ქარები ( $7-14$  მ/წმ) წელიწადში დროის  $10\%-ს$  აღწევს; ძირითადად, სუსტი ქარი და წყნარი დღეები იცის. სოფელ ჯვარბოსელთან

უახლოესი მეტეოროდგურის მიხედვით კლიმატური მაჩვენებლები მოცემულია ცხრილში 4.1.

#### ცხრილი 4.1

სოფ. ომალოს კლიმატური ელემენტების დახასიათება

| საჯგურის დასახელება | სიმაღლე მ-ში სადგური | პაერის<br>ტემპერატურა<br>გრადუსებში | ფარდო-<br>ბითი<br>ტენია-<br>ნობა % | აუსტრიული ჟურნალის მიხედვით % |              |              |              | ნალექი<br>(მმ) | ნალექის ათვერდობა მიზნების შავიანი<br>წლიური ჯამში | ნალექის ათვერდობა მიზნების შავიანი<br>წლიური ჯამში |     |     |
|---------------------|----------------------|-------------------------------------|------------------------------------|-------------------------------|--------------|--------------|--------------|----------------|--|--|-----|-----|
|                     |                      |                                     |                                    | აუსტრიული ჟურნალის მიხედვით % | წლიური ჯამში | წლიური ჯამში | წლიური ჯამში |                |  |  |     |     |
| ომალო               | 1880                 | -9.1                                | 14.2                               | 3.5                           | 66           | 69           | 55           | 748            | 234  | 121  | 124 | 1.5 |

სოფ. ომალოში დანესტიანების ბალანსი, წლიური მაჩვენებლების მიხედვით დადებითია (ცხრ. 4.2).

#### ცხრილი 4.2

დანესტიანების ბალანსი (მმ)

| სადგურები | თვეები |    |     |    |    |    |     |      |    |   |    |     |        |
|-----------|--------|----|-----|----|----|----|-----|------|----|---|----|-----|--------|
|           | I      | II | III | IV | V  | VI | VII | VIII | IX | X | XI | XII | წლიური |
| ომალო     | 20     | 27 | 30  | 48 | 55 | 44 | 10  | -17  | 4  | 6 | 19 | 21  | 267    |

სოფელი ჯვარბოსელი მდებარეობს კავკასიონის ქედის სამხრეთ ფერდობზე განვითარებული კონუსისმაგვარი ფორმის დელუვიური ნალექებით აგებულ ტერიტორიაზე.

ასეთი დელუგიური კონუსის წარმოშობა დაკავშირებულია აქ არსებული, თითქმის ვერტიკალურ მდგომარეობაში მყოფი დია მთის ფერდობების ტიპთან. მათი ზედაპირი, მიუხედავად დიდი ქანობებისა ( $35^{\circ}$ - $40^{\circ}$ ), ძირითადად სტაბილიზებულია, რელიეფის ფორმები – რბილი, მიწის ზედაპირი დაფარულია ბალახით, რომელსაც ადგილობრივი მოსახლეობა საძოვრებად იყენებს.

ასეთი დელუგიური გენეზისის კონუსები მრავლადაა განვითარებული კავკასიონის მთავარი გულისა და მისი მომიჯნავე მთის ფერდობების გასწვრივ. სოფელი ჯვარბოსელი, ისევე როგორც ეროზიული ხევი, ერთ-ერთი ასეთი ნაშალი მასალის აპულაციის შედეგად შექმნილ კონუსზეა განლაგებული.

ხევი განვითარებულია სწორედ ასეთი გენეზისის მქონე დელუგიურ ნალექებში, ჰიცსომეტრულად სოფ. ჯვარბოსლის განლაგების აბსოლუტურ ნიშნულზე (1880 მ) მაღლა, ჩრდილოეთიდან სამხრეთის მიმართულებით, ფერდობის დაქანების გასწვრივ.

ერთი შეხედვით წონასწორობის პირობებში მყოფ, ბალახით დაფარულ ფერდობზე, ნეგატიური ეროზიული პროცესების ჩასახვისა და სწრაფი განვითარების მაინიცირებლად, ეროზიული ხევის დასაწყისში, 2003-2012 გ აბსოლუტურ ნიშნულებს შორის გამომავალი წყაროები უნდა ჩაითვალოს. მათი მეშვეობით განხორციელდა დელუგიური გრუნტების გაწყლოვანება. უნდა აღინიშნოს, რომ დელუგიონი სწრაფად ლბობადი გრუნტებითაა წარმოდგენილი. ასეთ შემთხვევაში თოვლის დნობის პროცესში ფორმირებული ნებისმიერი ნაკადული, ეროზიული ხევის

ჩასახვისა და განვითარების ფაქტორი ხდება.

ეროზიული ხევის უდიდესი სიდრმე 9-11 მ-ს აღწევს, ხოლო სიგანე – 20-25 მ-ს. ხევის ფსკერის სიგანე 0,7-1,2 მ-ს არ აღემატება. აქ დაგროვილია მსხვილნატებოვანი ნამსხვრევი მასალა, ღორლი და ხვინჭა. ქვიშის, თიხისა და მტვრის ფრაქცია მთლიანად გამორეცხილია. ხევის საერთო სიგრძე 200 მ-ზე ნაკლებია. „V“-სებრი ხევის ფერდობების დახრილობა  $60^{\circ}$ - $75^{\circ}$  აღწევს. უდიდეს სიდრმეს ხევი მის შუა წელში აღწევს, ხოლო ქვედა ნაწილში, სოფ. ჯვარბოსლის განაპირას, იქ, სადაც გარეცხვას აკუმულაცია ჭარბობს, ეროზიული ჩაღრმავება შედარებით უმნიშვნელოა. ხევის განვითარება იმდენად ინტენსიურად მიმდინარეობს (ჩამოყალიბდა და განვითარდა უკანასკნელი 15 წლის განმავლობაში), რომ იქმნება საშიშროება არამარტო საძოვრების ჩამორეცხვისა და განადგურების, არამედ თვით სოფ. ჯვარბოსლის არსებობისაც. აღნიშნულის გათვალისწინებით, წყალთა მეურნეობის ინსტიტუტის მიერ აქ განხორციელდა ტოპოგრაფიული და დეტალური საინჟინრო გეოლოგიური და გეოტექნიკური გამოთვლები. სახელდობრ, დადგენილ იქნა თვით დელუვიურის, აგრეთვე ხევის ფსკერზე არსებული ნატანი გრუნტის ფიზიკური თვისებების მახასიათებლების (ტენიანობა, მინერალური ნაწილაკების სიმკვრივე, ბუნებრივი სიმკვრივე, შემადგენლობა, შემცვების პლასტიკურობა, საერთო ლბობადობა), სიმტკიცის მახასიათებლების (შინაგანი ხახუნის კუთხე, შეჭიდულობა) ნორმატიული და საანგარიშო პარამეტრები.

## 4.2. ხევის პიდროლოგიური გაანგარიშება

საკვლევი ტერიტორიის (დასაპროექტებელი ობიექტი) ზედაპირული ჩამონადენის სიღიდის დასადგენად გამოყენებულ იქნა პროფესორ გ. როსტომოვის ემპირიული დამოკიდებულებები, რომელიც რეკომენდებულია პაგასის რეგიონისათვის.

მაქსიმალური წყლის ხარჯი გაანგარიშებული იყო შემდეგი დამოკიდებულებით:

$$Q = R \left[ \frac{\Omega^{2/3} \cdot K^{1,35} \cdot \tau^{0,38} \cdot \bar{I}^{0,125}}{(L+10)^{0,44}} \right] \Pi \cdot \sigma \cdot \lambda, \quad (4.1)$$

სადაც  $Q$  წყლის ჩამონადენის მაქსიმალური ხარჯია,  $\text{მ}^3/\text{წ}$ ;  $R$  – საკვლევი (დასაპროექტებელი) ტერიტორიის კოეფიციენტი;  $\Omega$  – წყალშემკრები აუზის ფართობი ( $\text{კმ}^2$ ), გამოითვლება მსხვილმასშტაბიანი ტოპოგრაფიული რუკიდან;  $K$  – კლიმატური კოეფიციენტი, იანგარიშება ნორმატივლი რუკიდან;  $\tau$  – განმეორების პერიოდი (უზრუნველყოფა  $\%$ -ში);  $\bar{I}$  – აუზის საშუალო ქანობი, გამოთვლილია მსხვილმასშტაბიანი ტოპოგრაფიული რუკიდან;  $L$  – წყალშემკრები აუზის სიგრძე, კმ-ში, გამოითვლილია მსხვილმასშტაბიანი ტოპოგრაფიული რუკიდან;  $\sigma$  – წყალშემკრები აუზის ფორმის კოეფიციენტი, იანგარიშება დამოკიდებულებით

$$\sigma = 0,25 \frac{B_{\text{მაქ}}}{B_{\text{საშ}}} + 0,75, \quad (4.2)$$

სადაც  $B_{\text{მაქ}}$  წყალშემკრები აუზის მაქსიმალური სიგანეა, კმ-ში;  $B_{\text{საშ}}$  – წყალშემკრები აუზის საშუალო სიგანე, კმ-ში, გამოითვლება მსხვილმასშტაბიანი ტოპოგრა-

ფიული რუკიდან;  $B_{\text{საჟ}}\text{-ს}$  გამოსათვლელად გამოყენებულია დამოკიდებულება:

$$B = \frac{F}{L}, \quad (4.3)$$

სადაც  $F$  წყალშემკრები აუზის ფართობია,  $\text{კმ}^2$ -ში;  $\lambda$  – ტყიანობის მახასიათებელი უგანზომილებო სიდიდე, გამოითვლება დამოკიდებულებით:

$$\lambda = \frac{1}{1 + 0.2 \frac{\Omega_{\text{ტ}}}{\Omega}}, \quad (4.4)$$

სადაც  $\Omega_{\text{ტ}}$  – წყალშემკრები აუზის ფართობია, რომელიც ტყითაა დაფარული,  $\text{კმ}^2$ ;  $\Pi$  – ნიადაგური პარამეტრი, რომელიც გამოითვლება რუკიდან და ცხრილებიდან.

ზემოხსენებული მახასიათებლების გამოსათვლელად გამოყენებულია მსხვილმასშტაბიანი ტოპოგრაფიული რუკები და პროფესორ გ. როსტომოვის ავტორობით გამოცემული ტექნიკური მითითებები – „მდინარეთა მაქსიმალური ჩამონადენის ანგარიში კავკასიის პირობებში“, თბილისი, 1980 წ. (რუსულ ენაზე).

საბოლოოდ, საკვლევ ტერიტორიაზე წყლის 1%-იანი უზრუნველყოფის ხარჯის დასადგენად, გაანგარიშებულ იქნა (4.1) ფორმულაში შემავალი ყველა სიდიდე:  $R$ -ის მნიშვნელობა მოცემულია ტექნიკურ მითითებაში და უდრის 1,15-ს;  $\Omega = 0,0325 \text{ კმ}^2$ ;  $K = 7$ ;  $\tau = 100 \text{წ}$  (1% უზრუნველყოფა);  $\bar{I} = 0,44$ ;  $L = 0,4 \text{ კმ}$ ;  $\Pi = 0,7$ ;  $\sigma = 1,06$ ;  $\lambda = 1$ ;  $B_{\text{მაქ}} = 0,1 \text{ კმ}$ ;  $\Omega_{\text{ტ}} = 0 \text{ კმ}^2$ ;  $B_{\text{საჟ}} = 0,08 \text{ კმ}$ .

შესაბამისი გამოთვლების შედეგად (4.1) დამოკიდებულების საშუალებით დადგინდა წყლის მაქსიმალური

ჩამონადენის 1%-იანი უზრუნველყოფის ხარჯი, რომელმაც საკვლევ ტერიტორიაზე ( $\vec{F}$  ალტერნატიული ძალა)  $Q = 2,23 \text{ N}/\text{m}^2$  შეადგინა. ჩამონადენის მოდულში ეს მაჩვენებელი უდრის  $M = 68615 \text{ N}/\text{m}^2$  კმ<sup>2</sup>-დან, ხოლო დასაპროექტებული კვეთისთვის, იმ ფართობის გათვალისწინებით ( $\approx 0.0325 \text{ km}^2$ ), სადაც  $\vec{F}$  უდის ზედაპირული ჩამონადენი ფორმირდება, ეს მაჩვენებელი –  $M = 2230 \text{ N}/\text{m}^2$ .

აღნიშნული პიდროლოგიური ანგარიში ადასტურებს სოფელ ჯვარბოსელში არსებული ხრამის განვითარების ძალზე სწრაფ დინამიკას და უშუალოდ ხრამში საინჟინრო და სატყეო-მელიორაციული ღონისძიებების კომპლექსური განხორციელების აუცილებლობას.

ჯვარბოსლის ხევში მიმდინარე ეროზიულ-დგარცოფული პროცესების სტაბილიზაციის მიზნით მიზანშეწონილია კალაპოტური პროცესების მარეგულირებელი ბეტონის წყალსაშვიანი ბარაჟების მოწყობა, ზედა და ქვედა ბიეფში განთავსებულ მთის ფერდობებზე ფიტომელიორაციული ღონისძიებებისა და სატყეო მელიორაციული (ადგილობრივი ბალახოვანი მცენარეების დათესვა) ღონისძიებების განხორციელება.

### 4.3. ხევის პიდრავლიკური გაანგარიშება

სოფ. ჯვარბოსლის მიმდებარე ტერიტორიაზე წარმოშობილი ხევის პიდრავლიკური ანგარიშით 1%-იანი უზრუნველყოფის ხარჯისათვის მიღებულია, რომ  $Q_{1\%} = 2,23 \text{ N}/\text{m}^2$ ; ხევის პარამეტრები: სიგანე ფსკერზე  $b_0 = 1,20 \text{ m}$ ; ფერდობის დახრის კოეფიციენტი: –  $m = ctg 40^\circ = 1,192$ ;

ხევის ფსკერის ქანობი –  $i = 0,515$ ; კალაპოტის ხორცლი-ანობის კოეფიციენტი –  $n = 0,040$ ; ტრაპეციული გვეთის მქონე ხევის ცოცხალი გვეთის ფართობი ( $\omega$ ) იანგარიშება შემდეგი დამოკიდებულებით [65]:

$$\omega = b_0 h + mh^2 \quad (\text{გ}^2), \quad (4.5)$$

სადაც  $b_0$  არის ხევის ფსკერის ძირის სიგანე ( $\text{გ}$ );  $h$  – წყლის ნაკადის სიღრმე ( $\text{გ}$ );  $m$  – ხევის ფერდობის დახრის კოეფიციენტი.

ზემოთ მოყვანილ საანგარიშო დამოკიდებულებების გამოყენებით მე-4 ბარაჟის ზედა ბიეფის კალაპოტის მაჩვენებლები ასეთია:  $b_0 = 1,20 \text{ გ}$ ;  $m = \operatorname{ctg} 40^\circ = 1,192$ ; ხევის სველი პერიმეტრი იანგარიშება შემდეგი ფორმულით [65];

$$\chi = b_0 + 2h\sqrt{1+m^2} \quad (\text{გ}); \quad (4.6)$$

პიდრავლიკური რადიუსი ტოლია:

$$R = \frac{\omega}{\chi} \quad (\text{გ}) \quad (4.7)$$

არხში ფორმირებული წყლის ნაკადის საშუალო სიჩქარე იანგარიშება შეზის ფორმულით:

$$V = C\sqrt{R \cdot i} \quad (\text{გ}/\text{წ}^3), \quad (4.8)$$

სადაც  $C$  არის შეზის კოეფიციენტი, რომელიც იანგარიშება ფორმულით [65]:

$$C = \frac{1}{n} R^y \quad (\text{გ}^{0,5} \cdot \text{წ}^{-1}), \quad (4.9)$$

ჩვენს შემთხვევაში ხარისხის მაჩვენებლის სიდიდეს ვიდებთ  $y=0,17$ ;  $i$  – არის ხევის კალაპოტის გრძივი პროფილის ქანობი. ამ უბანში იგი ტოლია:  $i = 0,515$ .

ხევში ფორმირებული წყლის ხარჯი იანგარიშება ფორმულით [65]:

$$Q = \omega V \quad (\text{მ}^3/\text{წ}) \quad (4.10)$$

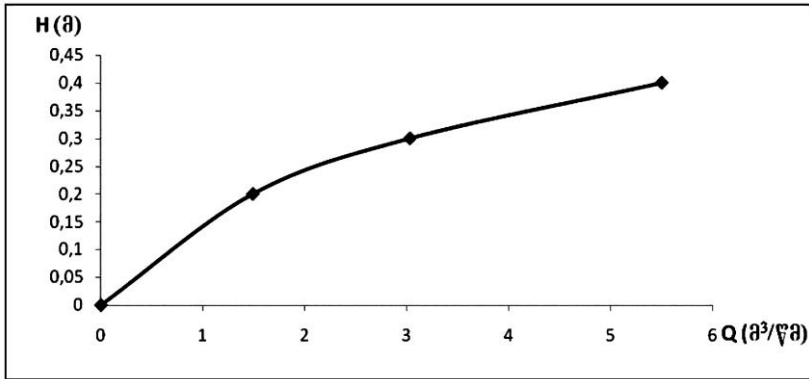
მოყვანილი ფორმულების გამოყენებით ვანგარიშობთ ხევის პიდრავლიკურ მახასიათებლებს მე-4 ბარაჟისათვის. მათი მნიშვნელობებიც მოყვანილია ცხრილში 4.3. ანგარიშს ვაწარმოებთ მანამ, სანამ  $Q$  არ გაუტოლდება 1%-იანი უზრუნველყოფის ხარჯის სიდიდეს –  $Q_{1\%} = 2,23 \text{ მ}^3/\text{წ}$ .

### ცხრილი 4.3

ხევის პიდრავლიკური პარამეტრების გაანგარიშება

| N <sup>o</sup> | წყლის სიღრღვე<br>$h$ (მ) | ხევის ფუძის<br>სიგანე, $b_0$ (მ) | ცოცხალი<br>კვეთის ფართობი,<br>$\varpi$ ( $\text{მ}^2$ ) | სველი პერიოდური,<br>$\chi$ (მ) | პიდრავლიკური<br>რადიუსი, $R$ (მ,,) | შეზის კოეფიცი-<br>ენტი, $C$ ( $\text{მ}^3/\text{წ}$ ) | შეზის საშუალო<br>სიჩქარე, $V$ ( $\text{მ}^3/\text{წ}$ ) | წყლის ხარჯი,<br>$Q$ ( $\text{მ}^3/\text{წ}$ ) |
|----------------|--------------------------|----------------------------------|---|--------------------------------|------------------------------------|---|---|---|
| 1              | 2                        | 3                                | 4   | 5                              | 6                                  | 7   | 8   | 9   |
| 1              | 0,2                      | 1,2                              | 0,287   | 1,822                          | 0,157                              | 18,23   | 5,18  | 1,49  |
| 2              | 0,3                      | 1,2                              | 0,467   | 2,134                          | 0,219                              | 19,30   | 6,48  | 3,03  |
| 3              | 0,4                      | 1,2                              | 0,671   | 2,444                          | 0,274                              | 20,05   | 7,53  | 5,05  |

რადგან ბოლო მესამე მონაცემმა გადააჭარბა  $Q_{1\%} = 2,23 \text{ მ}^3/\text{წ}$ -ს, ამიტომ ანგარიში წყდება და 1%-იანი ხარჯის დასადგენად ვაგებთ  $H = f(Q)$  დამოკიდებულების გრაფიკს (ნახ. 4.1):



ნახ. 4.1.  $H = f(Q)$  დამოკიდებულების გრაფიკი

ნახაზზე დავიტანთ ხევში ფორმირებულ მაქსიმალურ წყლის ხარჯს  $Q_{1\%} = 2,23 \text{ } \theta^3/V\theta$ -ის შესაბამის სიღრმეს  $H = 0,26 \text{ } \theta$ , ამით მე-4 ბარაჟის ზედა ბიეფში პიდრავლიკური ანგარიში დამთავრებულია, ხოლო შესაბამისი პიდრავლიკური მაჩვენებლები კი შემდეგია:

$$\omega = b_0 h + mh^2 = 0,393 \text{ } (\theta^2);$$

$$\chi = b_0 + 2h\sqrt{1+m^2} = 2,01 \text{ } (\theta);$$

$$R = \frac{\omega}{\chi} = 0,196 \text{ } (\theta);$$

$$V = c\sqrt{Ri} = 6,02 \text{ } (\theta/V\theta);$$

$$Q = \omega V = 2,36 \text{ } (\theta^3/V\theta).$$

ანალოგიური პიდრავლიკური ანგარიში ჩატარებულია მესამე, მეორე და პირველი ბარაჟების კვეთებში, როგორც მსგავსი განივი პროფილისა და ქანობის შემთხვევები, კერძოდ კი:

$$\text{ხევის ფუძის სიგანეა} - b_0 = 1,20 \text{ } (\theta);$$

კალაპოტის საშუალო ქანობი –  $i = 0,437$ ;  
 კალაპოტის ხორკლიანობა –  $n = 0,040$ ;  
 ხევის დაფერდების კოეფიციენტი –  $m = 0,9$ ;  
 ანგარიში წარმოდგენილია 4.4 ცხრილის სახით:

#### ცხრილი 4.4

ხევის პიდრავლიკური პარამეტრების ანგარიში

| N <sup>o</sup> | წყლის სიღრმე<br>$h$ (მ) | ხევის ფუძის<br>სიზუსტე, $b_0$ (მ) | ცოცხალი<br>ძველის ფართობი,<br>$\omega$ ( $\text{მ}^2$ ) | სვლი პერიტეტრი,<br>$\chi$ (მ) | ჰიდრავლიკური<br>რადიუსი, $R$ (მ) | აპარატური<br>გუბის კოეფიციენტი,<br>$C$ (მ/კვ/მ) | აპარატური<br>სიჩარე, $V$<br>(მ/კვ) | წყლის ხარჯი,<br>$Q$ ( $\text{მ}^3/\text{წ}$ ) |
|----------------|-------------------------|-----------------------------------|---|-------------------------------|----------------------------------|---|------------------------------------|---|
| 1              | 2                       | 3                                 | 4   | 5                             | 6                                | 7   | 8                                  | 9   |
| 1              | 0,2                     | 1,2                               | 0,276   | 1,738                         | 0,159                            | 18,3  | 4,82                               | 1,33  |
| 2              | 0,3                     | 1,2                               | 0,441   | 2,007                         | 0,22                             | 19,33   | 5,99                               | 2,64  |
| 3              | 0,4                     | 1,2                               | 0,624   | 2,280                         | 0,27                             | 20,05   | 6,94                               | 4,33  |

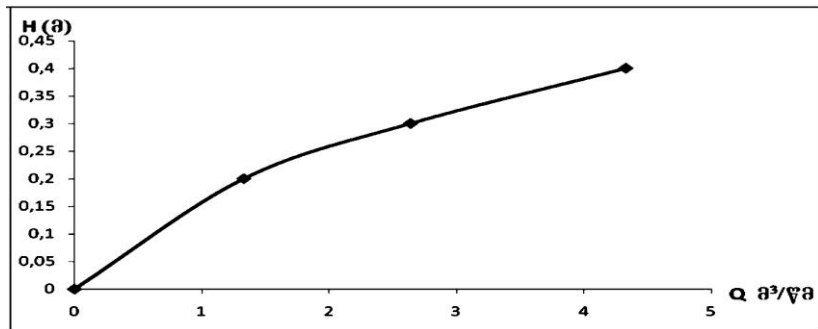
ცხრილი 4.4-ის მონაცემების მიხედვით ვაგებთ  $H = f(Q)$  დამოკიდებულების გრაფიკს (ნახ. 4.2). ნახაზზე ხარჯს  $Q_{1\%} = 2,23 \text{ მ}^3/\text{წ}$  შეესაბამება წყლის სიღრმე ხევში  $H = 0,27 \text{ მ}$ .

შეესაბამისი პიდრავლიკური მაჩვენებლები ტოლია:

$$\omega = 1,2 \cdot 0,27 + 0,9 \cdot 0,27^2 = 0,39 \text{ (მ}^2\text{)};$$

$$\chi = 1,2 + 2 \cdot 0,27 \sqrt{1 + 0,9^2} = 1,93 \text{ (მ)}; \quad V = 19,03 \sqrt{0,20 \cdot 0,437} = 5,63$$

$$(\text{მ}/\text{წ}); \quad R = \frac{0,39}{1,93} = 0,20 \text{ (მ)}; \quad Q = 2,20 \text{ (\text{მ}^3/\text{წ})}.$$



ნახ. 4.2.  $H = f(Q)$  დამოკიდებულების გრაფიკი

#### 4.4. ხევის ეროზიის საწინააღმდეგო ღონისძიებები

თუშეთისა და კერძოდ სოფ. ჯვარბოსლის მიმდებარე ტერიტორიის უნიკალობისა და თვითმყოფადობის გათვალისწინებით შედარებით ახალწარმოქმნილი ხევი ხასიათდება შემდგომი განვითარებით. აქ მიზანშეწონილია განხორციელდეს სენიტიური უბნებისათვის მისაღები და ფრთხილად შერჩეული ღონისძიებები, რომლებიც უნდა მოიცავდნენ როგორც საინჟინრო ნაგებობების, ისე ფიტომელიორაციული ხასიათის მეოთხების გამოყენებას. პირველი მათგანი შესაძლებლობას იძლევა ოპერატიულად, დროის შედარებით მცირე მონაკვეთში უზრუნველყოს დაზიანებული რელიეფის სტაბილურობა, ხოლო მეორე მოითხოვს ხანგრძლივ პერიოდს (რამდენიმე წელიწადს), რათა მიღებულ იქნეს მასზე გათვალისწინებული სათანადო ეფექტი.

ეს ღონისძიებები ისე უნდა იქნეს შერჩეული, რომ რაც შეიძლება ნაკლები ზიანი მიაღეს ადგილობრივ

გარემოს და ორიენტირებულ იქნეს მიმდინარე წეგატიური ხასიათის მოვლენების თუ არა მთლიანად აღმოფხვრაზე, მათ შესუსტებაზე მაინც.

შექმნილ სიტუაციაში უპირატესობა უნდა მიენიჭოს საინჟინრო დონისძიებების განხორციელებას ეროზირებულ ხევში საშუალო ან მცირე ზომის ბეტონის კაშხლების მოწყობით, როგორც ეს ხორციელდებოდა და დღესაც წარმატებით ფუნქციონირებს საქართველოს მსგავს მთაგორიან ქვეყნებში – ავსტრია, შვეიცარია, გერმანია, იაპონია, ჩინეთი, ნეპალი და ა.შ. ამ სახის შემოთავაზებულ დონისძიებას ის უპირატესობა გააჩნია, რომ იგი მშენებლობის დამთავრებისთანავე იძლევა საგრძნობ დადგებით შედეგს მოგვიანებით წარმოშობილი ხარვეზების აღმოფხვრის შესაძლებლობით [7].

ბეტონის კაშხლებისათვის ეროზირებულ ხევში ადგილების შერჩევისას მხედველობაში იქნა მიღებული როგორც ხევის გრუნტის ძირითადი მახასიათებლები, ასევე მისი გრძივი პროფილის ცვლილების ხასიათი, განივი კვეთების ფორმები და სავარაუდო მანძილები კაშხლებს შორის. ამ ტიპის კაშხლებზე გამართლებულია ტრაპეციული ფორმის წყალსაშენებებისა და კაშხლის ტანში მცირე ზომის ხვრეტების მოწყობა წვიმიანობისა და ხევში წარმოშობილი წყლის ნაკადის უმტკიგნეულოდ გატარების მიზნით, ვიდრე კაშხლის ზედა ბიეფი მთლიანად შეივსება მყარი ჩამონადენით. ასეთ შემთხვევებში ეროზირებული კალაპოტის სამედო სტაბილიზაციისათვის მიზანშეწონილია კაშხლებს შორის ხევის ფსკერისა და ფერდობების გამაგრება მოსაპირკეთებელი მასალით, რაც ხელს შეუწყობს მთლიანად ხევის დასტაბილიზებას და

მყარი ჩამონადენის მინიმიზაციას.

სოფელ ჯვარბოსლის მიმდებარე ტერიტორიაზე დასარეგულირებელი ხევის პირველადი მონაცემები ასე გამოიყერება: მთლიანად ფერდობის ფართობი, სადაც წარმოშობილია თხიერი ზედაპირული ჩამონადენით გამოწვეული ხევი, შეადგენს (როგორც ეს ზემოთ იყო აღნიშნული) 32500 მ<sup>2</sup>-ს, ხევის სიგრძეა - 185 მ, მისი განივი კვეთი თითქმის მთელ სიგრძეზე სამკუთხა ფორმისაა, რომლის სიგანე ფერდობის ზედაპირთან ცალკეულ კვეთებში აღწევს 12 მ-ს, ხოლო ფსკერთან 2-3 მ-ს. ხევის სიღრმეები მისი სათავიდან მდ. ალაზნის შესართავამდე იცვლება 5-10 მ-ის ფარგლებში. ხევის ქანობი სათავიდან მის ბოლომდე მიახლოებით მუდმივია და შეადგენს  $35^{\circ}$ -ს ანუ  $i = 0,56$ .

ხევის დამარეგულირებელი ბეტონის კაშხლებს შორის მანძილის დადგენა არც თუ იოლი ამოცანაა და იგი მოითხოვს ხევის როგორც გეომეტრიული ზომების ისე კალაპოტის ფსკერისა და მყარი ჩამონადენის გრანულო-მეტრიული შემადგენლობის დადგენას, აგრეთვე კაშხლის ზედა ბიეფში დალექილი მყარი ჩამონადენის ზედაპირის ქანობის შეფასებას, რომელიც რეალურად არა წრფივი, არამედ მრუდწირული ხასიათისაა. ამ წირის სიგრძეზე, თუ მთლიანად არა, მნიშვნელოვნად არის დამოკიდებული კაშხლებს შორის მანძილის დადგენა, ე.ი. კაშხლების საერთო რაოდენობა, მაგრამ არსებული ხევის შედარებით მცირე სიგრძისა და მყარი ჩამონადენის ერთგვაროვნების გათვალისწინებით შესაძლებელია პირველი მიახლოებით, როგორც არსებულ ტექნიკურ ლიტერატურაშია მიღებული,

ასეთი შემთხვევისათვის დასაშვებია წირი მიღებულ იქნეს სწორხაზოვნად, ხოლო მისმა ქანობმა შეადგინოს ხევის კალაპოტის ქანობის 0,5 ნაწილი.

ამგვარი დაშვებებით დადგინდა, რომ ხევის მთელ სიგრძეზე დასაპროექტებელია ოთხი ბეტონის კაშხალი (ნახ. 4.3).

თითოეული კაშხალი გაანგარიშებულ იქნა ამ შემთხვევისათვის ტრადიციული მეთოდით – მდგრადობაზე და გადაყირავებაზე ხევის გრუნტში ერთ მეტრამდე ჩაღრმავებით. კაშხლის ქიმზე მოწყობილი ტრაპეციული ფორმის წყალსაშვებები გაანგარიშებულ იქნა 1%-ანი უზრუნველყოფის ოხიერ ჩამონადენზე ქვედა ბიეფის გამაგრებით კაშხლის მდგრადობის უზრუნველყოფის მიზნით.

სოფლის სიახლოვეში, ხევზე გათვალისწინებულია საჭაპანო ტრანსპორტისა და ფეხით მოსიარულეთათვის მცირე ზომის ერთმალიანი ბეტონის ფილის ბოგირი, რომლის სიგრძე შეადგენს 10 მ-ს, ხოლო სიგანე 3 მ-ს.

ჩვეულებრივად, ამ ტიპის ხევებს ახასიათებს საკმაოდ ძლიერი გამოტანის კონუსის წარმოშობა, მაგრამ ვინაიდან ხევის დაბოლოება მკვეთრი ქანობით ეშვება მდ. პირიქითა ალაზანში და ეს უკანასკნელი თავისი ძლიერი წყლის ნაკალით, როგორც ეს ახასიათებს მთის მდინარეებს, რეცხავს ხევის მიერ გამოტანილ მყარ ჩამონადენს და უმტკივნულოდ გადაადგილებს მას ქვევით, დინების მიმართულებით. ამიტომ, ამ შემთხვევაში, გამოტანის კონუსის არარსებობის გამო, მნიშვნელოვნად ადვილდება სოფ. ჯგარბოსლის დაცვა გამოტანის კონუსზე ტრანსპორტირებული ლგარცოფული მასისაგან.



ნახ. 4.3. ეროზიის საწინააღმდეგო ბეტონის ბარაჟები.  
მთათუშეთი. 2007 წლის 21 ნოემბერი

## თავი 5. საქართველოს მაღლივი კაშხლების შესაძლო აგარის შემთხვევაში ზარმოშობილი დყალულიფობების მათემატიკური იმიტაცია

### 5.1. მსოფლიოში კაშხლების აგარის მოკლე მიმოხილვა

პრაქტიკაში, სხვადასხვა დანიშნულების კაშხლების საიმედოობა კაცობრიობას ჯერ კიდევ უძველესი დროიდან აინტერესებს, როდესაც ჩვენს წელთაღრიცხვამდე რამოდენიმე ათასი წლის წინათ ბაბილონში, ჩინეთში, ეგვიპტეში და იტალიაში აშენებული იყო სხვადასხვა სიმაღლის წყალგადამდობი ნაგებობები.

კაშხლების აგარის ძირითად მიზეზად ყველაზე ხშირად სპეციალისტები თვლიდნენ საძირკველში ჩაწყობილი მასალის ნაკლებ სიღრმეს, შემდეგ მიზეზად – კი გრუნტის კაშხლებისათვის დასაშვებზე მეტ დატვირთვას და ა.შ.

ქვემოთ განხილულია მსოფლიოში მომხდარი ტექნოგენური კატასტროფების ის შემთხვევები, როდესაც ადგილი ჰქონდა ადამიანთა დიდი რაოდენობით მსხვერპლს [28]:

- 1864 წელს ამერიკის შეერთებულ შტატებში დაინგრა ბრედფილდის მიწის კაშხალი. კაშხლის ზედა ბიფი მოპირკეთებული იყო ბეტონის ფილებით, ხოლო კაშხლის გულში მოთავსებული იყო თიხა-თიხნარის გრუნტი. კაშხლის აგარიამ 239 კაცის სიცოცხლე შეიწირა;
- 1889 წლის 31 მაისს აშშ-ში დაინგრა საუტ ფორკის (ჰენსილგანის შტატი) 92 მ სიმაღლის მიწის

კაშხალი, კატასტროფამ 2500 ადამიანის სიცოცხლე შეიწირა;

- 1890 წლის 22 თებერვალს არიზონას შტატში (აშშ) დაინგრა 33,6 მ სიმაღლის ქვაყრილი კაშხალი, რის შედეგადაც დაიღუპა 129 ადამიანი;
- 1895 წლის 27 აპრილს საფრანგეთში დაინგრა ბუზესკის 22 მ სიმაღლის ქვაყრილი კაშხალი, დაიღუპა 156 ადამიანი;
- 1911 წლის 30 სექტემბერს ქალაქ აუსტინის მახლობლად (პენსილვანიის შტატი) დაინგრა ბეტონის კაშხალი. კატასტროფამ შეიწირა 100 ადამიანის სიცოცხლე;
- 1935 წლის 13 აგვისტოს სოფელ ზერბინოში (იტალია) დაინგრა ბეტონის 16,5 მ სიმაღლის კაშხალი, ადამიანთა მსხვერპლის რაოდენობამ 100-ს გადააჭარბა.

კაშხლების ავარიას ადგილი ჰქონდა ასევე ყოფილი საბჭოთა კავშირის რესპუბლიკებშიც, მაგრამ ცნობილი პოლიტიკის გამო ეს ინფორმაცია საზოგადოებისათვის დახურული იყო. შესაბამისად, უცნობია ინფორმაცია მსხვერპლის შესახებაც. მაგ. 1955 წელს ავარია იყო გორკის პიდორელექტროსადგურის კაშხალზე, 1956 წელს ლუჟსკის კაშხალზე (ლენინგრადის ოლქი), 1958 წელს ირკუტსკის კაშხალზე, 1960 წელს ცაგერის წყალსაცავზე, 1989 წელს კი საქართველოში, დაბა წყნეთში – 10 მ სიმაღლის მიწის კაშხალზე, კატასტროფამ 3 ადამიანის სიცოცხლე შეიწირა.

2009 წ. 17 აგვისტოს რუსეთში საინო-შუშენსკის კაშხალზე მოხდა ავარია, რომელმაც 12 ადამიანის სიცოცხლე შეიწირა (გაზეთი "Взгляд") და ა.შ.

## **5.2. კაშხლების შესაძლო ავარიის პროცნზირების მეთოდოლოგია**

საქართველოში ენერგეტიკისა და მელიორაციის განვითარებისათვის აუცილებელი გახდა წყალსამეურნეო სხვადასხვა სიმაღლის კაშხლების მშენებლობა. დასახული ამოცანის გადაწყვეტის მიზნით მე-20 საუკუნეში ინტენსიურად დაიწყეს სხვადასხვა დანიშნულებისა და ტიპის კაშხლების მშენებლობა, რომელთა სიმაღლეც იცვლება 10 მეტრიდან 274 მეტრამდე, რაც შეეხება წყალსაცავების მოცულობას, მათი სიდიდეები აღემატებოდა რამდენიმე ათეულ მლნ მ<sup>3</sup>-ს.

მე-20 საუკუნის 60–80 წლებში ჩატარებულმა აღრიცხვამ ნათელი გახადა, რომ საქართველოში მოლიანად დაფიქსირდა 64 დიდი და პატარა წყალსაცავი, რომლებიც განთავსებულია მთისა და მთისწინა ლანდშაფტებში.

მაღლივ კაშხლებს, რომლებიც ქმნიან დიდი მოცულობის წყალსაცავებს, ძირითად სამეურნეო დანიშნულებასთან ერთად, განსაკუთრებული როლი ენიჭება, როგორც ბუნების სტიქიური მოვლენების (წყალდიდობებისა და წყალმოვარდნების) რეგულირების, ასევე ენერგეტიკის მიმართულებით [43].

საქართველოში სწორედ მაღლივ კაშხლებს გააჩნია კომპლექსური დანიშნულება და მათ მინიმუმამდე დაყავს მოსახლეობისა და მიმდებარე ტერიტორიების დატბორვის რისკი.

მეცნიერების დაკვირვებებმა კლიმატზე ნათელი გახადა, რომ ჩვენს პლანეტაზე შეიმჩნევა ტემპერატურის მატება, რაც ხელს უწყობს თოვლის საფარისა და

მყინვარების ინტენსიურ დნობას, ეს კი წყალდიდობების, წყალმოვარდნებისა და ლვარცოფების ფორმირების ერთ-ერთი ძირითადი კომპონენტია;

უოგელივე ზემოთ აღნიშნულის გათვალისწინებით წყალსამეურნეო ობიექტებზე, მათ შორის კაშხლებზე დატვირთვაც იზრდება. ასევე უნდა გავითვალისწინოთ აკადემიკოს ცოტნე მირცხულავას გამოკვლევა [54, 55], რომელიც დაკავშირებულია კაშხლების ე.წ. „სიბერეს-თან“, რომელიც მეტად ამცირებს კაშხლების ექსპლუატაციის საიმედოობას, ეს კი ზრდის ტექნოგენური კატასტროფის წარმოშობის ალბათობას.

სამეცნიერო ლიტერატურის [33, 35, 37, 38, 39, 64] ანალიზის საფუძველზე შესაძლებელი გახდა საქართველოს საზღვრებში დაგვედგინა ის კაშხლები, რომლებიც ტექნიგენური კატასტროფის შემთხვევაში მოსახლეობას და ტერიტორიას დიდი საშიშროებით ემუქრება. ესენია: ჟინვალის, სიონის, ლაჯანურის, შაორისა და ენგურის კაშხლები.

საქართველოში კაშხლების შესაძლო ტექნოგენური კატასტროფების კომპიუტერული იმიტაციის მიზნით დახვეწილ იქნა არსებული ალგორითმი [64], რომელიც საშუალებას გვაძლევს კაშხლის შესაძლო ნირვევის შემთხვევაში ვიანგარიშოთ ტალღის სიჩქარე, გარბენილი მანძილი და, რაც მთავარია, დატბორილი ტერიტორიის გეომეტრიული ზომები.

საწყისი მონაცემები ჩვენს მიერ დაყოფილი იყო ორ ნაწილად: პირველი – მუდმივი სიდიდეები და მეორე – ცვლადი; მუდმივ სიდიდეებში გათვალისწინებულია ის

პარამეტრები, რომელიც დამოკიდებული არ არის რომელიმე პირობაზე; რაც შეეხება ცვლად სიდიდეებს, ისინი დამოკიდებულია წყალდიდობაზე, კაშხლის ნგრევის სარისხეზე და ა. შ.

წყალსაცავში არსებული წყლის მოცულობა ( $W_0$ ) გაანგარიშებული იყო შემდეგი დამოკიდებულებით [64]:

$$W = \frac{H_B S_B}{3}, \quad (\text{მლნ მ}^3) \quad (5.1)$$

სადაც  $H_B$  არის წყლის სიღრმე კაშხლის ნორმალური შეტბორვის სიმაღლეზე (მ);  $S_B$  – წყალსაცავის სარკის ზედაპირის ფართობი (მლნ მ<sup>2</sup>);

მდინარის სიგანე აიღება ტოპოგრაფიული რუკებიდან, რაც შეეხება წერტილთა რაოდენობას, იგი არ უნდა აღემატებოდეს მდინარის დერძიდან ერთ მხარეს 3 წერტილს, სულ 6 წერტილს და უნდა მოიცავდეს მთლიანად წყალშემკრებ ტერიტორიას.

დატბორილი ტერიტორიის ფართობის განსაზღვრისათვის კაშხლიდან კვეთების რაოდენობა არ უნდა აღემატებოდეს 8 კვეთს, რომელთა შორის მანძილი წინასწარ უნდა იყოს დატანილი ტოპოგრაფიულ რუკაზე.

წყალდიდობის დროს ტალღის სიჩქარე ( $V$ ) ნაგებობის ქვედა ბიეფში გამოითვლება შემდეგი ფორმულით [64]:

$$V = V_0 (H_1 / H_0)^{2/3}, \quad (5.2)$$

სადაც  $V_0$  არის მდინარეში წყლის სიჩქარე ნაგებობის ქვედა ბიეფში (მ/წმ);  $H_1$  – მდინარეში წყლის სიმაღლე კაშხლის ქვედა ბიეფში (მ);  $H_0$  – მდინარეში წყლის სიმაღლე წყალდიდობის დროს (მ).

კაშხლის ნგრევის ხარისხი  $(E_s)$  დადგენილია შემდეგი დამოკიდებულებით [64]:

$$E_p = \frac{F_B}{F_0}, \quad (5.3)$$

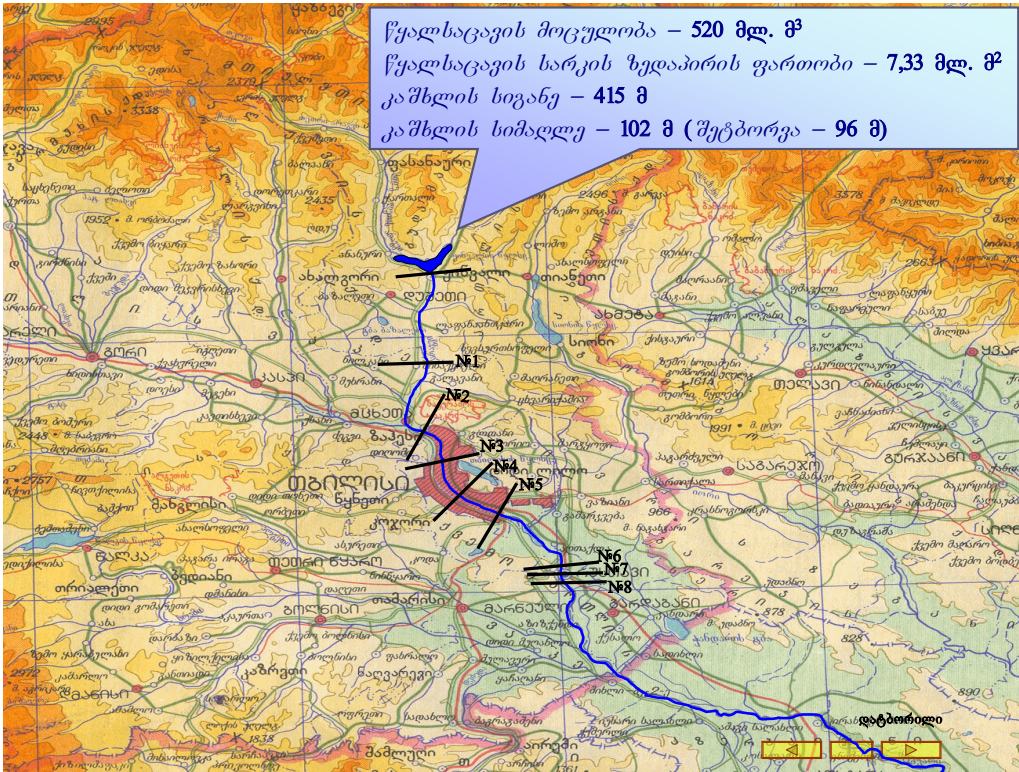
სადაც  $F_B$  არის ნაპირის რღვეულის ფართობი  $(\text{მ}^2)$ ,  $F_0 -$  ზედაპირის ფართობი  $(\text{მ}^2)$ .

გარდა ზემოთ აღნიშნულისა, ალგორითმში გათვალისწინებულია: მდინარის ნაპირის ზღურბლის სიმაღლე  $(\text{მ})$ , მდინარის სიგრძეზე კვეთების რაოდენობა, კვეთებს შორის დაშორება  $(\text{კმ})$ , მდინარის კალაპოტის სიგანე  $(\text{მ})$ , წყლის ნაკადის სიჩქარე მდინარის კალაპოტში  $(\text{მ}/\text{წმ})$ , მდინარის ხოდა კალაპოტის სიგანე  $(\text{მ})$ , მდინარის კალაპოტის ნიშნულების სიდიდეები  $(\text{მ})$  და ა. შ.

### 5.3. შენგალის კაშხლის აგარის პროგნოზირება სხვადასხვა უზრუნველყოფის რისკის მხარეულობაში მიღებით

ჟინვალის წყალსაცავი, რომლის კაშხლიც წარმოადგენს მიწის ნაყარ თიხის გულიან ნაგებობას, მდებარეობს დუშეთის რაიონის სოფელ ჟინვალში. კაშხლის სამშენებლო სიმაღლე 102 მ-ია, ხოლო მუშა სიმაღლე  $(\text{წყლის შეტბორვის სიმაღლე})$  კი – 96 მ. კაშხლის სიგანე ზღურბლზე 415 მ-ის ფარგლებშია. ჟინვალის წყალსაცავის მოცულობა 520 მლნ მ<sup>3</sup>-ის, ხოლო სარკის ზედაპირის ფართობი კი 733 მლნ მ<sup>3</sup>-ის ტოლია [43].

ჟინვალის კაშხლის კატასტროფის პროგნოზირების მიზნით, მდ. არაგესა და მდ. მტკვარზე ქ. რუსთავამდე კვეთების რაოდენობა შეადგენს 8 ერთეულს (სურ. 5.1).



სურ. 5.1. საანგარიშო კვეთების განლაგების სქემა

კვეთები ადგებული იყო შემდეგ დასახლებულ პუნქტებზე, რომლებიც კაშხლიდან სხვადასხვა მანძილითაა დაშორებული, კერძოდ კი [28]:

1. სოფელი მისაქციელი – 30,0 კმ;
2. ავჭალის დასახლება – 35,0 კმ;
3. დიღმის (შალიკაშვილის) ხიდი – 44,5 კმ;
4. თამარ მეფის (ჩელუსკინელების) ხიდი – 48,0 კმ;
5. ორთაჭალის ხიდი – 54,2 კმ;
6. ქ. რუსთავის ახალი დასახლება – 74,0 კმ;
7. ქ. რუსთავის ცენტრი – 77,0 კმ;
8. ქ. რუსთავის ბოლო – 80,0 კმ.

უნგვალის კაშხლის ავარიის შემდეგ წყლის ტალღის პირველი ნაკადი შესაბამის კვეთებში ჩამოედინება შედეგ დროში:

1. სოფელი მისაქციელი – 47,1 წთ;
2. ავჭალის დასახლება – 57,74 წთ;
3. დიღმის (შალიკაშვილის) ხიდი – 76,34 წთ;
4. თამარ მეფის (ჩელუსკინელების) ხიდი – 90,1 წთ;
5. ორთაჭალის ხიდი – 107,0 წთ;
6. ქ. რუსთავის ახალი დასახლება – 172,6 წთ;
7. ქ. რუსთავის ცენტრი – 183,3 წთ;
8. ქ. რუსთავის ბოლო – 197,3 წთ.

რაც შეეხება უნგვალის წყალსაცავით დატბორილი ტერიტორიის გეომეტრიულ ზომებს მდინარის ღერძიდან მარცხნივ და მარჯვნივ, ასეთია:

1. სოფელი მისაქციელი  
მარცხნივ – 319 მ, მარჯვნივ – 322 მ,  
წყლის სიღრმე – 21 მ, ტალღის სიჩქარე – 11 მ/წთ;

2. ავჭალის დასახლება  
კანიონში იტბორება ორივე მხარე;
  3. დიღმის (შალიკაშვილის) ხიდი  
მარცხნივ – 649 მ, მარჯვნივ – 1603 მ,  
წყლის სიდრმე – 9 მ, ტალღის სიჩქარე – 5 მ/წმ;
  4. თამარ მეფის (ჩელუსკინელების) ხიდი  
მარცხნივ – 88 მ, მარჯვნივ – 715 მ,  
წყლის სიდრმე – 18 მ, ტალღის სიჩქარე – 10 მ/წმ;
  5. ორთაჭალის ხიდი  
მარცხნივ – 239 მ, მარჯვნივ – 629 მ,  
წყლის სიდრმე – 10 მ, ტალღის სიჩქარე – 7 მ/წმ;
  6. ქ. რუსთავის ახალი დასახლება  
მარცხნივ – 115 მ, მარჯვნივ – 570 მ,  
წყლის სიდრმე – 11 მ, ტალღის სიჩქარე – 7 მ/წმ;
  7. ქ. რუსთავის ცენტრი  
მარცხნივ – 293 მ, მარჯვნივ – 786 მ,  
წყლის სიდრმე – 6 მ, ტალღის სიჩქარე – 5 მ/წმ;
  8. ქ. რუსთავის ბოლო  
მარცხნივ – 1055 მ, მარჯვნივ – 110 მ,  
წყლის სიდრმე – 7 მ, ტალღის სიჩქარე – 5 მ/წმ.
- ეინგალის კაშხლის ამსახველი დეტალური მასალა [28] მოცემულია ცხრილებში (ცხრ. 5.1-5.12), ხოლო მდინარის კალაპოტში და მიმდებარე ტერიტორიაზე დატბორილი ტერიტორიების გეომეტრიული ზომები მოცემულია ნახაზებზე 5.2-5.36.

## ცხრილი 5.1

### სამუშაოს ანბარიში

დრო: 17:07:2003, 18:24:00

დასახელება: ჟინგალის ქაშხალი (1)

| პილობანის საწყისი მონაცემები:                            | განზ.              | ერთ. | რაოდ. |
|--|--------------------|------|-------|
| 1. წყალსაცავის მოცულობა ნორმალური შეტბორვის დონეზე (ნშდ) | მლნ მ <sup>3</sup> |      | 520   |
| 2. წყალსაცავის სიღრმე ქაშხალთან ნშდ-ზე                   | მ                  |      | 96    |
| 3. სარკის ზედაპირის ფართობი ნშდ-ზე                       | მლნ მ <sup>3</sup> |      | 7,33  |
| 4. ქაშხლის სიგანე ნშდ-ზე                                 | მ                  |      | 415   |
| 5. მდინარის სიღრმე ქაშხლის ქვედა ბიეფში                  | მ                  |      | 1     |
| 6. მდინარის სიგანე ქაშხლის ქვედა ბიეფში                  | მ                  |      | 25    |
| 7. მდინარის სიჩქარე ქაშხლის ქვედა ბიეფში                 | მ/წ                |      | 1     |
| 8. წყალსაცავის სიღრმე ქაშხლის ავარიის მომენტში           | მ                  |      | 96    |
| 9. ქაშხლის ნერევის ხარისხი                               | მ                  |      | 1     |
| 10. მდინარის კალაპოტის ნაპირის რღვეულის სიმაღლე          | მ                  |      | 1     |
| 11. წყალსაცავში წყლის ნორმალური შეტბორვის ნიშნული        | მ                  |      | 816   |
| 12. მდინარის კალაპოტში განივი პროფილების რაოდენობა       | (გ)                |      | 8     |

## ცხრილი 5.2

| განივი კვეთების დახასიათება             | გან.<br>ერთ. | კვეთი<br>№1 | კვეთი<br>№2 | კვეთი<br>№3 | კვეთი<br>№4 | კვეთი<br>№5 | კვეთი<br>№6 | კვეთი<br>№7 | კვეთი<br>№8 |
|---|--------------|-------------|-------------|-------------|-------------|-------------|-------------|-------------|-------------|
| 1                                       | 2            | 3           | 4           | 5           | 6           | 7           | 8           | 9           | 10          |
| სური კვეთის დაცილება კაშხლიდან          | გმ           | 30          | 35          | 44,5        | 48          | 54,2        | 74          | 77          | 80          |
| <b>ხვედრითი ნაკადი:</b>                 |              |             |             |             |             |             |             |             |             |
| წყლის შეტბორვის ნიშნული                 | გ            | 480         | 425         | 398         | 393         | 375         | 327         | 322,7       | 313         |
| სიღრმე                                  | გ            | 1           | 3           | 2           | 2           | 1           | 2           | 1           | 1           |
| სიგანე                                  | გ            | 70          | 60          | 80          | 82          | 80          | 150         | 100         | 93          |
| ნაკადის სიჩქარე                         | გ/წმ         | 1           | 1           | 1           | 1           | 1           | 1           | 1           | 1           |
| <b>მარცხენა ნაპირი</b>                  |              |             |             |             |             |             |             |             |             |
| მდინარის ნაპირის რღვეულის სიმაღლე       | გ            | 7           | 2           | 3           | 5           | 4           | 2,5         | 3           | 0,5         |
| მდინარის ნოლა კალაპოტის სიგანე          | გ            | 50          | 10          | 50          | 20          | 20          | 5           | 5           | 40          |
| ნიშნული №1                              | გ            | 490         | 435         | 402,5       | 400         | 383         | 330         | 327,5       | 315         |
| მანძილი მდინარის ღერძიდან №1 ნიშნულამდე | გ            | 137         | 50          | 440         | 71          | 180         | 100         | 60          | 225         |
| ნიშნული №2                              | გ            | 520         | 440         | 405         | 405         | 385         | 340         | 330         | 320         |
| მანძილი მდინარის ღერძიდან №2 ნიშნულამდე | გ            | 687         | 70          | 670         | 371         | 280         | 125         | 1310        | 1295        |

ცხრილი 5.2 (გაგრძელება)

| 1  | 2 | 3    | 4   | 5     | 6   | 7   | 8    | 9     | 10    |
|--|---|------|-----|-------|-----|-----|------|-------|-------|
| ნიშნული №3                                 | გ | 680  | 490 | 410   | 415 | 388 | 350  | 332,5 | 322,5 |
| მანძილი მდინარის ღერძიდან №3<br>ნიშნულამდე | გ | 2437 | 340 | 970   | 800 | 720 | 265  | 1610  | 1345  |
| <b>მარჯვენა ნაპირი</b>                     |   |      |     |       |     |     |      |       |       |
| მდინარის ნაპირის რღვეულის<br>სიმაღლე       | გ | 15   | 8   | 3     | 5   | 4   | 1    | 1     | 5     |
| მდინარის ნოდა კალაპოტის სიგანე             | გ | 30   | 25  | 50    | 20  | 100 | 300  | 300   | 50    |
| ნიშნული №1                                 | გ | 520  | 435 | 402,5 | 410 | 380 | 330  | 325   | 340   |
| მანძილი მდინარის ღერძიდან №1<br>ნიშნულამდე | გ | 912  | 60  | 840   | 90  | 510 | 525  | 750   | 440   |
| ნიშნული №2                                 | გ | 600  | 445 | 405   | 415 | 385 | 340  | 337,5 | 350   |
| მანძილი მდინარის ღერძიდან №2<br>ნიშნულამდე | გ | 1137 | 70  | 1680  | 200 | 660 | 600  | 900   | 570   |
| ნიშნული №3                                 | გ | 680  | 490 | 410   | 425 | 395 | 343  | 345   | 400   |
| მანძილი მდინარის ღერძიდან №3<br>ნიშნულამდე | გ | 1637 | 540 | 2000  | 230 | 940 | 1300 | 1650  | 840   |

**ცხრილი 5.3**

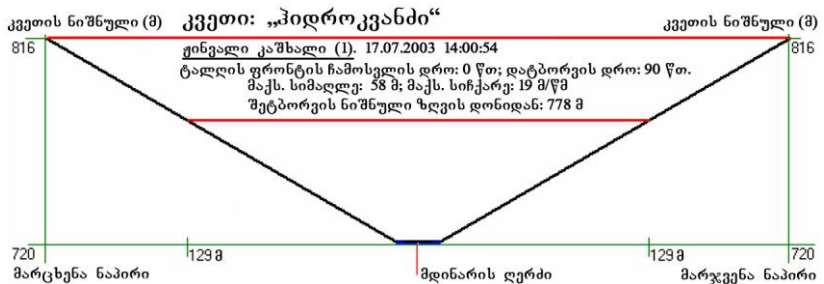
| კაშხლის განგრევის პარამეტრები  | გან. ერთ. | გვეთი №0 | გვეთი №1 | გვეთი №2 | გვეთი №3 | გვეთი №4 | გვეთი №5 | გვეთი №6 | გვეთი №7 | გვეთი №8 |
|--------------------------------|-----------|----------|----------|----------|----------|----------|----------|----------|----------|----------|
| კვეთის დაშორება ჰიდროკვანძიდან | კმ        | 0        | 30       | 35       | 44,5     | 48       | 54,2     | 74       | 77       | 80       |
| კვეთში წყლის მაქსიმალური ხარჯი | ათ.მ³ /წთ | 137      | 31,9     | 28,18    | 22,98    | 21,7     | 19,6     | 15,19    | 14,59    | 14,16    |

**დრო:**

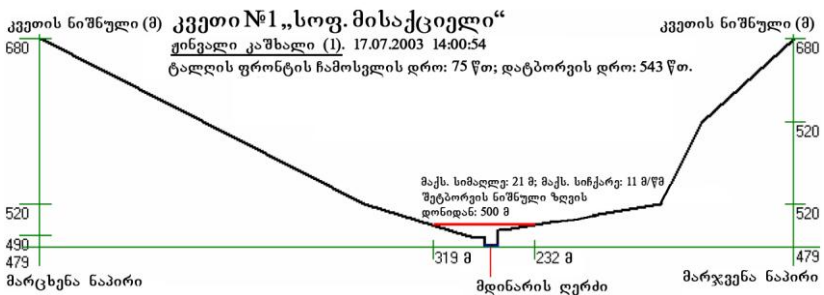
|                               |      |      |      |       |       |      |      |       |       |       |
|-------------------------------|------|------|------|-------|-------|------|------|-------|-------|-------|
| ტალღის ფრონტის დაწევის        | წთ   | 0    | 47,1 | 57,74 | 76,34 | 90,1 | 107  | 172,6 | 183,3 | 197,3 |
| ტალღის დაწევის                | წთ   | 0    | 75,3 | 93,07 | 135,6 | 149  | 171  | 273   | 285,7 | 297,3 |
| ტალღის კუდის დაწევის          | წთ   | 90,3 | 590  | 673,7 | 832   | 890  | 994  | 1324  | 1374  | 1424  |
| დატბორვის                     | წთ   | 90,3 | 543  | 615,9 | 755,7 | 800  | 886  | 1151  | 1190  | 1226  |
| დინების მაქსიმალური სიჩქარე   | მ/წთ | 18,7 | 11,5 | 14,52 | 5,25  | 9,78 | 6,99 | 7,33  | 5,06  | 5,45  |
| ტალღის სიმაღლე                | მ    | 56,6 | 19,9 | 32,32 | 6,77  | 16   | 8,98 | 9,01  | 5,27  | 5,88  |
| დატბორვის მაქსიმალური სიღრმე  | მ    | 57,6 | 20,9 | 35,32 | 8,77  | 18   | 9,98 | 11,01 | 6,27  | 6,88  |
| დატბორვის მაქსიმალური ნიშნული | მ    | 778  | 500  | 457,3 | 404,8 | 409  | 384  | 336   | 328   | 318,9 |

**დატბორვის მაქსიმალური სიმაღლე:**

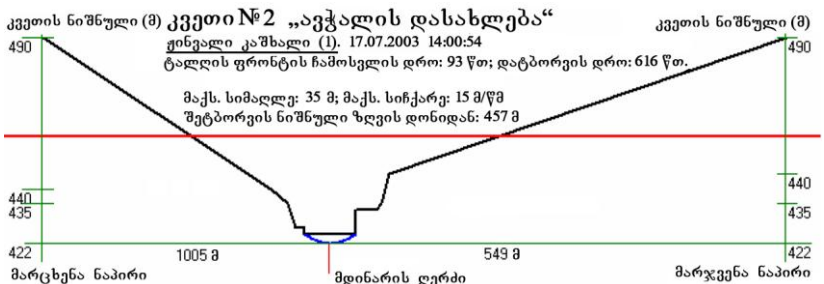
|                           |   |     |     |       |      |      |     |     |       |       |
|---------------------------|---|-----|-----|-------|------|------|-----|-----|-------|-------|
| მდინარის მარცხენა ნაპირზე | მ | 152 | 319 | 1005  | 649  | 715  | 239 | 115 | 293   | 1055  |
| მდინარის მარჯვენა ნაპირზე | მ | 152 | 232 | 648,9 | 1603 | 87,6 | 629 | 570 | 785,6 | 110,3 |



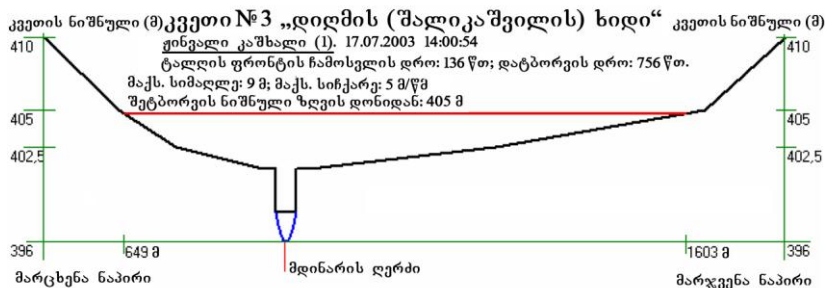
ნახ. 5.2



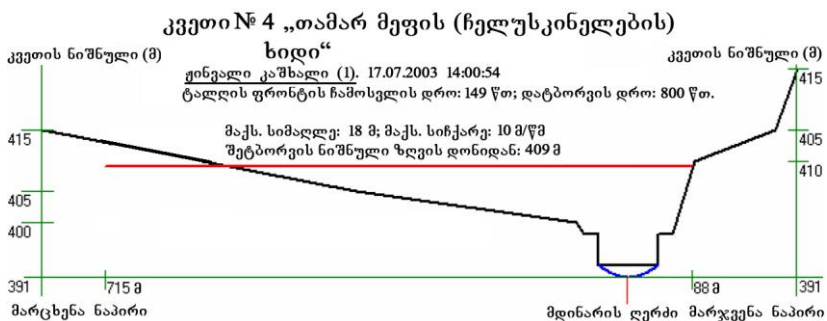
ნახ. 5.3



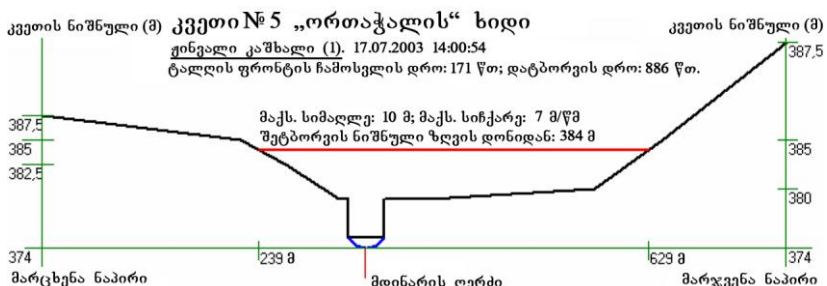
ნახ. 5.4



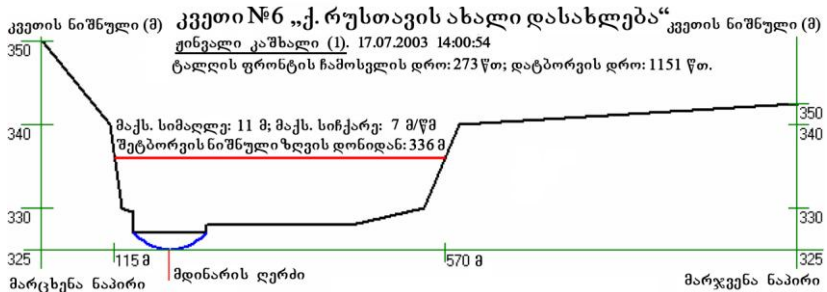
ნახ. 5.5



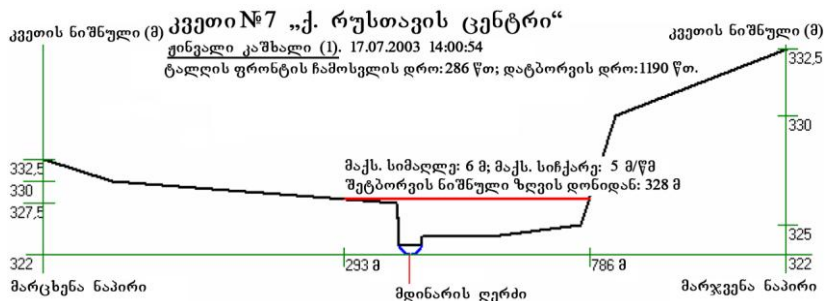
ნახ. 5.6



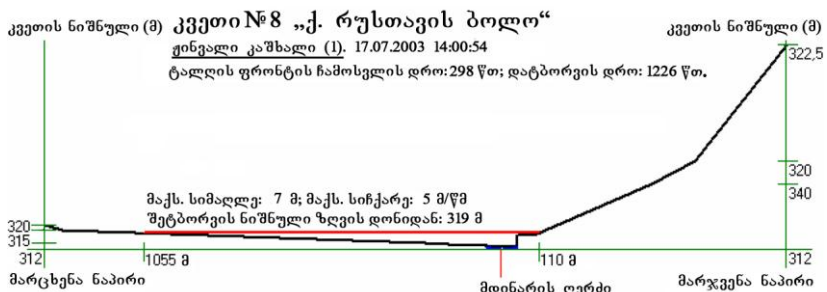
ნახ. 5.7



ნახ. 5.8



ნახ. 5.9



ნახ. 5.10

## ცხრილი 5.4

### სამუშაოს ანბარიში

დრო: 17:07:2003, 18:02:40

დასახელება: ჟინგალის კაშხალი (0,75)

| პიგივანის საწყისი მონაცემები:                            | განზ.              | ერთ. | რაოდ. |
|--|--------------------|------|-------|
| 1. წყალსაცავის მოცულობა ნორმალური შეტბორვის დონეზე (ნშდ) | მლნ მ <sup>3</sup> |      | 520   |
| 2. წყალსაცავის სიღრმე კაშხალობან ნშდ-ზე                  | მ                  |      | 96    |
| 3. სარკის ზედაპირის ფართობი ნშდ-ზე                       | მლნ მ <sup>3</sup> |      | 7,33  |
| 4. კაშხლის სიგანე ნშდ-ზე                                 | მ                  |      | 415   |
| 5. მდინარის სიღრმე კაშხლის ქვედა ბიეფში                  | მ                  |      | 1     |
| 6. მდინარის სიგანე კაშხლის ქვედა ბიეფში                  | მ                  |      | 25    |
| 7. მდინარის სიჩქარე კაშხლის ქვედა ბიეფში                 | მ/წმ               |      | 1     |
| 8. წყალსაცავის სიღრმე კაშხლის ავარიის მომენტში           | მ                  |      | 96    |
| 9. კაშხლის ნერევის ხარისხი                               | მ                  |      | 0,75  |
| 10. მდინარის კალაპოტის ნაპირის რღვეულის სიმაღლე          | მ                  |      | 24    |
| 11. წყალსაცავში წყლის ნორმალური შეტბორვის ნიშნული        | მ                  |      | 816   |
| 12. მდინარის კალაპოტში განივი პროფილების რაოდენობა       | (გ)                |      | 8     |

## ცხრილი 5.5

| განივი პერიოდის დახასიათება     | გან.<br>ერთ. | კვეთი<br>№1 | კვეთი<br>№2 | კვეთი<br>№3 | კვეთი<br>№4 | კვეთი<br>№5 | კვეთი<br>№6 | კვეთი<br>№7 | კვეთი<br>№8 |
|---------------------------------|--------------|-------------|-------------|-------------|-------------|-------------|-------------|-------------|-------------|
| 1                               | 2            | 3           | 4           | 5           | 6           | 7           | 8           | 9           | 10          |
| i-ური კვეთის დაცილება კაშხლიდან | გზ           | 30          | 35          | 44,5        | 48          | 54,2        | 74          | 77          | 80          |

**ხვედრითი ნაკადი:**

|                         |      |     |     |     |     |     |     |       |     |
|-------------------------|------|-----|-----|-----|-----|-----|-----|-------|-----|
| წყლის შეტბორვის ნიშნული | გ    | 480 | 425 | 398 | 393 | 375 | 327 | 322,7 | 313 |
| სიღრმე                  | გ    | 1   | 3   | 2   | 2   | 1   | 2   | 1     | 1   |
| სიგანე                  | გ    | 70  | 60  | 80  | 82  | 80  | 150 | 100   | 93  |
| ნაკადის სიჩქარე         | გ/წგ | 1   | 1   | 1   | 1   | 1   | 1   | 1     | 1   |

### მარცხენა ნაპირი

|  |   |     |     |       |     |     |     |       |      |
|--|---|-----|-----|-------|-----|-----|-----|-------|------|
| მდინარის ნაპირის რღვეულის<br>სიმაღლე       | გ | 7   | 2   | 3     | 5   | 4   | 2,5 | 3     | 0,5  |
| მდინარის ნოდა კალაპოტის სიგანე             | გ | 50  | 10  | 50    | 20  | 20  | 5   | 5     | 40   |
| ნიშნული №1                                 | გ | 490 | 435 | 402,5 | 400 | 383 | 330 | 327,5 | 315  |
| მანძილი მდინარის ღერძიდან №1<br>ნიშნულამდე | გ | 137 | 50  | 440   | 71  | 180 | 100 | 60    | 225  |
| ნიშნული №2                                 | გ | 520 | 440 | 405   | 405 | 385 | 340 | 330   | 320  |
| მანძილი მდინარის ღერძიდან №2<br>ნიშნულამდე | გ | 687 | 70  | 670   | 371 | 280 | 125 | 1310  | 1295 |

ცხრილი 5.5 (გაგრძელება)

| 1  | 2 | 3    | 4   | 5     | 6   | 7   | 8    | 9     | 10    |
|--|---|------|-----|-------|-----|-----|------|-------|-------|
| ნიშნული №3                                 | გ | 680  | 490 | 410   | 415 | 388 | 350  | 332,5 | 322,5 |
| მანძილი მდინარის ღერძიდან №3<br>ნიშნულამდე | გ | 2437 | 340 | 970   | 800 | 720 | 265  | 1610  | 1345  |
| <b>მარჯვენა ნაპირი</b>                     |   |      |     |       |     |     |      |       |       |
| მდინარის ნაპირის რღვეულის<br>სიმაღლე       | გ | 15   | 8   | 3     | 5   | 4   | 1    | 1     | 5     |
| მდინარის ნოდა კალაპოტის სიგანე             | გ | 30   | 25  | 50    | 20  | 100 | 300  | 300   | 50    |
| ნიშნული №1                                 | გ | 520  | 435 | 402,5 | 410 | 380 | 330  | 325   | 340   |
| მანძილი მდინარის ღერძიდან №1<br>ნიშნულამდე | გ | 912  | 60  | 840   | 90  | 510 | 525  | 750   | 440   |
| ნიშნული №2                                 | გ | 600  | 445 | 405   | 415 | 385 | 340  | 337,5 | 350   |
| მანძილი მდინარის ღერძიდან №2<br>ნიშნულამდე | გ | 1137 | 70  | 1680  | 200 | 660 | 600  | 900   | 570   |
| ნიშნული №3                                 | გ | 680  | 490 | 410   | 425 | 395 | 343  | 345   | 400   |
| მანძილი მდინარის ღერძიდან №3<br>ნიშნულამდე | გ | 1637 | 540 | 2000  | 230 | 940 | 1300 | 1650  | 840   |

## ცხრილი 5.6

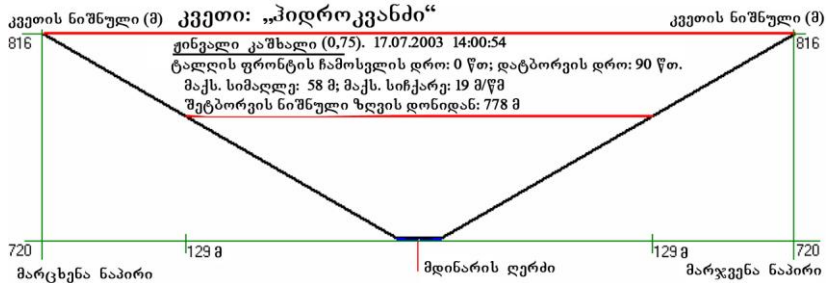
| კაშხლის განგრევის პარამეტრები     | გან.<br>ერთ. | კვეთი<br>№0 | კვეთი<br>№1 | კვეთი<br>№2 | კვეთი<br>№3 | კვეთი<br>№4 | კვეთი<br>№5 | კვეთი<br>№6 | კვეთი<br>№7 | კვეთი<br>№8 |
|-----------------------------------|--------------|-------------|-------------|-------------|-------------|-------------|-------------|-------------|-------------|-------------|
| კვეთის დაშორება ჰიდროკანძიდან     | კმ           | 0           | 30          | 35          | 44,5        | 48          | 54,2        | 74          | 77          | 80          |
| კვეთში წყლის მაქსიმალური<br>ხარჯი | ათ.მ³<br>/წთ | 137         | 24,4        | 21,9        | 18,12       | 17,2        | 15,59       | 12,32       | 11,84       | 11,5        |

**დრო:**

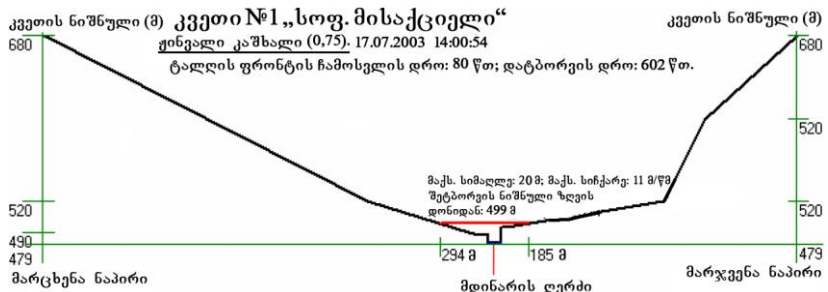
|                                  |      |      |      |      |       |      |       |       |       |       |
|----------------------------------|------|------|------|------|-------|------|-------|-------|-------|-------|
| ტალღის ფრონტის დაწევის           | წთ   | 0    | 47,1 | 57,8 | 76,9  | 90,9 | 108,5 | 175,5 | 186,7 | 201   |
| ტალღის დაწევის                   | წთ   | 0    | 80,2 | 99,1 | 143,4 | 158  | 180,7 | 288,7 | 301,9 | 314,8 |
| ტალღის კუდის დაწევის             | წთ   | 149  | 649  | 732  | 890,4 | 949  | 1052  | 1382  | 1432  | 1482  |
| დატბორვის                        | წთ   | 149  | 602  | 674  | 813,5 | 858  | 943,6 | 1207  | 1245  | 1281  |
| დინების მაქსიმალური სიჩქარე      | მ/წთ | 18,7 | 11,2 | 14,1 | 5,03  | 9,53 | 6,77  | 6,86  | 4,91  | 5,26  |
| ტალღის სიმაღლე                   | მ    | 56,6 | 18,6 | 29,7 | 6,15  | 14,8 | 8,29  | 7,88  | 4,88  | 5,41  |
| დატბორვის მაქსიმალური სიღრმე     | მ    | 57,6 | 19,6 | 32,7 | 8,15  | 16,8 | 9,29  | 9,88  | 5,88  | 6,41  |
| დატბორვის მაქსიმალური<br>ხიზეული | მ    | 778  | 499  | 455  | 404,2 | 408  | 383,3 | 334,9 | 327,6 | 318,4 |

**დატბორვის მაქსიმალური სიმაღლე:**

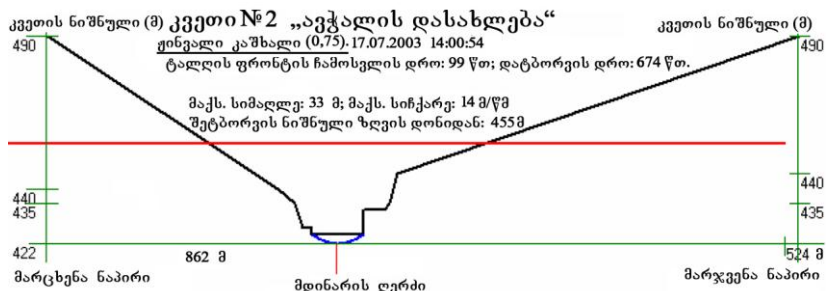
|                           |   |     |     |     |       |      |       |       |       |       |
|---------------------------|---|-----|-----|-----|-------|------|-------|-------|-------|-------|
| მდინარის მარცხენა ნაპირზე | მ | 152 | 294 | 862 | 591,6 | 614  | 211,7 | 112,2 | 97,83 | 955,8 |
| მდინარის მარჯვენა ნაპირზე | მ | 152 | 185 | 524 | 1394  | 84,8 | 608,8 | 561,6 | 780,9 | 103   |



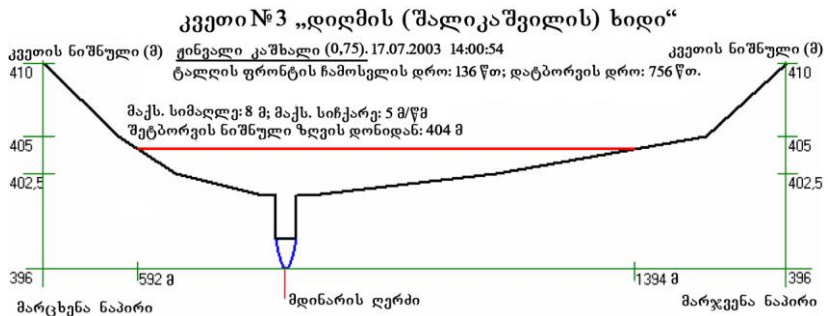
ნახ. 5.11



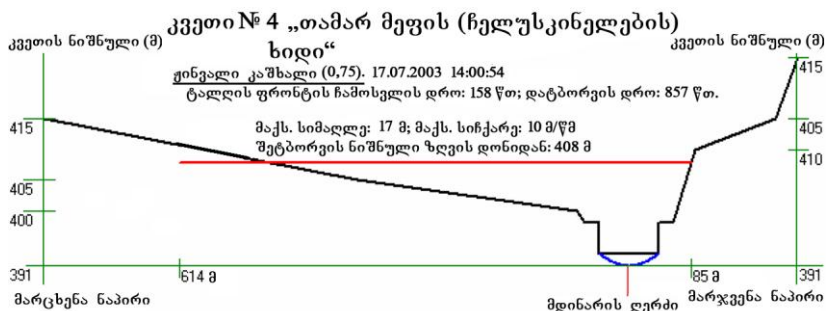
ნახ. 5.12



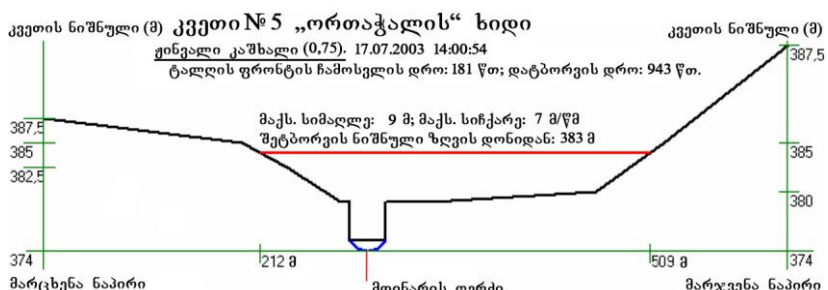
ნახ. 5.13



ნახ. 5.14



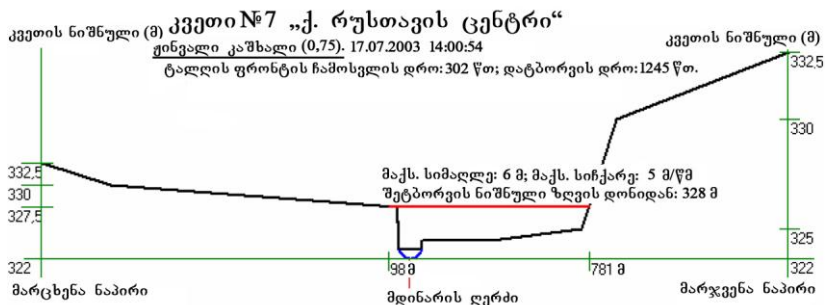
ნახ. 5.15



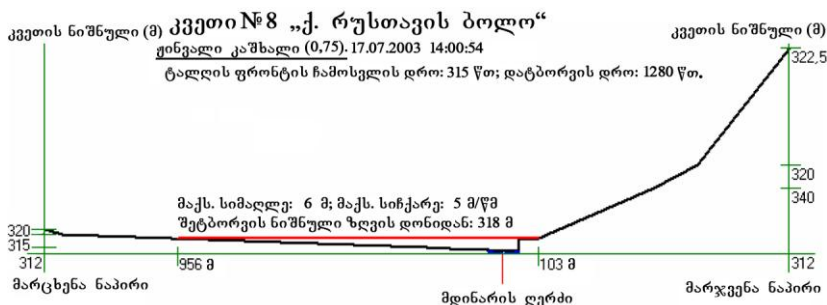
ნახ. 5.16



ნახ. 5.17



ნახ. 5.18



ნახ. 5.19

## ცხრილი 5.7

### სამუშაოს ანბარიში

დრო: 17:07:2003, 18:28:04

დასახელება: ჟინგალის კაშხალი (0,5)

128

| პიღოვანის საწყისი მონაცემები:                            | განზ. ერთ.         | რაოდ. |
|--|--------------------|-------|
| 1. წყალსაცავის მოცულობა ნორმალური შეტბორვის დონეზე (ნშდ) | მლნ მ <sup>3</sup> | 520   |
| 2. წყალსაცავის სიღრმე კაშხალობან ნშდ-ზე                  | მ                  | 96    |
| 3. სარკის ზედაპირის ფართობი ნშდ-ზე                       | მლნ მ <sup>3</sup> | 7,33  |
| 4. კაშხლის სიგანე ნშდ-ზე                                 | მ                  | 415   |
| 5. მდინარის სიღრმე კაშხლის ქვედა ბიეფში                  | მ                  | 1     |
| 6. მდინარის სიგანე კაშხლის ქვედა ბიეფში                  | მ                  | 25    |
| 7. მდინარის სიჩქარე კაშხლის ქვედა ბიეფში                 | მ/წმ               | 1     |
| 8. წყალსაცავის სიღრმე კაშხლის ავარიის მომენტში           | მ                  | 96    |
| 9. კაშხლის ნერევის ხარისხი                               | მ                  | 0,5   |
| 10. მდინარის კალაპოტის ნაპირის რღვეულის სიმაღლე          | მ                  | 48    |
| 11. წყალსაცავში წყლის ნორმალური შეტბორვის ნიშნული        | მ                  | 816   |
| 12. მდინარის კალაპოტში განივი პროფილების რაოდენობა       | (გ)                | 8     |

## ცხრილი 5.8

| განივი პერიოდის დახასიათება    | გან.<br>ერთ. | გვეთი<br>№1 | გვეთი<br>№2 | გვეთი<br>№3 | გვეთი<br>№4 | გვეთი<br>№5 | გვეთი<br>№6 | გვეთი<br>№7 | გვეთი<br>№8 |
|--------------------------------|--------------|-------------|-------------|-------------|-------------|-------------|-------------|-------------|-------------|
| 1                              | 2            | 3           | 4           | 5           | 6           | 7           | 8           | 9           | 10          |
| იური კვეთის დაცილება კაშხლიდან | გვ           | 30          | 35          | 44,5        | 48          | 54,2        | 74          | 77          | 80          |
| <b>ხვედრითი ნაკადი:</b>        |              |             |             |             |             |             |             |             |             |
| წყლის შეტბორვის ნიშნული        | გ            | 480         | 425         | 398         | 393         | 375         | 327         | 322,7       | 313         |
| სიღრმე                         | გ            | 1           | 3           | 2           | 2           | 1           | 2           | 1           | 1           |
| სიგანე                         | გ            | 70          | 60          | 80          | 82          | 80          | 150         | 100         | 93          |
| ნაკადის სიჩქარე                | გ/წგ         | 1           | 1           | 1           | 1           | 1           | 1           | 1           | 1           |

129

### მარცხენა ნაპირი

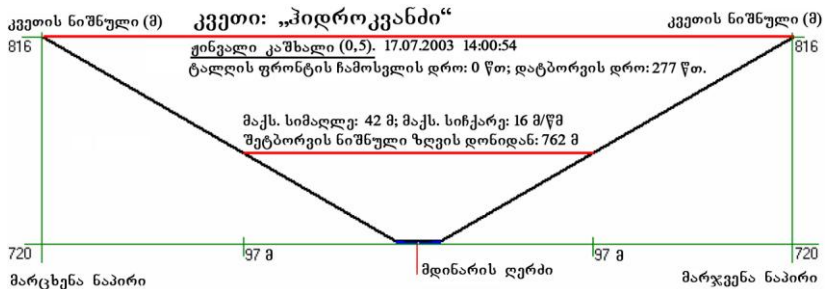
|  |   |     |     |       |     |     |     |       |      |
|--|---|-----|-----|-------|-----|-----|-----|-------|------|
| მდინარის ნაპირის რღვეულის<br>სიმაღლე       | გ | 7   | 2   | 3     | 5   | 4   | 2,5 | 3     | 0,5  |
| მდინარის ნოდა კალაპოტის სიგანე             | გ | 50  | 10  | 50    | 20  | 20  | 5   | 5     | 40   |
| ნიშნული №1                                 | გ | 490 | 435 | 402,5 | 400 | 383 | 330 | 327,5 | 315  |
| მანძილი მდინარის ღერძიდან №1<br>ნიშნულამდე | გ | 137 | 50  | 440   | 71  | 180 | 100 | 60    | 225  |
| ნიშნული №2                                 | გ | 520 | 440 | 405   | 405 | 385 | 340 | 330   | 320  |
| მანძილი მდინარის ღერძიდან №2<br>ნიშნულამდე | გ | 687 | 70  | 670   | 371 | 280 | 125 | 1310  | 1295 |

ცხრილი 5.8 (გაგრძელება)

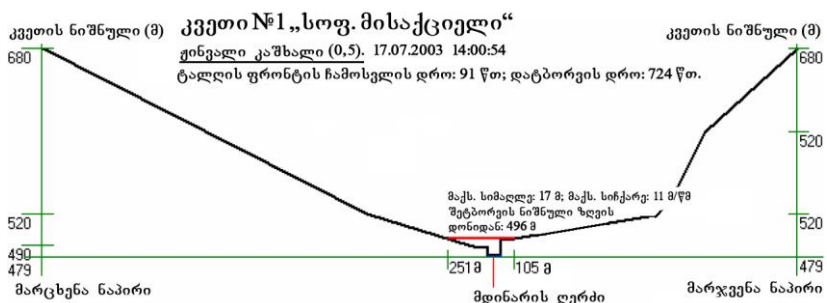
| 1  | 2 | 3    | 4   | 5     | 6   | 7   | 8    | 9     | 10    |
|--|---|------|-----|-------|-----|-----|------|-------|-------|
| ნიშნული №3                                 | გ | 680  | 490 | 410   | 415 | 388 | 350  | 332,5 | 322,5 |
| მანძილი მდინარის ღერძიდან №3<br>ნიშნულამდე | გ | 2437 | 340 | 970   | 800 | 720 | 265  | 1610  | 1345  |
| <b>მარჯვენა ნაპირი</b>                     |   |      |     |       |     |     |      |       |       |
| მდინარის ნაპირის რღვეულის<br>სიმაღლე       | გ | 15   | 8   | 3     | 5   | 4   | 1    | 1     | 5     |
| მდინარის ნოდა კალაპოტის სიგანე             | გ | 30   | 25  | 50    | 20  | 100 | 300  | 300   | 50    |
| ნიშნული №1                                 | გ | 520  | 435 | 402,5 | 410 | 380 | 330  | 325   | 340   |
| მანძილი მდინარის ღერძიდან №1<br>ნიშნულამდე | გ | 912  | 60  | 840   | 90  | 510 | 525  | 750   | 440   |
| ნიშნული №2                                 | გ | 600  | 445 | 405   | 415 | 385 | 340  | 337,5 | 350   |
| მანძილი მდინარის ღერძიდან №2<br>ნიშნულამდე | გ | 1137 | 70  | 1680  | 200 | 660 | 600  | 900   | 570   |
| ნიშნული №3                                 | გ | 680  | 490 | 410   | 425 | 395 | 343  | 345   | 400   |
| მანძილი მდინარის ღერძიდან №3<br>ნიშნულამდე | გ | 1637 | 540 | 2000  | 230 | 940 | 1300 | 1650  | 840   |

**ცხრილი 5.9**

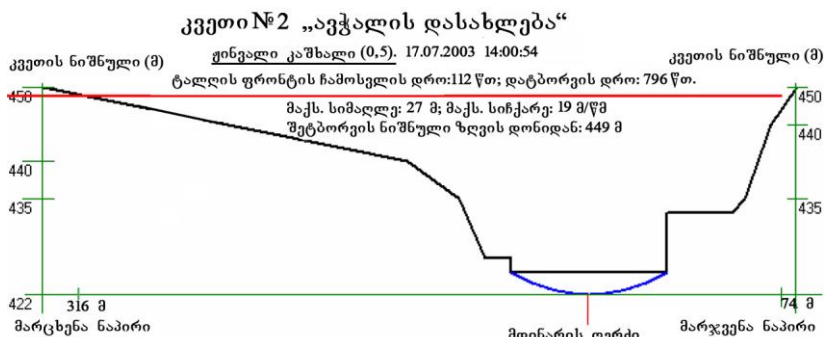
| კაშხლის განგრევის პარამეტრები         | გან.<br>ერთ. | კვეთი<br>№0 | კვეთი<br>№1 | კვეთი<br>№2 | კვეთი<br>№3 | კვეთი<br>№4 | კვეთი<br>№5 | კვეთი<br>№6 | კვეთი<br>№7 | კვეთი<br>№8 |
|---------------------------------------|--------------|-------------|-------------|-------------|-------------|-------------|-------------|-------------|-------------|-------------|
| კვეთის დაშორება პიდროკვანძიდან        | კმ           | 0           | 30          | 35          | 44,5        | 48          | 54,2        | 74          | 77          | 80          |
| პეეთში წყლის მაქსიმალური ხარჯი        | ათ.მ³/<br>წთ | 67,2        | 14,6        | 13,3        | 11,38       | 10,87       | 9,97        | 8,13        | 7,81        | 7,61        |
| <b>დრო:</b>                           |              |             |             |             |             |             |             |             |             |             |
| ტალღის ფრონტის დაწევის                | წთ           | 0           | 53,7        | 64,8        | 85,4        | 99,92       | 118,2       | 188,9       | 201,4       | 216,3       |
| ტალღის დაწევის                        | წთ           | 0           | 90,6        | 112         | 160,5       | 176,8       | 202,1       | 322         | 366,5       | 350,6       |
| ტალღის კუდის დაწევის                  | წთ           | 277         | 777         | 861         | 1019        | 1077        | 1181        | 1511        | 1561        | 1611        |
| დატბორვის                             | წთ           | 277         | 724         | 796         | 933,7       | 977,5       | 1063        | 1322        | 1359        | 1394        |
| დინების მაქსიმალური სიჩქარე           | გ/წთ         | 16          | 10,8        | 12,9        | 4,69        | 9,08        | 6,33        | 6,01        | 4,58        | 4,95        |
| ტალღის სიმაღლე                        | მ            | 41,1        | 16,2        | 23,8        | 5,15        | 12,74       | 7,01        | 6,01        | 4,13        | 4,64        |
| დატბორვის მაქსიმალური სიღრმე          | მ            | 42,1        | 17,2        | 26,8        | 7,15        | 14,74       | 8,01        | 8,01        | 5,12        | 5,64        |
| დატბორვის მაქსიმალური ნიშნული         | მ            | 762         | 496         | 449         | 403,2       | 405,7       | 382         | 333         | 326,8       | 317,6       |
| <b>დატბორვის მაქსიმალური სიმაღლე:</b> |              |             |             |             |             |             |             |             |             |             |
| მდინარის მარცხენა ნაპირზე             | მ            | 125         | 251         | 316         | 500         | 434,1       | 163,2       | 107,5       | 58,12       | 788,9       |
| მდინარის მარჯვენა ნაპირზე             | მ            | 125         | 105         | 73,8        | 1059        | 79,69       | 570,3       | 547,9       | 771,9       | 46,5        |



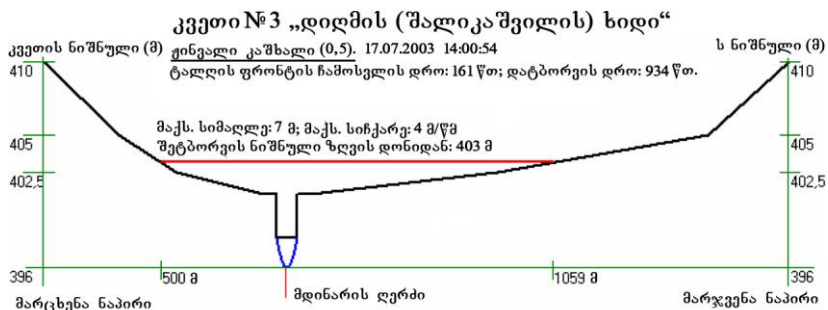
ნახ. 5.20



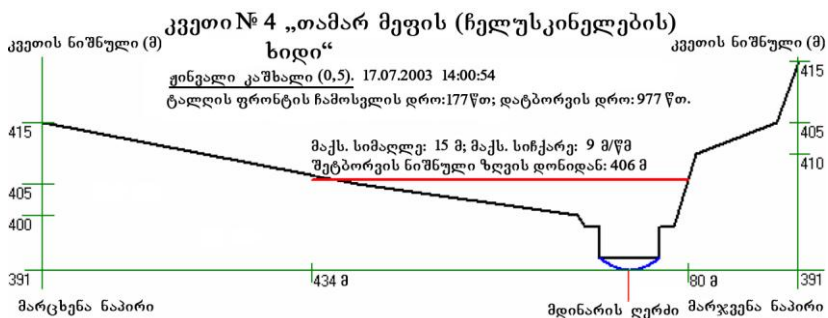
ნახ. 5.21



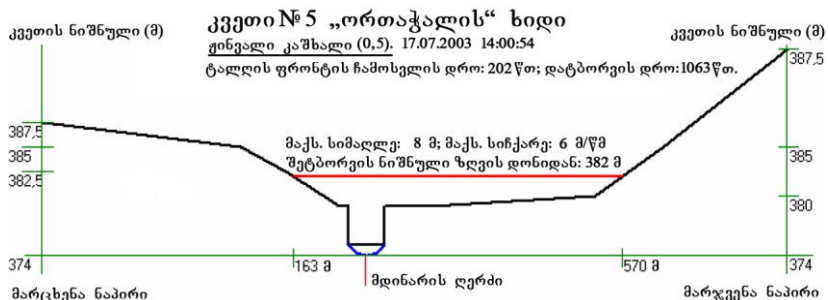
ნახ. 5.22



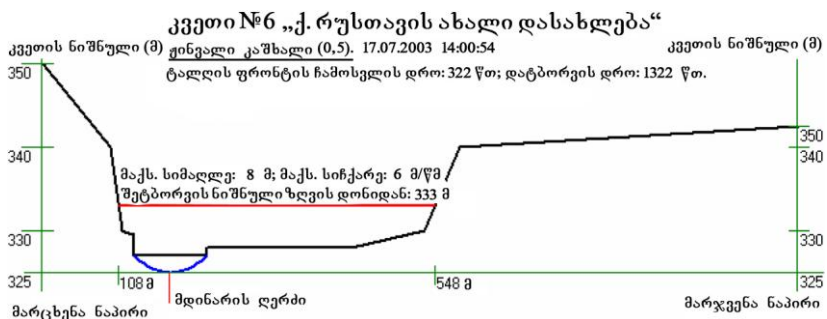
656. 5.23



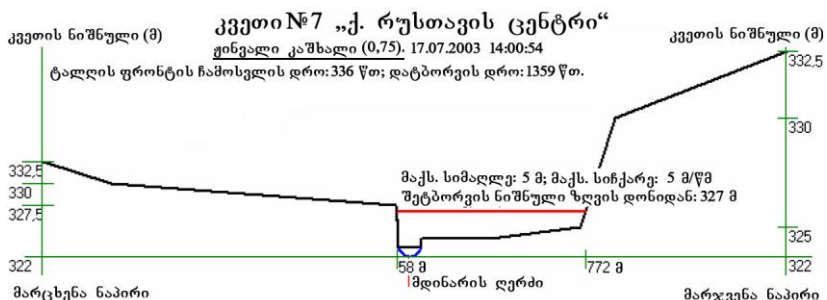
69b. 5.24



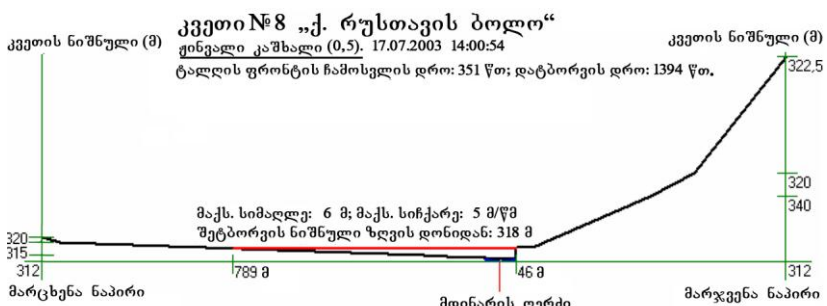
65b. 5.25



ნახ. 5.26



ნახ. 5.27



ნახ. 5.28

ცხრილი 5.10

სამუშაოს ანგარიში

დრო: 17:07:2003, 18:28:04

დასახელება: ჟინგალის ქაშხალი (0,25)

135

| პიგივანის საწყისი მონაცემები:                            | განზ.              | ერთ. | რაოდ. |
|--|--------------------|------|-------|
| 1. წყალსაცავის მოცულობა ნორმალური შეტბორვის დონეზე (ნშდ) | მლნ მ <sup>3</sup> |      | 520   |
| 2. წყალსაცავის სიღრმე კაშხალობან ნშდ-ზე                  | მ                  |      | 96    |
| 3. სარკის ზედაპირის ფართობი ნშდ-ზე                       | მლნ მ <sup>3</sup> |      | 7,33  |
| 4. კაშხლის სიგანე ნშდ-ზე                                 | მ                  |      | 415   |
| 5. მდინარის სიღრმე კაშხლის ქვედა ბიეფში                  | მ                  |      | 1     |
| 6. მდინარის სიგანე კაშხლის ქვედა ბიეფში                  | მ                  |      | 25    |
| 7. მდინარის სიჩქარე კაშხლის ქვედა ბიეფში                 | მ/წმ               |      | 1     |
| 8. წყალსაცავის სიღრმე კაშხლის ავარიის მომენტში           | მ                  |      | 96    |
| 9. კაშხლის ნერევის ხარისხი                               | მ                  |      | 0,25  |
| 10. მდინარის კალაპოტის ნაპირის რღვეულის სიმაღლე          | მ                  |      | 72    |
| 11. წყალსაცავში წყლის ნორმალური შეტბორვის ნიშნული        | მ                  |      | 816   |
| 12. მდინარის კალაპოტში განივი პროფილების რაოდენობა       | გ                  |      | 8     |

ცხრილი 5.11

| განივი პერიოდის დახასიათება     | გან.<br>ერთ. | კვეთი<br>№1 | კვეთი<br>№2 | კვეთი<br>№3 | კვეთი<br>№4 | კვეთი<br>№5 | კვეთი<br>№6 | კვეთი<br>№7 | კვეთი<br>№8 |
|---------------------------------|--------------|-------------|-------------|-------------|-------------|-------------|-------------|-------------|-------------|
| 1                               | 2            | 3           | 4           | 5           | 6           | 7           | 8           | 9           | 10          |
| i-ური კვეთის დაცილება კაშხლიდან | გმ           | 30          | 35          | 44,5        | 48          | 54,2        | 74          | 77          | 80          |

ხვედრითი ნაკადი:

|                         |      |     |     |     |     |     |     |       |     |
|-------------------------|------|-----|-----|-----|-----|-----|-----|-------|-----|
| წყლის შეტბორვის ნიშნული | გ    | 480 | 425 | 398 | 393 | 375 | 327 | 322,7 | 313 |
| სიღრმე                  | გ    | 1   | 3   | 2   | 2   | 1   | 2   | 1     | 1   |
| სიგანე                  | გ    | 70  | 60  | 80  | 82  | 80  | 150 | 100   | 93  |
| ნაკადის სიჩქარე         | გ/წმ | 1   | 1   | 1   | 1   | 1   | 1   | 1     | 1   |

მარცხენა ნაპირი

|  |   |     |     |       |     |     |     |       |      |
|--|---|-----|-----|-------|-----|-----|-----|-------|------|
| მდინარის ნაპირის რღვეულის<br>სიმაღლე       | გ | 7   | 2   | 3     | 5   | 4   | 2,5 | 3     | 0,5  |
| მდინარის ნოდა კალაპოტის სიგანე             | გ | 50  | 10  | 50    | 20  | 20  | 5   | 5     | 40   |
| ნიშნული №1                                 | გ | 490 | 435 | 402,5 | 400 | 383 | 330 | 327,5 | 315  |
| მანძილი მდინარის ღერძიდან №1<br>ნიშნულამდე | გ | 137 | 50  | 440   | 71  | 180 | 100 | 60    | 225  |
| ნიშნული №2                                 | გ | 520 | 440 | 405   | 405 | 385 | 340 | 330   | 320  |
| მანძილი მდინარის ღერძიდან №2<br>ნიშნულამდე | გ | 687 | 70  | 670   | 371 | 280 | 125 | 1310  | 1295 |

**ცხრილი 5.11 (გაგრძელება)**

| 1  | 2 | 3    | 4   | 5     | 6   | 7   | 8    | 9     | 10    |
|--|---|------|-----|-------|-----|-----|------|-------|-------|
| ნიშნული №3                                 | გ | 680  | 490 | 410   | 415 | 388 | 350  | 332,5 | 322,5 |
| მანძილი მდინარის ღერძიდან №3<br>ნიშნულამდე | გ | 2437 | 340 | 970   | 800 | 720 | 265  | 1610  | 1345  |
| <b>მარჯვენა ნაპირი</b>                     |   |      |     |       |     |     |      |       |       |
| მდინარის ნაპირის რღვეულის<br>სიმაღლე       | გ | 15   | 8   | 3     | 5   | 4   | 1    | 1     | 5     |
| მდინარის ნოდა კალაპოტის სიგანე             | გ | 30   | 25  | 50    | 20  | 100 | 300  | 300   | 50    |
| ნიშნული №1                                 | გ | 520  | 435 | 402,5 | 410 | 380 | 330  | 325   | 340   |
| მანძილი მდინარის ღერძიდან №1<br>ნიშნულამდე | გ | 912  | 60  | 840   | 90  | 510 | 525  | 750   | 440   |
| ნიშნული №2                                 | გ | 600  | 445 | 405   | 415 | 385 | 340  | 337,5 | 350   |
| მანძილი მდინარის ღერძიდან №2<br>ნიშნულამდე | გ | 1137 | 70  | 1680  | 200 | 660 | 600  | 900   | 570   |
| ნიშნული №3                                 | გ | 680  | 490 | 410   | 425 | 395 | 343  | 345   | 400   |
| მანძილი მდინარის ღერძიდან №3<br>ნიშნულამდე | გ | 1637 | 540 | 2000  | 230 | 940 | 1300 | 1650  | 840   |

ცხრილი 5.12

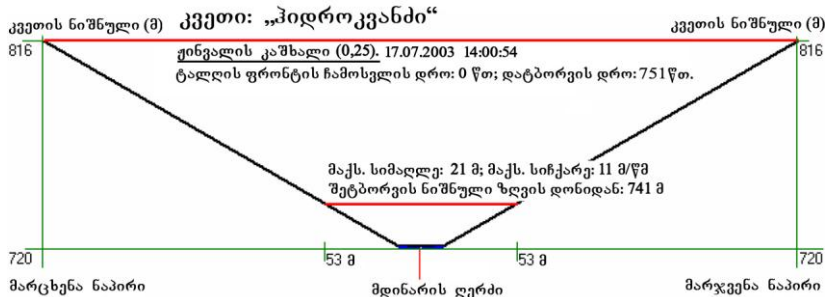
| გაშელის განგრევის პარამეტრები  | გან.<br>ერთ. | გვეთი<br>№0 | გვეთი<br>№1 | გვეთი<br>№2 | გვეთი<br>№3 | გვეთი<br>№4 | გვეთი<br>№5 | გვეთი<br>№6 | გვეთი<br>№7 | გვეთი<br>№8 |
|--------------------------------|--------------|-------------|-------------|-------------|-------------|-------------|-------------|-------------|-------------|-------------|
| კვეთის დაშორება ჰიდროკვანძიდან | ქმ           | 0           | 30          | 35          | 44,5        | 48          | 54,2        | 74          | 77          | 80          |
| კვეთში წყლის მაქსიმალური ხარჯი | მთ.მ³/<br>წთ | 13,2        | 4,78        | 4,56        | 4,11        | 3,99        | 3,73        | 3,32        | 3,15        | 3,10        |

დრო:

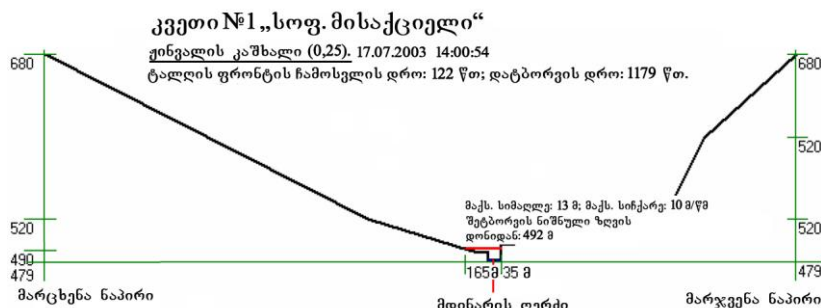
|                               |      |      |       |       |       |       |       |       |       |       |
|-------------------------------|------|------|-------|-------|-------|-------|-------|-------|-------|-------|
| ტალღის ფრონტის დაწევის        | წთ   | 0    | 71,51 | 83,09 | 105,8 | 120,7 | 139,8 | 217,5 | 232,9 | 250,2 |
| ტალღის დაწევის                | წთ   | 0    | 122,4 | 151,8 | 209,4 | 230,6 | 262,6 | 407,7 | 425,4 | 442,2 |
| ტალღის კუდის დაწევის          | წთ   | 751  | 1251  | 1334  | 1492  | 1551  | 1654  | 1984  | 2034  | 2084  |
| დატბორვის                     | წთ   | 751  | 1179  | 1251  | 1386  | 1430  | 1514  | 1766  | 1801  | 1834  |
| დინების მაქსიმალური სიჩქარე   | მ/წთ | 11,2 | 9,78  | 11,38 | 4,28  | 8,52  | 5,68  | 4,54  | 3,66  | 4,39  |
| ტალღის სიმაღლე                | მ    | 19,6 | 11,51 | 15,96 | 3,7   | 9,38  | 5,03  | 3,24  | 2,52  | 3,29  |
| დატბორვის მაქსიმალური სიღრმე  | მ    | 20,6 | 12,51 | 18,96 | 5,7   | 11,38 | 6,03  | 5,24  | 3,52  | 4,29  |
| დატბორვის მაქსიმალური ნიშნული | მ    | 741  | 491,5 | 441   | 401,7 | 402,4 | 380   | 330,2 | 325,2 | 316,3 |

დატბორვის მაქსიმალური სიმაღლე:

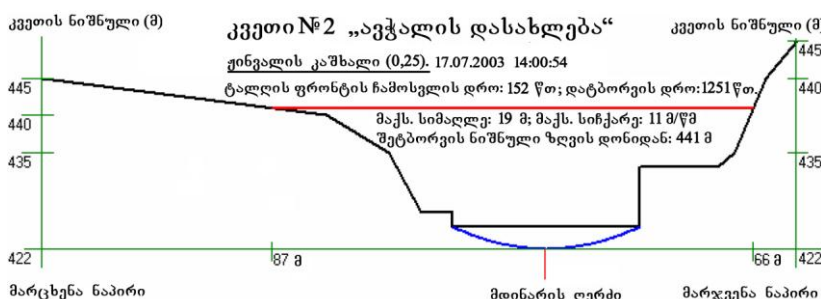
|                           |   |      |       |       |       |       |       |       |       |       |
|---------------------------|---|------|-------|-------|-------|-------|-------|-------|-------|-------|
| მდინარის მარცხენა ნაპირზე | მ | 80,5 | 164,7 | 87,19 | 252,4 | 213,9 | 95,22 | 100,6 | 50    | 500,3 |
| მდინარის მარჯვენა ნაპირზე | მ | 80,5 | 35    | 65,96 | 438   | 71,59 | 510,8 | 526,8 | 752,7 | 46,5  |



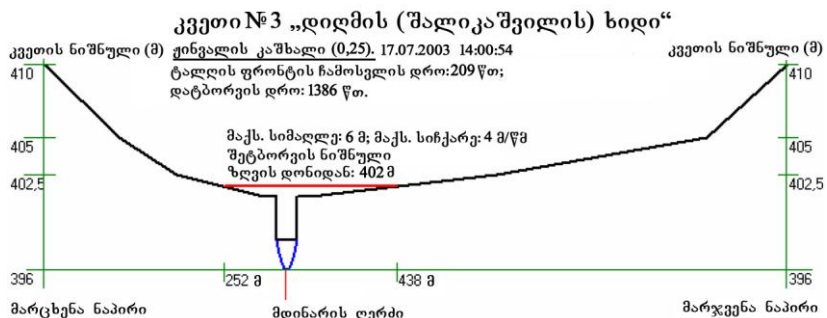
ნახ. 5.29



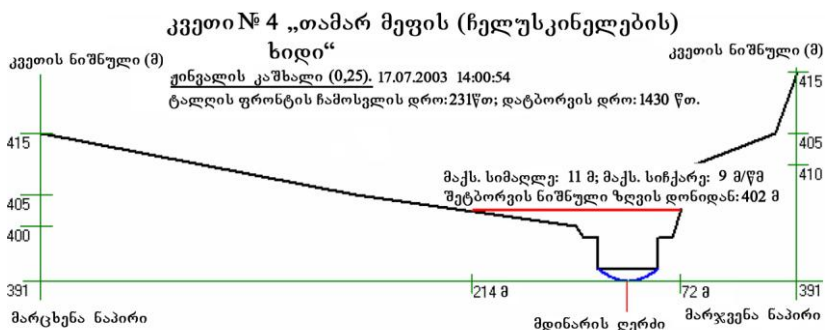
ნახ. 5.30



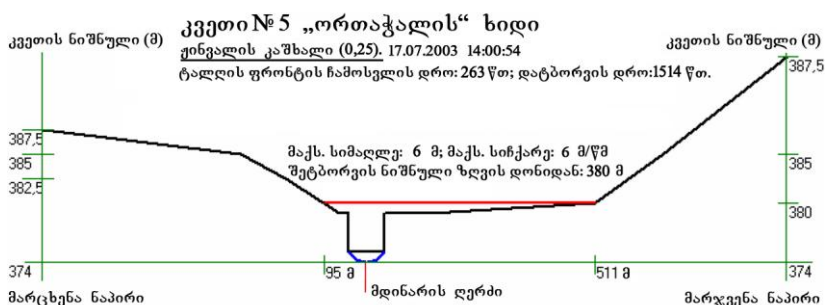
ნახ. 5.31



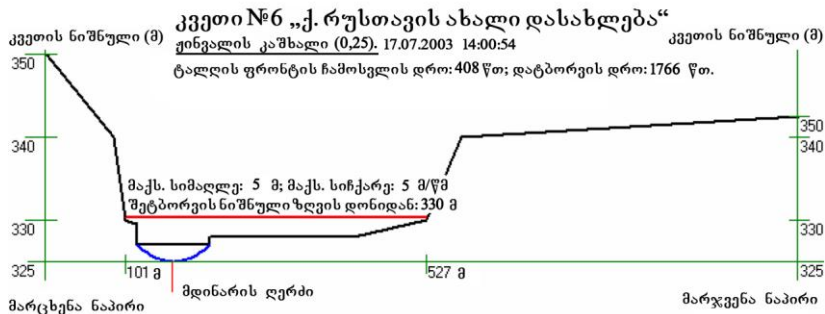
ნახ. 5.32



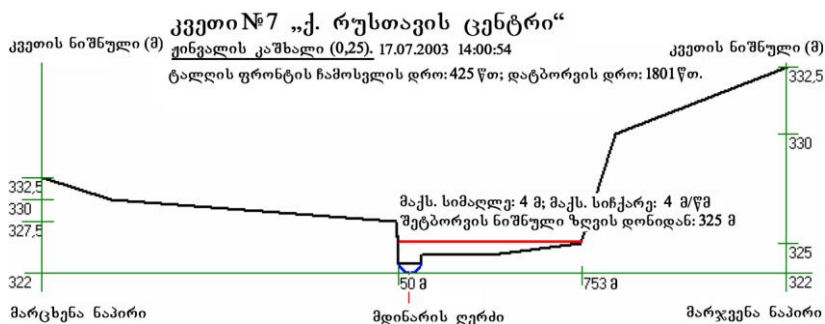
ნახ. 5.33



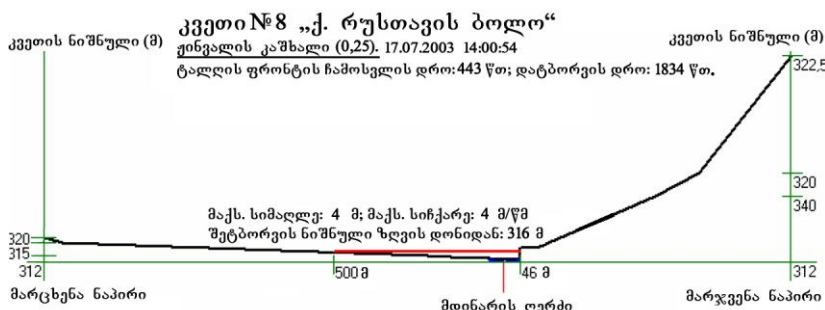
ნახ. 5.34



69b. 5.35



69b. 5.36



68b. 5.37

## 5.4. სიონის კაშხლის შესაძლო აგარის პრობნოზირვა

სიონის წყალსაცავი მდებარეობს თიანეთის რაიონის სოფელ სიონში, ივრის ქეობაში. მდინარე იორზე ზღვის დონიდან 415 მ სიმაღლეზე აშენებულია მიწის ნაფარი კაშხლი, რომლის ზედა ბიეფი მოპირკეთებულია ბეტონის ფილებით. კაშხლის სიმაღლე 62 მ-ის, ხოლო სიგანე 850 მ-ის ფარგლებში მერყეობს [43].

სიონის წყალსაცავის მოცულობა 433 მლნ მ<sup>3</sup>-ის ფარგლებში მერყეობს, ხოლო სარკის ზედაპირის ფართობი – 12,8 მლნ მ<sup>2</sup>-ის ფარგლებში.

სიონის კაშხლის ავარიის დატბორილი ტერიტორიის ფართობის დადგენის მიზნით შერჩეული იყო განივი კვეთები დასახლებულ პუნქტებთან (სურ. 5.38).

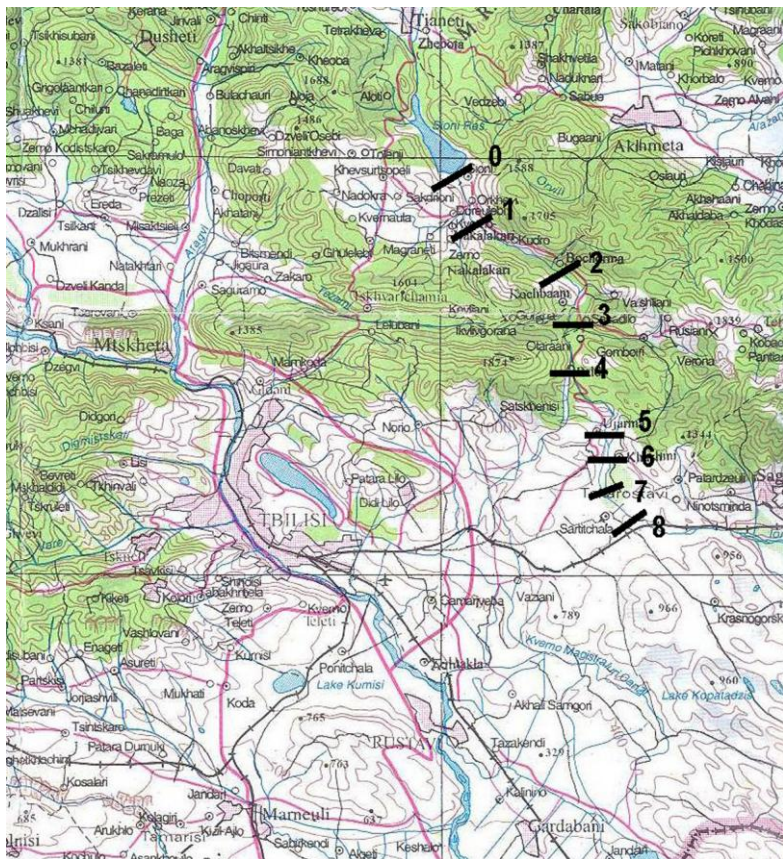
მათი დაცილება კაშხლის ტანიდან მოცემულია ქვემოთ:

1. სოფ. ქვედა და ზედა ნაქალაქარი – 5,0 (კმ);
2. სოფ. ბოჭორმა – 13,0 (კმ);
3. სოფ. სასაფილო – 19,5 (კმ);
4. სოფ. პალდო – 25,5 (კმ);
5. სოფ. უჯარმა – 34,0 (კმ);
6. სოფ. ხაშმი – 36,0 (კმ);
7. სოფ. მუღანლო – 39,0 (კმ);
8. სოფ. სართიჭალა – 41,5 (კმ).

სიონის კაშხლის ავარიის შემთხვევაში დასახლებულ პუნქტებში ანუ შერჩეულ კვეთებში წყალდიდობის პირველი დარტყმის ტალღა ჩამოვა შემდეგ დროში:

1. სოფ. ქვედა და ზედა ნაქალაქარი – 9,58 (წთ);

2. სოფ. ბოჭორმა – 32,4 (წო);
3. სოფ. სახადილო – 49,4 (წო);
4. სოფ. პალდო – 71,8 (წო);
5. სოფ. უჯარმა – 106,0 (წო);
6. სოფ. ხაშმი – 114,0 (წო);
7. სოფ. მუღალნო – 128,0 (წო);
8. სოფ. სართიჭალა – 141 (წო).



სურ. 5.38. საანგარიშო კვეთების სქემა

მდინარე იორზე სიონის კაშხლის ავარიის შემთხვევაში, მდინარის დერძიდან მარცხენა და მარჯვენა მხარეს დატბორილი ტერიტორიის გეომეტრიული ზომები, ტალღის სიჩქარე და წყლის სიღრმე ტოლია:

1. სოფ. ქვედა და ზედა ნაქალაქარი  
მარცხნივ – 462 (მ), მარჯვნივ – 473 (მ),

ტალღის სიღრმე – 22 (მ),

ტალღის სიჩქარე – 10 (მ/წმ);

2. სოფ. ბოჭორმა  
მარცხნივ – 183 (მ), მარჯვნივ – 227 (მ),

ტალღის სიღრმე – 21 (მ),

ტალღის სიჩქარე – 11 (მ/წმ);

3. სოფ. სასადილო  
მარცხნივ – 563 (მ), მარჯვნივ – 51 (მ),

ტალღის სიღრმე – 12 (მ),

ტალღის სიჩქარე – 7 (მ/წმ);

4. სოფ. პალდო  
მარცხნივ – 775 (მ), მარჯვნივ – 184 (მ),

ტალღის სიღრმე – 10 (მ),

ტალღის სიჩქარე – 7 (მ/წმ);

5. სოფ. უჯარმა  
მარცხნივ – 205 (მ), მარჯვნივ – 642 (მ),

ტალღის სიღრმე – 8 (მ),

ტალღის სიჩქარე – 7 (მ/წმ);

6. სოფ. ხაშმი  
მარცხნივ – 328 (მ), მარჯვნივ – 770 (მ),

ტალღის სიღრმე – 7 (გ),  
ტალღის სიჩქარე – 6 (გ/წგ);

#### 7. სოფ. მუდანლო

მარცხნივ – 963 (გ), მარჯვნივ – 250 (გ),  
ტალღის სიღრმე – 6 (გ),  
ტალღის სიჩქარე – 5 (გ/წგ);

#### 8. სოფ. სართიჭალა

მარცხნივ – 590 (გ), მარჯვნივ – 940 (გ),  
ტალღის სიღრმე – 5 (გ),  
ტალღის სიჩქარე – 4 (გ/წგ).

სიონის კაშხლის ავარიის შემთხვევაში ტალღის ძირითადი პიდროლოგიური და პიდრავლიკური მახასიათებლები მოცემულია ცხრილებში 5.13-5.15, სადაც მოყვანილია სიონის კაშხლის ავარიის მონაცემები, როდესაც ნაგებობის ნგრევის ხარისხი 1,0% უზრუნველყოფის ტოლია. 5.16-5.18 ცხრილებში – სიდიდეები, როდესაც კაშხლის ნგრევის ხარისხი 0,75% უზრუნველყოფის ტოლია, 5.19-5.21 ცხრილებში – მონაცემები, რომელიც შეესაბამება 0,50%-იან უზრუნველყოფას, ხოლო 5.22-5.24 ცხრილებში - მონაცემები, რომელიც შეესაბამება ნგრევის 0,25%-იან უზრუნველყოფას. შესაბამისი გრაფიკული მასალა მოცემულია ნახაზებზე 5.39-5.74.

ცხრილი 5.13

სამუშაოს ანგარიში

დრო: 17:07:2003, 14:49:27

დასახელება: სიონის კაშხალი (1,0)

14

| პიგივანის საწყისი მონაცემები:                            | განზ.              | ერთ. | რაოდ. |
|--|--------------------|------|-------|
| 1. წყალსაცავის მოცულობა ნორმალური შეტბორვის დონეზე (ნშდ) | მლნ მ <sup>3</sup> |      | 433   |
| 2. წყალსაცავის სიღრმე კაშხალობან ნშდ-ზე                  | მ                  |      | 62    |
| 3. სარკის ზედაპირის ფართობი ნშდ-ზე                       | მლნ მ <sup>3</sup> |      | 12,8  |
| 4. კაშხლის სიგანე ნშდ-ზე                                 | მ                  |      | 850   |
| 5. მდინარის სიღრმე კაშხლის ქვედა ბიეფში                  | მ                  |      | 0,88  |
| 6. მდინარის სიგანე კაშხლის ქვედა ბიეფში                  | მ                  |      | 75    |
| 7. მდინარის სიჩქარე კაშხლის ქვედა ბიეფში                 | მ/წ                |      | 1     |
| 8. წყალსაცავის სიღრმე კაშხლის ავარიის მომენტში           | მ                  |      | 62    |
| 9. კაშხლის ნერევის ხარისხი                               | მ                  |      | 1     |
| 10. მდინარის კალაპოტის ნაპირის რღვეულის სიმაღლე          | მ                  |      | 1     |
| 11. წყალსაცავში წყლის ნორმალური შეტბორვის ნიშნული        | მ                  |      | 1068  |
| 12. მდინარის კალაპოტში განივი პროფილების რაოდენობა       | გ                  |      | 8     |

**ცხრილი 5.14**

| განივი პერიოდის დახასიათება             | გან.<br>ერთ. | კვეთი<br>№1 | კვეთი<br>№2 | კვეთი<br>№3 | კვეთი<br>№4 | კვეთი<br>№5 | კვეთი<br>№6 | კვეთი<br>№7 | კვეთი<br>№8 |
|---|--------------|-------------|-------------|-------------|-------------|-------------|-------------|-------------|-------------|
| <b>1</b>                                | <b>2</b>     | <b>3</b>    | <b>4</b>    | <b>5</b>    | <b>6</b>    | <b>7</b>    | <b>8</b>    | <b>9</b>    | <b>10</b>   |
| ი-ური კვეთის დაცილება კაშხლიდან         | გმ           | 5           | 13          | 19,5        | 25,5        | 34          | 36          | 39          | 41,5        |
| <b>ხვედრითი ნაკადი:</b>                 |              |             |             |             |             |             |             |             |             |
| წყლის შეტბორვის ნიშნული                 | გ            | 990         | 940         | 880         | 835         | 758         | 730         | 710         | 690         |
| სიღრმე                                  | გ            | 1           | 0,5         | 0,6         | 0,5         | 0,5         | 0,5         | 0,4         | 0,4         |
| სიგანე                                  | გ            | 35          | 30          | 30          | 20          | 120         | 60          | 80          | 80          |
| ნაკადის სიჩქარე                         | გ/წმ         | 1,2         | 1,2         | 1,2         | 1,2         | 1,2         | 1,2         | 1,1         | 1,1         |
| <b>მარცხენა ნაპირი</b>                  |              |             |             |             |             |             |             |             |             |
| მდინარის ნაპირის რღვეულის სიმაღლე       | გ            | 0,8         | 0,7         | 0,1         | 0,4         | 0,5         | 0,5         | 0,1         | 0,1         |
| მდინარის ნოდა კალაპოტის სიგანე          | გ            | 30          | 35          | 500         | 20          | 5           | 40          | 500         | 450         |
| ნიშნული №1                              | გ            | 1000        | 960         | 900         | 840         | 780         | 740         | 720         | 705         |
| მანძილი მდინარის ღერძიდან №1 ნიშნულამდე | გ            | 420         | 175         | 600         | 175         | 480         | 450         | 1350        | 850         |
| ნიშნული №2                              | გ            | 1020        | 980         | 920         | 850         | 790         | 760         | 740         | 710         |
| მანძილი მდინარის ღერძიდან №2 ნიშნულამდე | გ            | 500         | 350         | 650         | 1550        | 980         | 800         | 1450        | 1350        |

**ცხრილი 5.14 (გაგრძელება)**

| 1  | 2 | 3    | 4    | 5   | 6    | 7    | 8    | 9    | 10   |
|--|---|------|------|-----|------|------|------|------|------|
| ნიშნული №3                                 | მ | 1040 | 1000 | 960 | 860  | 800  | 780  | 745  | 734  |
| მანძილი მდინარის ღერძიდან №3<br>ნიშნულამდე | მ | 600  | 825  | 750 | 2100 | 1480 | 1350 | 1500 | 2250 |
| <b>მარჯვენა ნაპირი</b>                     |   |      |      |     |      |      |      |      |      |
| მდინარის ნაპირის რღვეულის<br>სიმაღლე       | მ | 0.8  | 0.7  | 0.1 | 0.4  | 0.5  | 0.5  | 0.1  | 0.1  |
| მდინარის ნოდა კალაპოტის სიგანე             | მ | 30   | 35   | 5   | 20   | 5    | 40   | 100  | 500  |
| ნიშნული №1                                 | მ | 1000 | 960  | 900 | 840  | 760  | 740  | 720  | 700  |
| მანძილი მდინარის ღერძიდან №1<br>ნიშნულამდე | მ | 420  | 225  | 75  | 140  | 570  | 110  | 350  | 1500 |
| ნიშნული №2                                 | მ | 1020 | 980  | 920 | 860  | 780  | 760  | 730  | 709  |
| მანძილი მდინარის ღერძიდან №2<br>ნიშნულამდე | მ | 520  | 275  | 500 | 340  | 820  | 1200 | 1250 | 2650 |
| ნიშნული №3                                 | მ | 1040 | 1000 | 940 | 880  | 800  | 780  | 750  | 726  |
| მანძილი მდინარის ღერძიდან №3<br>ნიშნულამდე | მ | 700  | 325  | 725 | 490  | 1270 | 1350 | 2200 | 4650 |

**ცხრილი 5.15**

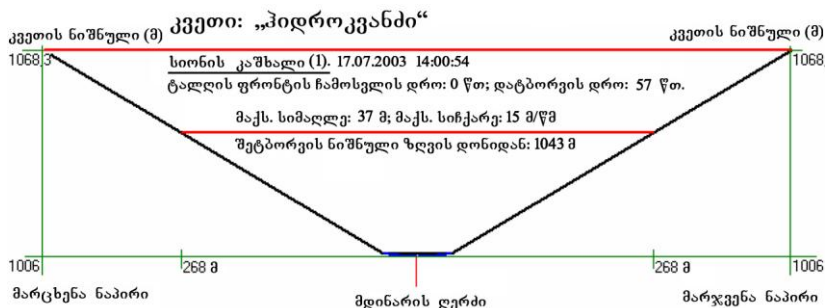
| გაშელის განგრევის პარამეტრები  | გან.<br>ერთ. | გვეთი<br>№0 | გვეთი<br>№1 | გვეთი<br>№2 | გვეთი<br>№3 | გვეთი<br>№4 | გვეთი<br>№5 | გვეთი<br>№6 | გვეთი<br>№7 | გვეთი<br>№8 |
|--------------------------------|--------------|-------------|-------------|-------------|-------------|-------------|-------------|-------------|-------------|-------------|
| კვეთის დაშორება პიდროკვანძიდან | ქმ           | 0           | 5           | 13          | 19,5        | 25,5        | 34          | 36          | 39          | 41,5        |
| კვეთში წყლის მაქსიმალური ხარჯი | მთ.მ³/<br>წთ | 155         | 123,3       | 70,3        | 51,8        | 42,5        | 34,2        | 32,6        | 30,4        | 28,9        |

**დრო:**

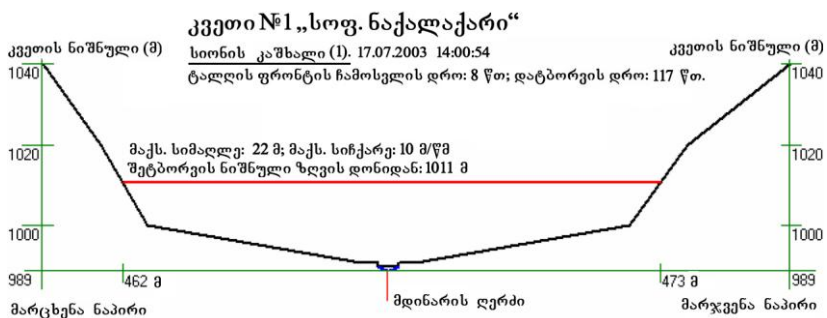
|                               |      |      |       |      |      |      |      |      |      |      |
|-------------------------------|------|------|-------|------|------|------|------|------|------|------|
| ტალღის ფრონტის დაწევის        | წთ   | 0    | 9,58  | 32,4 | 49,4 | 71,8 | 106  | 114  | 128  | 141  |
| ტალღის დაწევის                | წთ   | 0    | 8,31  | 18,1 | 29,5 | 39,6 | 58,9 | 63,2 | 70,4 | 76,9 |
| ტალღის კუდის დაწევის          | წთ   | 57,2 | 126,6 | 238  | 328  | 411  | 529  | 557  | 603  | 641  |
| დატბორვის                     | წთ   | 57,2 | 117   | 205  | 279  | 340  | 423  | 443  | 474  | 499  |
| დინების მაქსიმალური სიჩქარე   | მ/წთ | 15,2 | 9,97  | 11,1 | 7,44 | 6,52 | 6,79 | 5,93 | 5,13 | 4,42 |
| ტალღის სიმაღლე                | მ    | 36,3 | 20,58 | 20,9 | 11,4 | 9,36 | 7,73 | 6,95 | 5,27 | 4,23 |
| დატბორვის მაქსიმალური სიღრმე  | მ    | 37,2 | 21,58 | 21,4 | 12   | 9,86 | 8,23 | 7,45 | 5,67 | 4,63 |
| დატბორვის მაქსიმალური ხიშნული | მ    | 1044 | 1011  | 961  | 891  | 844  | 766  | 737  | 715  | 694  |

**დატბორვის მაქსიმალური სიმაღლე:**

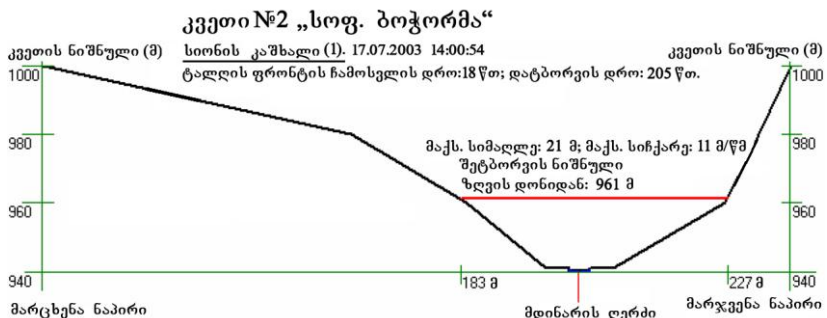
|                           |   |     |       |     |      |     |     |     |     |     |
|---------------------------|---|-----|-------|-----|------|-----|-----|-----|-----|-----|
| მდინარის მარცხენა ნაპირზე | მ | 318 | 462,3 | 183 | 563  | 772 | 205 | 328 | 963 | 590 |
| მდინარის მარჯვენა ნაპირზე | მ | 318 | 472,9 | 227 | 51,3 | 184 | 642 | 770 | 250 | 940 |



ნახ. 5.39

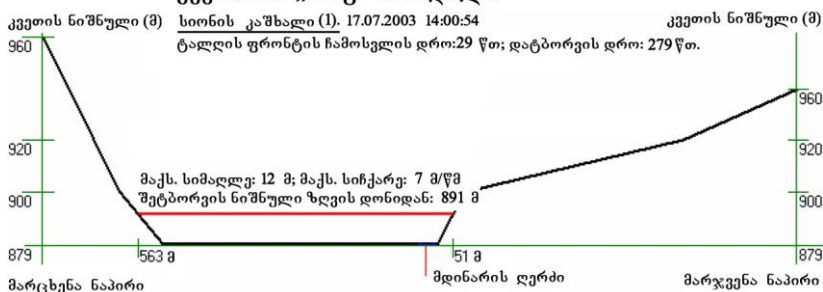


ნახ. 5.40



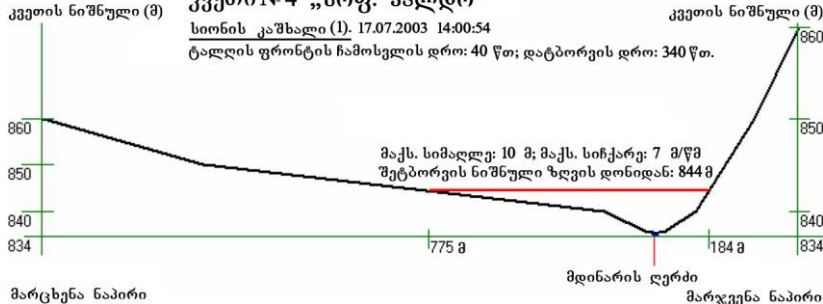
ნახ. 5.41

### კვეთი №3 „სოფ. სასადილო“



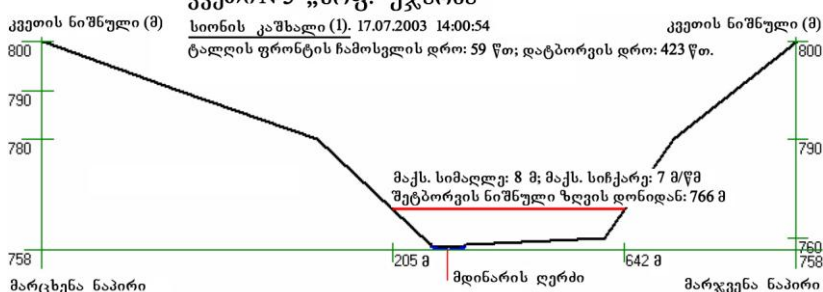
ნახ. 5.42

### კვეთი №4 „სოფ. პალდო“

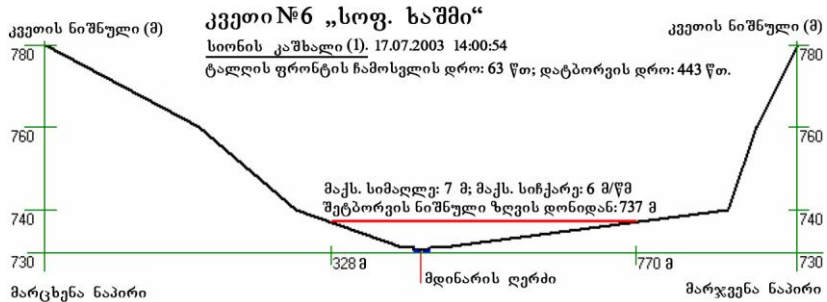


ნახ. 5.43

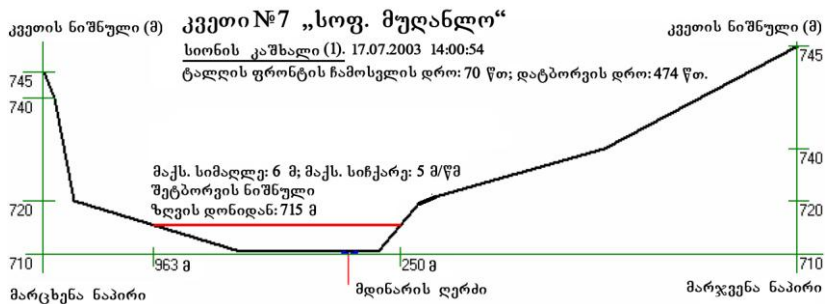
### კვეთი №5 „სოფ. უჯარმა“



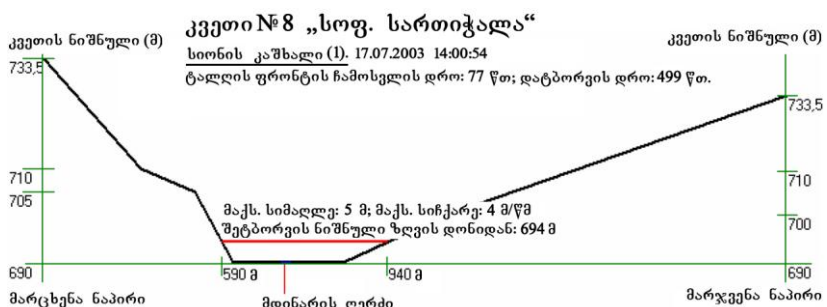
ნახ. 5.44



ნახ. 5.45



ნახ. 5.46



ნახ. 5.47

ცხრილი 5.16

სამუშაოს ანგარიში

დრო: 19:07:2003, 14:37:51

დასახელება: სიონის კაშხალი (0,75)

| პიგივანის საწყისი მონაცემები:                            | განზ.              | ერთ. | რაოდ. |
|--|--------------------|------|-------|
| 1. წყალსაცავის მოცულობა ნორმალური შეტბორვის დონეზე (ნშდ) | მლნ მ <sup>3</sup> |      | 433   |
| 2. წყალსაცავის სიღრმე კაშხალობან ნშდ-ზე                  | მ                  |      | 62    |
| 3. სარკის ზედაპირის ფართობი ნშდ-ზე                       | მლნ მ <sup>3</sup> |      | 12,8  |
| 4. კაშხლის სიგანე ნშდ-ზე                                 | მ                  |      | 850   |
| 5. მდინარის სიღრმე კაშხლის ქვედა ბიეფში                  | მ                  |      | 0,88  |
| 6. მდინარის სიგანე კაშხლის ქვედა ბიეფში                  | მ                  |      | 75    |
| 7. მდინარის სიჩქარე კაშხლის ქვედა ბიეფში                 | მ/წმ               |      | 1     |
| 8. წყალსაცავის სიღრმე კაშხლის ავარიის მომენტში           | მ                  |      | 62    |
| 9. კაშხლის ნერევის ხარისხი                               | მ                  |      | 0,75  |
| 10. მდინარის კალაპოტის ნაპირის რღვეულის სიმაღლე          | მ                  |      | 15,5  |
| 11. წყალსაცავში წყლის ნორმალური შეტბორვის ნიშნული        | მ                  |      | 1068  |
| 12. მდინარის კალაპოტში განივი პროფილების რაოდენობა       | გ                  |      | 8     |

ცხრილი 5.17

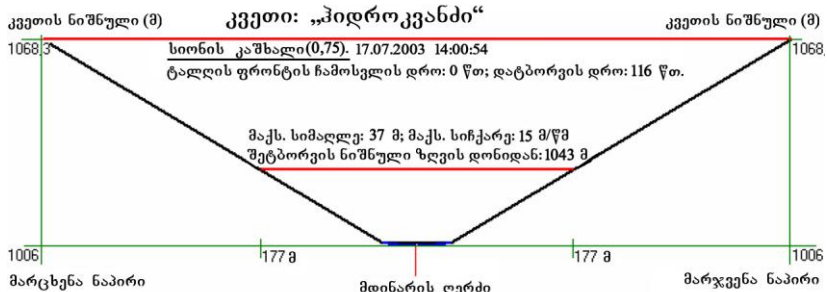
| განივი პერიოდის დახასიათება             | გან.<br>ერთ. | კვეთი<br>№1 | კვეთი<br>№2 | კვეთი<br>№3 | კვეთი<br>№4 | კვეთი<br>№5 | კვეთი<br>№6 | კვეთი<br>№7 | კვეთი<br>№8 |
|---|--------------|-------------|-------------|-------------|-------------|-------------|-------------|-------------|-------------|
| 1                                       | 2            | 3           | 4           | 5           | 6           | 7           | 8           | 9           | 10          |
| ი-ური კვეთის დაცილება კაშხლიდან         | გმ           | 5           | 13          | 19,5        | 25,5        | 34          | 36          | 39          | 41,5        |
| <b>ხვედრითი ნაკადი:</b>                 |              |             |             |             |             |             |             |             |             |
| წყლის შეტბორვის ნიშნული                 | გ            | 990         | 940         | 880         | 835         | 758         | 730         | 710         | 690         |
| სიღრმე                                  | გ            | 1           | 0,5         | 0,6         | 0,5         | 0,5         | 0,5         | 0,4         | 0,4         |
| სიგანე                                  | გ            | 35          | 30          | 30          | 20          | 120         | 60          | 80          | 80          |
| ნაკადის სიჩქარე                         | გ/წმ         | 1,2         | 1,2         | 1,2         | 1,2         | 1,2         | 1,2         | 1,1         | 1,1         |
| <b>მარცხენა ნაპირი</b>                  |              |             |             |             |             |             |             |             |             |
| მდინარის ნაპირის რღვეულის სიმაღლე       | გ            | 0,8         | 0,7         | 0,1         | 0,4         | 0,5         | 0,5         | 0,1         | 0,1         |
| მდინარის ნოდა კალაპოტის სიგანე          | გ            | 30          | 35          | 500         | 20          | 5           | 40          | 500         | 450         |
| ნიშნული №1                              | გ            | 1000        | 960         | 900         | 840         | 780         | 740         | 720         | 705         |
| მანძილი მდინარის ღერძიდან №1 ნიშნულამდე | გ            | 420         | 175         | 600         | 175         | 480         | 450         | 1350        | 850         |
| ნიშნული №2                              | გ            | 1020        | 980         | 920         | 850         | 790         | 760         | 740         | 710         |
| მანძილი მდინარის ღერძიდან №2 ნიშნულამდე | გ            | 500         | 350         | 650         | 1550        | 980         | 800         | 1450        | 1350        |

ცხრილი 5.17 (გაგრძელება)

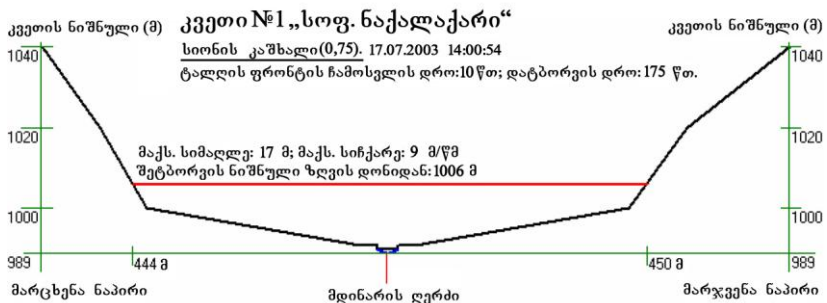
| 1  | 2 | 3    | 4    | 5   | 6    | 7    | 8    | 9    | 10   |
|--|---|------|------|-----|------|------|------|------|------|
| ნიშნული №3                                 | მ | 1040 | 1000 | 960 | 860  | 800  | 780  | 745  | 734  |
| მანძილი მდინარის ღერძიდან №3<br>ნიშნულამდე | მ | 600  | 825  | 750 | 2100 | 1480 | 1350 | 1500 | 2250 |
| <b>მარჯვენა ნაპირი</b>                     |   |      |      |     |      |      |      |      |      |
| მდინარის ნაპირის რღვეულის<br>სიმაღლე       | მ | 0.8  | 0.7  | 0.1 | 0.4  | 0.5  | 0.5  | 0.1  | 0.1  |
| მდინარის ნოდა კალაპოტის სიგანე             | მ | 30   | 35   | 5   | 20   | 5    | 40   | 100  | 500  |
| ნიშნული №1                                 | მ | 1000 | 960  | 900 | 840  | 760  | 740  | 720  | 700  |
| მანძილი მდინარის ღერძიდან №1<br>ნიშნულამდე | მ | 420  | 225  | 75  | 140  | 570  | 110  | 350  | 1500 |
| ნიშნული №2                                 | მ | 1020 | 980  | 920 | 860  | 780  | 760  | 730  | 709  |
| მანძილი მდინარის ღერძიდან №2<br>ნიშნულამდე | მ | 520  | 275  | 500 | 340  | 820  | 1200 | 1250 | 2650 |
| ნიშნული №3                                 | მ | 1040 | 1000 | 940 | 880  | 800  | 780  | 750  | 726  |
| მანძილი მდინარის ღერძიდან №3<br>ნიშნულამდე | მ | 700  | 325  | 725 | 490  | 1270 | 1350 | 2200 | 4650 |

**ცხრილი 5.18**

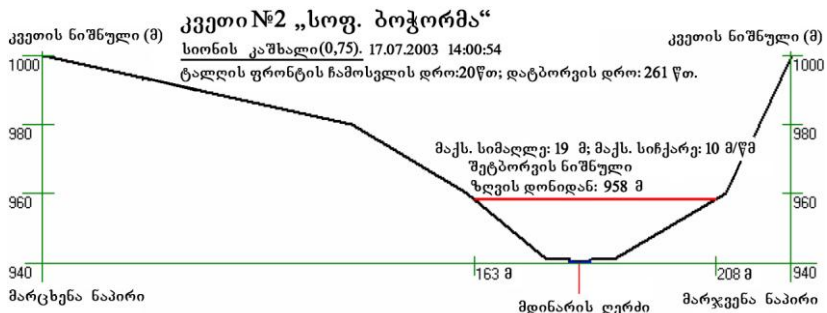
| გაშელის განგრევის პარამეტრები         | გან.<br>ერთ. | გვეთი<br>№0 | გვეთი<br>№1 | გვეთი<br>№2 | გვეთი<br>№3 | გვეთი<br>№4 | გვეთი<br>№5 | გვეთი<br>№6 | გვეთი<br>№7 | გვეთი<br>№8 |
|---------------------------------------|--------------|-------------|-------------|-------------|-------------|-------------|-------------|-------------|-------------|-------------|
| კვეთის დაშორება ჰიდროკვანძიდან        | ქმ           | 0           | 5           | 13          | 19,5        | 25,5        | 34          | 36          | 39          | 41,5        |
| კვეთში წყლის მაქსიმალური ხარჯი        | მთ.მ³/<br>წთ | 155         | 75,83       | 51          | 39,9        | 33,9        | 28          | 26,9        | 25,3        | 24,2        |
| <b>დრო:</b>                           |              |             |             |             |             |             |             |             |             |             |
| ტალღის ფრონტის დაწევის                | წთ           | 0           | 9,6         | 35,2        | 53,2        | 77,3        | 113         | 121         | 135         | 149         |
| ტალღის დაწევის                        | წთ           | 0           | 9,55        | 20,3        | 32,6        | 43,2        | 63,7        | 68,2        | 75,9        | 82,7        |
| ტალღის კუდის დაწევის                  | წთ           | 116         | 185         | 296         | 386         | 470         | 588         | 616         | 661         | 699         |
| დატბორვის                             | წთ           | 116         | 175,4       | 261         | 333         | 392         | 475         | 494         | 526         | 550         |
| დინების მაქსიმალური სიჩქარე           | მ/წთ         | 15,2        | 8,73        | 10,4        | 6,82        | 6,3         | 6,43        | 5,72        | 4,88        | 4,19        |
| ტალღის სიმაღლე                        | მ            | 36,3        | 16,03       | 18,2        | 9,78        | 8,69        | 6,96        | 6,44        | 4,79        | 3,83        |
| დატბორვის მაქსიმალური სიღრმე          | მ            | 37,2        | 17,03       | 18,7        | 10,4        | 9,19        | 7,46        | 6,94        | 5,19        | 4,23        |
| დატბორვის მაქსიმალური ხიზნული         | მ            | 1044        | 1006        | 958         | 890         | 844         | 765         | 736         | 715         | 694         |
| <b>დატბორვის მაქსიმალური სიმაღლე:</b> |              |             |             |             |             |             |             |             |             |             |
| მდინარის მარცხენა ნაპირზე             | მ            | 318         | 444,1       | 163         | 556         | 682         | 190         | 307         | 923         | 580         |
| მდინარის მარჯვენა ნაპირზე             | მ            | 318         | 450,2       | 208         | 49,8        | 177         | 632         | 714         | 239         | 902         |



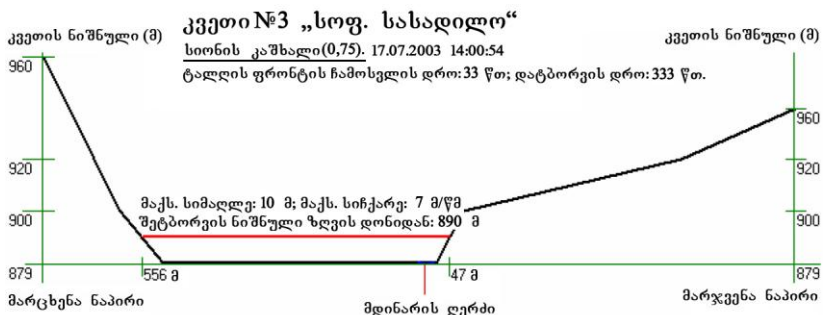
ნახ. 5.48



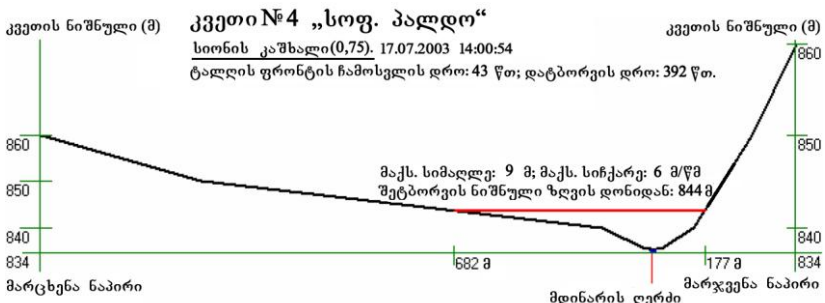
ნახ. 5.49



ნახ. 5.50



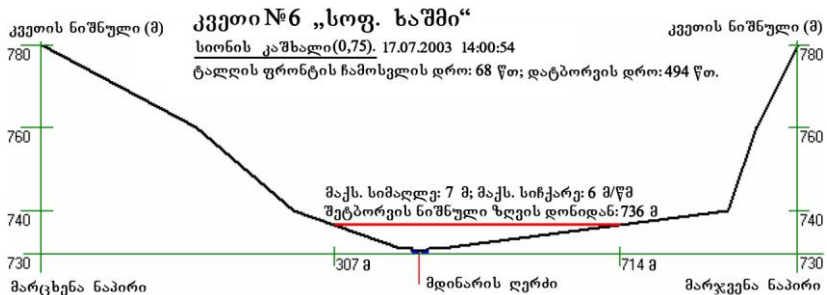
ნახ. 5.51



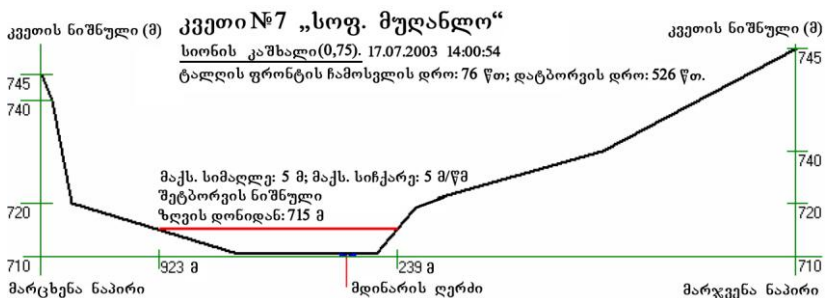
ნახ. 5.52



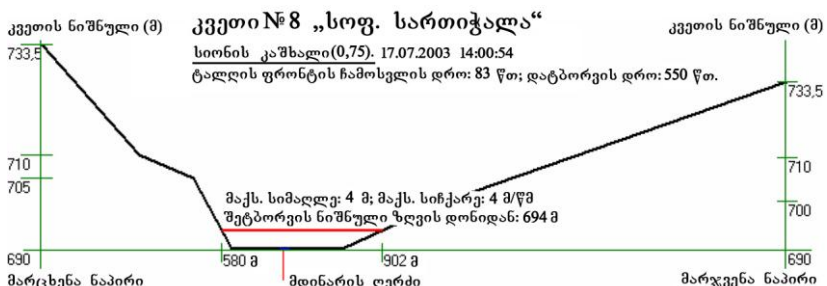
ნახ. 5.53



ნახ. 5.54



ნახ. 5.55



ნახ. 5.56

ცხრილი 5.19

სამუშაოს ანბარიში

დრო: 19:07:2003, 14:37:51

დასახელება: სიონის კაშხალი (0,5)

161

| პიგივანის საწყისი მონაცემები:                            | განზ.              | ერთ. | რაოდ. |
|--|--------------------|------|-------|
| 1. წყალსაცავის მოცულობა ნორმალური შეტბორვის დონეზე (ნშდ) | მლნ მ <sup>3</sup> |      | 433   |
| 2. წყალსაცავის სიღრმე კაშხალობან ნშდ-ზე                  | მ                  |      | 62    |
| 3. სარკის ზედაპირის ფართობი ნშდ-ზე                       | მლნ მ <sup>3</sup> |      | 12,8  |
| 4. კაშხლის სიგანე ნშდ-ზე                                 | მ                  |      | 850   |
| 5. მდინარის სიღრმე კაშხლის ქვედა ბიეფში                  | მ                  |      | 0,88  |
| 6. მდინარის სიგანე კაშხლის ქვედა ბიეფში                  | მ                  |      | 75    |
| 7. მდინარის სიჩქარე კაშხლის ქვედა ბიეფში                 | მ/წმ               |      | 1     |
| 8. წყალსაცავის სიღრმე კაშხლის ავარიის მომენტში           | მ                  |      | 62    |
| 9. კაშხლის ნერევის ხარისხი                               | მ                  |      | 0,5   |
| 10. მდინარის კალაპოტის ნაპირის რღვეულის სიმაღლე          | მ                  |      | 31    |
| 11. წყალსაცავში წყლის ნორმალური შეტბორვის ნიშნული        | მ                  |      | 1068  |
| 12. მდინარის კალაპოტში განივი პროფილების რაოდენობა       | გ                  |      | 8     |

ცხრილი 5.20

| განივი პერიოდის დახასიათება     | გან.<br>ერთ. | კვეთი<br>№1 | კვეთი<br>№2 | კვეთი<br>№3 | კვეთი<br>№4 | კვეთი<br>№5 | კვეთი<br>№6 | კვეთი<br>№7 | კვეთი<br>№8 |
|---------------------------------|--------------|-------------|-------------|-------------|-------------|-------------|-------------|-------------|-------------|
| 1                               | 2            | 3           | 4           | 5           | 6           | 7           | 8           | 9           | 10          |
| ი-ური კვეთის დაცილება კაშხლიდან | გმ           | 5           | 13          | 19,5        | 25,5        | 34          | 36          | 39          | 41,5        |
| <b>ხვედრითი ნაკადი:</b>         |              |             |             |             |             |             |             |             |             |
| წყლის შეტბორვის ნიშნული         | გ            | 990         | 940         | 880         | 835         | 758         | 730         | 710         | 690         |
| სიღრმე                          | გ            | 1           | 0,5         | 0,6         | 0,5         | 0,5         | 0,5         | 0,4         | 0,4         |
| სიგანე                          | გ            | 35          | 30          | 30          | 20          | 120         | 60          | 80          | 80          |
| ნაკადის სიჩქარე                 | გ/წმ         | 1,2         | 1,2         | 1,2         | 1,2         | 1,2         | 1,2         | 1,1         | 1,1         |

16

**მარცხენა ნაპირი**

|  |   |      |     |     |      |     |     |      |      |
|--|---|------|-----|-----|------|-----|-----|------|------|
| მდინარის ნაპირის რღვეულის<br>სიმაღლე       | გ | 0,8  | 0,7 | 0,1 | 0,4  | 0,5 | 0,5 | 0,1  | 0,1  |
| მდინარის ნოდა კალაპოტის სიგანე             | გ | 30   | 35  | 500 | 20   | 5   | 40  | 500  | 450  |
| ნიშნული №1                                 | გ | 1000 | 960 | 900 | 840  | 780 | 740 | 720  | 705  |
| მანძილი მდინარის ღერძიდან №1<br>ნიშნულამდე | გ | 420  | 175 | 600 | 175  | 480 | 450 | 1350 | 850  |
| ნიშნული №2                                 | გ | 1020 | 980 | 920 | 850  | 790 | 760 | 740  | 710  |
| მანძილი მდინარის ღერძიდან №2<br>ნიშნულამდე | გ | 500  | 350 | 650 | 1550 | 980 | 800 | 1450 | 1350 |

ცხრილი 5.20 (გაგრძელება)

| 1  | 2 | 3    | 4    | 5   | 6    | 7    | 8    | 9    | 10   |
|--|---|------|------|-----|------|------|------|------|------|
| ნიშნული №3                                 | გ | 1040 | 1000 | 960 | 860  | 800  | 780  | 745  | 734  |
| მანძილი მდინარის ღერძიდან №3<br>ნიშნულამდე | გ | 600  | 825  | 750 | 2100 | 1480 | 1350 | 1500 | 2250 |
| <b>მარჯვენა ნაპირი</b>                     |   |      |      |     |      |      |      |      |      |
| მდინარის ნაპირის რღვეულის<br>სიმაღლე       | გ | 0.8  | 0.7  | 0.1 | 0.4  | 0.5  | 0.5  | 0.1  | 0.1  |
| მდინარის ნოდა კალაპოტის სიგანე             | გ | 30   | 35   | 5   | 20   | 5    | 40   | 100  | 500  |
| ნიშნული №1                                 | გ | 1000 | 960  | 900 | 840  | 760  | 740  | 720  | 700  |
| მანძილი მდინარის ღერძიდან №1<br>ნიშნულამდე | გ | 420  | 225  | 75  | 140  | 570  | 110  | 350  | 1500 |
| ნიშნული №2                                 | გ | 1020 | 980  | 920 | 860  | 780  | 760  | 730  | 709  |
| მანძილი მდინარის ღერძიდან №2<br>ნიშნულამდე | გ | 520  | 275  | 500 | 340  | 820  | 1200 | 1250 | 2650 |
| ნიშნული №3                                 | გ | 1040 | 1000 | 940 | 880  | 800  | 780  | 750  | 726  |
| მანძილი მდინარის ღერძიდან №3<br>ნიშნულამდე | გ | 700  | 325  | 725 | 490  | 1270 | 1350 | 2200 | 4650 |

ცხრილი 5.21

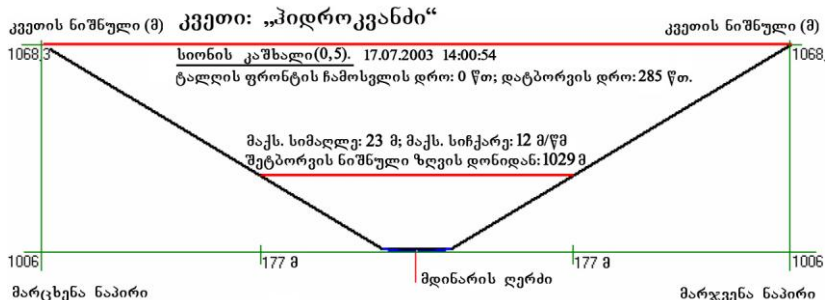
| გაშელის განგრევის პარამეტრები  | გან.<br>ერთ.             | გვეთი<br>№0 | გვეთი<br>№1 | გვეთი<br>№2 | გვეთი<br>№3 | გვეთი<br>№4 | გვეთი<br>№5 | გვეთი<br>№6 | გვეთი<br>№7 | გვეთი<br>№8 |
|--------------------------------|--------------------------|-------------|-------------|-------------|-------------|-------------|-------------|-------------|-------------|-------------|
| კვეთის დაშორება ჰიდროკვანძიდან | ქმ                       | 0           | 5           | 13          | 19,5        | 25,5        | 34          | 36          | 39          | 41,5        |
| კვეთში წყლის მაქსიმალური სარჯი | მ/მ <sup>3</sup> /<br>წთ | 52,66       | 30,37       | 24,6        | 21,1        | 19          | 16,6        | 16,1        | 15,4        | 14,9        |

დრო:

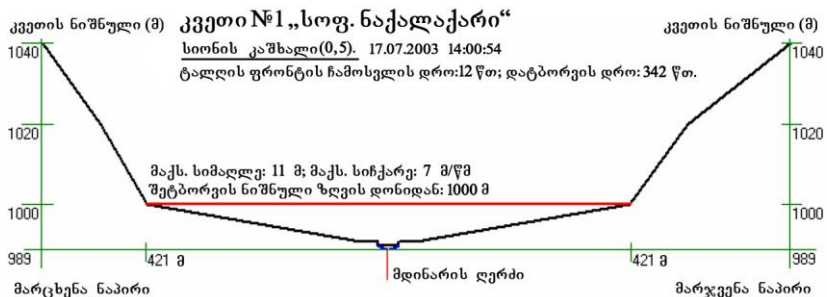
|                               |      |       |       |      |      |      |      |      |      |      |
|-------------------------------|------|-------|-------|------|------|------|------|------|------|------|
| ტალღის ფრონტის დაწევის        | წთ   | 0     | 11.88 | 42,9 | 63,6 | 92,3 | 130  | 140  | 155  | 170  |
| ტალღის დაწევის                | წთ   | 0     | 12,19 | 25,4 | 40,4 | 52,4 | 76,4 | 81,5 | 90,3 | 98   |
| ტალღის კუდის დაწევის          | წთ   | 284,5 | 354   | 465  | 555  | 639  | 757  | 785  | 830  | 868  |
| დატბორვის                     | წთ   | 284,5 | 342,1 | 422  | 492  | 546  | 626  | 645  | 675  | 698  |
| დინების მაქსიმალური სიჩქარე   | მ/წთ | 11,97 | 6,9   | 8,88 | 5,49 | 5,79 | 5,57 | 5,19 | 4,23 | 3,61 |
| ტალღის სიმაღლე                | მ    | 22,06 | 10,22 | 13,2 | 6,62 | 7,19 | 5,24 | 5,23 | 3,66 | 2,9  |
| დატბორვის მაქსიმალური სიღრმე  | მ    | 22,94 | 11,22 | 13,7 | 7,22 | 7,69 | 5,74 | 5,73 | 4,09 | 3,3  |
| დატბორვის მაქსიმალური ნიშნული | მ    | 1029  | 1000  | 953  | 887  | 842  | 763  | 735  | 714  | 693  |

დატბორვის მაქსიმალური სიმაღლე:

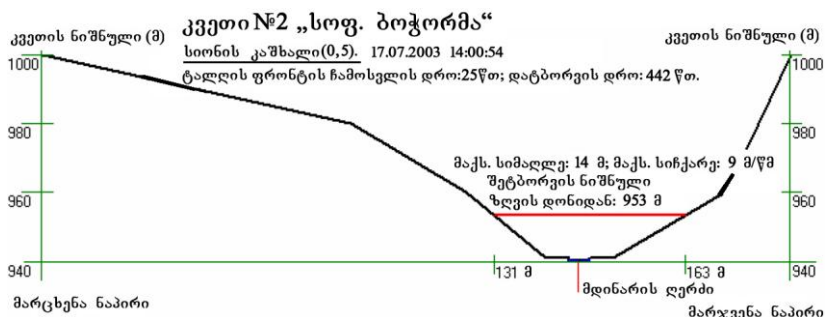
|                           |   |     |       |     |     |     |     |     |     |     |
|---------------------------|---|-----|-------|-----|-----|-----|-----|-----|-----|-----|
| მდინარის მარცხენა ნაპირზე | მ | 241 | 420,9 | 131 | 543 | 476 | 157 | 259 | 831 | 558 |
| მდინარის მარჯვენა ნაპირზე | მ | 241 | 421,1 | 163 | 38  | 162 | 611 | 583 | 215 | 812 |



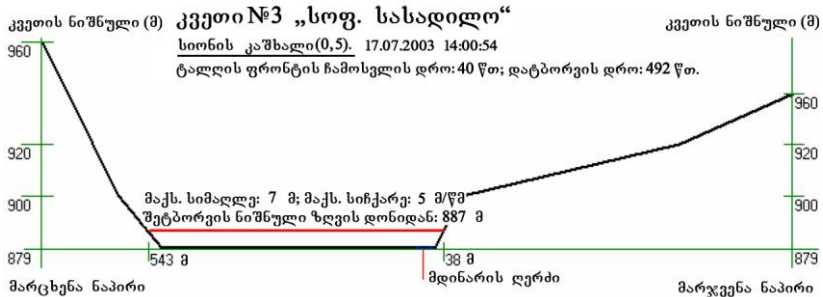
ნახ. 5.57



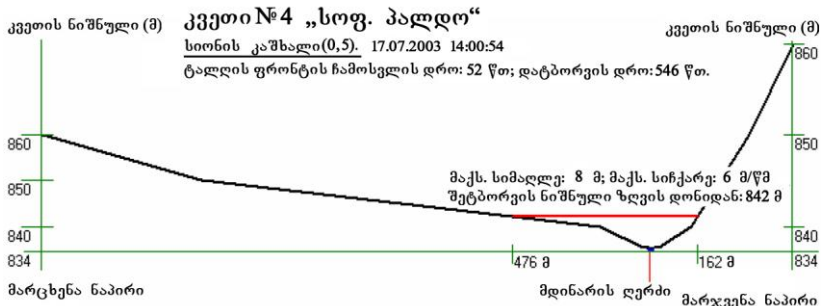
ნახ. 5.58



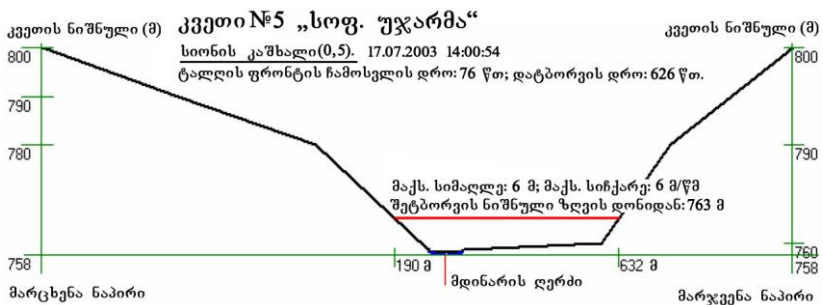
ნახ. 5.59



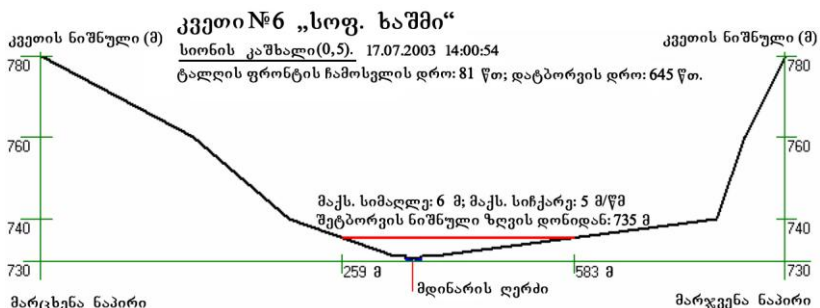
ნახ. 5.60



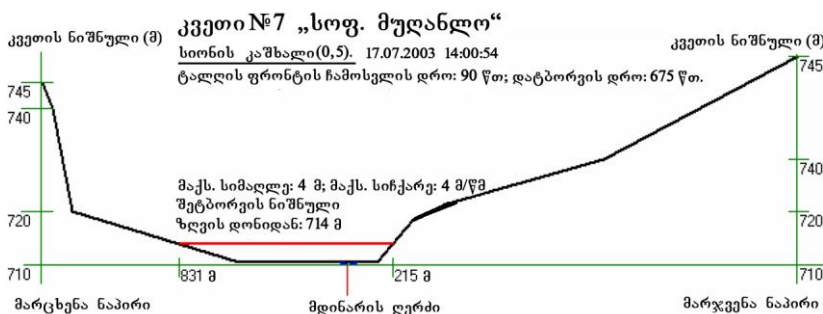
ნახ. 5.61



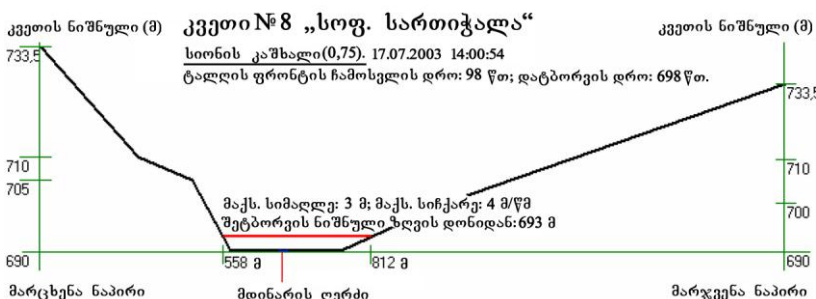
ნახ. 5.62



ნახ. 5.63



ნახ. 5.64



ნახ. 5.65

## სამუშაოს ანგარიში

დრო: 19:07:2003, 14:37:51

დასახელება: სიონის კაშხალი (0,25)

161

| პიგივანის საწყისი მონაცემები:                            | განზ.              | ერთ. | რაოდ. |
|--|--------------------|------|-------|
| 1. წყალსაცავის მოცულობა ნორმალური შეტბორვის დონეზე (ნშდ) | მლნ მ <sup>3</sup> |      | 433   |
| 2. წყალსაცავის სიღრმე კაშხალობან ნშდ-ზე                  | მ                  |      | 62    |
| 3. სარკის ზედაპირის ფართობი ნშდ-ზე                       | მლნ მ <sup>3</sup> |      | 12,8  |
| 4. კაშხლის სიგანე ნშდ-ზე                                 | მ                  |      | 850   |
| 5. მდინარის სიღრმე კაშხლის ქვედა ბიეფში                  | მ                  |      | 0,88  |
| 6. მდინარის სიგანე კაშხლის ქვედა ბიეფში                  | მ                  |      | 75    |
| 7. მდინარის სიჩქარე კაშხლის ქვედა ბიეფში                 | მ/წმ               |      | 1     |
| 8. წყალსაცავის სიღრმე კაშხლის ავარიის მომენტში           | მ                  |      | 62    |
| 9. კაშხლის ნერევის ხარისხი                               | მ                  |      | 0,25  |
| 10. მდინარის კალაპოტის ნაპირის რღვეულის სიმაღლე          | მ                  |      | 46,5  |
| 11. წყალსაცავში წყლის ნორმალური შეტბორვის ნიშნული        | მ                  |      | 1068  |
| 12. მდინარის კალაპოტში განივი პროფილების რაოდენობა       | გ                  |      | 8     |

ცხრილი 5.23

| განივი პერიოდის დახასიათება             | გან.<br>ერთ. | გვეთი<br>№1 | გვეთი<br>№2 | გვეთი<br>№3 | გვეთი<br>№4 | გვეთი<br>№5 | გვეთი<br>№6 | გვეთი<br>№7 | გვეთი<br>№8 |
|---|--------------|-------------|-------------|-------------|-------------|-------------|-------------|-------------|-------------|
| 1                                       | 2            | 3           | 4           | 5           | 6           | 7           | 8           | 9           | 10          |
| ი-ური კვეთის დაცილება კაშხლიდან         | გმ           | 5           | 13          | 19,5        | 25,5        | 34          | 36          | 39          | 41,5        |
| <b>ხვედრითი ნაკადი:</b>                 |              |             |             |             |             |             |             |             |             |
| წყლის შეტბორვის ნიშნული                 | გ            | 990         | 940         | 880         | 835         | 758         | 730         | 710         | 690         |
| სიღრმე                                  | გ            | 1           | 0,5         | 0,6         | 0,5         | 0,5         | 0,5         | 0,4         | 0,4         |
| სიგანე                                  | გ            | 35          | 30          | 30          | 20          | 120         | 60          | 80          | 80          |
| ნაკადის სიჩქარე                         | გ/წმ         | 1,2         | 1,2         | 1,2         | 1,2         | 1,2         | 1,2         | 1,1         | 1,1         |
| <b>მარცხენა ნაპირი</b>                  |              |             |             |             |             |             |             |             |             |
| მდინარის ნაპირის რღვეულის სიმაღლე       | გ            | 0,8         | 0,7         | 0,1         | 0,4         | 0,5         | 0,5         | 0,1         | 0,1         |
| მდინარის ნოდა კალაპოტის სიგანე          | გ            | 30          | 35          | 500         | 20          | 5           | 40          | 500         | 450         |
| ნიშნული №1                              | გ            | 1000        | 960         | 900         | 840         | 780         | 740         | 720         | 705         |
| მანძილი მდინარის ღერძიდან №1 ნიშნულამდე | გ            | 420         | 175         | 600         | 175         | 480         | 450         | 1350        | 850         |
| ნიშნული №2                              | გ            | 1020        | 980         | 920         | 850         | 790         | 760         | 740         | 710         |
| მანძილი მდინარის ღერძიდან №2 ნიშნულამდე | გ            | 500         | 350         | 650         | 1550        | 980         | 800         | 1450        | 1350        |

ცხრილი 5.23 (გაგრძელება)

| 1  | 2 | 3    | 4    | 5   | 6    | 7    | 8    | 9    | 10   |
|--|---|------|------|-----|------|------|------|------|------|
| ნიშნული №3                                 | გ | 1040 | 1000 | 960 | 860  | 800  | 780  | 745  | 734  |
| მანძილი მდინარის ღერძიდან №3<br>ნიშნულამდე | გ | 600  | 825  | 750 | 2100 | 1480 | 1350 | 1500 | 2250 |
| <b>მარჯვენა ნაპირი</b>                     |   |      |      |     |      |      |      |      |      |
| მდინარის ნაპირის რღვეულის<br>სიმაღლე       | გ | 0.8  | 0.7  | 0.1 | 0.4  | 0.5  | 0.5  | 0.1  | 0.1  |
| მდინარის ნოდა კალაპოტის სიგანე             | გ | 30   | 35   | 5   | 20   | 5    | 40   | 100  | 500  |
| ნიშნული №1                                 | გ | 1000 | 960  | 900 | 840  | 760  | 740  | 720  | 700  |
| მანძილი მდინარის ღერძიდან №1<br>ნიშნულამდე | გ | 420  | 225  | 75  | 140  | 570  | 110  | 350  | 1500 |
| ნიშნული №2                                 | გ | 1020 | 980  | 920 | 860  | 780  | 760  | 730  | 709  |
| მანძილი მდინარის ღერძიდან №2<br>ნიშნულამდე | გ | 520  | 275  | 500 | 340  | 820  | 1200 | 1250 | 2650 |
| ნიშნული №3                                 | გ | 1040 | 1000 | 940 | 880  | 800  | 780  | 750  | 726  |
| მანძილი მდინარის ღერძიდან №3<br>ნიშნულამდე | გ | 700  | 325  | 725 | 490  | 1270 | 1350 | 2200 | 4650 |

ცხრილი 5.24

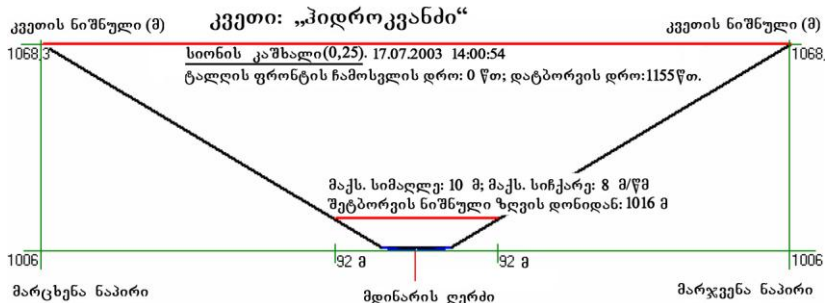
| გაშელის განგრევის პარამეტრები  | გან.<br>ერთ. | გვეთი<br>№0 | გვეთი<br>№1 | გვეთი<br>№2 | გვეთი<br>№3 | გვეთი<br>№4 | გვეთი<br>№5 | გვეთი<br>№6 | გვეთი<br>№7 | გვეთი<br>№8 |
|--------------------------------|--------------|-------------|-------------|-------------|-------------|-------------|-------------|-------------|-------------|-------------|
| კვეთის დაშორება პიდროკვანძიდან | ქმ           | 0           | 5           | 13          | 19,5        | 25,5        | 34          | 36          | 39          | 41,5        |
| კვეთში წყლის მაქსიმალური ხარჯი | მთ.მ³/<br>წთ | 7,39        | 4,92        | 4,64        | 4,43        | 4,3         | 4,11        | 4,05        | 3,98        | 3,94        |

დრო:

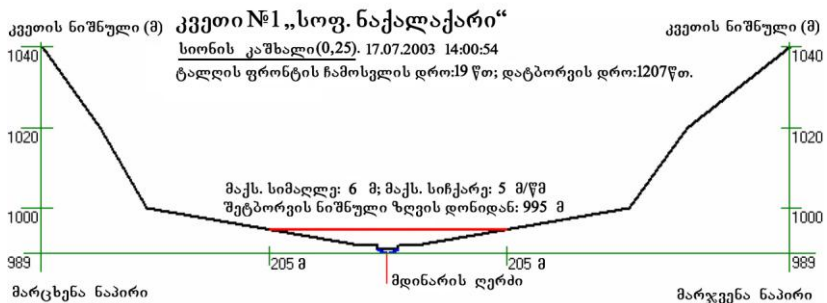
|                               |      |      |       |       |       |       |       |       |       |       |
|-------------------------------|------|------|-------|-------|-------|-------|-------|-------|-------|-------|
| ტალღის ფრონტის დაწევის        | წთ   | 0    | 17,13 | 58,28 | 87,35 | 130,5 | 175,8 | 188,2 | 207,3 | 228,5 |
| ტალღის დაწევის                | წთ   | 0    | 18,55 | 39,93 | 62,61 | 79,3  | 114,7 | 121,9 | 134,4 | 145   |
| ტალღის კუდის დაწევის          | წთ   | 1155 | 1224  | 1335  | 1426  | 1509  | 1627  | 1655  | 1700  | 1738  |
| დატბორვის                     | წთ   | 1155 | 1207  | 1277  | 1338  | 1379  | 1451  | 1467  | 1493  | 1510  |
| დინების მაქსიმალური სიჩქარე   | მ/წთ | 7,72 | 4,8   | 6,05  | 3,14  | 4,66  | 3,88  | 4     | 2,78  | 2,33  |
| ტალღის სიმაღლე                | მ    | 8,66 | 4,7   | 5,99  | 2,42  | 4,35  | 2,48  | 2,93  | 1,65  | 1,28  |
| დატბორვის მაქსიმალური სიღრმე  | მ    | 9,54 | 5,7   | 6,49  | 3,02  | 4,85  | 2,98  | 3,43  | 2,05  | 1,68  |
| დატბორვის მაქსიმალური ხიშნული | მ    | 1016 | 994,7 | 946   | 882,4 | 839,4 | 760,5 | 732,9 | 711   | 691,3 |

დატბორვის მაქსიმალური სიმაღლე:

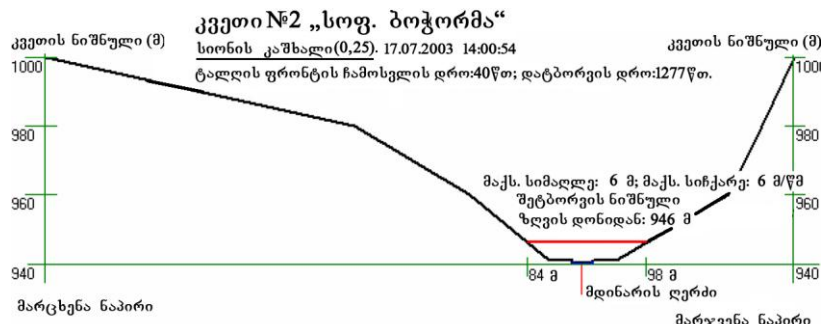
|                           |   |       |       |       |       |       |       |       |       |       |
|---------------------------|---|-------|-------|-------|-------|-------|-------|-------|-------|-------|
| მდინარის მარცხენა ნაპირზე | მ | 146,1 | 205,2 | 84,27 | 524,9 | 154,5 | 103,3 | 167,3 | 667   | 518,5 |
| მდინარის მარჯვენა ნაპირზე | მ | 146,1 | 205,2 | 97,98 | 26,42 | 124,5 | 576   | 333,8 | 172,9 | 645,5 |



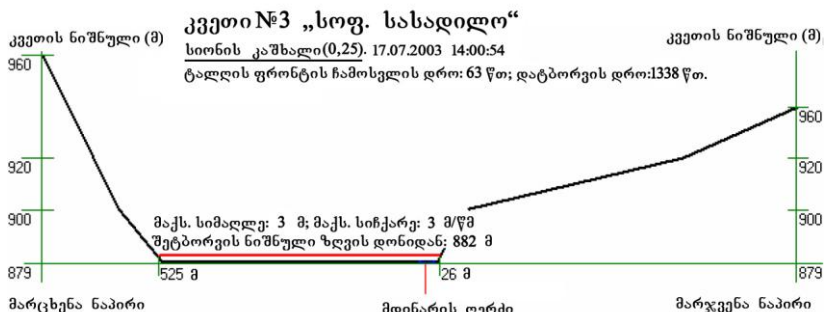
**ნახ. 5.66**



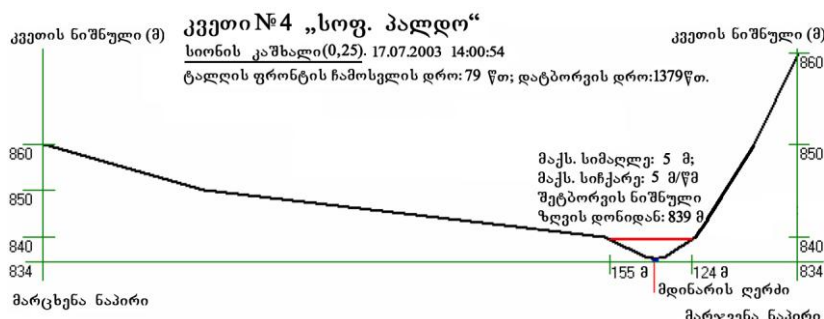
**ნახ. 5.67**



**ნახ. 5.68**



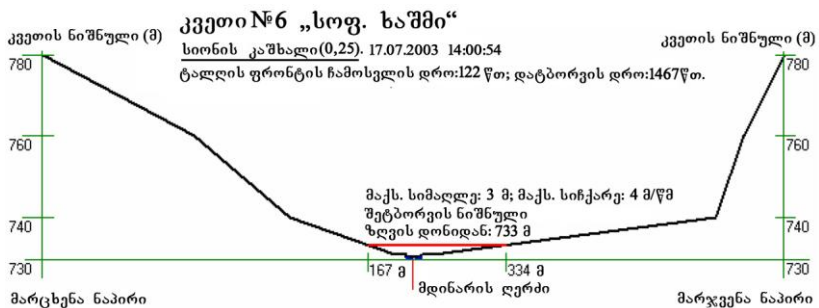
69b. 5.69



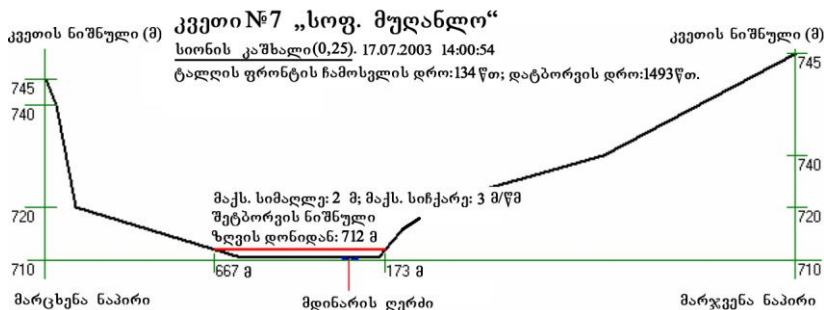
65b. 5.70



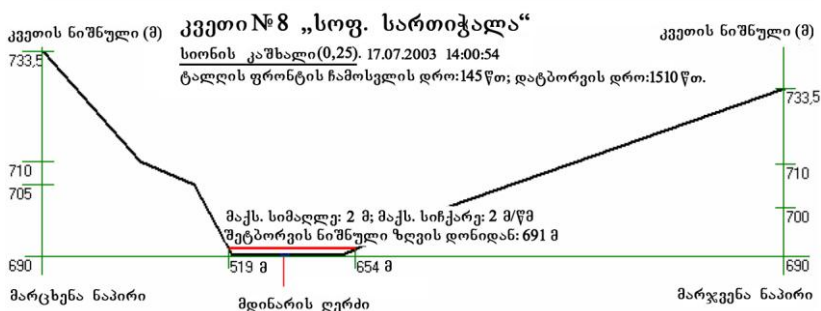
69b. 5.71



ნახ. 5.72



ნახ. 5.73



ნახ. 5.74

## **5.5. შაორის კაშხლის შესაძლო ავარიის პროგნოზირება**

შაორის წყალსაცავი მდებარეობს რაჭაში. მისი კაშხალი წარმოადგენს ქვაყრილს სიმაღლით 11,5 მ, ხოლო სიგანე ზღურბლზე - 1210 მ-ია.

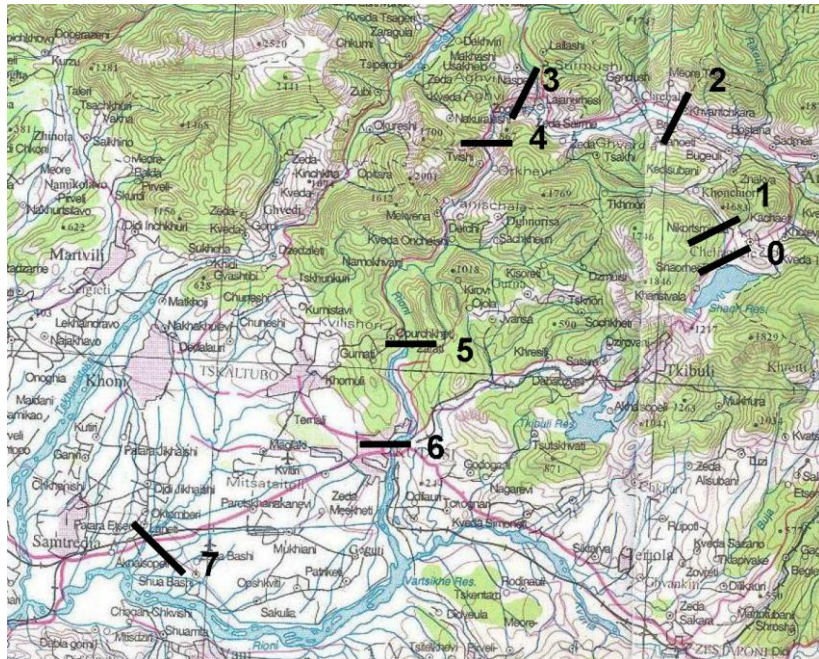
შაორის წყალსაცავის მოცულობა 1,15 მლნ მ<sup>3</sup>-ია, ხოლო სარკის ზედაპირის ფართობი - 9,2 მლნ მ<sup>2</sup> [43].

შაორის წყალსაცავის ავარიის შემთხვევაში (როდესაც ნგრევის ხარისხი ტოლია 100%) დატბორილი ტერიტორიის ფართობის პროგნოზირების მიზნით შერჩეული იყო განივალეთები დასახლებულ პუნქტებში (სურ. 5.75), კერძოდ [35]:

1. სოფ. ნიკორწმინდა - 2,5 კმ;
2. სოფ. გოგოლეთი - 20,0 კმ;
3. სოფ. ლაჯანა - 30,0 კმ;
4. სოფ. ტვიში - 40,0 კმ;
5. სოფ. ოფურჩეთი - 64,5 კმ;
6. ქ. ქუთაისი - 74,0 კმ;
7. ქ. სამტრედია - 131,0 კმ.

შაორის კაშხლის ავარიის შემთხვევაში წყლის ტალღის პირველი ნაკადი დასახლებულ პუნქტებში ჩამოვა შემდეგ დროში:

1. სოფ. ნიკორწმინდა - 6,0 წთ;
2. სოფ. გოგოლეთი - 80,0 წთ;
3. სოფ. ლაჯანა - 110,0 წთ;
4. სოფ. ტვიში - 138,0 წთ;
5. სოფ. ოფურჩეთი - 236,0 წთ;
6. ქ. ქუთაისი - 272,0 წთ;
7. ქ. სამტრედია - 948,0 წთ.



ნახ. 5.75. საანგარიშო კვეთების განლაგების გეგმა

შაორის კაშხლის ავარიის შემდეგ, მდინარის ღერძიდან მარცხენა და მარჯვენა მხარეს დატბორილი ტერიტორიის გეომეტრიული ზომები, ტალღის სიჩქარე და წყლის სიღრმე ტოლია [35]:

1. სოფ. ნიკორწმინდა

მარცხენივ – 68 (მ), მარჯვნივ – 531 (მ),

ტალღის სიღრმე – 6 (მ),

ტალღის სიჩქარე – 5 (მ/წმ);

2. სოფ. გოგოლეთი

მარცხენივ – 217 (მ), მარჯვნივ – 370 (მ),

ტალღის სიღრმე – 8 (მ),

ტალღის სიჩქარე – 8 (მ/წმ);

### 3. სოფ. ლაჯანა

მარცხნივ – 162 (გ), მარჯვნივ – 125 (გ),

ტალღის სიღრმე – 9 (გ),

ტალღის სიჩქარე – 8 (გ/წგ);

### 4. სოფ. ტვიში

მარცხნივ – 108 (გ), მარჯვნივ – 108 (გ),

ტალღის სიღრმე – 10 (გ),

ტალღის სიჩქარე – 8 (გ/წგ);

### 5. სოფ. ოფურჩეთი

მარცხნივ – 215 (გ), მარჯვნივ – 148 (გ),

ტალღის სიღრმე – 8 (გ),

ტალღის სიჩქარე – 8 (გ/წგ);

### 6. ქ. ქუთაისი

მარცხნივ – 607 (გ), მარჯვნივ – 693 (გ),

ტალღის სიღრმე – 3 (გ),

ტალღის სიჩქარე – 3 (გ/წგ);

### 7. ქ. სამტრედია

მარცხნივ – 175 (გ), მარჯვნივ – 175 (გ),

ტალღის სიღრმე – 4 (გ),

ტალღის სიჩქარე – 3 (გ/წგ).

შაორის კაშხლის ავარიის შემთხვევაში რიცხობრივი მაჩვენებლები მოცემულია ცხრილებში 5.25-5.27, ხოლო დატბორილი ტერიტორიების განივი პროფილები მოცემულია ნახაზებზე 5.76-5.83.

შაორის კაშხლის ავარიის შემთხვევაში ხეობაში მდებარე დასახლებულ პუნქტებს საშიშროება არ ემუქრება, რადგან ისინი განთავსებულია ხეობაში მაღალ ფერდობებზე [35].

## სამუშაოს ანგარიში

დრო: 19:07:2003, 14:37:51

დასახელება: სიონის კაშხალი (1)

| პიგივანის საწყისი მონაცემები:                            | განზ.              | ერთ. | რაოდ. |
|--|--------------------|------|-------|
| 1. წყალსაცავის მოცულობა ნორმალური შეტბორვის დონეზე (ნშდ) | მლნ მ <sup>3</sup> |      | 115   |
| 2. წყალსაცავის სიღრმე კაშხალობან ნშდ-ზე                  | მ                  |      | 11,2  |
| 3. სარკის ზედაპირის ფართობი ნშდ-ზე                       | მლნ მ <sup>3</sup> |      | 9,2   |
| 4. კაშხლის სიგანე ნშდ-ზე                                 | მ                  |      | 120   |
| 5. მდინარის სიღრმე კაშხლის ქვედა ბიეფში                  | მ                  |      | 0,3   |
| 6. მდინარის სიგანე კაშხლის ქვედა ბიეფში                  | მ                  |      | 10    |
| 7. მდინარის სიჩქარე კაშხლის ქვედა ბიეფში                 | მ/წ                |      | 1     |
| 8. წყალსაცავის სიღრმე კაშხლის ავარიის მომენტში           | მ                  |      | 11,5  |
| 9. კაშხლის ნერევის ხარისხი                               | მ                  |      | 1     |
| 10. მდინარის კალაპოტის ნაპირის რღვეულის სიმაღლე          | მ                  |      | 1     |
| 11. წყალსაცავში წყლის ნორმალური შეტბორვის ნიშნული        | მ                  |      | 1130  |
| 12. მდინარის კალაპოტში განივი პროფილების რაოდენობა       | გ                  |      | 7     |

ცხრილი 5.26

| განივი კგეთების დახასიათება     | გან.<br>ერთ. | კგეთი<br>№1 | კგეთი<br>№2 | კგეთი<br>№3 | კგეთი<br>№4 | კგეთი<br>№5 | კგეთი<br>№6 | კგეთი<br>№7 |
|---------------------------------|--------------|-------------|-------------|-------------|-------------|-------------|-------------|-------------|
| <b>1</b>                        | <b>2</b>     | <b>3</b>    | <b>4</b>    | <b>5</b>    | <b>6</b>    | <b>7</b>    | <b>8</b>    | <b>9</b>    |
| ს-ური კვეთის დაცილება კაშხლიდან | კმ           | 2,5         | 20          | 30          | 40          | 64,5        | 74          | 131         |

ხვედრითი ნაკადი:

|                         |      |      |     |     |     |     |       |     |
|-------------------------|------|------|-----|-----|-----|-----|-------|-----|
| წყლის შეტბორვის ნიშნული | გ    | 1220 | 404 | 366 | 310 | 200 | 129,5 | 18  |
| სიდრმე                  | გ    | 1    | 1   | 1   | 1   | 1   | 1,2   | 2,7 |
| სიგანე                  | გ    | 10   | 300 | 150 | 100 | 200 | 100   | 350 |
| ნაკადის სიჩქარე         | გ/წგ | 1,3  | 1,3 | 1,7 | 1,6 | 1,5 | 1,5   | 0,6 |

მარცხენა ნაპირი

|  |   |      |     |     |     |     |     |      |
|--|---|------|-----|-----|-----|-----|-----|------|
| მდინარის ნაპირის რღვეულის სიმაღლე          | გ | 1    | 2   | 3   | 2   | 3   | 0,5 | 2    |
| მდინარის ნოლა კალაპოტის სიგანე             | გ | 50   | 50  | 75  | 50  | 50  | 550 | 3700 |
| ნიშნული №1                                 | გ | 1140 | 420 | 380 | 320 | 220 | 135 | 30   |
| მანძილი მდინარის დერმიდან №1<br>ნიშნულამდე | გ | 105  | 250 | 175 | 110 | 450 | 630 | 3900 |
| ნიშნული №2                                 | გ | 1160 | 440 | 400 | 340 | 240 | 140 | 40   |
| მანძილი მდინარის დერმიდან №2<br>ნიშნულამდე | გ | 205  | 300 | 250 | 190 | 600 | 670 | 4050 |

ცხრილი 5.26 (გაგრძელება)

| <b>1</b>                                   | <b>2</b> | <b>3</b> | <b>4</b> | <b>5</b> | <b>6</b> | <b>7</b> | <b>8</b> | <b>9</b> |
|--|----------|----------|----------|----------|----------|----------|----------|----------|
| ნიშნული №3                                 | გ        | 1180     | 460      | 420      | 360      | 260      | 145      | 50       |
| მანძილი მდინარის ღერძიდან №3<br>ნიშნულამდე | გ        | 355      | 350      | 280      | 390      | 700      | 720      | 4150     |
| <b>მარჯვენა ნაპირი</b>                     |          |          |          |          |          |          |          |          |
| მდინარის ნაპირის რღვეულის სიმაღლე          | გ        | 1        | 2        | 3        | 2        | 3        | 0.5      | 2        |
| მდინარის ნოდა კალაპოტის სიგანე             | გ        | 500      | 100      | 50       | 50       | 20       | 450      | 1900     |
| ნიშნული №1                                 | გ        | 1140     | 420      | 380      | 300      | 220      | 135      | 25       |
| მანძილი მდინარის ღერძიდან №1<br>ნიშნულამდე | გ        | 605      | 600      | 125      | 110      | 250      | 1340     | 3775     |
| ნიშნული №2                                 | გ        | 1160     | 440      | 400      | 340      | 240      | 137,5    | 30       |
| მანძილი მდინარის ღერძიდან №2<br>ნიშნულამდე | გ        | 755      | 800      | 130      | 140      | 550      | 3340     | 5875     |
| ნიშნული №3                                 | გ        | 1180     | 460      | 420      | 360      | 260      | 140      | 50       |
| მანძილი მდინარის ღერძიდან №3<br>ნიშნულამდე | გ        | 905      | 1000     | 225      | 210      | 850      | 5340     | 10675    |

ცხრილი 5.27

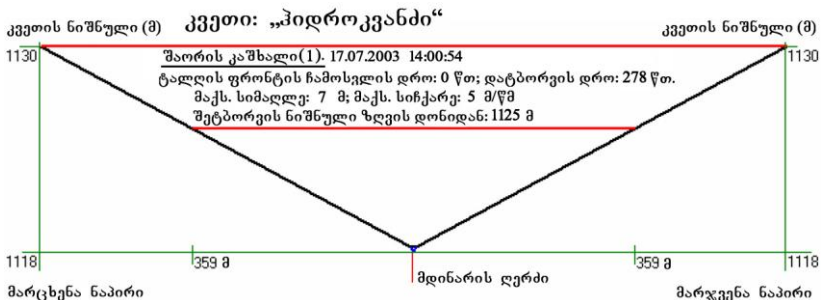
| კაშხლის განგრევის პარამეტრები     | გან.<br>ერთ. | გვეთი<br>№0 | გვეთი<br>№1 | გვეთი<br>№2 | გვეთი<br>№3 | გვეთი<br>№4 | გვეთი<br>№5 | გვეთი<br>№6 | გვეთი<br>№7 |
|-----------------------------------|--------------|-------------|-------------|-------------|-------------|-------------|-------------|-------------|-------------|
| კვეთის დაშორება პიდროვანიდან      | კმ           | 0           | 2,5         | 20          | 30          | 40          | 64,5        | 74          | 131         |
| კვეთში წყლის მაქსიმალური<br>ხარჯი | ათ.მ³/წმ     | 12,67       | 11,48       | 7,88        | 6,83        | 5,94        | 4,49        | 4,07        | 1,87        |

დრო:

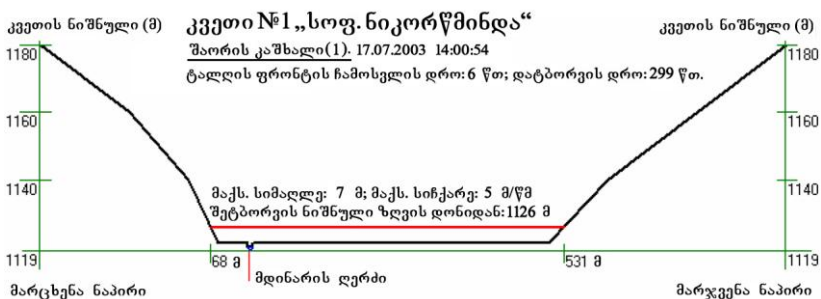
|                               |      |        |        |        |        |        |        |        |        |
|-------------------------------|------|--------|--------|--------|--------|--------|--------|--------|--------|
| ტალღის ფრონტის დაწევის        | წთ   | 0      | 11,71  | 91,9   | 123,64 | 153,91 | 227,3  | 259,66 | 637,49 |
| ტალღის დაწევის                | წთ   | 0      | 6,04   | 80,24  | 109,66 | 138,41 | 236,2  | 271,74 | 947,67 |
| ტალღის კუდის დაწევის          | წთ   | 278,44 | 310,49 | 534,85 | 632,89 | 737,05 | 1009,3 | 1114,8 | 2698,2 |
| დატბორვის                     | წთ   | 278,44 | 298,78 | 442,95 | 509,25 | 583,14 | 781,98 | 855,17 | 2060,7 |
| დინების მაქსიმალური სიჩქარე   | მ/წმ | 5,41   | 4,51   | 7,73   | 8,35   | 8,21   | 8,1    | 2,59   | 3,02   |
| ტალღის სიმაღლე                | მ    | 6,6    | 5,94   | 6,82   | 8,07   | 8,5    | 6,69   | 1,63   | 1,45   |
| დატბორვის მაქსიმალური სიღრმე  | მ    | 6,9    | 6,94   | 7,82   | 9,07   | 9,5    | 7,69   | 2,83   | 4,15   |
| დატბორვის მაქსიმალური ნიშნული | მ    | 1125,4 | 1125,9 | 410,82 | 374,07 | 318,5  | 206,69 | 131,2  | 19,45  |

დატბორვის მაქსიმალური სიმაღლე:

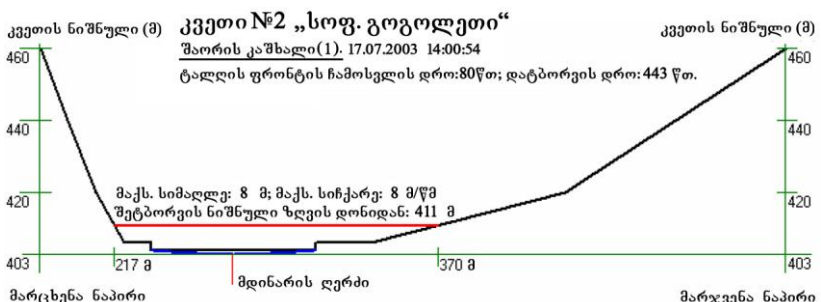
|                           |   |        |        |        |       |        |        |        |     |
|---------------------------|---|--------|--------|--------|-------|--------|--------|--------|-----|
| მდინარის მარცხენა ნაპირზე | მ | 309,01 | 68,01  | 217,2  | 524,9 | 154,5  | 103,3  | 167,3  | 667 |
| მდინარის მარჯვენა ნაპირზე | მ | 309,01 | 531,01 | 370,39 | 125   | 108,13 | 148,24 | 693,44 | 175 |



68b. 5.76



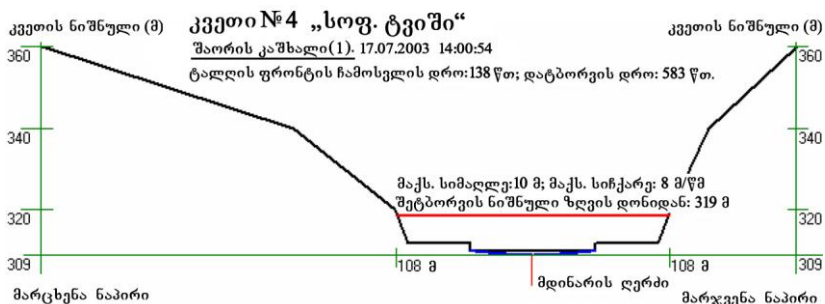
65b. 5.77



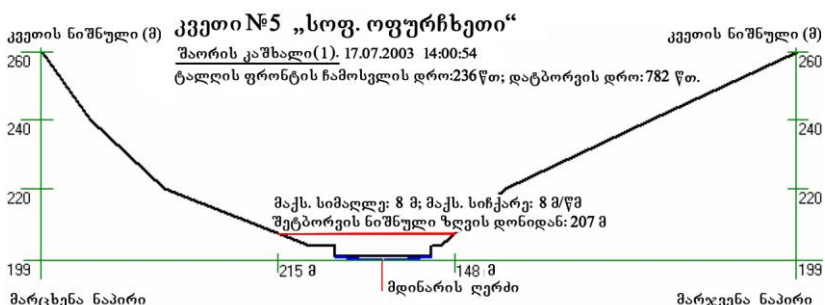
638k. 5.78



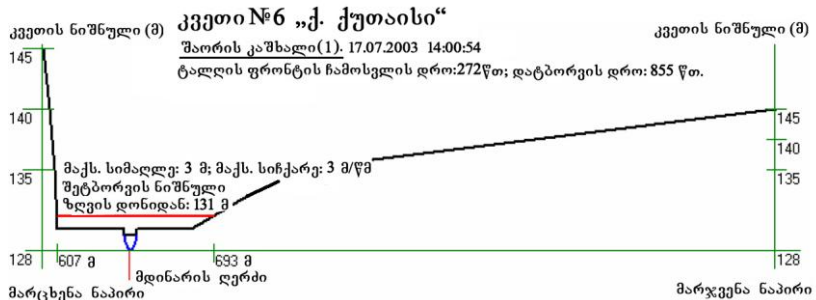
ნახ. 5.79



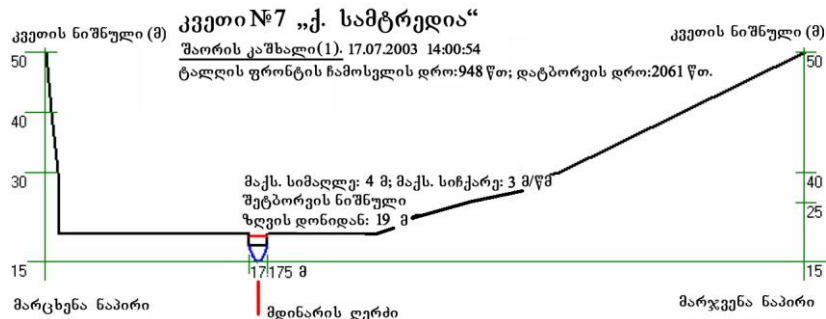
ნახ. 5.80



ნახ. 5.81



ნახ. 5.82



ნახ. 5.83

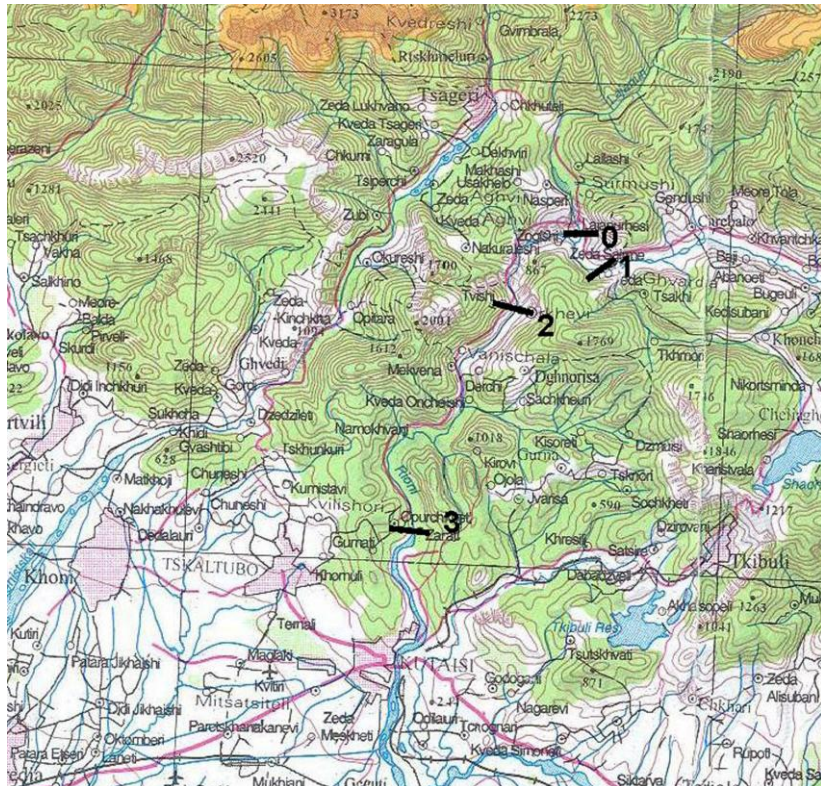
## 5.6. ლაჯანურის კაშხლის შესაძლო ავარიის პროგნოზირება

ლაჯანურის კაშხლი მდებარეობს მდინარე ლაჯანურზე, დაბა ცაგერის სამხრეთ-დასავლეთის მიმართულებით. იგი წარმოადგენს თაღოვან რკინა-ბეტონის კაშხლს სიმაღლით 69 მ; კაშხლის სიგანე მდინარის განივავეთის მიმართულებით - 127 მ-ია.

წყალსაცავის მოცულობა შეადგენს 25 მლნ მ<sup>3</sup>-ს, ხოლო წყლის სარკის ზეაპირის ფართობი 1,4 მლნ მ<sup>2</sup>-ია [43]. ლაჯანურის ავარიის კაშხლის პროგნოზი გაანგარიშებული იყო 100% ნგრევის უზრუნველყოფაზე.

დატბორილი ტერიტორიების პროგნოზირების მიზნით მდინარის კალაპოტში შერჩეული იყო ოთხი კვეთი:

1. თვით კაშხლის კვეთში;
2. სოფ. ლაჯანა;
3. სოფ. ტვერი;
4. სოფ. ოფურჩხეთი (სურ. 5.84).



ნახ. 5.84. საანგარიშო კვეთების სქემა

1. სოფ. ლაჯანა – 4,75 კმ;
2. სოფ. ტვიში – 14,75 კმ;
3. სოფ. ოფურჩხეთი – 44,75 კმ.

შემდეგ დროში:

1. სოფ. ლაჯანა – 7,91 წთ;
2. სოფ. ტვიში – 34,74 წთ;
3. სოფ. ოფურჩხეთი – 135,35 წთ.

რაც შეეხება დატბორილ ტერიტორიებს მდინარის დერმიდან მარცხნივ და მარჯვნივ, ასევე ტალღის სიმაღლეს და წყლის სიჩქარეს დასახლებულ პუნქტებში, შეადგინა:

#### 1. სოფ. ლაჯანა

მარცხნივ – 179 მ; მარჯვნივ – 62 მ;

ტალღის სიმაღლე – 17 მ; ტალღის სიჩქარე – 10 მ/წმ;

#### 2. სოფ. ტვიში

მარცხნივ – 82 მ; მარჯვნივ – 52 მ;

ტალღის სიმაღლე – 12 მ; ტალღის სიჩქარე – 8,0 მ/წმ;

#### 3. სოფ. ოფურჩხეთი

მარცხნივ – 355 მ; მარჯვნივ – 155 მ;

ტალღის სიმაღლე – 3 მ; ტალღის სიჩქარე – 4 მ/წმ.

ლაჯანურის კაშხლის აგარის შემთხვევაში იტბორება მდინარის ხეობა, ადამიანთა სიცოცხლეს ამ შემთხვევაში საფრთხე არ ემუქრება.

5.28-5.30 ცხრილებში მოცემულია გაანგარიშების დეტალური მონაცემები, ხოლო 5.85-5.88 ნახაზებზე დატანილია წყალმოვარდნის შემთხვევაში მდინარის განივიპოვილები.

## სამუშაოს ანბარიში

დრო: 19:07:2003, 14:37:51

დასახელება: ლაჯანურის ქაშხალი (1)

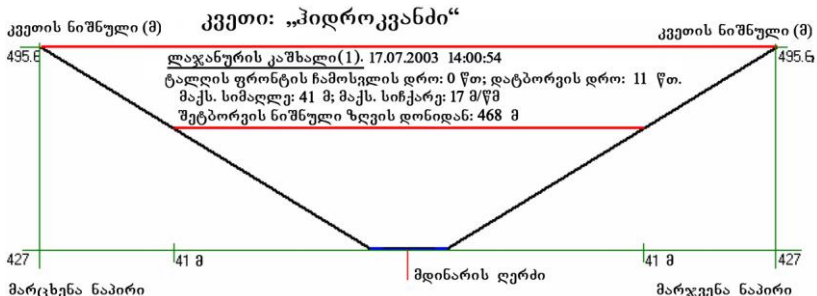
| პიგივების საწყისი მონაცემები:                            | განზ.              | ერთ. | რაოდ. |
|--|--------------------|------|-------|
| 1. წყალსაცავის მოცულობა ნორმალური შეტბორვის დონეზე (ნშდ) | მლნ მ <sup>3</sup> |      | 25    |
| 2. წყალსაცავის სიღრმე კაშხალობან ნშდ-ზე                  | მ                  |      | 68    |
| 3. სარკის ზედაპირის ფართობი ნშდ-ზე                       | მლნ მ <sup>3</sup> |      | 1,4   |
| 4. კაშხლის სიგანე ნშდ-ზე                                 | მ                  |      | 127   |
| 5. მდინარის სიღრმე კაშხლის ქვედა ბიეფში                  | მ                  |      | 0,5   |
| 6. მდინარის სიგანე კაშხლის ქვედა ბიეფში                  | მ                  |      | 13    |
| 7. მდინარის სიჩქარე კაშხლის ქვედა ბიეფში                 | მ/წმ               |      | 1     |
| 8. წყალსაცავის სიღრმე კაშხლის ავარიის მომენტში           | მ                  |      | 69    |
| 9. კაშხლის ნერევის ხარისხი                               | მ                  |      | 1     |
| 10. მდინარის კალაპოტის ნაპირის რღვეულის სიმაღლე          | მ                  |      | 1     |
| 11. წყალსაცავში წყლის ნორმალური შეტბორვის ნიშნული        | მ                  |      | 495,6 |
| 12. მდინარის კალაპოტში განივი პროფილების რაოდენობა       | გ                  |      | 3     |

ცხრილი 5.29

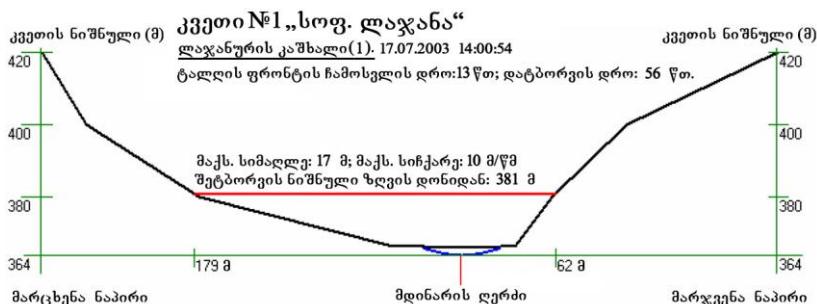
| განივი კვეთების დახასიათება             | გან.<br>ერთ. | კვეთი<br>№1 | კვეთი<br>№2 | კვეთი<br>№3 |
|---|--------------|-------------|-------------|-------------|
| i-ური კვეთის დაცილება კაშხლიდან         | კმ           | 4,75        | 12,75       | 44,75       |
| <b>სევდღითი ნაკადი:</b>                 |              |             |             |             |
| წყლის შეტორფის ნიშნული                  | მ            | 366         | 310         | 200         |
| სიღრმე                                  | მ            | 2           | 1,5         | 1,2         |
| სიგანე                                  | მ            | 50          | 15          | 200         |
| ნაკადის სიჩქარე                         | მ/წმ         | 1,5         | 1,6         | 1,5         |
| <b>მარცხენა ნაპირი</b>                  |              |             |             |             |
| მდინარის ნაპირის რღვეულის სიმაღლე       | მ            | 0,5         | 0,5         | 1           |
| მდინარის ნოდა კალაპოტის სიგანე          | მ            | 20          | 15          | 250         |
| ნიშნული №1                              | მ            | 380         | 320         | 220         |
| მანძილი მდინარის ღერძიდან №1 ნიშნულამდე | მ            | 175         | 80          | 450         |
| ნიშნული №2                              | მ            | 400         | 340         | 240         |
| მანძილი მდინარის ღერძიდან №2 ნიშნულამდე | მ            | 250         | 180         | 600         |
| ნიშნული №3                              | მ            | 420         | 360         | 260         |
| მანძილი მდინარის ღერძიდან №3 ნიშნულამდე | მ            | 280         | 380         | 700         |
| <b>მარჯვენა ნაპირი</b>                  |              |             |             |             |
| მდინარის ნაპირის რღვეულის სიმაღლე       | მ            | 0,5         | 0,5         | 1           |
| მდინარის ნოდა კალაპოტის სიგანე          | მ            | 10          | 5           | 50          |
| ნიშნული №1                              | მ            | 380         | 320         | 220         |
| მანძილი მდინარის ღერძიდან №1 ნიშნულამდე | მ            | 60          | 50          | 250         |
| ნიშნული №2                              | მ            | 400         | 340         | 240         |
| მანძილი მდინარის ღერძიდან №2 ნიშნულამდე | მ            | 110         | 130         | 550         |
| ნიშნული №3                              | მ            | 420         | 360         | 260         |
| მანძილი მდინარის ღერძიდან №3 ნიშნულამდე | მ            | 210         | 200         | 850         |

ცხრილი 5..30

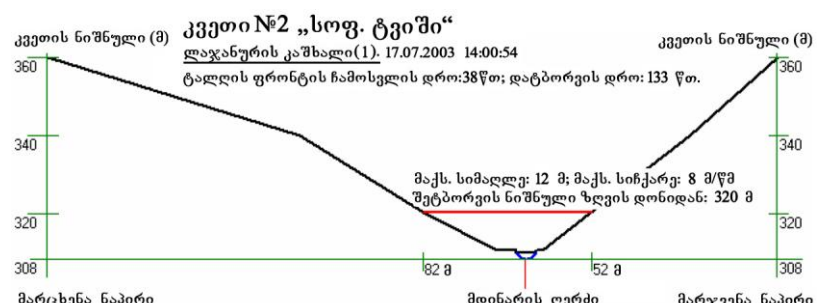
| გაშელის განგრევის<br>პარამეტრები      | გან.<br>ერთ. | პვეთი<br>№0 | პვეთი<br>№1 | პვეთი<br>№2 | პვეთი<br>№3 |
|---------------------------------------|--------------|-------------|-------------|-------------|-------------|
| პვეთის დაშორება<br>ჰიდროკვანძიდან     | კბ           | 0           | 4,75        | 14,75       | 44,75       |
| პვეთში წყლის<br>მაქსიმალური ხარჯი     | ათ.მ³/წთ     | 45,9        | 15,02       | 6,28        | 2,48        |
| <b>დონ:</b>                           |              |             |             |             |             |
| ტალღის ფრონტის<br>დაწევის             | წთ           | 0           | 7,91        | 34,74       | 134,95      |
| ტალღის დაწევის                        | წთ           | 0           | 13,48       | 38,09       | 213,17      |
| ტალღის კუდის<br>დაწევის               | წთ           | 10,95       | 33,73       | 167,89      | 501,23      |
| დატბორვის                             | წთ           | 10,95       | 55,82       | 133,15      | 366,28      |
| დინების მაქსიმალური<br>სიჩქარე        | მ/წთ         | 16,66       | 9,76        | 7,51        | 3,97        |
| ტალღის სიმაღლე                        | მ            | 40,9        | 14,93       | 10,47       | 1,9         |
| დატბორვის<br>მაქსიმალური სიღრმე       | მ            | 41,4        | 16,93       | 11,97       | 3,1         |
| დატბორვის<br>მაქსიმალური ნიშნული      | მ            | 468         | 380,93      | 320,47      | 201,9       |
| <b>დატბორვის მაქსიმალური სიმაღლე:</b> |              |             |             |             |             |
| მდინარის მარცხენა<br>ნაპირზე          | მ            | 50,14       | 178,5       | 82,34       | 354,76      |
| მდინარის მარჯვენა<br>ნაპირზე          | მ            | 50,14       | 62,34       | 51,87       | 154,76      |



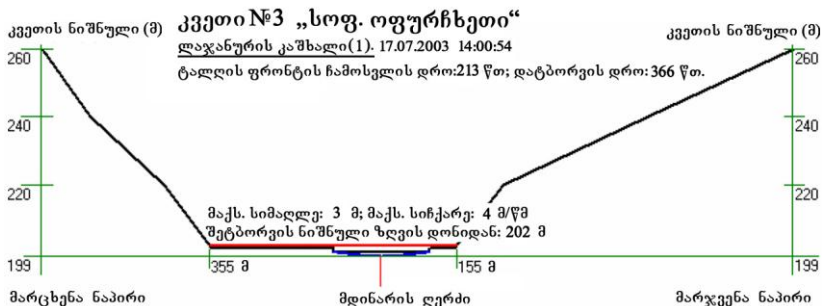
ნახ. 5.85



ნახ. 5.86



ნახ. 5.87



ნახ. 5.88

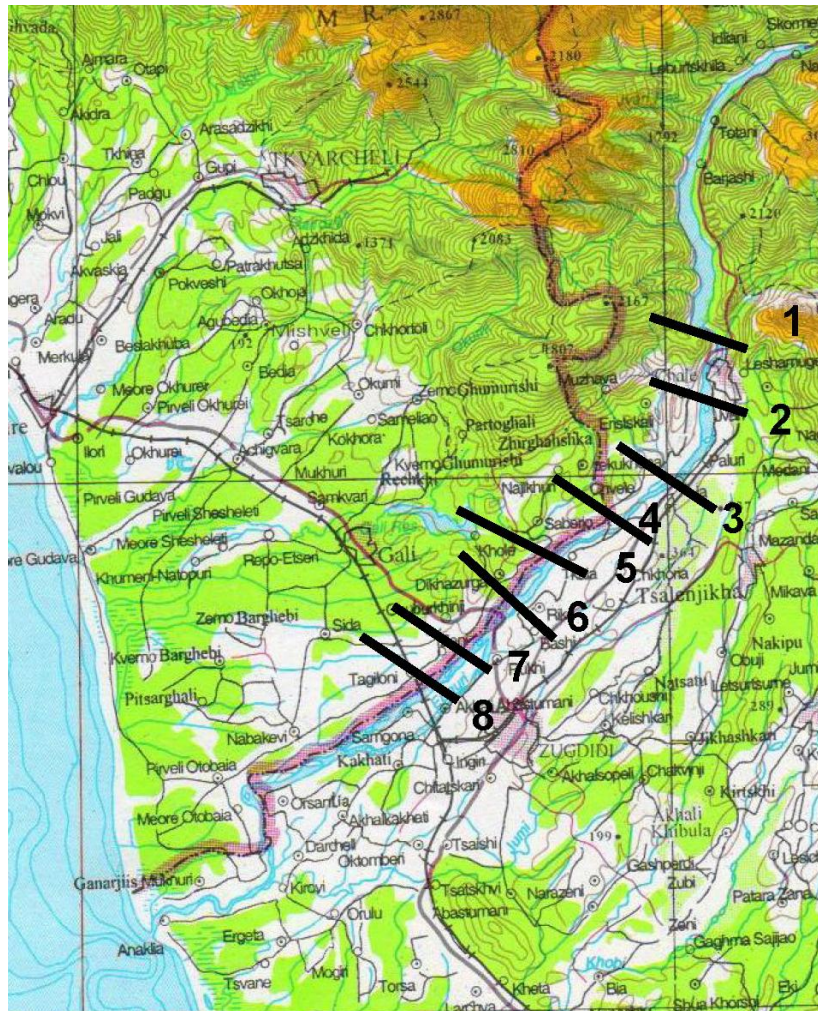
### 5.7. ენგურის კაშხლის შესაძლო ავარიის პროგნოზირება

ენგურის კაშხლი წარმოადგენს მსოფლიოში ერთ-ერთ უმაღლეს თაღოვან რკინა-ბეტონის კონსტრუქციას, რომელიც მდებარეობს ქ. ზუგდიდიდან 33 კმ-ის მანძილის დაშორებით მდ. ენგურის კალაპოტში ჩრდილოეთ მიმართულებით.

ენგურის თაღოვანი კაშხლის სიმაღლე არის 274 მ, მდინარის კალაპოტში მისი სიგანე 660 მ-ის ტოლია, ხოლო ნაგებობის ზედა ბიეფში წყლის შეტბორვის მაქსიმალური სიმაღლე 250 მ-ს არ აღემატება.

ენგურის კაშხლის წყალსაცავის მოცულობა ტოლია 1 მილიარდ 110 მლნ კუბური მეტრის, ხოლო სარკის ზედაპირის ფართობი 10,13 მლნ მ<sup>2</sup> [43].

ენგურის კაშხლის ავარიის პროგნიზირება ჩატარებული იყო 0,75 % ალბათობაზე, რისთვისაც შერჩეული იყო კვეთები დასახლებულ პუნქტებში (ნახ. 5.89), რომლის ჩამონათვალიც განხილულია ქვემოთ [43].



ნახ. 5.89. საანგარიშო კვეთების გეგმა

კვეთი კაშხლის ტანზე;

1. სოფ. ჯვარი კაშხლიდან დაშორებულია – 5 კმ-ით;
2. სოფ. ზედა ლია – 9 კმ-ით;

3. სოფ. საბერიო – 18,5 კმ-ით;
4. სოფ. ზენი – 23,0 კმ-ით;
5. სოფ. რიყე – 25,5 კმ-ით;
6. ქ. ზუგდიდის ხიდი – 28,5 კმ-ით;
7. სოფ. ჭუბურხინჯი – 30,5 კმ-ით;
8. ზუგდიდი-გალის სივრცე – 33,0 კმ-ით.

ენგურის კაშხლის ავარიის შემთხვევაში დასახლებულ პუნქტებში მდ. ენგურის ღერძიდან მარცხნივ და მარჯვნივ დატბორილი ფართობების გეომეტრიული ზომები, ტალღის ფრონტის სიჩქარე და ტალღის სიმაღლე, შესაბამის კვეთებში განხილულია ქვემოთ:

1. სოფ. ჯვარი  
მარცხნივ – 795 მ; მარჯვნივ – 498 მ;  
ტალღის სიმაღლე – 46 მ;  
ტალღის სიჩქარე – 19 მ/წმ;
2. სოფ. ზედა ლია  
მარცხნივ – 470 მ; მარჯვნივ – 765 მ;  
ტალღის სიმაღლე – 37 მ;  
ტალღის სიჩქარე – 16 მ/წმ;
3. სოფ. საბერიო  
მარცხნივ – 1046,0 მ; მარჯვნივ – 1146 მ;  
ტალღის სიმაღლე – 18 მ;  
ტალღის სიჩქარე – 11 მ/წმ;
4. სოფ. ზენი  
მარცხნივ – 1590 მ; მარჯვნივ – 1010 მ;  
ტალღის სიმაღლე – 14 მ;  
ტალღის სიჩქარე – 9 მ/წმ;

5. სოფ. რიყე  
მარცხნივ – 1493 მ; მარჯვნივ – 1586 მ;  
ტალღის სიმაღლე – 11 მ;  
ტალღის სიჩქარე – 8 მ/წმ;
6. ქ. ზუგდიდის ხიდი  
მარცხნივ – 1701 მ; მარჯვნივ – 596 მ;  
ტალღის სიმაღლე – 13 მ;  
ტალღის სიჩქარე – 9 მ/წმ;
7. სოფ. ჭუბურხინჯი  
მარცხნივ – 1818 მ; მარჯვნივ – 1864 მ;  
ტალღის სიმაღლე – 9 მ;  
ტალღის სიჩქარე – 7 მ/წმ;
8. ზუგდიდი–გალის სივრცე  
მარცხნივ – 1964 მ; მარჯვნივ – 15838 მ;  
ტალღის სიმაღლე – 4 მ;  
ტალღის სიჩქარე – 3 მ/წმ.

ენგურის კაშხლის ავარიის შემთხვევაში ზუგდიდი–გალის სივრცეში და მისი გავლის შემთხვევაში, შავი ზღვის აკვატორიაში წყალი ჩაედინება 27 802 მ სიგანით, რაც შეეხება წყლის გაშლის ხარისხს, იგი მიმდინარეობს როგორც აღმოსავლეთის, ასევე დასავლეთის მიმართ ულებით.

ენგურის კაშხლის ანგარიშის დეტალური მონაცემები მოცემულია ცხრილებში 5.31-5.33, ხოლო შესაბამისი გრაფიკული მასალა კი მაჩვენებია ნახაზებზე 5.90-5.98.

ცხრილი 5.31

## სამუშაოს ანბარიში

დრო: 19:07:2003, 14:37:51

დასახელება: ენგურის კაშხალი (0,75)

194

| პიღოვანის საწყისი მონაცემები:                            | განზ. ერთ.         | რაოდ. |
|--|--------------------|-------|
| 1. წყალსაცავის მოცულობა ნორმალური შეტბორვის დონეზე (ნშდ) | მლნ მ <sup>3</sup> | 1110  |
| 2. წყალსაცავის სიღრმე კაშხალობან ნშდ-ზე                  | მ                  | 250   |
| 3. სარკის ზედაპირის ფართობი ნშდ-ზე                       | მლნ მ <sup>3</sup> | 10,13 |
| 4. კაშხლის სიგანე ნშდ-ზე                                 | მ                  | 660   |
| 5. მდინარის სიღრმე კაშხლის ქვედა ბიეფში                  | მ                  | 1,4   |
| 6. მდინარის სიგანე კაშხლის ქვედა ბიეფში                  | მ                  | 75    |
| 7. მდინარის სიჩქარე კაშხლის ქვედა ბიეფში                 | მ/წ                | 1,5   |
| 8. წყალსაცავის სიღრმე კაშხლის ავარიის მომენტში           | მ                  | 250   |
| 9. კაშხლის ნერევის ხარისხი                               | მ                  | 0,75  |
| 10. მდინარის კალაპოტის ნაპირის რღვეულის სიმაღლე          | მ                  | 1     |
| 11. წყალსაცავში წყლის ნორმალური შეტბორვის ნიშნული        | მ                  | 510   |
| 12. მდინარის კალაპოტში განივი პროფილების რაოდენობა       | გ                  | 8     |

ცხრილი 5.32

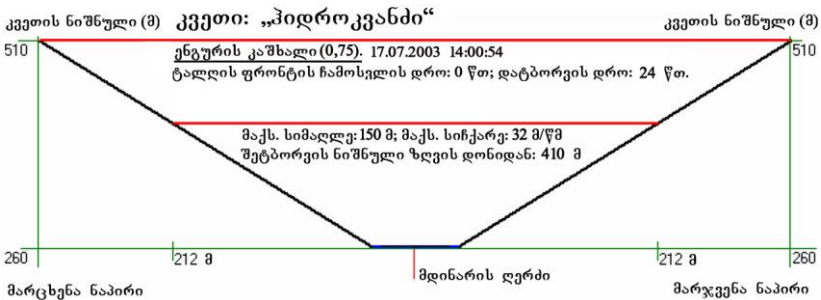
| განივი კეთების დახასიათება              | გან.ერთ. | პეტო<br>№1 | პეტო<br>№2 | პეტო<br>№3 | პეტო<br>№4 | პეტო<br>№5 | პეტო<br>№6 | პეტო<br>№7 | პეტო<br>№8 |
|---|----------|------------|------------|------------|------------|------------|------------|------------|------------|
| 1                                       | 2        | 3          | 4          | 5          | 6          | 7          | 8          | 9          | 10         |
| i-ური კეთის დაცილება კაშხლიდან          | კმ       | 5          | 9          | 18,5       | 23         | 25,5       | 28,5       | 30,5       | 33         |
| <b>სვერდლითი ნაკადი:</b>                |          |            |            |            |            |            |            |            |            |
| წყლის შეტბორვის ნიშნული                 | მ        | 235        | 230        | 170        | 145        | 130        | 116        | 104        | 88         |
| სიღრმე                                  | მ        | 1,4        | 1,5        | 1,5        | 1,5        | 1,5        | 1,5        | 1,5        | 1,5        |
| სიგანე                                  | მ        | 400        | 350        | 600        | 500        | 800        | 625        | 1000       | 1200       |
| ნაკადის სიჩქარე                         | მ/წმ     | 1,5        | 1,5        | 1,4        | 1,5        | 1,5        | 1,5        | 1,5        | 1,5        |
| <b>მარცხენა ნაპირი</b>                  |          |            |            |            |            |            |            |            |            |
| მდინარის ნაპირის რღვეულის სიმაღლე       | მ        | 1          | 1          | 0,7        | 0,7        | 0,7        | 1          | 1          | 1          |
| მდინარის ნოლა კალაპოტის სიგანე          | მ        | 50         | 50         | 100        | 500        | 800        | 800        | 1000       | 1200       |
| ნიშნული №1                              | მ        | 280        | 240        | 180        | 160        | 140        | 120        | 120        | 95         |
| მანძილი მდინარის დერძიდან №1 ნიშნულამდე | მ        | 800        | 275        | 1000       | 1800       | 1500       | 1200       | 2200       | 2400       |
| ნიშნული №2                              | მ        | 360        | 280        | 220        | 180        | 160        | 140        | 140        | 100        |
| მანძილი მდინარის დერძიდან №2 ნიშნულამდე | მ        | 1600       | 575        | 1300       | 2500       | 3500       | 2500       | 10000      | 9000       |

ცხრილი 5.32 (გაგრძელება)

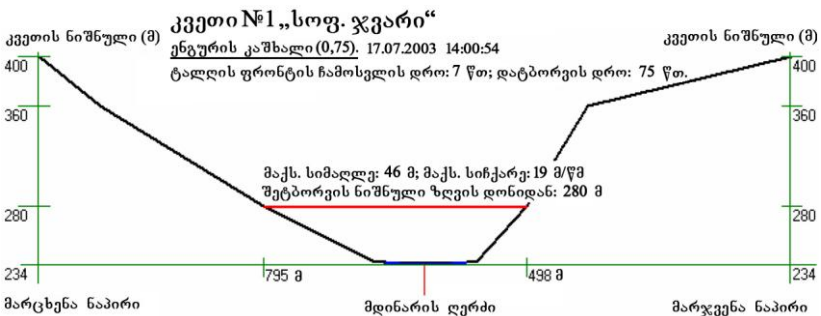
| 1  | 2 | 3    | 4    | 5     | 6    | 7    | 8    | 9     | 10    |
|--|---|------|------|-------|------|------|------|-------|-------|
| ნიშნული №3                                 | გ | 400  | 360  | 240   | 200  | 180  | 160  | 160   | 120   |
| მანძილი მდინარის ღერძიდან №3<br>ნიშნულამდე | გ | 1900 | 955  | 1800  | 4500 | 3800 | 6400 | 10500 | 9200  |
| <b>მარჯვენა ნაპირი</b>                     |   |      |      |       |      |      |      |       |       |
| მდინარის ნაპირის რღვეულის სიმაღლე          | გ | 1    | 1    | 0,7   | 0,7  | 0,7  | 3    | 1     | 1     |
| მდინარის ნოდა კალაპოტის სიგანე             | გ | 50   | 50   | 100   | 200  | 600  | 100  | 1000  | 500   |
| ნიშნული №1                                 | გ | 280  | 240  | 180   | 160  | 140  | 120  | 120   | 89,5  |
| მანძილი მდინარის ღერძიდან №1<br>ნიშნულამდე | გ | 500  | 375  | 11100 | 1150 | 1600 | 500  | 2300  | 15000 |
| ნიშნული №2                                 | გ | 360  | 280  | 220   | 180  | 160  | 140  | 140   | 97    |
| მანძილი მდინარის ღერძიდან №2<br>ნიშნულამდე | გ | 800  | 975  | 1400  | 1300 | 1700 | 750  | 2600  | 20500 |
| ნიშნული №3                                 | გ | 400  | 360  | 240   | 200  | 180  | 160  | 160   | 104,5 |
| მანძილი მდინარის ღერძიდან №3<br>ნიშნულამდე | გ | 1800 | 2475 | 1500  | 1400 | 2150 | 1600 | 3400  | 26000 |

ცხრილი 5.33

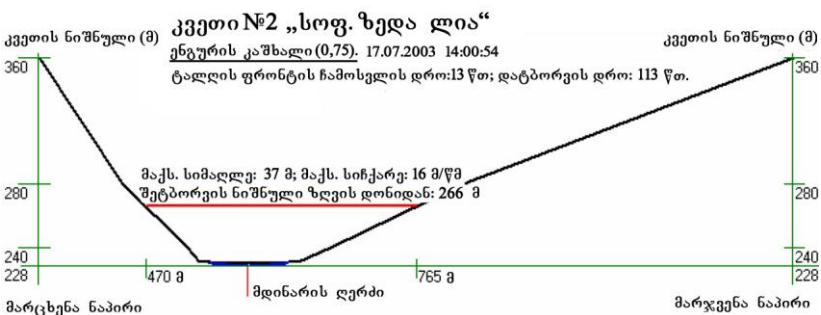
| კაშხლის განგრევის<br>პარამეტრები      | გან.<br>ერთ.             | კვეთი<br>№0 | კვეთი<br>№1 | კვეთი<br>№2 | კვეთი<br>№3 | კვეთი<br>№4 | კვეთი<br>№5 | კვეთი<br>№6 | კვეთი<br>№7 | კვეთი<br>№8 |
|---------------------------------------|--------------------------|-------------|-------------|-------------|-------------|-------------|-------------|-------------|-------------|-------------|
| კვეთის დაშორება<br>პილოტკვეთიდან      | კმ                       | 0           | 5           | 9           | 18,5        | 23          | 22,5        | 28,5        | 30,5        | 33          |
| კვეთში წყლის მაქსიმალური<br>ხარჯი     | ათ.მ <sup>3</sup><br>/წთ | 1622        | 496         | 328         | 177,1       | 149,5       | 138,5       | 126,9       | 120,7       | 114,18      |
| <b>დორო:</b>                          |                          |             |             |             |             |             |             |             |             |             |
| ტალღის ფრონტის დაწევის                | წთ                       | 0           | 4,7         | 10,8        | 27,05       | 38,23       | 45,43       | 54,54       | 60,21       | 69,29       |
| ტალღის დაწევის                        | წთ                       | 0           | 6,96        | 13,5        | 38,6        | 50,61       | 58,3        | 66,94       | 73,79       | 83,16       |
| ტალღის კუდის დაწევის                  | წთ                       | 23,79       | 79,4        | 124         | 236,9       | 286,9       | 314,7       | 348         | 370,2       | 398         |
| დატბორვის                             | წთ                       | 23,79       | 74,6        | 113         | 209,8       | 248,7       | 269,2       | 293,5       | 310         | 328,71      |
| დინების მაქსიმალური სიჩქარე           | მ/წთ                     | 32,2        | 18,6        | 16,4        | 10,54       | 8,67        | 7,97        | 8,89        | 7,14        | 3,4         |
| ტალღის სიმაღლე                        | მ                        | 148,6       | 44,6        | 36          | 16,08       | 12,14       | 9,78        | 11,71       | 7,82        | 2,64        |
| დატბორვის მაქსიმალური<br>სიღრმე       | მ                        | 150         | 46          | 37,5        | 17,58       | 13,64       | 11,28       | 13,21       | 9,32        | 4,14        |
| დატბორვის მაქსიმალური<br>ნიშნული      | მ                        | 410         | 280         | 226         | 186,1       | 157,1       | 139,8       | 127,7       | 111,8       | 90,64       |
| <b>დატბორვის მაქსიმალური სიმაღლე:</b> |                          |             |             |             |             |             |             |             |             |             |
| მდინარის მარცხენა ნაპირზე             | მ                        | 266,4       | 795         | 470         | 1046        | 1590        | 1493        | 1701        | 1818        | 1964,3      |
| მდინარის მარჯვენა ნაპირზე             | მ                        | 266,4       | 498         | 765         | 1146        | 1010        | 1586        | 596,4       | 1864        | 15838       |



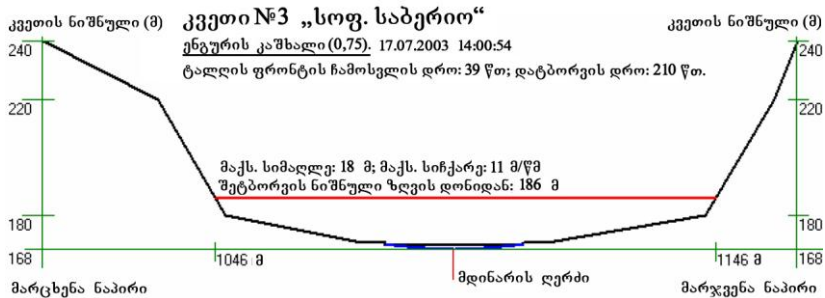
ნახ. 5.90



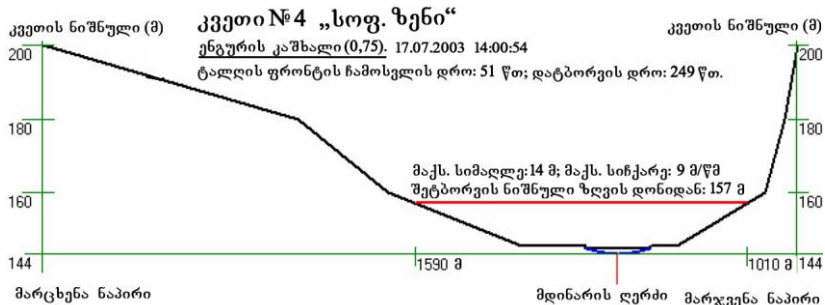
ნახ. 5.91



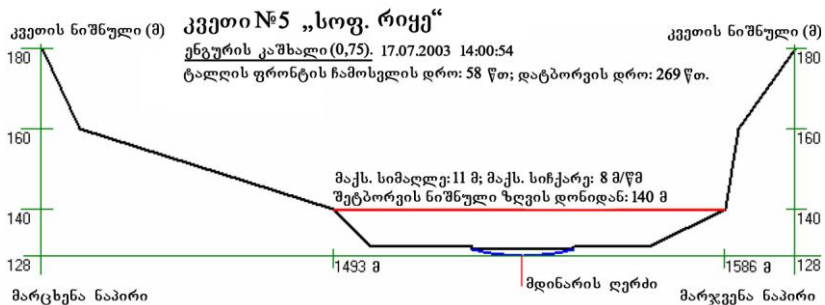
ნახ. 5.92



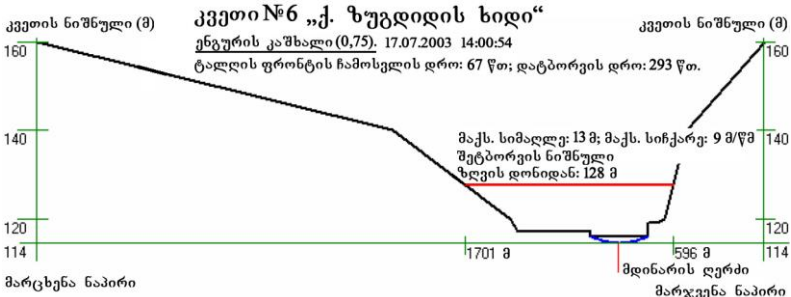
ნახ. 5.93



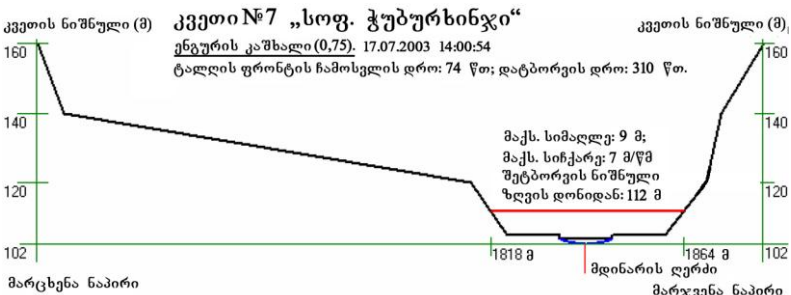
ნახ. 5.94



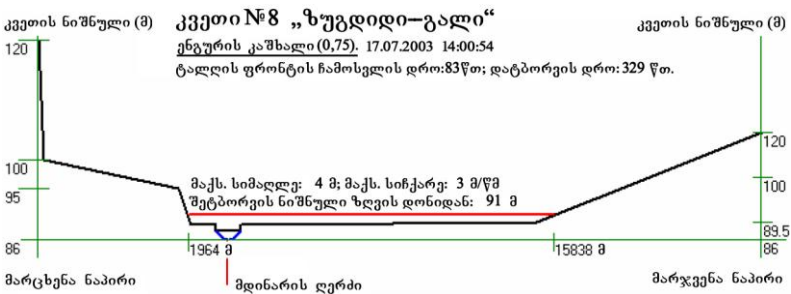
ნახ. 5.95



ნახ. 5.96



ნახ. 5.97



ნახ. 5.98

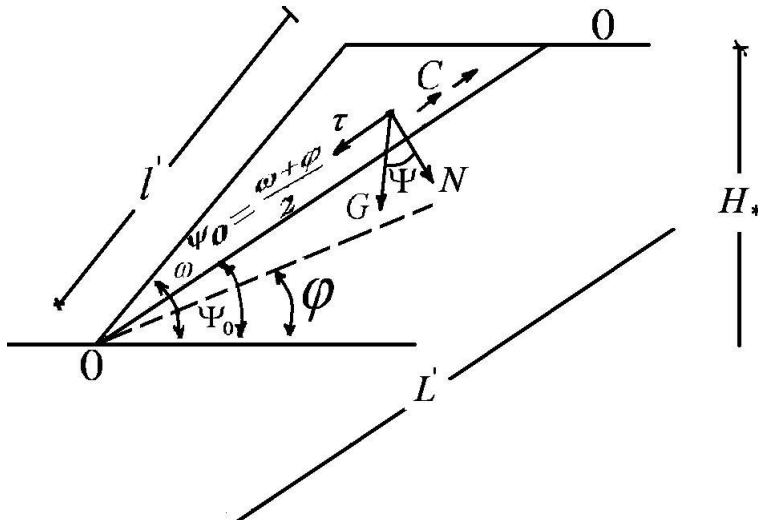
ამრიგად, ჩატარებული მათემატიკური იმიტაციის საფუძველზე დადგენილია საქართველოს მაღლივი კაშხლების შესაძლო ავარიის შემთხვევაში წყლით დატბორილი ტერიტორიების კონტურები, რაც ტექნოგენური კატასტროფების შემთხვევაში მოსალოდნელი საშიშროების ანალიზის საშუალებას იძლევა.

**თავი 6. მეწყრული პროცესებისა და თოვლის  
ზეაგის მოძაობის დაწყების ანალიზი  
გატასტროზების თეორიის მიხედვით**

**6.1. მცირე სიმძლავრის მეწყერის ანალიზი**

განვიხილოთ მცირე სიმძლავრის მეწყერი და დავუშვათ, რომ მთის ფერდის დაძვრის სიბრტყეს აქვს წრფივი ხასიათი (ნახ. 6.1), სადაც  $\ell'$  – მთის ფერდობის სიგრძეა,  $L'$  – დაცურების სიბრტყის სიგრძე,  $H_*$  – მთის ფერდობის სიმაღლე. ჩამოცურების სიბრტყეში გრუნტის აქტიური (კრიტიკული) შეჭიდელობის მაღის მნიშვნელობა ტოლია [10]:

$$c = \frac{\gamma H_*}{2} \cdot \frac{\sin(\omega - \psi) \cdot \sin(\psi - \varphi)}{\sin \omega \cdot \cos \varphi}. \quad (6.1)$$



ნახ. 6.1. მთის ფერდობის განვი ჭრილი

გავაწარმოოთ (6.1) გამოსახულება  $\psi$  პუთხით (გრუნტის ჩამონგრევის კუთხე), მივიღებთ:

$$\frac{dc}{d\psi} = \frac{\gamma H_*}{2} \cdot \frac{\cos(\psi - \varphi_0) - \sin(\psi_0 - \varphi) \cdot \cos(\omega - \psi_0)}{\sin \omega \cdot \cos \varphi} \quad (6.2)$$

განვიხილოთ  $c(\psi)$  ფუნქციის ტეილორის მწვრთვად გაშლა [60]:

$$c(\psi_0 + \varphi) = a_0 + a_1 \psi + a_2 \psi^2 + a_3 \psi^3 + \dots \quad (6.3)$$

დავადგინოთ (6.3) მწვრთვის კოეფიციენტები:

$$a_0 = a' \sin^2 \frac{(\omega - \varphi)}{2}; \quad (6.4)$$

$$a_1 = 0; \quad (6.5)$$

$$a_2 = -a'; \quad (6.6)$$

$$a_3 = 0; \quad (6.7)$$

$$a_4 = \frac{1}{3} a', \quad (6.8)$$

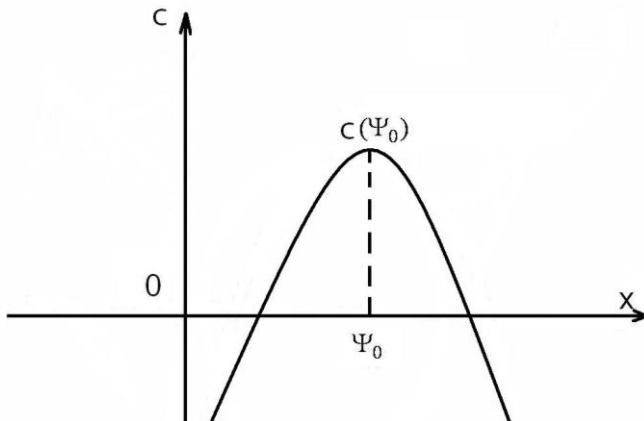
$$\text{სადაც } a' \equiv \frac{\gamma H_*}{2 \sin \omega \cdot \cos \varphi}.$$

მწვრთვის კოეფიციენტების გათვალისწინებით (6.3) გამოსახულება მიიღებს შემდეგ სახეს [10]:

$$c(\psi_0 + \psi) = a' \sin^2 \frac{(\omega - \varphi)}{2} - a' \psi^2 + \frac{1}{3} a' \psi^4 - \dots \quad (6.9)$$

კატასტროფების თეორიიდან [62] ცნობილია, რომ კრიტიკული წერტილი გადაგვარებულია მაშინ, როდესაც  $D^2 f|_{x_0} \neq 0$ , სადაც  $f : R \rightarrow R$  ფუნქცია და  $x_0$  – კრიტიკული წერტილია; ამ შემთხვევაში, მორსის ლემის თანახმად, არსებობს კოორდინატთა გლუვი ლოკალური გარდაქმნა, რის შედეგადაც  $f$  ფუნქცია მიიღებს  $\pm x^2$ -ის

მნიშვნელობას, სადაც ნიშანი ემთხვევა  $D^2 f|_{x_0}$ -ის ნიშანს, ჩვენს შემთხვევაში  $D^2 c|_{\psi_0} = -a' \neq 0$ , ე.ი. გრუნტის მასის შეჭიდულობის ძალის ფუნქციის ქვედა ყო წერტილში ლოკალურად აღიწერება  $(-a' \psi^2)$  ფუნქციით, რომლის გრაფიკი მოცემულია 6.2 ნახაზზე.



ნახ. 6.2. მთის ფერდობის გრუნტის შეჭიდულობის ძალის ფუნქციის გრაფიკი

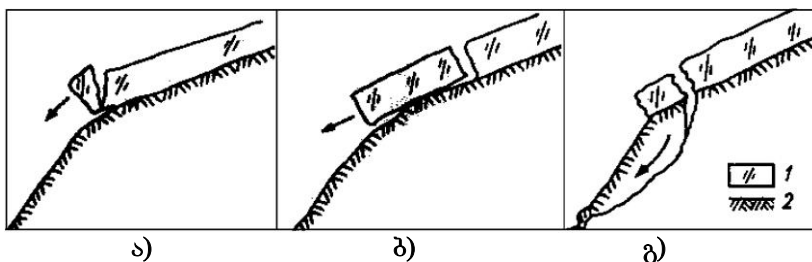
ჩატარებული მათემატიკური ანალიზიდან გამომდინარე, შეიძლება გავაკეთოთ შემდეგი დასკვნა:

მთის ფერდობის გრუნტის მოცელობითი წონის გაზრდასთან დაკავშირებით გრუნტის შიგა ხახუნის კუთხე ( $\varphi$ ) იზრდება და როდესაც ის მიაღწევს ლოკალური მაქსიმუმის წერტილს ( $\psi_0$ ), მაშინ გრუნტის შეჭიდულობის ძალის მნიშვნელობა კრიტიკულია  $c(\psi_0)_{kr}$ , რომლის მცირედი ცვლილებისას (შეშფოთებისას) იწყება მთის ფერდის ჩამოცურება სიბრტყეზე სიგრძით —  $L_0$  (ნახ. 6.2).

## 6.2. თოვლის ზვავის მოძრაობის დაწყების ანალიზი კატასტროფების მათემატიკური თეორიის გამოყენებით

ბუნების სტიქიური მოვლენებიდან თოვლის ზვავის წარმოშობას მეცნიერ-სპეციალისტები მიაკუთვნებენ ერთ-ერთ მრისხანე მოვლენას. ამ პრობლემის შესწავლა აქტუალურია და, შესაბამისად, ამ დარგის სპეციალისტების ყურადღებას იმსახურებს.

ჩვენს პლანეტაზე თოვლის ზვავის მოქმედების შედეგად ადამიანის მსხვერპლის მიხედვით ყველაზე შემზარავ შემთხვევებს ადგილი პქნდა პერუში 1962 და 1970 წლებში, როდესაც, პირველ შემთხვევაში, თოვლის ზვავმა ანდების მთებში შეიწირა 4000 ადამიანის სიცოცხლე, ხოლო მეორე შემთხვევისას, მიწისძვრის შედეგად უასკარინის მთაზე წარმოიშვა თოვლის ზვავი, რომელსაც თან დაერთო მეწყერი და სტიქიამ 18000 ადამიანი იმსხვერპლა. ზვავის მოცულობამ  $10^8$  მ<sup>3</sup> შეადგინა [15].

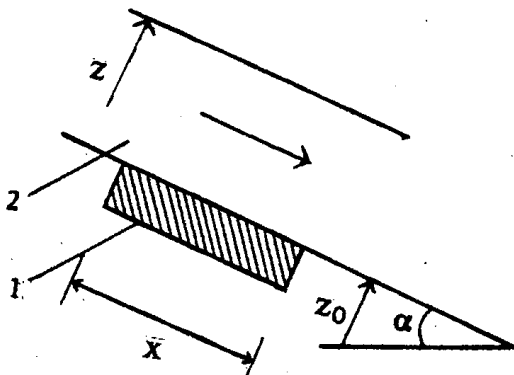


ნახ. 6.3. თოვლის ზვავის წარმოშობის გარიანტები

- ა) თოვლის მასის წარმოშობის ფრონტალური დარღვევა;
- ბ) თოვლის ყინულოვანი პლასტის მთის ფერდობიდან მოწყვეტა;
- გ) თოვლის საფარისა და მთის ფერდობის გრუნტის ერთობლივი მოძრაობა. 1 – თოვლის ზვავი, 2 – გრუნტი.

თოვლის ზვავი წარმოშობის მიხედვით შეიძლება განვიხილოთ: თოვლის მასის წონასწორობის ფრონტალური დარღვევა; თოვლის ყინულოვანი პლასტის (ფენის) მთის ფერდობიდან მოწყვეტა და თოვლის საფარისა და მთის ფერდობის გრუნტის ერთობლივი მოძრაობა (ნახ. 6.3).

განვიხილოთ  $\alpha$  კუთხით დახრილ მთის ფერდობზე მდებარე თოვლის მასა [15], რომელიც წონასწორულ მდგომარეობაში იმყოფება (ნახ. 6.4).



ნახ. 6.4. საანგარიშო სქემა

1 – თოვლის საფარის დასუსტებული ფენა; 2 – თოვლის დაფა

სადაც  $X$  თოვლის ზვავის სიგრძეა, რომელიც იმყოფება კრიტიკულ მდგომარეობაში;  $Z$  – თოვლის საფარის სისქე.

თოვლის ზვავის წარმოშობის დროს ძირითად პარამეტრად გვევლინება დაძაბულობა თოვლის საფარის დასუსტებულ ფენაში, რომელიც კავშირშია ( $X/Z$ ) სიდიდესთან, თოვლის წნევასა ( $P_w$ ) და წნევის ეფექტზე ( $\sigma \sim P_w$ ), სადაც  $\sigma$  – ნორმალური ძაბვაა თოვლის ჩამოცურების სიბრტყეში [15].

ცნობილი მეცნიერი რ. ხეფელი თოვლის ხახუნის წინაღობის სიდიდეს იღებდა  $(\sigma - P_w) \operatorname{tg} \alpha$ -ს ტოლად.

დაძაბულობა ჩამოცურების სიბრტყეში ტოლია [15]

$$\sigma_x = \gamma g X (\sin \alpha - \cos \alpha \cdot \operatorname{tg} \varphi) + \left( \frac{x}{z} \right) P_w \operatorname{tg} \varphi, \quad (6.10)$$

სადაც  $\gamma$  თოვლის სიმკვრივეა ( $\text{გ}/\text{მ}^3$ ),  $g$  – სიმძიმის ძალის აჩქარება ( $\text{მ}/\text{წ}^2$ ),  $\varphi$  – ხახუნის კუთხე. ცნობილია, რომ თოვლის სიმკვრივე იცვლება  $0,1 \div 0,55$   $\text{გ}/\text{მ}^3$ -ის ფარგლებში.

დაცურების ზედაპირზე დაძვრის რღვევის განხორციელება ხდება მაშინ, როდესაც თოვლის ზვავის მოწყვეტის დაძაბულობა აჭარბებს შეჭიდულობის  $\tau$  ძაბვას [15]:

$$\tau = c + \sigma \operatorname{tg} \varphi \quad (\text{მგპა}) \quad (6.11)$$

სადაც  $C$  შეჭიდულობაა,  $\varphi$  – ხახუნის კუთხე,  $\sigma$  – ნორმალური დაძაბულობა.

განვიხილოთ თოვლის ზვავის მოძრაობა  $\vec{v}$  და  $Z$  დერძების მიმართ, როცა  $Z = 0$  და  $Z = Z_0$ , სადაც  $Z_0$  – თოვლის ზვავის სისქეა ( $\text{მ}$ ). მისი დაცურების ზედაპირის კუთხე ავლინიშნოთ  $\alpha$ -თი (ნახ. 6.4), მაშინ ნორმალური და მხები ძაბვები იქნება [15]:

$$\begin{cases} \sigma = \sigma_x \cos^2 \alpha + \sigma_z \sin^2 \alpha \\ \tau = \frac{\sigma_x - \sigma_z}{2} \sin^2 \alpha \end{cases} \quad (6.12)$$

თოვლის ზვავი მოძრაობას იწყებს, ძირითადად, საპუთარი წონის ვერტიკალური დაწნევით, რომელიც ტოლია

$$\sigma_x = \xi \sigma_z = \sigma_y \quad (6.13)$$

სადაც  $\xi$  არის თოვლის გვერდითი წნევის კოეფიციენტი და ტოლია

$$\xi = \frac{\mu}{\mu-1}, \quad (6.14)$$

სადაც  $\mu$  პუასონის კოეფიციენტია.

(6.14) განტოლებიდან მივიღებთ:

$$\mu = \frac{\xi}{\xi-1}. \quad (6.15)$$

ორგანზომილებიან გერტიკალურ სიბრტყეში ერთეული მოცულობის თოვლის ზვავის პოტენციური ენერგია ტოლია [15]:

$$E_3 = \frac{1}{2E} (\sigma_x^2 + \sigma_z^2 - 2\mu\sigma_x\sigma_z), \quad (6.16)$$

სადაც  $E$  თოვლის ზვავის დრეკადობის მოდულია (მგბა); ზღვრული წონასწორობის დროს მხები ძაბვა მიიღებს შემდეგ სახეს:

$$\tau = c + \gamma z_0 (\cos^2 \alpha + \xi \sin^2 \alpha) \operatorname{tg} \alpha, \quad (6.17)$$

სადაც  $\gamma$  თოვლის სიმკვრივეა ( $\delta/\theta^3$ ),  $z$  – თოვლის ზვავის სიმაღლე ( $\theta$ ). ზღვრული წონასწორობის დროს თოვლის გვერდითი წნევის კოეფიციენტი  $\xi$  ტოლია:

$$\xi = \frac{1}{\operatorname{tg}^2 \alpha}; \quad (6.18)$$

(6.18) განტოლების გამოყენებით (6.17) დამოკიდებულება მიიღებს შემდეგ სახეს:

$$\tau = c + 2\gamma z_0 \cos^2 \alpha \cdot \operatorname{tg} \varphi, \quad (6.19)$$

შემოვიჩანოთ აღნიშვნა

$$b \equiv 2\gamma z_0 \cos^2 \alpha. \quad (6.20)$$

მაშინ (6.17) მიიღებს შემდეგ სახეს:

$$\tau = c + btg \varphi . \quad (6.21)$$

თუ გავითვალისწინებთ (2.16), (2.17), (2.19)-ს, პოტენციური ენერგია მიიღებს შემდეგ სახეს:

$$E_3 = \frac{1}{2E} (\xi \sigma_z^2 + \sigma_z^2 - 2 \frac{\xi}{\xi-1} \xi \sigma_z^2) = \frac{2}{E \sin^2 \alpha} \times \frac{\xi^3 - 3\xi^3 + \xi - 1}{\xi - 1}; \quad (6.22)$$

შემოვიტანოთ აღნიშვნა:

$$D \equiv \frac{2}{E \sin^2 \alpha} \times \frac{\xi^3 - 3\xi^3 + \xi - 1}{\xi - 1}; \quad (6.23)$$

(2.24)-ის და (2.27)-ის გათვალისწინებით (2.26) გამოსახულება მიიღებს შემდეგ სახეს

$$E_3 = D(btg \varphi + c)^2. \quad (6.24)$$

როგორც (6.24) განტოლებიდან ჩანს  $E_3$  დამოკიდებულია ორ შინაგან  $\varphi$  და  $c$  ცვლადზე და  $b$  პარამეტრზე, რომელიც დაკავშირებულია: თოვლის ზეავის სიმკგრივებთან, ტენიანობასთან, მის სიმაღლესა და შიგა ხახუნის კუთხებთან [15, 62].

თოვლის ზეავის წონასწორობიდან გამოსვლის შესასწავლად, საჭიროა დავადგინოთ პოტენციური ენერგიის (6.24) კრიტიკული წერტილების ხასიათი კატასტროფების თეორიის მიხედვით, ამისათვის უნდა ვიპოვოთ პოტენციური ენერგიის გრადიენტი ( $\nabla E_3$ ) კოორდინატთა სათავეში. შემოვიტანოთ აღნიშვნა:

$$y_1 = \varphi, \quad y_2 = c \quad \text{და} \quad \nabla E_3 = \left( \frac{\partial E_3}{\partial y_1}; \frac{\partial E_3}{\partial y_2} \right), \quad (6.25)$$

გავშალოთ  $tg y_1$  ფუნქცია ტეილორის მცდივად [15]:

$$\operatorname{tg} y_1 = y_1 + \frac{1}{3} y_1^3 + \frac{2}{15} y_1^5 + \dots \quad (6.26)$$

განვიხილოთ  $\operatorname{tg} y_1$  ფუნქციის ტეილორის მწყრივად გაშლის პირველი ნაკადი:

$$\operatorname{tg} y_1 = y_1. \quad (6.27)$$

(6.27)-ის გათვალისწინებით (6.24) მიიღებს შემდეგ სახეს:

$$E_3 = D(b y_1 + y_2)^2. \quad (6.28)$$

პოტენციური ენერგიის გრადიენტი ტოლია:

$$\left. \begin{aligned} \frac{dE_3}{dy_1} &= 2D(b y_1 + y_2) \\ \frac{dE_3}{dy_2} &= 2D(b y_2 + y_2) \end{aligned} \right\} \quad (6.29)$$

რადგან  $E_3(0,0) = 0$ , მაშასადამე არაცხადი ფუნქციის შესახებ თეორემის გამოყენება არ შეიძლება და საჭიროა შევამოწმოთ მორსის ლემის პირობა. ე.ო. დავადგინოთ ე.წ. „ჰესიანის“ გადაგვარების პირობა [62]. შემოვიტანოთ აღნიშვნა:

$$H = \left( \frac{d^2 E_3}{d y_i d y_j} \right)_{ij} \quad \text{სადაც } i, j = 1, 2 \quad (6.30)$$

პოტენციური ენერგიის მეორე რიგის კერძო წარმოებულის პოვნის შემდეგ (6.30) მიიღებს შემდეგ სახეს:

$$H = \begin{vmatrix} 2Db^2 & 2Db \\ 2Db & 2D \end{vmatrix} = 0 \quad (6.31)$$

(6.31) დამოკიდებულების დეტერმინანტი ტოლია:

$$\det(H) = 4D^2 b^2 - 4D^2 b^2 = 0 \quad (6.32)$$

ე.ი. მორსის დემის პირობა არ სრულდება და მაშასადამე, კრიტიკული წერტილი არაიზოლირებული გადაგვარებული წერტილია, ანუ არ წარმოადგენს მორსის კრიტიკულ წერტილს, რადგან  $\Delta E_3 = 0$  და  $\det(H) = 0$ , ამიტომ ვიყენებთ განცალკევების დემას. ამისთვის საჭიროა ვოპოვოთ „ჰესიანის“ მახასიათებული განტოლების საკუთრივი მნიშვნელობა. (2.35)-ის ამოხსნის შედეგად მივიღებთ:

$$\lambda_1 = 0, \lambda_2 = b^2 + 1, \quad (6.33)$$

რადგან  $\lambda_1 = 0$  და  $\lambda_2 \neq 0$ , ამიტომ საწყისი შინაგანი ორი ცვლადიდან ცვლადთა ლოკალური გარდაქმნით გადაგვარდა მხოლოდ ერთი ცვლადი, ეს კი იმას ნიშნავს, რომ პოტენციური ენერგია ცვლადთა გარდაქმნის შემდეგ მიიღებს სახეს [62]:

$$E_3 = \text{cat}(Y, k) + f_m(X_2), \quad (6.35)$$

სადაც  $\text{cat}(Y, k)$  კატასტროფების ფუნქცია,  $Y$  – ცვლადთა რაოდენობა,  $k$  – პარამეტრების რაოდენობა,  $f_m$  – მორსის კვადრატული ფორმა. ჩვენს შემთხვევაში  $Y=1, k=1$ , ამიტომ ტომას თეორიის თანახმად

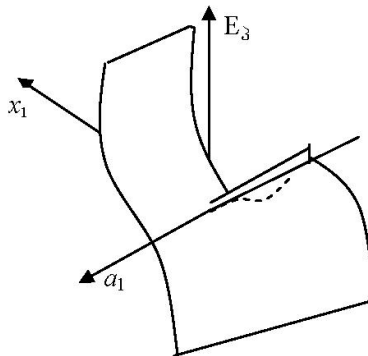
$$\text{cat}(1,1) = x_1^3 + a_1 x_1 \quad (6.36)$$

მიღებული კატასტროფა წარმოადგენს ტომას შვიდი კატასტროფიდან ე.წ. „ნაკეცის“ კატასტროფას.

პოტენციური ენერგიის ლოკალური სახე კოორდინატთა სათავეში ნაჩვენებია ნახ. 6.5-ზე.

პოტენციური ენერგიის კრიტიკული მნიშვნელობა კი ტოლია

$$x_1 = \pm \sqrt{-\frac{1}{3} a_1}. \quad (6.37)$$

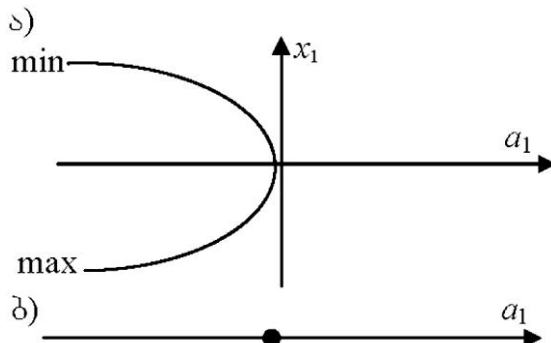


ნახ. 6.5. პოტენციური ( $E_p$ ) ენერგიის გრაფიკი

როგორც (6.37) გამოსახულებიდან ჩანს, ფუნქციის ლოკალური მინიმუმია

$$x_1 = -\sqrt{-\frac{1}{3}a_1}, \quad (6.38)$$

რომლებშიც იმყოფება ფაქტობრივად ზემოთ აღწერილი მოვლენა  $a_1$  პარამეტრის სხვადასხვა მნიშვნელობისათვის (ნახ. 6.6).



ნახ. 6.6. კრიტიკული წერტილები

- ა) ლოკალური მინიმუმები და მაქსიმუმები;
- ბ) ბიფურგაციის წერტილი

როგორც ჩანს, პარამეტრის უარყოფითი მნიშვნელობისათვის პოტენციურ ენერგიას აქვს ერთი ლოკალური მინიმუმი, ხოლო დადებითი მნიშვნელობისათვის საერთოდ არ აქვს, რაც იმას მიუთითებს, რომ  $a_1 = 0$  წერტილში პოტენციური ენერგია განიცდის ნახტომს და ფიზიკური მოვლენა გადადის სხვა მდგომარეობაში, რომელსაც ჩვენი მათემატიკური მეთოდი არ აღწერს. ე.ი.  $a_1 = 0$  წერტილში იწყება ზღვრულ წონასწორობაში მყოფი თოვლის ზვავის მოძრაობა. ამ წერტილს ეწოდება ბიფურქაციის წერტილი და იგი ერთადერთია [15, 62].

## მირითადი დასპენები და რეკომენდაციები

- საქართველოში 2008 წლის აგვისტოს თვეში გაჩენილი ხანძრის შედეგად გადაიწვა 1003 პექტარი ტყის ფართობი, აქედან 250 პექტარი გადამწვარია მთლიანად. საერთო ზარალმა 1 მილიარდ 212 მილიონ 595 ათასი ლარი შეადგინა;
- გადამწვარ ტერიტორიაზე განხორციელებული საინჟინრო-ეკოლოგიური გამოკვლევებით დადგინდა, რომ მთლიანად გადამწვარი 250 პექტარიდან, სენსიტიურ - ძლიერ ეროზიულ უბნებს მიეკუთვნება 191 პექტარი ტყის ფართობი, რომლებიც ამჟამად მიეკუთვნება ეროზიის მეორე კლასს და ინგლისელი პროფესორის, რ. მორგანის სკალის გათვალისწინებით, შეესაბამება ეროზიის ინტენსივობას წელიწადში 2-5 ტ/ჰა-ზე;
- სენსიტიურ უბნებზე აღებული ნიადაგის ანალიზის მონაცემები ადასტურებს, რომ ადვილად ხსნადი მარილების საერთო რაოდენობა ნიადაგის ზედა ფენებში შეადგენს 2%-ს. პუმუსის შემცველობა ძალიან მცირეა – 1.25%-ს აღწევს. ნიადაგი უმეტესად კარბონატულია, დარიბია საკვები ელემენტებით. შთანთქმული *Na*-ის რაოდენობა ტევადობის 2.34%-ს შეადგენს, რაც დასაშვებ ნორმაზე მეტია. ნიადაგებისათვის დამახასიათებელია მცირე რაოდენობით ხოდის შემცველობა, საერთო ტუბიანობა საკმაოდ მაღალია და ტოქსიკურ ზღვარს აღწევს. ქლორის შემცველობა სიღრმეში მატულობს და მცენარეებისათვის საშიშ ზღვარზე მეტია. ამ მონაცემებიდან გამომდინარე, შესწავლილ

ნიადაგს დაკარგული აქვს სტრუქტურა და ხასიათდება წყლისა და ქარისმიერი ეროზის მიმართ დიდი სენსიტიურობით;

- გადამწვარ ტყის ფერდობებზე წარმოქმნილი ეროზის საწინააღმდეგოდ შემოთავაზებულია ახალი საინჟინრო-ეკოლოგიური კონსტრუქციები და მოწყობილობები, რომელთა მეცნიერულ-ტექნიკური სიახლის პრორიტეტებიც დამოწმებულია საქართველოსა და საზღვარგარეთის პატენტებით;
- აკადემიკოს ცოტნე მირცხულავას მიერ მსოფლიოში ცნობილი ეროზიული პროცესების პროგნოზირების მეთოდოლოგიის გამოყენებით ეროზის საწინააღმდეგო ახალი კონსტრუქციების დაპროექტებისათვის დამუშავებულია გაანგარიშების მეთოდი, რომელიც საშუალებას გვაძლევს მთის ფერდობის ტოპოგრაფიული, ნიადაგობრივი, გეოლოგიური, კლიმატური, ჰიდროლოგიური და წყლის ზედაპირული ნაკადის ჰიდრავლიკური პარამეტრების გამოყენებით ვიანგარიშოთ ეროზის საწინააღმდეგო ზვინულებს შორის მანძილი, რომელიც უზრუნველყოფს მთის ფერდობის მდგრადობას საიმედობის ელემენტების გათვალისწინებით;
- 2010 წლის აგვისტო-სექტემბერში ჩატარებული კვლევების თანახმად, ბორჯომის მუნიციპალიტეტის დაბა წალვერის ტერიტორიაზე გადამწვარ ტყის მასივებში ფორმირებული ბუნების სტიქიური მოვლენების რეგულირების მიზნით აუცილებელია განხორციელდეს ეროზიულ-დვარცოფული პროცესების საწინააღმ

დეგო პრევენციული საინჟინრო-ეკოლოგიური, სატყეო-მელიორაციული და კომპლექსური სახის ღონისძიებები. წინააღმდეგ შემთხვევაში, საშიშროება დაემუქრება არა მარტო დაბა წალვერის ტერიტორიაზე გადამწვარი ტყის ლანდშაფტებში განთავსებულ მთის ფერდობების ეკოლოგიურ მდგრადობას, არამედ ამ სოფელში და მიმდებარე ტერიტორიაზე განთავსებული მოსახლეობის სიცოცხლესაც.

- დვარცოფების რეგულირებისა და მთის მდინარეთა კალაპოტების ეფექტური სტაბილიზაციის მიზნით წყალთა მეურნეობის ინსტიტუტში დამუშავებულია ტრამპლინის ტიპის ჰიდროტექნიკური ნაგებობების ახალი კონსტრუქციები, რომელთა მუშაობის საიმედოობა და დვარცოფების დინამიკური ძალის მყისიერი ჩაქრობის ეფექტი დადგენილია ლაბორატორიული ცდების საშუალებით;
- ტრამპლინის ტიპის დვარცოფსაწინააღმდეგო ნაგებობის ჰიდრავლიკური გაანგარიშებისათვის ჩატარებულმა ლაბორატორიულმა ცდებმა დაგვანახა, რომ კონსტრუქცია მუშაობს საიმედოდ, სწრაფად აქრობს დვარცოფის კინეტიკურ ენერგიას და ეფექტურია მთის მდინარეთა კალაპოტის სტაბილიზაციისათვის, რაც საშუალებას გვაძლევს რეკომენდაცია გაფუჭიოთ პრაქტიკაში მათ სერიულ გამოყენებას;
- საიმედოობისა და რისკის თეორიის გამოყენებით შეფასებულია ტრამპლინის ტიპის ახალი კონსტრუქციების საიმედოობა და მწყობრიდან გამოსვლის რისკი

ნაგებობაზე დვარცოფის დინამიკური დარტყმის ძალითა და დვარცოფული მასით გამოწვეული წონითი დატვირთვის ცალ-ცალკე და ერთდროულად მოქმედების შემთხვევაში;

- ნაგებობის მწყობრიდან გამოსვლის მიღებული რისკის მინიმალური მნიშვნელობა ( $R_0 = 0.234$ ) საშუალებას გვაძლევს ტრამპლინის ტიპის ტრაპეციული ფორმის დვარცოფსაწინააღმდეგო კაშხალს გავუწიოთ რეკომენდაცია მისი მშენებლობისათვის.
- მთათუშეთის ტერიტორია და კერძოდ, სოფ. ჯვარბოსლის მიმდებარე ფერდობები უკიდურესი სენსიტიურობით ხასიათდება, რაც გამოწვეულია ფერდობების დიდი ქანობითა და ნიადაგ-გრუნტების წყლის ნაკადების მიმართ სუსტი წინააღმდეგობით;
- სოფელ ჯვარბოსლის მიმდებარე ფერდობზე შედარებით ახლად წარმოშობილი ოხიერი ჩამონადენის ზემოქმედებით წარმოშობილი ხევი, სიგრძით 185 მ და საშუალო სიღრძით 5-10 მ, შემდგომ პროგრესირებას განიცდის. ხევში ერთზიული პროცესები ამჟამადაც ინტენსიურად მიმდინარეობს;
- ხევის სტაბილიზაციისა და ერთზიული პროცესის შეჩერების თუ არა, შემცირების მიზნით მაინც, რეკომენდებულია მის მთელ სიგრძეზე 2-2 მ სიმაღლის თოხი ბეტონის წყალსაშვიანი კაშხლის მოწყობა;
- კაშხლის ზომებისა და რაოდენობის დადგენას წინ უსწრებდა პიდროლოგიური და პიდრაგლიკური გაანგარიშება 1% უზრუნველყოფის წყლის ხარჯის

ფორმირების გათვალისწინებით;

- ხეგზე მცირე ზომის კაშხლების მოწყობის გარდა, მიმდებარე ტერიტორიის მდგრადობის უზრუნველყოფის მიზნით განხორციელდა სატყეო-სამელიორაციო ღონისძიებები წინასწარ შერჩეული, ადგილობრივ პირობებთან ადაპტირებული ხის ჯიშების განაშენიანებით;
- ხევის კალაპოტში საინჟინრო სამუშაოების დამთავრებისა და ნაგებობათა სისტემის ექსპლუატაციაში შესვლის შემდეგ საჭიროა მუდმივი თვალყურის დევნება წარმოშობილი უწესივრობების დროულად და პვალიფიციურად ლიკვიდაციის მიზნით;
- განსაკუთრებულ ყურადღებას ითხოვს კაშხლების ქვედა ბიეფი, რომლებიც ნაგებობის ზედა ბიეფის მყარი ჩამონადენით შევსების შემდეგ დაექვემდებარება გადმოდინებული ნატანდატვირთული ვარდნილი წყლის (ჩანჩქერის) დამანგრეველ ზემოქმედებას. გარეცხილი ფუნდამენტი სასწრაფოდ უნდა იქნეს ადდგენილი ნაგებობის მდგრადობის უზრუნველყოფის მიზნით;
- პროექტით გათვალისწინებული მთის ფერდობის გამაგრებულ მონაკვეთზე მცენარეული საფარის აღსადგენად საჭიროა გამოყენებულ იქნეს თივის ჩათესვა-მულჩირება. ეს საშუალებას მოგვცემს აღდგეს მცენარეული საფარი ადგილობრივი სახეობებით. პროექტით გათვალისწინებულ უბანზე შეტანილი თივა ასევე შეასრულებს ნიადაგის მულჩის

როლს, როგორც ნიადაგში ორგანული ნივთიერებების დამატების და ეროზის პოტენციალის შემცირების საშუალება;

- თივა საჭიროა შეძენილ იქნეს ადგილობრივი ფერმერებისაგან, უშუალოდ მიმდებარე ტერიტორიებიდან. ეს განპირობებულია როგორ ლოჯისტიკური მოსაზრებებით, ასევე იმით, რომ თივის სათესლე ბანკი სახეობრივად შეესაბამებოდეს დასათესი უბნის მოთხოვნებს. ადგილობრივი მომწოდებლის შერჩევა უნდა განხორციელდეს თივის ხარისხის შედეგების შეფასების საფუძველზე. შესასყიდი თივა უნდა იყოს კარგად მომწიფებული. მისი გაშლა, მოსწორება შესაძლებელია მოთიბვიდან 1-2 კვირის ვადაში, ასევე შესაძლებელია გამოყენებულ იქნეს წინა წელს მოთიბული და სათანადო წესებით შენახული თივაც;
- თივის ჩათესვა-მულტირებისათვის ოპტიმალური პერიოდია აპრილი-სექტემბერი. ჩასათესი თივა ნიადაგზე თხელ ფენად უნდა გაიშალოს. ადგილობრივი პირობების მიხედვით თივა შესაძლებელია გაიშალოს ხელით ან ტრაქტორის გამოყენებით. მისი გამოყენების ნორმაა  $0,67$  ტ/ჰა. ამ მონაკვეთისათვის დაცურებულ ფერდობებზე ( $0,5$  ჰა) თივის ჩათესვა-მულტირებისათვის საჭირო თივის რაოდენობაა -  $0,34$  ტონა;
- უინგალის კაშხლის  $0,25$ ;  $0,50$ ;  $0,75$  ან  $1\%-იანი$  უზრუნველყოფის შესაძლო კატასტროფის შემთხვევაში მდ. არაგვისა და მდ. მტკვრის ნოდა კალაპოტში და მიმდებარე ტერიტორიაზე დადგენილია წყლით დატბორილი ტერიტორიების გეომეტრიული ზომები,

ტალღის სიმაღლე, სიჩქარე და სხვა ძირითადი ტოპო-გრაფიული და პიდროლოგიური მახასიათებლები;

- სიონის კაშხლის ავარიის შემთხვევაში მოცემულია ივრის ხეობაში დატბორილი ტერიტორიების ძირითადი გეომეტრიული მაჩვნებლები და დადგენილია დასახლებული პუნქტების ის ტერიტორიები, სადაც შესაძლებელია წყლის მასით დატბორვა;
- შაორისა და ლაჯანურის კაშხლების ავარიის შემთხვევაში დადგენილია დატბორილი ტერიტორიების ის ფართობები, სადაც შესაძლებელია საფრთხე შეექმნას არა მარტო მოსახლეობას, არამედ სხვადასხვა დანიშნულების სახალხო-სამეურნეო ობიექტებსაც;
- ენგურის კაშხლის ავარიის შემთხვევაში დიდი საშიშროების ქვეშ დაქაბა ის მოსახლეობა, რომლებიც განთავსებულია როგორც მდინარე ენგურის მიმდებარე ტერიტორიებზე, ასევე 20–25 კმ-ით დაშორებულ ტერიტორიაზე, სადაც წყლის ტალღის სიმაღლე 3–4 მ-ის ფარგლებში მერყეობს;
- საქართველოს მადლივი კაშხლების შესაძლო ავარიის შემთხვევაში წარმოშობილი წყალდიდობების წარმოდგენილი მათემატიკური იმიტაცია საქართველოს მთავრობას მოსახლეობის დაცვის მიზნით შესაბამისი სამაშველო, სამოქალაქო თავდაცვის და სხვა სახის გადაუდებელი სამუშაოების ჩატარებისათვის დაგეგმვის საშუალებას უსახავს;
- კატასტროფების მათემატიკური თეორიის გამოყენებით დადგენილია ზღვრულ წონასწორობაში მყოფი თოვლის ზვავის პოტენციური ენერგიის ცვალებადობა.

დადგინდა, რომ მთის ფერდობზე დაგროვილი თოვ-ლის ზვავის ზღვრული წონასწორობიდან გამოსვლა აღიწერება ნაკეცის კატასტროფით. წარმოდგენილი მეთოდოლოგია საშუალებას გვაძლევს განკსაზღვროთ თოვლის ზვავის მოძრაობის დაწყების თვისობრივი თავისებურება ალგებრული კოორდინატების მხედვე-ლობაში მიღებით.

## რეზიუმე

- ნაშრომში განხილულია საქართველოში 2008 წლის აგვისტოში საომარი მოქმედებების შედეგად გადამწვარი ტყის მასივების ეკოლოგიურ-ეკონომიკური ზარალის შეფასება და მთის ფერდობებზე ნიადაგის ეროზიისაგან დამცავი ღონისძიებები, რომელშიც წარმოდგენილია:
  - ბორჯომისა და გორის რაიონში გადამწვარი ტყის მასივების საერთო მდგომარეობა;
  - გადამწვარი ტერიტორიების ეკოლოგიურ-ეკონომიკური ზარალის გაანგარიშება;
  - ნიადაგის ეროზიული პროცესების პროგნოზირება და ეროზიის საწინააღმდეგო რესურსმზოგი ახალი კონსტრუქციები მათი დაპროექტების გაანგარიშების მეთოდებით.
- დამუშავებულია მდინარე არაგვის წყალშემკრებ აუზში მიმდინარე ეროზიულ-დვარცოფული პროცესების პროგნოზი მდინარე დუშეთის ხევისა და მლეთის ხევის მაგალითზე.
- შევიცარიის განვითარებისა და თანამშრომლობის სააგენტოს (**SDC**) დაფინანსებით წარმოდგენილია ლენტებისა და ცაგერის რაიონებში ეროზიულ-დვარცოფული პროცესების, წყალდიდობების საწინააღმდეგო საინჟინრო და ფიტომელიორაციული ღონისძიებები, რომლებიც განხორციელებულია მდინარე ტუმბრას მარცხენა, ეროზირებულ-დამეწყრილ ფერდობზე ბუშლაგების მოწყობით და მდინარე ტუმბრას მარჯვენა

შენაკადზე ხევის კალაპოტის სტაბილიზაციისათვის ხის ბარაჟების მონტაჟით (ლენტები).

- მდინარე ცხენისწყალზე ლენტებისა და ცაგერის რაიონებში ტერიტორიების წყალდიდობისაგან დაცვის მიზნით განხორციელდა ქვის დეზებისა და გაბიონების დაპროექტება და მშენებლობა.
- მსოფლიო საინჟინრო პრაქტიკის გათვალისწინებით, დვარცოფების ეფექტური რეგულირების მიზნით დამუშავებულია ტრამპლინის ტიპის ტრაპეციული ფორმის დვარცოფსაწინააღმდეგო კაშხალი, რომლის სიახლეც დამოწმებულია შესაბამისი პატენტის მოწმობით.
- საიმედობისა და რისკის თეორიის გამოყენებით შეფასებულია ტრამპლინის ტიპის ახალი კონსტრუქციების საიმედობა და მწყობრიდან გამოსვლის რისკი, ნაგებობაზე დვარცოფის დინამიკური დარტყმის ძალისა და დვარცოფული მასით გამოწვევული წონითი დატვირთვით, ცალ-ცალკე და ერთდროულად მოქმედების შემთხვევაში.
- გარემოს დაცვისა და ბუნებრივი რესურსების სამინისტროს მდგრადი განვითარების პროექტების განმახორციელებელ სააგენტოს დაკავითოთ (დამფინანსებელი მსოფლიო ბანკი, კონტრაქტი N-SDPIA/PADC/CQ-07) განხორციელებულია ახმეტის რაიონში, კერძოდ, მთათუშეთის სოფელ ჯვარბოსლის მიმდებარე ტერიტორიაზე წარმოშობილი ხევისა და ფერდობის გამაგრების საინჟინრო, ფიტო- და სატყეო მედიორაციული კომპლექსური ღონისძიებები, რომლებიც მთის ფერდობისა და ხევის მდგრადობის, ასევე მოსახლეობის

უსაფრთხოების გარანტიას იძლევა.

- სხვადასხვა უზრუნველყოფის რისკის მსედველობაში მიღებით დამუშავებულია საქართველოს მაღლივი კაშხლების: უინგალის, სიონის, ლაჯანურის, ენგურის და შაორის შესაძლო აგარის შემთხვევაში წარმოშობილი წყალდიდობების მათემატიკური იმიტაცია.
- კატასტროფების თეორიის გამოყენებით შეფასებულია მცირე სიმძლავრის მეწყერისა და თოვლის ზვავის მოძრაობის დაწყების ხარისხობრივი ანალიზი, რომელიც აღნიშნული პროცესების პროგნოზირების საშუალებას იძლევა.
- ნაშრომი ეხმიანება კატასტროფების შემცირების საერთაშორისო სტრატეგიის (ISDR) 2005-2015 წლების (18-22 იანვარი, 2005, ქ. კობე, იაპონია) ჩარჩო დოკუმენტს.

## **SUMMARY**

- The work deals with the estimation of ecological and economic damage to the forest tracts burnt as a result of the hostilities in August 2008 in Georgia and the measures of protecting the soil on mountains from erosion; it presents the general condition of the burnt forest tracts in the districts of Borjomi and Gori, and calculation of the ecological and economic losses of the burnt territories, the soil erosional processes are predicted and new anti-erosional resource-saving constructions, with methods of calculating their design are presented.
- The erosional-mudflow processes in the Aragvi catchment basin are forecast, as exemplified by the Dushetis-khevi and Mletis-khevi rivers.
- Engineering and phytoamelioration measures, funded by the Swiss Agency of Development and Cooperation (SDC), are presented against erosional-mudflow processes in Lentekhi and Tsageri districts. The measures are implemented on the left eroded and landslide-affected slope of the river Tumra, by setting up Bushlage and mounting wooden barrages toward stabilization of the bed of the right tributary of the Tumra (Lentekhi).
- In Lentekhi and Tsageri districts in order to protect territories on the Tskhenistsqali river stone spurs and gabions were designed and built.
- Taking into consideration the world engineering practice, a spring-board type trapezoid anti-mudflow dam was developed for effective regulation of mudflows, whose novelty is confirmed by a relevant patent certificate.

- Using the theory of reliability and risk, the reliability and risk of failure of a spring-board type new design is assessed for the case of separate and simultaneous action of the dynamic impact force of a mudflow and the weight load caused by the mudflow mass on the structure.
- On the order of the Agency for Implementing Projects of Stable Development of the Ministry of Environmental protection and Natural Resources (funded by the World Bank, contract № SDPIA/PADC/CQ-07) complex engineering, phyto and forest reclamation measures have been implemented in order to strengthen the newly-formed ravine and slope on the territory adjoining the Mtatusheti village of Jvarboseli, Akhmeta district, guaranteeing the stability of the mountain slope and ravine. Taking into account the presence of various risks, a mathematical imitation of high waters arising in the case of possible breakdown of Georgia's high dams of Zhinvali, Sioni, Lajanuri, Enguri and Shaori has been worked out.
- Using mathematical theory of catastrophe the variability of potential energy of avalanche, which is in boundary equilibrium, has been determined. It has been established that the exist from boundary equilibrium of the avalanche accumulated on mountain slope is described by the catastrophe of the fold. This makes possible to determine the peculiarity of the onset of avalanche motion with account of algebraic coordinates.
- The work is a response to the Hyogo (18-22 January, 2005, Kobe, Japan) framework document of the international strategy for disasters reduction (ISDR) 2005-2015.

## РЕЗЮМЕ

- В работе рассматриваются экологически-экономическая оценка ущерба сожженных лесных массивов в результате военных действий в Грузии в августе 2008 года и защитные мероприятия от эрозии почв на горных склонах, в которой представлены: общее состояние сожженных лесных массивов в Боржомском и Горийском районах, расчет экологически-экономического ущерба сожженных территорий; представлено прогнозирование эрозионных процессов почвы и противоэрэзионные ресурсосберегающие новые конструкции с методом расчета их проектирования.
- Разработан прогноз эрозионно-селевых процессов, протекающих в водосборном бассейне реки Арагви на примере ущелий рек Душети и Млетис Хеви.
- Представлены инженерные и фитомелиоративные мероприятия по борьбе с эрозионно-селевыми процессами и наводнениями в Лентехском и Цагерском районах, профинансированные Швейцарским агентством по развитию и сотрудничеству (SDC), которые осуществлены на левом эрозионно-оползневом склоне реки Тумбра с устройством бушлагов и монтажом деревянных барражей для стабилизации русла на левом притоке реки Тумбра (Лентехи).
- Для защиты территорий от наводнений на реке Цхенисцкали в Лентехском и Цагерском районе осуществлено проектирование и проведены соответствующие строительные работы каменных шпор и габионов.
- С учетом мировой инженерной практики, с целью эффективного регулирования селя, разработана противоселевая плотина трапецидального типа трапецидальной формы,

новизна которой защищена соответствующим патентом.

- С использованием теории надежности и риска произведена оценка надежности и риска выхода из строя конструкции силой динамического удара селя и селевой массы, вызванных весовой нагрузкой селя в случае действия их новые конструкции трамплинного типа – раздельно и одновременно.
- По заказу Агентства осуществления проектов устойчивого развития Министерства защиты окружающей среды и природных ресурсов (финансирование: Мировой банк, контракт № SDPIA/PADC/CQ-07) в Ахметском районе, в частности, на территории, прилегающей к селу Джварбосели, в Мтатушети осуществлены инженерные, фито и лесомелиоративные комплексные мероприятия по укреплению возникшего ущелья и склона, которые дают гарантию их устойчивости.
- Принимая во внимание риск разной обеспеченности, разработана математическая имитация наводнений, образованных в случае возможных аварий высоких плотин Грузии на примере плотин Жинвали, Сиони, Ладжанури, Ингури и Шаори.
- С помощью математической теории катастроф определены критериальные значения сдвига маломощных оползней и снежных лавин, которые дают возможность прогнозирования вышеуказанных процессов.
- Работаозвучна международной стратегии (ISDR) по сокращению катастроф Рамкового документа Хюго 2005-2015 гг.(18-22 ,январь, 2005, г. Кобе, Япония).

## ლიტერატურა

1. **Ayyub B.M.** – Risk Analysis Engineering and Economics – A CRC Press Company. Boca Raton, London, New York, Washington, D.C., 2003, 571 p.
2. **Гавардашвили Г.В., Шарангия Р.Л.** – Устройство для борьбы с эрозией. Авт. св. СССР №1783042, Бюлл. №47, М.: 1992 , с. 156.
3. **Gavardashvili G.V.** – The New Mud-Protective Structures and Their Calculation Methodology. Tbilisi, Republic of Georgia, 1995, 58 p.
4. **Gavardashvili G.V.** – Les Nouvelles Espèces Des Constructions De la Nature. Tbilisi, „Metsniereba” 1999, 42 p.
5. **Гавардашвили Г.В.** – Оценка надежности новых противо-селевых сооружений трамплинного типа. Труды международной конференции по русловым процессам, гидравлике трубопроводного транспорта, гидротехнических сооружений и вопросам гидроэнергетики. Тбилиси, 2000, ст. 111-112.
6. **Гавардашвили Г.В.** – Новые природозащитные конструкции и вопросы их надежности. Труды международного симпозиума по проектированию гидротехнических сооружений и проблемы их эксплуатации. ГТУ, Тбилиси, 2000, ст. 152-156.
7. **Гавардашвили Г.В.** – Разработка схем расположения противоселевых сооружений на горных реках. Труды международной конференции по теме "Эрозионно-селевые явления и некоторые смежные проблемы". Тр. института Грузгидро-экологии. Тбилиси, 2001, с. 33-39.
8. **Гавардашвили Г.В., Топурдзе З.Р.** – Оценка надежности

горных склонов Грузии в коридоре нефте-трубопровода Баку-Супса. //Жур. "Инженерная экология ", Москва, №5, 2002 , с.39-47.у

9. **Gavardashvili G.V.** – Ecological equilibrium of the mudflow water courses along the Georgian Military Road (methods of reliability and risk). //Engineering Ecology, №2, Moscow, 2002, pp. 11-17 (in Russian).
10. გავარდაშვილი გ.ვ. – მდინარე დურუჯის აუზში ეროვნულ-ღვარცოფული პროცესების პროგნოზირება და მათი საწინააღმდეგო ახალი საინჟინრო-ეკოლოგიური დონისძიებები. "მეცნიერება", თბილისი, 2003, 116 გვ.
11. **Гавардашвили Г.В.** - Оценка эрозионных процессов горных ландшафтов в "коридоре" нефте-газопроводов. //“Инженерная экология ”, Москва, №6, 2003, с. 51-57.
12. გავარდაშვილი გ., წულუკიძე ლ. – მთის ფერდობის ეროვნის საწინააღმდეგო ნაგებობა. საქართველოს პატენტი №1080U, ბიულ. №5 (153), თბილისი, 2004, გვ. 18.
13. გავარდაშვილი გ., წულუკიძე ლ. – მთის ფერდობის ეროვნის საწინააღმდეგო ნაგებობა. საქართველოს პატენტი №1118, ბიულ. №15 (163). თბილისი, 2004, გვ. 22.
14. **Gavardashvili G.V.** – Assessment of the ecological reliability of rivers of mudflow character of Georgia, Material of 13<sup>th</sup> International Conference on Transport and Sedimentation. September 18-20. Tbilisi, 2006, pp. 86-96 (in English).
15. **Gavardashvili G.V., Tsulukidze L.N.** – Analysis of the Onset of Avalanche Motion Using the Theory of Catastrophes. Bull. of The Georgian National Academy of Sciences. Tbilisi, T. 173, №2, 2006, 396-399.

16. **Gavardashvili G.V., King L., Schaifer M.** – Debris Flows at the river Mletis-khevi (Greater Caucasus Mountains, Georgia) and it's Assessment. Methods. Center for International Development and Environmental Research. Giessen University, №32, Giessen, 2007, Germany. 15 p. (in English). [www.unigiessen.de.zeu](http://www.unigiessen.de.zeu).
17. **Gavardashvili G.V.** – Prediction of river-bed deformations of mudflow character water courses. Tenth. Int. Sump. of River-bed Sediment. Moscow, 1-4 August, 2007, pp 194-202. (in English).
18. **Гавардашвили Г.В.** – Эрозионно-селяевые процессы и солнечная активность. //Экологические системы и приборы, №2, М., 2007, с. 50-53.
19. **Gavardashvili G.V.** – New designs of spring-board type drift-trapper and the methodology for their calculation. Material of an 14<sup>th</sup> International Conference on Transport and Sedimentation. June 23-27. Saint Petersburg, Russia, 2008, pp. 128-136 (in English).
20. გავარდაშვილი გ.ვ. – მდინარე ოქთორი არაგვის წყალ-შემკრებ აუზში ეროზიულ-დგარცოფული პროცესების პროგნოზირება და მათი შეფასება. წყალთა მეურნეობის ინსტიტუტის სამეცნიერო შრომათა კრებული №63. თბილისი, 2007. გვ. 22-32.
21. გავარდაშვილი გ.ვ. – მდინარე მლეთის ხევის წყალ-შემკრებ აუზში ეროზიული კერის საინჟინრო გეოლოგიური შეფასება. სამეცნიერო-ტექნიკური კონფერენციის შრომათა კრებული, მიძღვნილი ი. ბუაჩიძის დაბადებიდან 100 წლის აღსანიშნავად. საქართველოს ტექნიკური უნივერსიტეტი, თბილისი, 2007. 6 გვ.

22. გავარდაშვილი გ., წულუკიძე ლ., გავარდაშვილი ნ., კინგი ლ., შეფერი მ. – მთის ფერდობის ეროზიის საწინააღმდეგო ნაგებობა. საქართველოს პატენტი №9764A, ბიულ. №13 (257), თბილისი, 2008, გვ. 13.
23. **Gavardashvili G.V.** - New designs of spring-board type drift-trapper and the methodology for their calculation. Material of an 14<sup>th</sup> International Conference on Transport and Sedimentation. June 23-27. Saint Petersburg, Russia, 2008, pp. 128-136 (in English).
24. გავარდაშვილი გ. – გრუნტის ეროზიის საწინააღმდეგო მოწყობილობა. საქართველოს პატენტი, №925U, ბიულ. №15(115), თბილისი, 2002, გვ. 25.
25. **Gavardashvili G.V. ,Chakhaia G. G., Tsulukidze L.N.** – Assessment of the Stability of Debris-Flow Riverbeds in Transport Corridor of Georgia. //Problems of Applied Mechanics. International Scientific Journal. № 4 (13) Tbilisi, 2003, 43-46.
26. **Гавардашвили Г.В.** – Анализ выхода из строя противоселевого сооружения арочно-ступенчатой формы с применением теории катастроф. // Экологические системы и Приборы. №5, Москва 2006, 50-53.
27. გავარდაშვილი გ.ვ., გავარდაშვილი ნ.გ., კასაბური ი.ა. – სტიქია საქართველოს სამხედრო გზის მლეთა-გუდაურის სერპანტიან უბანზე და მისი შეფასება. //ქურ. "მეცნიერება და ტექნოლოგიები", №7-9, თბილისი, 2006, გვ. 20-22.
28. **Gavardashvili G.V., Ayyub B. M., Sobota J., Bournaski E., Arabidze V.** – Simulation of Flood and Mudflow Scenarios in Case of Failure of the Zhinvali Earth Dam. International Symposium (With the support of UNESCO) on „FLOODS AND

MODERN METHODS OF CONTROL MEASURES". 23-28 September 2009, Tbilisi, Georgia, pp.148-163

29. გავარდაშვილი გ., გართანოვი ბ. – საქართველოში 2008 წლის საომარი მოქმედების შედეგად გადამწვარი ტურის მასივების ეკოლოგიურ-ეკონომიკური ზარალის შეფასება და მთის ფერდობებზე ნიადაგის ეროზიისაგან დამცავი დონისძიებები. წყალთა მეურნეობის ინსტიტუტის სამეცნიერო შრომათა პრებული №64. თბილისი, 2009. გვ. 48-59.
30. **Gavardashvili G.V.** – Termination of Stability for the Spring-board Type Trapezoidal Dam Against Debris Flow Taking Into Account Static and Dynamic Loads of Debris Flow. The IV International conference on The Modern Problems of Environmental Engineering. 22-24 June, 2010 Wroclaw –Karpacz, Poland. pp. 17.
31. **Гавардашвили Г.В.** – Защита горных ландшафтов от стихийных явлений некоторых объектов стратегического назначения Грузии. Труды Таврического национального Университета им. В.И. Вернадского. Серия "География", том 23(62), №3, Симферополь, 2010, с.299 – 302.
32. **Gavardashvili G.V.** – Hydraulic Calculation of a New Spring-Board Type Trapezoidal Structure Against Debris Flow. 2-nd International Scientific and Technical Conference „Architecture and Construction – Contemporary Problems”. 30- September-3 October, 2010, Yerevan - Jermuk, Conference roceedings. Vol. 2, pp. 256-262.
33. **Гавардашвили Г.В.** - Компьютерная имитация наводнения в случае разрушения Ингурской плотины. Труды института водного хозяйства Грузии, №65, Тбилиси, 2010, 12 с.

34. **გავარდაშვილი გ.გ.** – მდინარე ცხენისწყალზე ცაგერის რაიონის სოფელ ჭალისთავში წყალდიდობის საწინააღმდეგო დონისძიებები. საერთაშორისო სამეცნიერო-ტექნიკური კონფერენცია „გარემოს დაცვა და მდგრადი განვითარება“. სტუ, თბილისი, 2010, გვ. 274-276.
35. **Gavardashvili G.V.** – Forecast of Flooded Territories by Flooding in Case of Possible Accident of Shaori Rockfill Dam. The International Conference on „Protection of Agrobiodiversity and Sustainable Development of Agriculture“. November 24-25, 2010, Tbilisi, Georgia, pp. 295-299.
36. **Gagoshidze M.S.** – Debris-flow Processes and Measures for combating them. Tbilisi, 1970, 380 p. (in Russian).
37. **Gvelesiani T.L., Matcharadze G.T., Nonoev I.K., Nieto D. and Piccolo M.** – Results of Geodynamic Investigation at Enguri HPP as Base of Predicting the Extreme Hydrodynamic Processes in the Reservoir and the Dam Safety. Georgian Engineering News. #1, 2003.
38. **Гвелесиани Т.Л.** – Теория генерации волн в приложении к задачам гидроэкологии. Издательство «Универсал», Тбилиси, 2009, 245 с.
39. **Gvelesiani T.L.** – Mathematical Models of Transient Waves Generation in Problems of Environment. Tel-Aviv, 2010, 216 p.
40. **გიგაური გ., სუპატაშვილი ა., გიგაური გ. (უმცროსი)** – საქართველოს ტექნიკის საკურორტო რეკრეაციულ-ტურისტული მნიშვნელობა და მათში მეურნეობის გაძლიერების საფუძვლები. თბილისი, 2007, 252 გვ.
41. **King L., Metzler M., Jiang T.(eds)** – Flood Risk and Land Use Conflicts in the Yangtze Catchment, China and at the Rhine River. Germany. Peter Lang, Frankfrut am Main, 2001, 240 p.

42. **Kukhalashvili E.G., Gavardashvili G.V., Mamasakhlisi Zh.G., Undilashvili N.** – The theoretical Model of Mudflow in Erosional River Gullies at High Water. International Symposium (with the support of UNESCO) on „FLOODS AND MODERN METHODS OF CONTROL MEASURES”. 23-28 September 2009, Tbilisi, Georgia, pp. 285-291.
43. Гидроэлектростанции Грузии. Энергомашэкспорт, Москва, 1989, 50 с.
44. **Гришин А.М.** – Математическое моделирование лесных пожаров и новые способы борьбы с ними. Новосибирск: Наука, СО, 1992.
45. **Marshall, R.G., Ruban, T.F.** – Geotechnical aspects of pipeline construction in Alberta. Canadian Geotechnical Journal, 20: 1983, p. 1-10.
46. **Мелихов Н.С.** – Природа леса и лесные пожары. Архангельск: ОГНЗ, 1947.
47. **Мирцхулава Ц.Е.** – Об одном подходе прогнозирования крупных лесных пожарных опасностей, уязвимости и их повторяемости. //Экологические системы и приборы, №5, 2006. с. 39-50.
48. **Мирцхулава Ц.Е.** – Инженерные методы расчета и прогноза водной эрозии. М., 1970, 179 с.
49. **Мирцхулава Ц.Е.** – Основы физики и механики эрозии русел. Л., 1988., 303 с.
50. **Мирцхулава Ц.Е.** – Об общей методологии решения гидравлических задач с позиции надежности. В сб. Вопросы теории и практики надежности гидромелиоративных систем и сооружений. ГрузНИИГиМ, Тбилиси, 1989, с. 112-129.

51. **Мирцхулава Ц. Е.** – Надежность гидромелиоративных сооружений. М. Колос, 1974, 279 с.
52. **Mirtskhoulava Ts.E.** – Hazards and Risk (at some water and other systems. Types, Analysis, Assessment), 2 Books. Tbilisi, "Metsniereba", 2003, 807 p. (in Russian)
53. **Мирцхулава Ц.Е.** – Экологические нарушения (предсказание риска нарушения, меры по снижению опасности). Тбилиси 1993, 432 с.
54. **Morgan, R.P.C.** – Topics in Application Geography. Soil Erosion, Longmont, London, 1979, 114р
55. ნადირაშვილი გ., ოოფურიძე ზ. – ეროზიის საწინააღმდეგო მიწის ზეინულების ურთიერთდაშორების გამოვლის მეთოდი. ეროზიულ-დვარცოფული მოვლენები და ზოგიერთი მომიჯნავე პრობლემები. საერთაშორისო კონფერენციის სამეცნიერო შრომათა კრებული, 2001, თბილისი, გვ. 172-177.
56. **Натишвили О.Г., Тевзадзе В.И.** – Влияние волнового режима – движения водного потока по склону на интенсивность эрозии почв. Сборник научных трудов Института водного хозяйства Грузии. Тбилиси, 2005. с.146-149.
57. **Натишвили О.Г., Тевзадзе В.И.** – Основы динамики селей. Тбилиси, 2007, 213 с.
58. **Натишвили О.Г., Тевзадзе В.И.** – Установление высоты вольны повышения при входе связного селевого потока в напорных сооружениях. //ж. Гидротехническое строительство, М.: №5, 2005, с. 20-26.
59. **Кранке А.Н.** – Динамика масс снега и льда. Л.: , 1985 , с. 391-419.
60. **Korn G., Korn T.** – Direktry in Mathematics M.: 1984, 831.

61. **Рабинович Б. М.** – Экономическая оценка земельных ресурсов и эффективности инвестиций. М., Филин, 1997.
62. **Poston T., Stiuart Ien.** – Teoria Katastrof. Moscow, 1980.
63. **Takahashi T.** (Head Investigator), Japan-China Joint Research on the Prevention from Debris Flow Hazards, Kyoto University, Japan, 1994, 195.
64. **Шойгу С. К.** – Оперативное прогнозирование инженерной обстановки в чрезвычайных ситуациях. (Книга – 2). М. 1998, 176 с.
65. **Штеренлихт Д.В.** – Гидравлика, Энергоатомиздат, Москва 1984, 494 с.

გივი გავარდაშვილი

ტექნიკის მეცნიერებათა დოქტორი, პროფესორი

ბუნებრივი და ტექნიკური კატასტროზებისას  
მთის დანებაზების უსაფრთხოების ღონისძიებები

**Givi Gavardashvili**

*Doctor of Technical Sciences, Professor*

**MEASURES FOR THE SAFETY OF MOUNTAIN  
LANDSCAPES DURING NATURAL AND TEHNOGENIC  
DISASTERS**

Гиви Гавардашили

Доктор технических наук, профессор

**МЕРОПРИЯТИЯ ПО БЕЗОПАСНОСТИ ГОРНЫХ  
ЛАНДШАФТОВ ПРИ ПРИРОДНЫХ И  
ТЕХНОГЕННЫХ КАТАСТРОФАХ**



**Givi Gavardashvili** – The Director of Georgian Water Management Institute (2005), the Doctor of Technical Sciences (1996), Professor (1998), the Academician of Engineering Academy (2007), Co-President of National Academy of Fazisi (2010).

**Givi Gavardashvili** – the Author of More than 130 Science Works, among them 4 Monographs

graphs in Georgian, English and French Languages, 4 Methodical Instructions, 2 Handbooks, 26 Inventions (10 foreign patents). More than 170 Environmental Projects are designed in Georgian Energy and Transport Corridors by him. He is the Expert of more than 20 Projects on Influence on Nature. He is the Chief Scientific Supervisor of 4 Doctors of Academicals Degrees and 2 Master Students from abroad.

**Givi Gavardashvili** is a Member of the Governmental Committee for the Estimation of Burned Forests and Soils after Military Actions in Georgia in August, 2008.

**Givi Gavardashvili** – the Chairman, Co-Chairman and Participant of Grant Projects, Business Development Projects, Congresses, International Symposiums and Conferences Financed and Supported by International Organizations **UNESCO, NATO, EU, SDC, ASCE, UN, FAO, FB** and Dedicated to the Problems of Water Resources, Natural Disasters, Energy Security, Melioration and Environmental Protection.





რომის ავტორი, მათ შორის: 4 მონოგრაფია ქართულ, ინგლისურ და ფრანგულ ენებზე; 4 მეთოდური მითოობა, 2 დამსმარე სახელმძღვანელო, 26 გამოგონება (მათ შორის 10 საზღვარგარეთის პატენტი); საქართველოს ენერგო და სატრანსპორტო დერეფნებში დაპროექტებული გარემოსდამცავი ნაგებობების 170-ზე მეტი პროექტის ავტორი; გარემოზე ზემოქმედების შეფასების 20-ზე მეტი პროექტის ექსპერტი; 4 აკადემიური დოქტორისა და 2 საზღვარგარეთელი მაგისტრის სამეცნიერო ხელმძღვანელი; 2008 წ. აგგისტოში საქართველოში საომარი მოქმედების შედეგად გადამწვარი ტყველებისა და ნაადაგის შეფასების სახელმწიფო კომისიის წევრი, წყლის რესურსების პროდლემების, ენერგოუსაფრთხოების, მელიორაციისა და გარემოს დაცვის საკითხებში საერთაშორისო ორგანიზაციების (**UNESCO, NATO, EU, SDC, ASCE, UN FAO, FB**) მიერ დაფინანსებული მრავალი გრანტის, პროექტის, აგრეთვე ბიუნესის ხელშემწყობი პროექტის ხელმძღვანელი და ძირითადი შემსრულებელი, საერთაშორისო კონგრესების, სიმპოზიუმებისა და კონფერენციების თავმჯდომარე და თანათავმჯდომარე.



**ბ080 ბავარდაშვილი –**  
სივის წევალთა მეურნეობის ინსტიტუტის დოკტორი (2005), ტექნიკის მეცნიერებათა დოქტორი (1996), პროფესორი (1998), საინჟინრო აკადემიის აკადემიკოსი (2007), „ფაზისის“ საქრო აკადემიის თანაპრეზიდენტი (2010), 130-ზე მეტი სამეცნიერო ნაშ-